

UNIVERZITET U BEOGRADU

FAKULTET VETERINARSKE MEDICINE

Nemanja V. Jezdimirović

**PATOMORFOLOŠKA, MIKOLOŠKA I
MOLEKULARNA ISPITIVANJA ORGANA ĆURIĆA
RAZLIČITOG IMUNOLOŠKOG STATUSA NAKON
VEŠTAČKE INFEKCIJE SPORAMA *ASPERGILLUS
FUMIGATUS***

Doktorska disertacija

Beograd, 2019.

UNIVERSITY OF BELGRADE

FACULTY OF VETERINARY MEDICINE

Nemanja V. Jezdimirović

**PATHOLOGICAL, MYCOLOGICAL AND
MOLECULAR RESEARCH INTO THE ORGANS OF
TURKEY POULTS OF VARIOUS
IMMUNOLOGICAL STATUS FOLLOWING
ARTIFICIAL INFECTION WITH *ASPERGILLUS
FUMIGATUS* SPORES**

Doctoral Dissertation

Belgrade, 2019.

Mentor:

**dr Milijan Jovanović, redovni profesor u penziji
Univerzitet u Beogradu, Fakultet veterinarske medicine**

Članovi komisije:

dr Milijan Jovanović, redovni profesor u penziji
Univerzitet u Beogradu, Fakultet veterinarske medicine

dr Dejan Krnjaić, redovni profesor
Univerzitet u Beogradu, Fakultet veterinarske medicine

dr Branislav Kureljušić, viši naučni saradnik
Naučni institut za veterinarstvo Srbije, Beograd

Datum odbrane:

Zahvalnost

Veliku zahvalnost za pomoć pri izradi ove disertacije dugujem:

- svom mentoru profesoru **dr Milijanu Jovanoviću**, na poverenju, znanju i iskustvu koje mi je preneo, strpljenju da me sasluša, na svim savetima i trudu da ova doktorska disertacija ugleda svetlo dana.
- profesoru **dr Dejanu Krnjaiću**, na ukazanom poverenju i nesebičnoj podršci pri izradi ove disertacije.
- **dr Branislavu Kureljušiću**, bih se zahvalio na bezuslovnoj pomoći, na strpljenju, nesebičnim savetima i sugestijama u izradi ove doktorske disertacije.
- kolektivu Naučnog instituta za veterinarstvo Srbije, direktorki **dr Dobrili Jakić Dimić**, **dr Oliveru Radanoviću**, svim zaposlenima, tehničkom saradniku Milošu Raduloviću, na ukazanom poverenju i interesovanju sa kojim su pratili moj rad.
- Mojoj porodici, supruzi Jeleni, mom sinu Božidaru, mojoj čerki Sofiji, na svim osmesima, pažnji, poljupcima i bezuslovnoj ljubavi koju su mi pružili i koji mi nisu dali da odustanem.
- Mojim roditeljima, mojoj majci, ocu, sestri Ani, što su verovali u mene, što su uvek bili uz mene, što su mi pružali ljubav i podršku svih ovih godina. Majci, ocu i mojoj sestri Ani koji su me učinili dobrom čovekom, dobrom sinom i dobrom bratom.

Na kraju bih želelo da izrazim posebno veliku zahvanost mom dragom učitelju, **dr Vojinu Ivetiću** na nesebičnoj velikoj pomoći i ličnom i profesionalnom zalaganju u izradi doktorske disertacije, na svim prijateljskim savetima, razumevanju, stručnim sugestijama, na ogromnoj podršci, na očinskim savetima i na kraju što mi nije dao da se predam nego da nastavim...

Mojim *andelimu*, zbog kojih postojim, *Boži i Sofiji...*

Patomorfološka, mikološka i molekularna ispitivanja organa čurića različitog imunološkog statusa nakon veštačke infekcije sporama

Aspergillus fumigatus

REZIME

Aspergiloza čuraka je jedno od najvažnijih respiratornih oboljenja, naročito kod najmlađe kategorije, koje može da prouzrokuje značajne ekonomske gubitke zbog mortaliteta i niskih proizvodnih performansi. U prirodnim uslovima infekcija nastaje aerogeno, tj. udisanjem velikog broja germinativnih oblika spora *Aspergillus fumigatus* u kratkom vremenskom periodu ili dugotrajnim izlaganjem respiratornog sistema niskoj koncentraciji u kontaminiranom vazduhu. Predisponirajući faktori za nastanak aspergiloze kod čuraka, pored virusnih i bakterijskih infekcija jesu: slab imuni status nastao zbog duže primene antibakterijskih lekova, kontinuirano izlaganje stresogenim faktorima (učestala vakcinacija, loš kvalitet hrane), izlaganje lošim ambijentalnim i sanitarnim uslovima uzgoja.

Iako postoji mnogo radova o aspergilozi čurića, malo se zna o patogenezi bolesti i patomorfološkim promenama u različitim tkivima kod imunosuprimiranih ptica. Imajući to u vidu zadatak ovog rada bio je da u eksperimentalnim uslovima ispita zdravstveno stanje, nastanak patomorfoloških promena i diseminaciju *Aspergillus fumigatus* u različitim organima kod imunosuprimiranih i imunokompetentnih čurića.

Ogled je izведен na ukupno 90 čurića oba pola, provenijencije „Converter“, podeljenih u četiri grupe: ogledna grupa 1 (O-1) i ogledna grupa 2 (O-2) sa po 30 jedinki i kontrolne grupe 1 (K-1) i 2 (K-2) sa po 15 jedinki u svakoj. Ispitivanja su obavljena 1, 3, 7, 14. i 21. dana nakon intratrahealne inokulacije $5,056 \times 10^7$ spora *A. fumigatus* 14 dana starim čurićima grupe O-1, kao i grupe O-2, koja je prethodno tretirana deksametazonom u dozi od 4mg/kg telesne mase intramuskularno u trajanju od šest uzastopnih dana.

Za ocenu T čelijskog imunskog statusa čurića korišćen je fitohemaglutinin koji je intradermalno aplikovan u dozi od 100 µg/jedinki kod 40 čurića (po 10 iz svake grupe) starosti od 28 dana.

Urađena su klinička, patomorfološka, mikološka, hematološka i molekularna ispitivanja.

Klinički simptomi infekcije uočeni su već nakon prvog dana od inficiranja kod dve trećine deksametazonom tretiranih (grupa O-2) i netretiranih čurića (grupa O-1). Klinički simptomi oboljenja bili su više izraženi kod čurića tretiranih deksametazonom u odnosu na netretirane.

Patomorfološki, u prvim danima posle infekcije uočeni su hiperemija i edem pluća uz početnu fokalnu ili difuznu čelijsku infiltraciju. Od 3. do 21. dana posle infekcije dominira granulomatozna pneumonija različitog obima i intenziteta, što je uslovljeno, pored ostalog, i vremenom proteklom od infekcije. U početku granulomi su solitarni, a kasnije postaju multipli i konfluentni sa regresivnim promenama naročito od 14. i 21. dana posle infekcije. Histopatološke lezije kod čurića prethodno tretiranih deksametazonom bile su intenzivnije i opsežnije.

Na osnovu rezultata mikoloških ispitivanja dobijenih pregledom pluća i vazdušnih kesa dobijenih od po 6 inficiranih čurića za svaki dan žrtvovanja, ustanovljeno je da je *A. fumigatus* izolovan iz respiratornih organa već prvog i trećeg dana od infekcije kod 4 od 12 inficiranih jedinki (33,33%). Sedmog dana uzročnik je izolovan kod 50% inficiranih jedinki, četrnaestog kod 83,33% čurića i dvadesetprvog dana od infekcije kod 6 od 6 žrtvovanih čurića (100%).

Ustanovljeno je da se od sedmog, četrnaestog i dvadesetprvog dana od infekcije povećava broj izolata *A. fumigatus* iz organa čurića inficiranih i tretiranih deksametazonom u odnosu na broj netretiranih i inficiranih čurića. U grupi čurića prethodno tretiranoj deksametazonom izolacija iz organa 1. i 3. dana posle infekcije je bila ista kao u grupi O-1, dok se 7, 14. i 21. dana posle infekcije broj izolata *A. fumigatus* povećao u poređenju sa netretiranom grupom O-1.

Dvadesetčetiri sata od aplikacije fitohemaglutinina prosečna vrednost debljine kože (DK) kod inficiranih i deksametazonom tretiranih čurića (O-2) bila je statistički veoma značajno manja ($p<0,001$) u odnosu na prosečnu vrednost DK kod inficiranih čurića (O-1).

Rezultati hematoloških ispitivanja pokazali su da je infekcija čurića gljivicom *A. fumigatus* prouzrokovala slabu anemiju, leukocitozu, limfocitozu i heterofiliju, posle druge i treće nedelje.

PCR metodom *A. fumigatus* iz zbirnih uzoraka pluća i vazdušnih kesa, srca, jetre i mozga čurića posle 1, 3, 7, 14. i 21. dana od veštačkog inficiranja ustanovljen je veći broj pozitivnih uzoraka na prisustvo DNK *A. fumigatus* kod čurića ogledne grupe 2.

Ključne reči: čurići, *Aspergillus fumigatus*, veštačka infekcija, patomorfološke promene, histopatologija, nested PCR.

Naučna oblast: Klinička patologija i terapija životinja

Uža naučna oblast: Patološka morfologija

UDK broj: 591.2 : 616-091.8 : 636.592

Pathological, mycological and molecular research into the organs of turkey poulets of various immunological status following artificial infection with *Aspergillus fumigatus* spores

SUMMARY

Aspergillosis is one of the most important respiratory diseases of turkeys, especially in the youngest age category. It may lead to significant economic losses due to mortality and poor production performance. In natural conditions the infection is aerogenous, that is, it occurs following the inhalation of large numbers of *Aspergillus fumigatus* germinating spores in a short period of time, or by long-lasting exposure of the respiratory system to their low concentrations in air. Apart from virus and bacterial infections, the predisposing factors for the emergence of aspergillosis in turkeys are: low immune status due to long-lasting use of antibacterial drugs, continual exposure to stressogenic factors (frequent vaccination, poor feed quality), and exposure to poor ambient and sanitary conditions of rearing.

In spite of plenty works about turkey aspergillosis, little is known about the pathogenesis of the disease and the pathomorphological changes in various tissues in immunosuppressed birds. Having considered these, this work was aimed at the research into the health status, development of pathological changes and dissemination of *Aspergillus fumigatus* in various organs of immunosuppressed and immunocompetent turkey poulets in experimental conditions.

The experiment was performed on 90 turkey poulets of both sexes, of the Converter hybrid, divided into four groups: treated groups 1 (O-1) and 2 (O-2) with 30 specimens in each, and the two control groups – group 1 (K-1) and group 2 (K-2) - each consisting of 15 birds. The analyses were done on days 1, 3, 7, 14 and 21 after intratracheal inoculation of 5.056×10^7 *A. fumigatus* spores to 14-day-old poulets of group O-1 and those of O-2, which were intramuscularly administered dexamethasone in the dose of 4 mg/kg body weight, on six consecutive days.

To assess the T cell immune status of turkey pouls phytohaemagglutinin was used, which was administered intradermally in the dose of 100 µg/specimen, to 40 pouls (to 10 in each group) at the age of 28 days.

Clinical and pathological observations, and mycological, haematological and molecular tests were performed.

Clinical symptoms of the infection were noticed as soon as after day one following the infection in two thirds of dexamethasone-treated (group O-2) and untreated pouls (group O-1). Clinical symptoms of the disease were more pronounced in pouls treated with dexamethasone in comparison to those untreated.

As for pathomorphology, in the first days post infection (p.i.) hyperaemia and pulmonary oedema were noticed along with initial focal or diffuse cell infiltration. From day 3 to 21 p.i. granulomatous pneumonia dominated, whose extent and intensity depended, besides some other factors, on the time which passed from the infection. In the beginning, the granulomas are solitary, but later become multiple and confluent with regressive tissue changes, especially from day 14 and 21 p.i. Histopathological lesions in turkey pouls treated with dexamethasone were more intensive and extensive.

Mycological analyses, which were done on lung and air sack samples obtained from 6 infected pouls per each day of sacrifice, revealed that *A. fumigatus* was isolated from the respiratory organs as soon as on days 1 and 3 post infection in 4 out of 12 infected specimens (33.33%). On day 7, the causative agent was isolated from 50% of infected birds, on day 14 in 83.33% and on day 21 post infection in 6 out of 6 sacrificed turkey pouls (100%).

It was detected that from days 7, 14 and 21 post infection the isolates of *A. fumigatus* from the organs of turkey pouls infected and treated with dexamethasone increased in comparison with infected but untreated pouls. In turkey pouls pretreated with dexamethasone isolation from organs on days 1 and 3 p.i. was the same as in group O-1, whilst on days 7, 14 and 21 p.i. the number of *A. fumigatus* isolates increased in comparison to the untreated group O-1.

Twenty-four hours after the administration of phytohaemagglutinin the average skin thickness (DK) in infected and dexamethasone-treated turkey pouls (group O-2) was significantly lower ($p<0.001$) in comparison with the average DK in infected pouls (O-1).

The results of haematological research showed that the infection of turkey pouls with *A. fumigatus* produced mild anaemia, leucocytosis, lymphocytosis and heterophilia, two and three weeks after infection.

PCR assay performed for *A. fumigatus* DNA detected higher numbers of positive samples in pools composed of pooled samples of lungs and air sacks, hearts, livers, and brains of pouls in group O-2 1, 3, 7, 14 and 21 days after the artificial infection.

Keywords: turkey pouls, *Aspergillus fumigatus*, artificial infection, pathological changes, histopathology, nested PCR.

Field of science: Clinical pathology and therapy of animals

Specific field of science: Pathological morphology

UDK number: 591.2 : 616-091.8 : 636.592

Sadržaj

1. UVOD	1
2. PREGLED LITERATURE	4
2.1. Respiratorne gljivične infekcije ptica.....	4
2.2. Otkriće infekcije <i>Aspergillus fumigatus</i> kod ptica.....	5
2.2.1. Učestalost pojavljivanja aspergiloze kod živine u našoj i drugim zemljama sveta.....	6
2.3. Etiologija.....	7
2.3.1. Klasifikacija (sistematika i nomenklatura)	7
2.3.2. Morfološke osobine <i>Aspergillus fumigatus</i>	11
2.3.3. Kulturelne osobine <i>Aspergillus fumigatus</i>	12
2.3.4. Biohemski osobine <i>Aspergillus fumigatus</i>	13
2.3.5. Imunološke osobine <i>Aspergillus fumigatus</i>	18
2.4. Animalni modeli aspergiloze	19
2.4.1. Ptičiji modeli aspergiloze.....	20
2.4.2. Zamorac kao model za aspergilozu	21
2.4.3. Kunić kao model za aspergilozu	22
2.4.4. Glodari kao modeli za aspergilozu	22
2.5. Patogeneza aspergiloze.....	24
2.6. Klinička slika aspergiloze.....	25
2.7. Patomorfološke promene	27
2.8. Serološka dijagnostika.....	29
2.9. Eksperimentalna infekcija ptica sa <i>A. fumigatus</i>	30
2.10. Eksperimentalna primena deksametazona kod ptica.....	32
2.10.1. Mehanizam inflamatorne i imunske reakcije organizma.....	34
2.10.2. Mehanizam delovanja glikokortikoida	36
2.11. Ispitivanje kožne bazofilne preosetljivosti (<i>Cutaneous Basophil Hypersensitivity – CBH</i>) izazvane fitohemaglutininom (PHA) kod živine	38
2.12. Vakcinacija	41
2.13. Uticaj infekcije sa <i>Aspergillus</i> spp. na hematološke parametre i imunski status živine	43
2.14. Primena molekularnih metoda dijagnostike <i>Aspergillus fumigatus</i> kod ptica...	45
3. CILJ I ZADACI	48

4. MATERIJAL I METODE.....	49
4.1. Formiranje ogleda	49
4.1.1. Gljivični soj – Referentni soj <i>Aspergillus fumigatus</i>	50
4.1.2. Priprema suspenzije spora <i>Aspergillus fumigatus</i> za veštačku infekciju.....	50
4.1.3. Veštačka infekcija	51
4.1.4. Praćenje telesne mase i klinička opservacija	52
4.1.5. Uzorkovanje	52
4.2. Metode ispitivanja.....	52
4.2.1. Serološko ispitivanje.....	52
4.2.2. Imunološko ispitivanje sa fitohemaglutininom (PHA).....	53
4.2.3. Hematološko ispitivanje	54
4.2.4. Mikološko ispitivanje	54
4.2.5. Molekularno ispitivanje	54
4.2.6. Histopatološko ispitivanje.....	57
4.2.7. Statistička analiza rezultata.....	57
5. REZULTATI	58
5.1. Praćenje telesne mase i zdravstvenog stanja čurića tokom trajanja ogleda.....	58
5.1.1. Telesna masa čurića oglednih i kontrolnih grupa.....	58
5.1.2. Klinička slika kod čurića veštački inficiranih sa <i>A. fumigatus</i> i tretiranih deksametazonom tokom trajanja ogleda	61
5.2. Rezultati patomorfološkog ispitivanja.....	63
5.2.1. Patoanatomske promene kod čurića inficiranih <i>A. fumigatus</i> , kao i tretiranih deksametazonom posle 1., 3., 7., 14. i 21. dana od infekcije	63
5.2.2. Mikroskopski nalaz.....	71
5.3. Rezultati mikoloških ispitivanja.....	79
5.3.1. Rezultati mikoloških ispitivanja delova unutrašnjih organa čurića veštački inficiranih <i>A. fumigatus</i> posle 1, 3, 7, 14. i 21. dana od infekcije.....	79
5.3.2. Rezultati mikoloških ispitivanja uzoraka delova unutrašnjih organa čurića višekratno tretiranih deksametazonom dobijeni posle 1, 3, 7, 14. i 21. dana od infekcije sa <i>A. fumigatus</i>	85
5.4. Rezultati molekularnih ispitivanja	91
5.5. Rezultati ispitivanja kožne bazofilne preosetljivosti (CBH) izazvane fitohemaglutininom kod čurića kontrolnih i oglednih grupa.....	94
5.6. Rezultati imunskog odgovora na vakcinu protiv atipične kuge živine	101
5.7. Rezultati hematoloških ispitivanja	101
6. DISKUSIJA	110
7. ZAKLJUČCI	132

8. LITERATURA	134
Biografija autora	148
Izjava o autorstvu.....	149
Izjava o istovetnosti štampane i elektronske verzije doktorskog rada.....	150
Izjava o korišćenju	151

1. UVOD

Respiratorne bolesti zauzimaju značajno mesto u patologiji živine, a njihov značaj usko je povezan sa intenziviranjem živinarske proizvodnje. U etiologiji respiratornih bolesti učestvuje više bioloških agensa (virusi, bakterije i gljivice). Pojava kliničko – manifestnih oblika bolesti najčešće je posledica sinergističkog delovanja više respiratornih patogena i faktora sredine, pa njihov značaj stoji u pozitivnoj korelaciji sa brojnim negativnim faktorima koji prate intenzivnu živinarsku proizvodnju.

Aspergiloza čuraka je jedno od najvažnijih respiratornih oboljenja, naročito kod najmlađih kategorija, koje može da prouzrokuje značajne ekonomске gubitke zbog mortaliteta i niskih proizvodnih performansi. Aspergiloza je mikotično nekontagiozno, primarno oboljenje respiratornog sistema sa akutnim ili hroničnim tokom, sporadičnim ili endemskim karakterom. U prirodnim uslovima infekcija nastaje aerogeno, tj. udisanjem velikog broja germinativnih oblika spora *Aspergillus fumigatus* u kratkom vremenskom periodu ili dugotrajnim izlaganjem respiratornog sistema niskoj koncentraciji u kontaminiranom vazduhu. Veći stepen učestalosti *Aspergillus fumigatus* u etiologiji aspergiloze čurića, u odnosu na druge vrste aspergilusa (*A. flavus*, *A. glaucus*, *A. niger*, *A. nidulans*) je posledica njegovih brojnih morfoloških i fiziološko - biohemskihs osobina (mala veličina, veća otpornost, adhezivnost i germinacija spora, rast na višim temperaturama, proizvodnja toksina i više enzima). Veruje se da navedene osobine ove vrste aspergilusa imaju značajnu ulogu u patogenezi aspergiloze, a da bitno ne utiču na stepen virulencije uzročnika. Svakako, poželjna visoka ambijentalna temperatura u prvim nedeljama odgoja čurića, posebno kod najmlađih kategorija, pospešuje razvoj gljivica koje kontaminiraju prostirku ili kompletну krmnu smešu namenjenu za ishranu ove kategorije. Spore gljivica dospele u vazduh predstavljaju rizik da osobe koje rade u živinarnicima obole od aspergiloze.

Aspergiloza je rasprostranjena širom sveta, pa i kod nas, posebno u uzgoju čuraka kod najmlađih kategorija prouzrokujući značajne ekonomске gubitke nastale zbog mortaliteta, niskih proizvodnih performansi i lošeg kvaliteta trupova.

U prirodnim uslovima infekcija čurića najčešće nastaje preko respiratornog sistema, odnosno aerogeno, a ređe ingestijom spora. Kliničkom slikom dominiraju respiratori simptomi (dispnoja, hropci, disanje na otvoren kljun, opšta slabost), a ređe simptomi nervnog sistema, kada je inflamatorni proces lokalizovan najčešće u malom mozgu. Nervni simptomi su posledica hematogene diseminacije uzročnika. Značajno je saznanje da infekcija sa *Aspergillus fumigatus* može da započne već u inkubatoru ili u inkubatorskoj stanici. Poznato je da *A. fumigatus* može da penetrira kroz neoštećenu lјusku jaja, odnosno pore, i tako dospe u vazdušnu komoru gde se razmnožava. Iz vazdušne komore prolazi kroz jajčanu ovojnicu u belance i ubija embrione čurića u starosti od 10 do 12 dana. Zaprljanost lјuske i povećana vlažnost vazduha u inkubatorima, u fazi leženja čurića pospešuju razvoj gljivica i njihovu penetraciju u jaja.

Predisponirajući faktori za nastanak aspergiloze kod čuraka, pored virusnih i bakterijskih infekcija su: slab imunski status nastao zbog duže primene antibakterijskih lekova, kontinuirano izlaganje stresogenim faktorima (učestala vakcinacija, gladovanje, loš kvalitet hrane ili hrana kontaminirana gljivicama i njihovim toksinima, metabolička oboljenja, prenaseljenost), izlaganja lošim ambijentalnim i sanitarnim uslovima uzgoja, i lošem menadžmentu (visoka vlažnost i temperatura, nedovoljna ili loša ventilacija, loša higijena objekta, vlažna i plesnima kontaminirana prostirka, visoka koncentracija prašine u objektima i dr.).

Patomorfološke promene apergiloze kod ptica karakteriše dobro diferencirana i organizovana ćelijska infiltracija u respiratornim organima sa posledičnim razvojem granulomatozne pneumonije sa nekrozom. Za razumevanje patogeneze aspergiloze posebno je značajno poznавање mehanizama indukcije inflamatornog odgovora pod uticajem *A. fumigatus*, evolucije patomorfološkog supstrata, kao i uslova njegove hematogene diseminacije u različita tkiva, zavisno od broja unetih spora i načina infekcije.

U literaturi su opisani rezultati ispitivanja mikroskopskih lezija u plućima, vazdušnim kesama, srcu i jetri čurića eksperimentalno inficiranih inokulacijom suspenzije konidija *Aspergillus fumigatus* u vazdušne kese i traheju.

Iako postoji dosta radova o aspergilozi čurića, malo se zna o patogenezi bolesti i patomorfološkim promenama u različitim tkivima kod imunosuprimiranih jedinki. Imajući to u vidu, zadatak ovog rada bio je da u eksperimentalnim uslovima ispita

zdravstveno stanje, nastanak patomorfoloških promena i diseminaciju *Aspergillus fumigatus* u različitim organima kod imunosuprimiranih i imunokompetentnih čurića.

2. PREGLED LITERATURE

2.1. Respiratorne gljivične infekcije ptica

Aspergiloza je mikotično oboljenje koje se karakteriše prvenstveno promenama na respiratornim organima, a ponekad protiče i kao generalizovana infekcija. Najčešći uzročnik je *Aspergillus fumigatus*, a u opadajućoj incidenci *A. flavus*, *A. niger*, *A. glaucus* i *A. nidulans* (Akan i sar., 2002; Kunkle, 2003; Martin i sar., 2007; Beernaert, 2010). Razlog što je *Aspergillus fumigatus* prevalentan prouzrokovac leži u činjenici što raste na temperaturi supstrata i do 50°C kada druge plesni (gljivice) gube tu sposobnost, što su njegove spore pahuljičaste i značajno manje (1-3 µm) od drugih, što ima znatno veću germinaciju od drugih vrsta aspergilusa, i na kraju, što *A. fumigatus* ima veću sposobnost adherencije za respiratori epitel od drugih aspergilus vrsta (Richard i Thurston, 1983; Tronchin i sar., 1997; Bouchara i sar., 1997; Joseph, 2000). Prema tome, *Aspergillus fumigatus* je najčešći uzročnik aspergiloze živine i prvi put je nađen u plućima droplje (*Otis Tarda*) 1863 god., a ustanovio ga je Fresenius. Ovom prilikom Fresenius je nazvao uzročnika današnjim imenom, a otkrivenu respiratornu bolest nazvao je aspergilosom. Od tada do danas, aspergiloza je opisana kod velikog broja vrsta ptica (pilići, čurići, guščići, golubovi, labudovi, nojevi, kanarinci i dr.) (Femenia i sar., 2007; Beernaert i sar., 2010; Arne i sar., 2011).

Ovo mikotično oboljenje akutnog i hroničnog toka rašireno je u celom svetu. Prevalenca kod komercijalnih i repro jata čurića i pilića u zemljama Evrope kreće se od 10 do 25% (Sabino i sar., 2012), a u zemljama USA od 5 do 10% (Richard i Thurston, 1983; Morris i Fletcher, 1988; Kunkle, 2003). Prosečni godišnji gubici od aspergiloze u živinarstvu u SAD su oko 11 miliona dolara (Suleiman i sar., 2012). Sve češća pojava gljivičnih oboljenja kod živine, između ostalog, pripisuje se i nekontrolisanoj i neadekvatnoj primeni antibakterijskih lekova koji uništavaju prirodne saprofitske mikroorganizme neophodne za suprimiranje rasta i razmnožavanja gljivica (De Lucca, 2007).

2.2. Otkriće infekcije *Aspergillus fumigatus* kod ptica

Aspergiloza je ustanovljena kako kod ptica koje borave u zatvorenom prostoru kada se javlja endemski, tako i kod onih koje se drže u slobodnom prostoru uz sporadičnu pojavu, a naročito ako se smanji njihova opšta otpornost izazvana imunosupresivima (Kahn, 2000). Inače, bolest nije kontagiozna i češće nastaje kod imunokompromitovanih jedinki (Calnek, 1997; Levinson i Jawetz, 2001). Ipak, čini se da su mlađe individue podložnije infekciji od odraslih, a čurići su osjetljiviji od pilića (Kureljušić i sar., 2011).

Aspergiloza nastaje inhalacijom velikog broja spora, najčešćeg prouzrokovaca *A. fumigatus*, u kratkom vremenskom periodu ili dugotrajnim izlaganjem ovog organskog sistema niskoj koncentraciji spora (kontaminirana prašina iz prostirke ili hrane), a ređe njihovom ingestijom preko kontaminirane hrane. Epizootskoj pojavi bolesti često prethodi stres izazvan lošom ventilacijom, lošim uslovima držanja, visokom temperaturom u objektima koja obezbeđuje brz rast i razmnožavanje gljivica što za posledicu ima stvaranje hidrofobnih konidija, koje lako dospevaju u vazduh i respiratorni sistem živine. Sa druge strane, visoka temperatura smanjuje vlažnost i dovodi do stvaranja praštine u čijim se česticama nalaze uzročnici. Isto tako, primena antimikrobnih lekova, za koje se zna da imaju imunosupresivni efekat, doprinosi nastanku bolesti (Pinello i sar., 1977; Latge, 1999; Kunkle, 2003; Lugauskas i sar., 2004; Gigli i sar., 2005 ;Nichita i sar., 2010; Neiguitsila i sar., 2011). Izgleda da i aktivna imunizacija živine protiv nekih oboljenja kao što su infektivni bronhitis i atipična kuga živine putem aerosola povećava incidenciju nastanka aspergiloze, ali i prisustvo mikotoksina u hrani (Barton i sar., 1992). Svakako, za nastanak bolesti je značajna i disfunkcija odbrambenih mehanizama prednjih delova respiratornog sistema, pa čak i poremećena funkcija intrapulmonalnih odbrambenih faktora čiji je zadatak eliminacija respiratornog patogena (Latge, 1999; Beernaert i sar., 2008).

Bolest obično protiče u akutnom ili hroničnom toku. Akutnu aspergilozu karakteriše invazivni oblik sa promenljivim morbiditetom i visokim mortalitetom, brzo napredovanje i loša prognoza. Kliničku simptomatologiju karakteriše dispnoja, dahtanje, distenzija abdomena zbog razvoja ascitesa (Latge, 1999; Saif i sar., 2008; Zafra i sar., 2008). Hronični tok aspergiloze nastaje nakon kontinuiranog i dugotrajnog

izlaganja živine sporama *A. fumigatus* u slučajevima kada je oslabljena otpornost organizma, odnosno kada je smanjena imunska sposobnost jedinki. Obično se javlja kod živine starosti od 13 do 18 nedelja (Akan i sar., 2002; Kunkle, 2003; Femenia i sar., 2009; Martin i sar., 2007; Zafra i sar., 2008; Kapetanov i sar., 2011). Makroskopsku sliku hroničnog toka bolesti karakteriše nalaz više gljivičnih čvorića u plućnom tkivu koji nekad konfluiraju, a u njihovom centru otkrivaju se gljivični elementi (hife). Ovakvi granulomi otežavaju plućnu cirkulaciju čije se posledice reperkulju i na srčanu funkciju. U nekim slučajevima promene se otkrivaju u traheji i donjem grkljanu (syrings) (Pal i sar., 1988; Reichard i sar., 1997). Ponekad gljivice invadiraju i krvne sudove kada dolazi do njihove propagacije u druga tkiva i organe sa razvojem milijarnih i supramilijarnih granulomatoznih inflamacija (Richard, 1997; Keymer, 1982; Reece i sar., 1986; Akan i sar., 2002). Dokaz hematogene propagacije jeste nalaz germinativnih oblika gljivice u krvi posle aerogenog izlaganja živine sporama uzročnika *A. fumigatus* i *A. flavus* (Richard i Thurston, 1983).

2.2.1. Učestalost pojavljivanja aspergiloze kod živine u našoj i drugim zemljama sveta

Aspergiloza kod ptica je prijavljena skoro u svim zemljama sveta. Živinarska industrija suočava se sa značajnim ekonomskim gubicima nastalim zbog infekcije sa najčešće izolovanim ubikvitarnim gljivicama vrste *Aspergillus fumigatus*, *A. flavus*, *A. niger*, *A. glaucus* i *A. nidulans*. Gubici izazvani gljivicama *Aspergillus* spp. nastaju zbog niskih proizvodnih performansi živine, mortaliteta i lošeg kvaliteta trupova (Joseph, 2000).

Neke geografske i sezonske karakteristike imaju uticaja na učestalost pojavljivanja aspergiloze kod nas, ali i širom sveta. Primećeno je da se aspergiloza kod brojlerskih pilića i čurića u našoj zemlji češće zapaža severno od reke Save i Dunava u odnosu na druge delove. Slučajevi akutne aspergiloze kod brojlerskih pilića i čurića u Vojvodini su dijagnostikovani na osnovu kliničkih i laboratorijskih ispitivanja tokom tri izabrane godine (2000, 2010 i 2014.) kod jaja i živine različite starosti (izležena jaja, mlade i odrasle jedinke). Ustanovljena je povećana incidencija akutne aspergiloze, posebno kod mlađih jedinki (Kapetanov i sar., 2011).

Tokom 2000. godine akutna aspergiloza je ustanovljena kod 12 komercijalnih jata brojlerskih pilića i čurića, 2010. kod 16 jata, a 2014. godine kod 21 jata obe vrste brojlera. Infekcija oka sa *A. fumigatus* dijagnostikovana je kod dva jata brojlera uzrasta od 10 dana. Aspergillus spp. je izolovan iz 6,86% neinkubiranih jaja, 23,07% uzoraka prostirke, 36,17% uzoraka iz spoljnog okruženja i 3,85% uzoraka sa površine inkubiranih jaja (Kapetanov i sar., 2011).

Učestalost pojave aspergiloze kod komercijalnog uzgoja čuraka (8,5%) i roditeljskih jata (5%) je značajno manja od pojave kolibaciloze (16%) i kolere (18%) u većini zemalja SAD (Richard i Thurston, 1983; Morris i Fletcher, 1986; Kunkle, 2003). U zemljama Evrope prevalencija aspergiloze kod komercijalnih i roditeljskih jata čuraka i pilića kreće se od 10% do 25% (Sabino i sar., 2012).

Slučajevi uginuća živine od aspergioloze mogu da se ustanove u bilo koje vreme tokom godine. Maksimalan stepen učestalosti uginuća čuraka od aspergiloze na zapadnoj i istočnoj obali SAD zapažen je tokom leta zbog visoke koncentracije čestica prašine u vazduhu koje su odličan nosač spora gljivica (Sabino i sar., 2012).

Aspergiloza prouzrokuje prosečni godišnji gubitak od 11 miliona dolara u živinarstvu SAD (Suleiman i sar., 2012).

2.3. Etiologija

2.3.1. Klasifikacija (sistematika i nomenklatura)

Uzročnici aspergiloze su gljive iz roda *Aspergillus* unutar kojeg prevalira *A. fumigatus*. Ovaj rod obuhvata oko 200 vrsta, ali samo nekoliko njih (manje od 20) može da se razmnožava u organizmu sisara i ptica (Denning i sar., 2003; Richardson i Warnock, 2003). Ovi mikroorganizmi su obično saprofiti tla koji rastu na organskom materijalu pri temperaturi od 30 do 37°C uz veliku vlažnost te su široko rasprostranjeni u prirodi. Rastu na opalom lišću, u skladištima žita, sena i drugim materijama biljnog porekla. Njegove spore često se nalaze u vazduhu, prašini, vodi i hrani. Procenjuje se da se koncentracija konidija u kubnom metru vazduha može da kreće od 1 do 100 (Denning i sar., 2003). Tako je *A. fumigatus* najzastupljeniji organizam u mikroflori

fermentirajućeg biljnog materijala, a može se značajno razmnožiti i u vlažnoj dubokoj prostirci živinarnika.

Aspergillus fumigatus razmnožava se pomoću spora koje se stvaraju aseksualnim putem, pa se takve gljive nazivaju nesavršene, odnosno neprave gljive - *Fungi imperfecti* (*Deuteromycetes*). Inače, polni način razmnožavanja *A. fumigatus* opisan je od strane O’Gorman i saradnika (2008). Tako, novi naziv za seksualni tip razmnožavanja, inače aseksualne gljive *A. fumigatus* je *Neosartorya fumigata* (O’Gorman i sar., 2008). Nomenklatura *A. fumigatus* i srodnih vrsta određena je ispitivanjem fenotipskih makro i mikromorfoloških osobina, temperaturnog režima rasta, genotipskih karakteristika (RAPD – PCR) i tipizacijom multilokus sekvence (MLST) za beta tubulin, kalmodulin i aktin gene. Na osnovu ovih rezultata otkriveno je 30 vrsta unutar podfamilije *Fumigati* (Horn i sar., 2009). Detaljno ispitivanje sojeva koji su ranije smatrani *A. fumigatus* pokazalo je da se ova vrsta može da podeli u četiri grupe i to: *A. fumigatus sensu stricto*, *A. lentulus*, *A. fumigatiaffinis* i *A. novofumigatus* (Balajee i sar., 2007; Horn i sar., 2009). Prema Balajee i sar. (2007) u tabeli 1 prikazano je filogenetsko stablo *Aspergillus* spp. podfamilije *Fumigati* dobijeno analizom gena za beta tubulin, a u tabeli 2 prikazan je spektar produkata *Aspergillus* spp. (Tabela 1 i Tabela 2).

Identifikacija kliničkih izolata *A. fumigatus* vrši se na osnovu makroskopskih karakteristika kolonija, morfoloških osobina konidija i konidiofora (oblik, veličina, boja, način vezivanja, prepoznavanje seksualne i aseksualne strukture), mikroskopskih (pregled organa za razmnožavanje, izgled, veličina i boja hifa, prisustvo ili odsustvo septi), filogenetskih (beta tubulin, kalmodulin, aktin i ITS) i molekularnih DNK karakteristika dobijenih sekvenciranjem (Gibbons i Rokas, 2013). Nažalost, postoje brojne poteškoće u identifikaciji *A. fumigatus* na osnovu fenotipskih osobina, jer su one nestabilne, a klinički izolati ponekad imaju atipičan izgled sa sporom sporulacijom i aberentnim konidioforama koje ne produkuju konidije. Pored toga, morfološke osobine članova podfamilije *Fumigati* mogu da se preklapaju sa nekoliko postojećih vrsta (Balajee i sar., 2007). To su eukariotski mikroorganizmi koje odlikuje heterotrofni način ishrane (ne sadrže hlorofil), višećelijska organizacija i prisustvo polisaharida hitina i nešto malo celuloze u ćelijskom zidu. Micelijum aspergilusa se sastoji od razgranatih septiranih hifa. Na vrhovima hifa su proširenja - konidiofore na kojima su kratki dršci -

fijalide na koje se nastavljaju konidiospore - spore tako da formacija podseća na maslačak. Hidrofobni proteinski omotač štiti konidije od odbrambenih mehanizama domaćina (Penalver i sar., 1996). Pored ovog, i prisustvo melanina u ćelijskom zidu sa svojim hidrofobnim svojstvom štiti aspergiluse od UV zračenja i oksidativnog stresa (Grosse i sar., 2008, Jorgensen i sar., 2011).

Tabela 1. Filogenetsko stablo *Aspergillus* spp. Identifikovane vrste značajne za humanu i veterinarsku medicinu (zatamnjena polja).

<i>Neosartorya aurata</i>	<i>Aspergillus viridinutans</i>
<i>N. stramenia</i>	<i>N. laciniosa</i>
<i>N. assulata</i>	<i>N. spinosa</i>
<i>Aspergillus unilateralis</i>	<i>A. fumigatiaffinis</i>
<i>A. brevipes</i>	<i>A. terreus</i>
<i>A. duricaulis</i>	<i>A. tubigensis</i>
<i>N. multiplicata</i>	<i>A. niger</i>
<i>N. galapagensis</i>	<i>A. novofumigatus</i>
<i>N. glabra</i>	<i>N. coreana</i>
<i>A. turcosus</i>	<i>A. lentulus</i>
<i>N. nishimurae</i>	<i>A. flavus</i>
<i>N. hiratsukae</i>	<i>A. fumisynnematus</i>
<i>N. fennelliae</i>	<i>A. brasiliensis</i>
<i>N. tatenoi</i>	<i>A. brasiliensis</i>
<i>N. spathulata</i>	<i>A. fisherianus</i>
<i>N. pseudofischeri</i>	<i>Aspergillus fumigatus</i>
<i>N. quadricincta</i>	<i>A. fumigatus var. acolumnaris</i>
<i>N. udagawae</i>	<i>A. fumigatus var. ellipticus</i>
<i>N. aureola</i>	<i>A. fumigatus var. phaliseptus</i>
	<i>A. fumigatus var. sclerotiorium</i>
	<i>A. fumigatus=A. anomalous</i>
	<i>A. fumigatus (albino mutant)</i>

Tabela 2. Produkti vrste *Aspergillus*, podfamilije *Fumigati*

Vrste	Produkti
<i>Aspergillus brevipes</i>	rokvefortin C, meleagrin
<i>Aspergillus duricaulis</i>	pseurotin A, fumagilin, asperpentin, asperdurin, hromanoli
<i>Aspergillus fumigatiaffinis</i>	aurantin, cikloehinulin, neosartorin, palitantin, piripiropeni
<i>Aspergillus fumigatus</i>	fumagilin, fumitoksini, fumitremorgini, gliotoksin, tripacidin, pseurotin, verukulogen, fumikvinazolini
<i>Aspergillus fumisynnematus</i>	neosartorin, piripiropeni, fumimicin
<i>Aspergillus lentulus</i>	piripiropeni A, E, O, terein, aurantin, neosartorin
<i>Aspergillus novofumigatus</i>	aszonalenin, cikloehinulin, neosartorin, palitantin, terein, teritrem B
<i>Aspergillus turcosus</i>	kotanini i nekoliko jedinstvenih ali još uvek nedovoljno poznatih sekundarnih metabolita
<i>Aspergillus unilateralis</i>	mikofenolna kiselina, drugi nedovoljno poznati sekundarni metaboliti
<i>Aspergillus viridinutans</i>	viriditoksin, fomaligin A, variotin, viriditin
<i>Neosartorya assulata</i>	indol alkaloidi i nepolarni metaboliti
<i>Neosartorya aurata</i>	helvolic kiselina, žute neidentifikovane komponente
<i>Neosartorya aureola</i>	fumagilin, triptokvivalini, triptokvivaloni, pseurotin A i viriditoksin
<i>Neosartorya australensis</i>	vortmanin, aszonalenini
<i>Neosartorya coreana</i>	aszonalenini
<i>Neosartorya denticulata</i>	gliotoksin, viriditoksin
<i>Neosartorya fennelliae</i>	asperfurani, aszonalenin, fumigaklin, viridikatumtoksin
<i>Neosartorya ferenczii</i>	asperfurani, aszonalenin, fumigaklin, viridikatumtoksin, gliotoksin, fumigatini, aszonalenin
<i>Neosartorya fischeri</i>	terein, fumitremargin A i C, triptokvivalin A, tripacidin, verukulogen, sarcin, fišerin, neosartorin
<i>Neosartorya galapagensis</i>	gregatini
<i>Neosartorya glabra</i>	asperpentin, avenaciolide
<i>Neosartorya hiratsuke</i>	avenaciolidi
<i>Neosartorya laciniosa</i>	aszonalenini, triptokvivalini, triptokvivaloni
<i>Neosartorya multiplicata</i>	helvolic kiselina
<i>Neosartorya papuensis</i>	vortmanin
<i>Neosartorya pseudofischeri</i>	asperfurani, citohalazinu slična jedinjenja gliotoksin, piropiropeni

<i>Neosartorya quadricincta</i>	kvinolaktacin, aszonalenini
<i>Neosartorya spinosa</i>	pseurotin, aszonalenini
<i>Neosartorya spathulata</i>	ksantocilidi, aszonalenini
<i>Neosartorya stramenia</i>	avenacidide
<i>Neosartorya tetonoi</i>	azonalenini
<i>Neosartorya udagawae</i>	fumigatin, fumagilin, triptokvivalini, triptokvivaloni
<i>Neosartorya warcupii</i>	vortmanin, aszonalenin, hromanol, triptokvivaloni

Za *Aspergillus fumigatus* obično se kaže da je termofilna vrsta, s obzirom da raste na temperaturi i do 55°C i da preživi na temperaturi 75°C, ali obilna sporulacija može da bude na temperaturi od 30°C (Raper i Fennell, 1965; Kwon-Chung i Bennett, 1992; Haines, 1995; Tekaia i Latge, 2005). Ustanovljeno je da *Aspergillus fumigatus* proizvodi mnoge enzime kao što su fosfolipaze i različite proteaze (serin alkalna proteaza, aspartat proteaza, metaloproteaza) koje imaju sposobnost da suprimiraju imunski odgovor i oštete tkivo domaćina (Monod i sar., 1991; Monod i sar., 1993; Birch i sar., 1996; Reichard i sar., 1997). Takođe, dokazano je da *A. fumigatus* proizvodi nekoliko toksičnih supstanci od kojih je najviše proučavan gliotoksin. On inhibira fagocitozu makrofaga i heterofila, kao i aktivaciju B i T limfocita, a podstiče apoptozu makrofaga (Mullbacher i sar., 1985; Sutton i sar., 1994; Sutton i sar., 1996).

2.3.2. Morfološke osobine *Aspergillus fumigatus*

Hife *Aspergillus fumigatus* prečnika su 1 - 3µm, septirane su i granaju se u dva dela. Konidiofore su glatke, bezbojne do svetlo - zelene boje, dužine do 300µm i širine od 5 do 8 µm. Na kraju se postepeno povećavaju i formiraju vezikulu u obliku boce - pljoske čiji se prečnik kreće od 20 do 30µm sa jednim nizom fijalida iznad distalne polovine. Fijalide su dužine od 6 do 8µm i raspoređene su naviše paralelno sa osovinom konidiofore. Karakteristično za *A. fumigatus* je razvoj kolumnarnog oblika lanca konidija koji mogu da dostignu dužinu i do 400µm (Saif, 2008). Konidije su sferičnog do eliptičnog oblika, izrazito hidrofobne i lako dospevaju u vazduh ako su zrele (Bennett i Klich, 2003).

Nekoliko izolata *Aspergillus fumigatus* ne poseduje pigment i stvaraju bezbojne konidije, a svaka konidijalna glava produkuje hiljade spora prečnika 2 - 3 μ m (Latge, 1999).

Rezultati skorašnje molekularne studije DNK (RFLP - Restriction Fragment Length Polymorphism) pokazali su visoki stepen genetske različitosti između pojedinih kliničkih izolata kod ljudi, morfološki definisani kao *A. fumigatus*. Ovo je dovelo do opisa novih vrsta - *A. lentulus* i *A. udagawae* (Balajee i sar., 2007; Horn i sar., 2009).

2.3.3. Kulturelne osobine *Aspergillus fumigatus*

Aspergillus fumigatus veoma brzo raste na različitim konvencionalnim podlogama kao što je Sabouraud dekstrozni agar i Czapek agar. Kolonije dostižu veličinu od 4 ± 1 cm tokom jedne nedelje kada se uzgajaju na Czapek podlozi pri temperaturi od 25°C (Raper i Fennell, 1965). Kao termofilna vrsta *A. fumigatus* raste i do 55°C, a može da se održava i opstane na temperaturi i do 70°C. Za mnoge patogene vrste *Aspergillus* spp. optimalna temperatura za rast je od 30°C do 37°C, a obilna sporulacija se dešava pri temperaturi od 30°C (Raper i Fennell, 1965; Kwon-Chung i Bennett, 1992; Haines, 1995).

Kolonije *A. fumigatus* su pljosnatog oblika, plavičasto - zelene, najpre bele boje, a zatim plavičasto - zelene kada konidije počinju da sazrevaju, posebno u sredini središnjeg dela kolonije. Daljim sazrevanjem kolonije dobijaju sivo - zelenu boju, dok rubovi kolonije ostaju bele boje. Ovakav morfološki izgled kolonija *A. fumigatus* karakterističan je za najveći broj kliničkih izolata, ali može da se razlikuje po boji, morfologiji i brzini rasta (Leslie i sar., 1988). Generalno se može reći da aspergilusi izolovani iz zemljišta i obolelih ljudi i životinja imaju izuzetno promenljive kulturelne i morfološke karakteristike u odnosu na izgled *A. fumigatus* opisan 1965. godine od strane drugih autora (Raper i Fennell, 1965; Leslie i sar., 1988; Schmidt i sar., 1997; Horn i sar., 2009).

2.3.4. Biohemijeske osobine *Aspergillus fumigatus*

Potreba za bolje taksonomsko definisanje vrste *A. fumigatus* uslovilo je otkrivanje njegovih specifičnih biohemijskih i molekularnih karakteristika koje obuhvataju identifikaciju sekundarnih metabolita i ubihinon sistema (Matsuda i sar., 1992), kao i poznavanje izoenzimske strukture (Lin i sar., 1995; Rodriguez i sar., 1996). *Aspergillus fumigatus* proizvodi veći broj hidrolitičkih enzima, serin i aspartat proteinaze i metaloproteinaze koje poseduju snažne destruktivne osobine koje imaju značajnu ulogu u patogenezi bolesti (Kolattukudy i sar., 1993; Reichard i sar., 1997). Pored toga, *A. fumigatus* produkuje i alkalne proteinaze (Smith i sar., 1994; Blanco i sar., 2002), dipeptidilpeptidaze i fosfolipaze koje doprinose virulenciji ove plesni olakšavajući joj kolonizaciju plućnog, ali i drugih tkiva (Karkowska-Kuleta i sar., 2009). Kothary i saradnici (1984) su prvi opisali pozitivnu korelaciju između produkcije elastaza i invazivnosti *A. fumigatus*. Isti autori su dokazali da sojevi *A. fumigatus* koji produkuju elastaze su letalniji od sojeva koji ne produkuju ove proteaze. Tako, prvi izazivaju uginuće kod svih inficiranih miševa tretiranim kortizonom, a drugi samo kod jedne trećine inficiranih miševa. U drugim istraživanjima je ustanovaljeno da svi sojevi izolovani iz ljudi obolelih od invazivne aspergiloze pokazuju elastaznu aktivnost kao i jedna trećina sojeva izolovanih iz spoljašnje sredine (Blanco i sar., 2002). Serin proteinaza i metaloproteinaze imaju elastolitičko dejstvo, a prevashodno deluju na plućno tkivo koje je bogato elestinom (Horn i sar., 2009). Serin proteinaza (AFA 1p) je član familije suptilizina i može da degradira ne samo elastin već i kolagen, fibrin i fibrinogen. Ovaj protein nalazi se ekstracelularno, ali je povezan i sa ćelijskim zidom (Kauffman i sar., 2000). Pored navedenih proteinaza *A. fumigatus* produkuje i druge hidrolitičke enzime, nukleaze i fosfataze (Kauffman i sar., 2000). Na kraju, ustanovaljeno je da postoji značajna korelacija između aktivnosti fosfolipaze i jačine intenziteta infekcije prouzrokovane sa *A. fumigatus* (Alp i Arikhan, 2008).

2.3.4.1. *Aspergillus fumigatus*, mogući faktori virulencije

Značaj infekcije izazvane sa *A. fumigatus* opisan je u brojnim radovima, a odnose se na identifikaciju faktora virulencije prouzrokovaca. Oni su vrlo različiti i varijabilni. Prema rezultatima dosadašnjih istraživanja njegova virulencija je multifaktorijalna, i pre svega, zavisi od imunskog statusa domaćina i bioloških osobina plesni, a kodirana je od strane više gena (Rementeria i sar., 2005). Prema istraživačima Latge (2007) i Abadu i saradnicima (2010) virulencija *A. fumigatus* zavisi od nekoliko ključnih faktora: morfološke strukture plesni, kapaciteta za rast i adaptaciju na spoljašnje stresne uslove, razvijenih sopstvenih mehanizama za izbegavanje uticaja imunskog sistema domaćina i sposobnosti da izazove tkivne lezije kod domaćina. Da bi gljivica *A. fumigatus* bila invazivna neophodno je da njene konidije imaju sposobnost adherencije za bazalnu membranu ili različite proteine domaćina kao što su laminin, fibrinogen, albumin, kolagen, surfaktantni proteini (A i D), komplement, imunoglobulini i fibronektin, kao i sposobnost penetracije (Annaix i sar., 1992; Coulot i sar., 1994; Gil i sar., 1996; Bromley i sar., 1996; Penalver i sar., 1996; Bouchara i sar., 1997; Madan i sar., 1997; Tronchin i sar., 1997). Od postojećih mehanizama adhezije samo njih nekoliko izučavani su na molekularnom i biohemiskom nivou. Spoljni zid ćelijskog zida konidije *A. fumigatus* sastoji se od uplenih snopića sastavljenih od hidrofobnih proteina (hidrofobini) koji su odgovorni za hidrofobna svojstva (Thau i sar., 1994). Hidrofobini su porodica homolognih proteina prisutnih na površini plesni. Imaju malu molekulsku masu koja se kreće od 10-20 kDa i izuzetno su otporni na hemijsku degradaciju. Mapiran je i gen koji kodira Rodlet protein RodAp *A. fumigatus* (Parta i sar., 1994; Thau i sar., 1994). Detektovani su i drugi hidrofobni proteini tokom klijanja konidija *A. fumigatus*, ali njihova priroda i uloga u virulenciji nije još poznata (Penalver i sar., 1996). Ugljeni hidrati i drugi proteinski molekuli prisutni na površini zida konidija uključeni su u njihovo vezivanje na proteine domaćina (Madan i sar., 1997). Ova veza nastaje preko nespecifičnih fizičko - hemijskih interakcija i/ili specifičnih receptora na ćelijskom zidu plesni građenih od alfa, beta - 1,3 glukana, galaktomanana i hitina (Latge, 1999; Latge, 2005). Značajnim faktorom virulencije i invazivnosti *A. fumigatus* smatra se tolerancija na topotu, prisustvo adhezina, produkcija pigmenata i ekstracelularnih enzima, kao i sekundarnih metabolita (mikotoksina) (Latge, 2007;

Karkowska-Kuleta i sar., 2009). Međutim, mnogi od njih štite plesan od štetnih uticaja spoljne sredine te je njihova uloga u patogenosti često nedovoljno jasna (Alp i Arikān, 2008; Karkowska-Kuleta i sar., 2009). Tako, značajan protektivni faktor *A. fumigatus* je sposobnost ćelijskog zida konidije, ali ne i hifa, da uz učešće enzima kodiranih od 6 gena sintetiše braon - zeleni ili sivi pigment melanin (Latge 2007). Proizvedeni pigment ima hidrofobne osobine (Brakhage i Liebmann, 2005). Prisustvo melanina ograničava aktivaciju komplementa i aktivnost neutrofila. Činjenica je i to da odsustvo proizvodnje melanina (bela konidija) smanjuje njihovu virulenciju i čini ih osetljivim na dejstvo H_2O_2 i natrijum hipohlorita, ali i na fagocitozu od strane makrofaga u uslovima *in vitro* (Abad i sar., 2010). Opisano je nekoliko vrsta melanina: prekursor 1,8 dihidroksinaftalena (DHN melanin) i prekursor L - 3,4 dihidroksifenilalanina (DOPA melanin) su najvažniji i učestvuju u patogenezi bolesti (Hamilton i Gomez, 2002; Langfelder i sar., 2003). Sivo - zeleni i plavo - zeleni pigimenti konidija *A. fumigatus* potiču od DHN melanina (Brakhage i Liebmann, 2005). Sintetisani melanini štite *A. fumigatus* od uticaja ultravioletnog spektra, visokih temperatura i enzimskog razlaganja i tako obezbeđuju njegovo preživljavanje i produžavanje opstanka (Rementeria i sar., 2005). Melanini takođe štite *A. fumigatus* od uticaja reaktivnih kiseonikovih radikala nastalih tokom infekcije domaćina i obezbeđuju bolju podnošljivost temperaturnih razlika u odnosu na druge vrste aspergilusa, što je od suštinske važnosti za njegov rast u raspadnutoj organskoj materiji spoljne sredine. Ova fiziološka prilagodljivost obezbeđuje plesni predominantnu patogenost (Hensel i sar., 1998; Araujo i Rodriguez, 2009). Virulenciji *A. fumigatus* doprinosi i činjenica da su njegove konidije malog prečnika ($2 - 3\mu m$) i da se lako distribuiraju kroz ceo respiratorni sistem domaćina. Konidije dospele iz spoljne sredine u tkivo domaćina, gde su uslovi drugačiji, da bi preživele moraju da se stalno prilagođavaju (Bhabhra i sar., 2004; Rhodes, 2006). Proizvodnja i sekrecija hidrolitičkih enzima, kao što su proteinaze, lipaze i fosfolipaze su veoma važni faktori virulencije jer imaju značajnu ulogu u ishrani, oštećenju tkiva, diseminaciji po organizmu, pribavljanju gvožđa i savlađivanju imunskog sistema domaćina (Aboul-Nasr i sar., 2013). Ovi enzimi omogućavaju lakšu penetraciju plesni u tkiva i brži razvoj infekcije jer remete mehanizme imunskog sistema domaćina (Birch i sar., 2004). Međutim, lučenje enzima u spoljašnje okruženje može da bude važan adaptivni mehanizam tokom životnog ciklusa *A. fumigatus* (Monod i sar., 1993). Uloga

i značaj nekih faktora koji doprinose stepenu virulentnosti *A. fumigatus* i dalje su predmet ispitivanja jer se veruje da postoji značajna veza između njih, kao i da su neki od faktora kodirani brojnim genima. Zbog toga, često je nemoguće, da se bez sumnje, definiše koji od faktora u značajnoj meri doprinosi mehanizmu razvoja patogenosti. Postoje mnogi geni i proteini kojima se pridaje značaj za virulentnost *A. fumigatus*, ali još uvek nije otkriven faktor čiji bi nedostatak kompletно inhibirao invazivnost i letalitet ove plesni.

Važnost uloge gena u patogenosti plesni primećena je upotreboru mutanata kod kojih je eliminisan gen za virulentnost, što je za posledicu imalo smanjenje virulencije (Rementaria i sar., 2005). Tako, ribozomalna biogeneza proteina kodirana je od strane crgA (Bhabhra i sar., 2004), monoziltransferaza sa ker/mntl (Wagener i sar., 2008), a transmembranski senzor sa ireA genom (Feng i sar., 2011). Dobijeni rezultati pokazuju da su ovi proteini odgovorni za termotolerantni rast *A.fumigatus* i hipovirulentnost kada se odgovarajući gen ukloni iz genoma ove plesni (Feng i sar., 2011).

2.3.4.2. *Aspergillus fumigatus* i mikotoksini

Dokazano je da *A. fumigatus* produkuje veći broj sekundarnih metabolita poznatim pod imenom mikotoksini. Oni mogu da povećavaju patogenost aspergilusa, da inhibiraju sintezu DNK i RNK i da izmene ćelijsku membranu što ima za posledicu oštećenje i smrt ćelije (Dagenais i Keller, 2009). Većina mikotoksina su proizvodi micelijuma. Oni su različite hemijske strukture i male molekulske mase (Dagenais i Keller, 2009). Proizvedeni i oslobođeni iz plesni mikotoksini inhibiraju druge mikroorganizme u svom okruženju čime obezbeđuju sopstvenu egzistenciju (Losada i sar., 2009), ali i mogućnost da prouzrokuju oboljenje ili smrt životinja i ljudi (Bennett i Klich, 2003; Bhatnagar i sar., 2015). Isto tako, mikotoksini povećavaju virulentnost, odnosno doprinose povećanju stepena patogenosti plesni. Nasuprot tome, neki mikotoksini imaju dokazana farmakološka dejstva i koriste se u terapiji nekih oboljenja (Latge, 2007; Ben-Ami i sar., 2010).

Izolovani su i opisani veći broj mikotoksina koje proizvodi *A. fumigatus*. Poseban značaj imaju: gliotoksin, fumagilin, fumitremorgin, fumigaklavin C, helvolik kiselina, aureperon C, restriktocin i dr. (Dagenais i Keller, 2009; Ben-Ami i sar., 2010).

Značajnu ulogu u patogenezi aspergiloze imaju mikotoksini iz grupe EpipoliTiodioksoPiperazina (ETP), a među njima najpotentniji je gliotoksin sa moćnim anti - angiogenim efektom i odgovornošću za nastanak invazivne aspergiloze (Gardiner i Howlett, 2005; Ben-Ami, 2010).

Gliotoksin je ciklični neribozomalni dipeptid, a dobio je ime po metabolitu identifikovanom iz gljivice *Gliocladium fimbriatum*. Njegova toksičnost zasniva se na postojanju disulfitnog mosta koji može da inaktivise proteine preko reakcije sa tiolnim grupama i da stvara reaktivne vrste kiseonikovih slobodnih radikala. Zbog dostupnosti sekvencama komplettnog genoma plesni i efikasnih metoda za remećenje funkcije gena sada je moguće pristupiti putevima biosinteze mikotoksina grupe ETP i imati uvid u evoluciju te grupe gena (Gardiner i Howlett, 2005). Gliotoksin ima važna biološka dejstva kao što su: antimikrobnog, antivirusno, genotoksično i imunosupresivno (Nieminan i sar., 2002). Visoka toksičnost grupe ETP toksina učinila ih je privlačnim i potencijalno terapijskim supstancama u tretmanu karcinoma (Tsunawaki i sar., 2004; Orciudlo i sar., 2007). Rezultati ispitivanja su pokazali da gliotoksin inhibiše aktivnost NADPH oksidaze, smanjuje proizvodnju reaktivnih vrsta kiseonika (Reactive oxygen species-ROS) i slabi fagocitnu aktivnost neutrofila (Tsunawaki i sar., 2004; Orciuolo i sar., 2007). Takođe je dokazano da gliotoksin u uslovima in vitro prouzrokuje apoptozu i nekrozu (Gardiner i Howlett, 2005). Ranija ispitivanja su pokazala da svi sojevi *A. fumigatus* ne moraju obavezno da produkuju gliotoksin, i da sposobnost za njegovu sintezu nije stalna (Lewis i sar., 2005), kao i to, da različiti parametri mogu da utiču na biosintezu gliotoksina u uslovima in vitro (Kerzaon i sar., 2008).

Drugi važan toksin kojeg proizvodi *A. fumigatus* je fumagilin. To je antitumorski antibiotik koji inhibira angiogenezu (Rementeria i sar., 2005). Njegovo toksično dejstvo ogleda se u inhibiciji proliferacije endotelnih ćelija i smanjivanju funkcije cilijarnog aparata respiratornog sistema kod ljudi. Skorašnji rezultati dokazuju da fumagilin utiče na aktivnost neutrofila i da smanjuje lokalni imunski odgovor (Fallon i sar., 2010). Helvolik kiselina, poznata pod imenom fumigacin je član porodice antibiotika iz grupe fuzidina (Rementeria i sar., 2005). Ona može da utiče na oksidativno pražnjenje i da prouzrokuje rupturu epitelnih ćelija (Amitani i sar., 1995).

2.3.5. Imunološke osobine *Aspergillus fumigatus*

Poznato je da *A. fumigatus* proizvodi značajan broj alergogenih molekula sa antigenim svojstvima što je poslužilo kao osnova za rani razvoj i primenu imunoloških testova za serološku dijagnostiku aspergiloze kod imunokompetentnih domaćina. Nažalost, postoje kvalitativne i kvantitativne razlike u sastavu antigene komponente primenjene u raznim laboratorijama pa čak razlike postoje između serija koje potiču iz iste laboratorije (Hearn, 1992). Neki od njih kao što je citoplazmatska Mn superoksid dismutaza, kiseli ribosomalni protein P-2, ciklofilin, tioredoksin pripadaju porodici unakrsno reaktivnih alergena i reaguju sa raznim proteinima ljudskog organizma te mogu biti pokretaci autoimunih bolesti u humanoj populaciji (Cramer i sar., 2011). Kod astmatičara i pacijenata sa alergijskom bronhopulmonalnom aspergilozom (ABPA) alergene molekule reaguju sa IgE antitelom (Abad i sar., 2010). Antigena svojstva *A. fumigatus* potiču od komponenti njegovog ćelijskog zida koje se prema istraživanjima (Latge i sar., 2005; Latge i sar., 2007 i Gastebois i sar., 2009) sastoje od polisaharida i proteina. Polisaharidi koji čine ćelijski zid su: beta 1,3 glukan (20-30%), alfa 1,3 glukan (10%), hitin (35-46%) i galaktomanan (20-25%). Purifikacijom galaktomanana ustanovljeno je da je on jedini polisaharidni antigen sa određenim karakteristikama koje odgovaraju *A. fumigatus* (Latge i sar., 1999). Tom prilikom je ustanovljeno da manan jezgro ima linearnu konfiguraciju koja sadrži alfa 1-2 i alfa 1-6 povezane ostatke u odnosu 1:3 i antigene kisele nestabilne bočne lance koji su razgranati na dva alfa (1-2) vezane ostatke manoze sastavljeni od beta (1-5) ostataka galaktofuranoze sa prosečnim stepenom polimerizacije od 4. Njegova sinteza odvija se pomoću enzima gvanozil i galaktoziltransferaze (Abad i sar., 2010). Izolovani galaktomanan iz *A. fumigatus* koristi se danas u komercijalnom testu (*Platelia Aspergillus*) za dijagnostiku invazivne aspergiloze kod ljudi (Del Palacio i sar., 2007). Beta glukan, komponenta ćelijskog zida takođe može da se koristi za dijagnostiku invazivne aspergiloze (Ishibashi i sar., 2004), a kinetika beta glukana je u korelaciji sa galaktomanonom kod pacijenata obolelih od invazivne aspergiloze (Pazos i sar., 2005). Sa druge strane, neki autori u svojim istraživanjima (Latge, 1999; Rementaria i sar., 2005 i Latge, 2007) izveštavaju da je građa ćelijskog zida aspergilusa promenljiva i zavisi od više faktora. Ćelijski zid konidija se prema Abad i sar., 2010. razlikuje od zida hifa. Tako, hidrofobni sloj

konidija *A. fumigatus* pokriva imunogene strukture čelijskog zida kao što su glukani i manani. Ovaj takozvani „Rodlet sloj“ sastavljen je od hidrofogina A i nestaje u fazi aktivacije konidija. Ovako konstituisani čelijski zid svojom inertnošću i rigidnošću povećava otpornost prema aktivnosti imunskog sistema (Latge, 2007). Prepoznavanje *A. fumigatus* (polisaharidi, beta glukani, hitin i galaktomanan) od strane makrofagnih celularnih elemenata odvija se preko čelijskih receptora PRR (Pattern Recognition Receptors) „toll receptor“ (TLR) i lektina tipa C. Lektini C (naročito dektin 1) ima važnu ulogu u prepoznavanju i ubijanju plesni i inflamacijском signaliziranju. Odsustvo dektina 1 izrazito povećava sklonost ka infekciji sa *A. fumigatus* (Latge i sar., 2005). Takođe, vezivanje konidijalnog galaktomanana za pentraksin 3 receptor (PTX 3 receptor) povećava fagocitozu alveolarnih makrofaga i dendritičnih ćelija što rezultira promocijom Th 1 ćelija i citokina (Garlanda i sar., 2002). Suštinski značaj PTX 3 receptora i njihova pojačana aktivnost kod antigljivičnih reakcija izučavani su na modelu miša sa transplantacijom kostne srži (Ben-Ami i sar., 2010).

2.4. Animalni modeli aspergiloze

Životinjski modeli inficirani sa *Aspergillus* spp. se intenzivno koriste za izučavanje raznih aspekata aspergiloze. Razvijeno je nekoliko animalnih modela od strane raznih istraživača. Glavni cilj ovakvog eksperimentalnog ispitivanja aspergiloze, u uslovima *in vivo* je da se postigne detaljan uvid u patogenezu humane, ali i animalne aspergiloze, kao i njeno efikasno lečenje. Potom, cilj je i da se proceni validnost novih dijagnostičkih metoda aspergiloze, urođeni i adaptivni imunski odgovor, putevi prenošenja infekcije i njena imunološka analiza (Latge, 1999). Nedavno su razvijeni molekularni protokoli koji omogućuju dobijanje većeg broja gljivica mutanata, odnosno alternativni model infekcije zasnovan na čelijskim kulturama ili beskičmenjacima. Ovi modeli će se široko koristiti za proveravanje takvih mutanata, čime će se smanjiti broj žrtvovanih životinja u grupi. Embrionirana jaja su jedan od alternativnih modela za ispitivanje stepena virulencije i patogenosti *A. fumigatus* i predstavljaju prelaz između beskičmenjaka i kičmenjaka (Jezdimirović i sar., 2013). Ovaj model je jeftin i na njemu se lako izazove infekcija sa *Aspergillus* spp. Istina, ishod infekcije na modelu embrioniranih jaja zavisi od doze - koncentracije konidija i starosti embriona. Na kraju,

ovaj model je visoko reproducibilan (Jezdimirović i sar., 2013). Da bi se obezbedio koristan i validan rezultat ispitivanja aspergiloze na inficiranim životinjama kao modelima, neophodno je pre započinjanja eksperimenta uzeti u obzir nekoliko faktora. Prvo, potrebno je da se izborom modela i vrste životinje može da imitira klinička slika bolesti, što bolje, tj. da se proceni da li je taj model akutne klinički manifestne bolesti viđen kod ljudi ili životinja. Drugo, da se proceni da li je model reproducibilan, treće, da li su protokoli laki za standardizaciju, i na kraju, da li je izabrani model ekonomičan. Tako, veliki broj studija je sproveden na različitim vrstama eksperimentalnih životinja koje su poslužile kao model bolesti (Polak, 1998). Za ispitivanje aspergiloze ptica korišćeni su različiti modeli: embrionirana jaja živine, mlade i odrasle jedinke inficirane preko pluća ili intravenski (Richard i Thurston, 1983; Chaudhary i Sadana, 1988; Kunkle i Rimler, 1996; Jezdimirović i sar., 2013). Dokazano je da su pilići manje osjetljivi od čurića i japanskih prepelica (Ghori i Edgar, 1973; Ghori i Edgar, 1979).

2.4.1. Ptičiji modeli aspergiloze

Aspergiloza je jedna od važnih plućnih infekcija kod ptica i razvijeno je nekoliko ptičjih modela koji treba da imitiraju različite oblike aspergiloze kod životinja i ljudi (Clemons i Stevens, 2005). Među različitim vrstama životinja koje su obolele od aspergiloze, ptice su jedna od retkih vrsta koje mogu da podlegnu prirodnoj infekciji iako ne postoji imunosupresija (Dagenais i Keller, 2009). Izučavanje aspergiloze vršeno je na različitim vrstama ptica (pilići, pačići, čurići, prepelice i domaći golubovi), različite starosti (prvi dan života, nekoliko nedelja i odrasle jedinke), različitog imunskog statusa (imunokompetentne, imunosuprimirane) uz različiti način aplikacije suspenzije konidija *Aspergillus* spp. (intratrahealno, intrapulmonalno, direktno u vazdušne kese) (Steinbach i sar, 2004; Beernaert i sar., 2008; Dagenais i Keller, 2009). Imunosupresija je prouzrokovana aplikacijom kortikosteroida nekoliko dana pre infekcije, a neutropenija ciklofosfamidom ili nekim drugim hemoterapeutikom (Stephens-Romero i sar., 2005; Beernaert i sar., 2008). Kod najvećeg broja inficiranih jedinki smrt je nastupila veoma brzo, najčešće dva dana posle infekcije. Ovim ispitivanjima je dokazano da su prepelice osjetljivije od čuraka, morke manje, a da su pilići najmanje osjetljivi. Isto tako, dokazano je da postoji različita osjetljivost između

pojedinih linija (Ghori i Edgar, 1973; Ghori i Edgar, 1979). Makroskopskim pregledom organa respiratornog sistema prepelica ustanovljene su fokalne hemoragične lezije u trahiji, plućnom tkivu i vazdušnim kesama koje u daljoj evoluciji progrediraju u beličaste noduse (Chaudhary i Sadana, 1988). Ovim istraživanjima je ustanovljena diseminacija uzročnika jedino kod čurića i hematogeno širenje detektovano je već 15 minuta posle aplikacije konidija putem aerosola (Richard i Thurston, 1983). Slični rezultati ispitivanja patogeneze aspergiloze dobijeni su i od strane drugih autora (Kunkle i Rimler, 1996; Kunkle, 2003). Prema Pedan i Rhoades (1992) patogeneza aspergiloze zavisi od virulencije uzročnika izolovanih iz različitih izvora, kao i od načina aplikacije patogena. Ovakva ispitivanja su pokazala da toksini koje produkuje *Aspergillus* spp. mogu, ali i ne moraju, da imaju uticaj na patogenezu bolesti ili da toksini čine životinje osetljivim na infekciju. Ipak, aflatoksin dodavan u hrani ne povećava osetljivost čurića prema infekciji (Richard i sar., 1984). Sa druge strane, gliotoksin izazivajući imunosupresiju ima značaj u patogenezi bolesti (Richard i sar., 1984). Takođe, na modelu ptica je ispitivano da li konidije *Aspergillus*-a različitog porekla (dobijene iz raznih izvora) imaju uticaja na sam tok bolesti. Tako je dokazano da *Aspergillus* poreklom iz prostirke od meke strugotine drveta prisutan u većoj koncentraciji od 10^6 /g prostirke izaziva težak oblik aspergiloze, a ako se njoj doda bakar - sulfat smanjiće se koncentracija konidija aspergilusa i smrtnost kod eksperimentalnih čurića (Hamet i sar., 1991). Druga ispitivanja pokazuju da kontaminacija ljske embrioniranih jaja sa *A. fumigatus* i kasnije rukovanje sa njima ima za posledicu širenje konidija u inkubatoru (Hamet i sar., 1991).

2.4.2. Zamorac kao model za aspergilozu

Zamorci su eksperimentalne životinje koje se koriste za ispitivanje eksperimentalne aspergiloze, uključujući modele za izučavanje invazivne plućne aspergiloze (*Invasive Pulmonary Aspergillosis - IPA*), sistemske aspergiloze i model za endokarditis. Ovi modeli su posebno korišćeni u proceni efikasnosti terapije IPA, posebno kod imunosuprimiranih životinja koje su inače značajno manje eksplorativne od imunokompetentnih (Kirkpatrick i sar., 2000).

2.4.3. Kunić kao model za aspergiliozu

Nekoliko vrsta aspergilusa (*A. fumigatus*, *A. flavus*, *A. terreus*) izučavano je na kunićima tokom ispitivanja IPA, sistemske infekcije, gljivičnog keratitisa i efikasnosti terapije gljivičnih infekcija (Polak, 1998; Latage, 1999). Model kunića je takođe korišćen u cilju ispitivanja postojanja veze između progresije bolesti i njene težine (Chilvers i sar., 1989).

Prema Loeffleri i saradnicima (2002) PCR metode se uspešno koriste u dijagnostici sistemske bolesti na animalnim modelima i daleko su osetljivije u odnosu na konvencionalno zasejavanje kulture krvi. Međutim, za određivanje težine gljivične infekcije u plućnom tkivu kod IPA O'Sullivan i saradnici (2002) preporučuju kvantitativnu fluorescentnu PCR tehniku. U poslednjoj deceniji uvedena je dijagnostička procedura određivanje koncentracije galaktomanana u krvi kunića (enzim-imunska proba - EIA), odnosno GMEIA. Koncentracija cirkulišućeg antiga je u korelaciji sa težinom oštećenja tkiva sa gljivicama (Marr i sar., 2004).

2.4.4. Glodari kao modeli za aspergiliozu

Eksperimentalni modeli glodara koriste se za izučavanje invazivne aspergiloze, i oni se tokom poslednje decenije, češće koriste u poređenju sa modelima na drugim vrstama životinja. Prednosti modela glodara (miš, pacov i zamorac) su: mogućnost korišćenja većeg broja životinja, lakše rukovanje njima, dostupnost genetski definisanih linija i veća ekonomičnost (Clemons i Stevens, 2005; Desoubeaux i Cray, 2017). Miš je najčešća vrsta glodara korišćena kao model za ispitivanje invazivne aspergiloze (IA), i smatra se zlatnim standardom za ispitivanje patogeneze ovog oboljenja (Dagenais i Keller, 2009). Bibliografskom analizom 800 publikovanih saopštenja ustanovljeno je da model miša ima prioritet u istraživanjima i korišćen je čak u 85,8 % od ukupnog broja saopštenja, model pacova u 10,8 % i zamorca u 3,8 % saopštenja (Desoubeaux i Cray, 2017). Takođe, ustanovljeno je da je tri četvrtine modela miševa imalo imunokompromitovani imunski status.

Razvijena su najmanje tri pulmonalna modela aspergiloze na miševima. Prvi model je izazivanje sistemske (diseminovane) infekcije sa *A. fumigatus* kod

imunokompetentnih i imunokompromitovanih jedinki posle intravenske inokulacije konidija ove gljivice (Dixon i sar., 1989; Sarfati i sar., 2002; Stephens-Romero i sar., 2005; Sheppard i sar., 2006). Imunosupresija je izazvana prethodnom aplikacijom glikokortikosteroida ili ciklofosfamida. Ovi modeli imitiraju dve glavne rizične grupe ljudi za nastajanje aspergiloze. To je transplantacija kostne srži kod ljudi sa leukemijom i transplantacija parenhimatoznih organa (Marr i sar., 2002; Denning i sar., 2003; Latge, 2007;). Drugi plućni model aspergiloze kod miševa je izazivanje invazivne plućne aspergiloze (IPA) posle intranasalne ili intratrahealne inokulacije suspenzije konidija *A. fumigatus*, i to pre svega, kod imunosuprimiranih jedinki koji imitira bronhopneumoniju kod ljudi. Objavljeno je nekoliko modela inhalacije prouzrokovaca aspergiloze kao alternativa za intranasalnu infekciju. U poslednjoj deceniji razvijen je model aspergiloze centralnog nervnog sistema (CNS) kod pancitopeničnih miševa kojima su konidije inokulisane direktno intracerebralno. Ovaj model se koristi za ispitivanje efikasnosti antiglivičnih lekova i progresije aspergiloze (Chiller i sar., 2002; Clemons i Stevens, 2005). Centralni nervni sistem je često mesto hematogene diseminacije *Aspergillus* spp. iz respiratornog sistema, a stepen mortaliteta nastao posle ove infekcije kod ljudi je veći od 80% (Clemons i Stevens, 2005).

Model alergijske bronhopulmonalne aspergiloze (ABPA) kod miševa je poseban primer kada bolest nastaje posle preosetljivosti domaćina na alergene *Aspergillus* spp., a ne invazivne infekcije. Ovaj specifični model razvijen je i koristi se za patološka i imunološko - alergološka ispitivanja. Modeli miševa su takođe korišćeni za različita ispitivanja aspergiloze uključujući i komparativno ispitivanje stepena virulencije različitih izolata *Aspergillus*-a, identifikacije gena značajnih za stepen njihove virulencije, komparativno ispitivanje stepena osjetljivosti na infekciju sa *Aspergillus* i predkliničko ispitivanje antiglivične efikasnosti lekova (Clemons i Stevens, 2005).

Takođe, više od jedne decenije povećano je korišćenje genetski deficijentnih modela miševa (Knockout - KO) jer su lako dostupni. U većini slučajeva miševi su deficijentni u jednoj vrsti citokina ili faktora imunskog odgovora. Upotreba ovih modela pokazala je da deficijencija IL-4 i IL-10 povećava otpornost miševa prema infekciji, dok deficijencija IL-6, IL-12 i interferona gama smanjuje njihovu otpornost (Clemons i Stevens, 2005). Postoje i modeli mutanata miševa kojima se oponaša humana hronična granulomatozna bolest, nasledni poremećaj prirodne osjetljivosti na različite infekcije

uključujući i plućnu aspergilozu. Ovi mutanti imaju nedostatak produkcije enzima NADPH - oksidaze koji umanjuje oksidativni stres u fagocitnim ćelijama koje učestvuju u fagocitozi *Aspergillus*-a. Miševi sa mutacijom u genu gp91 ili gp47 u NADPH oksidazi mogu da budu inficirani intrapulmonalnom aplikacijom aspergilusa bez izazivanja imunosupresije (Clemons i Stevens, 2005).

2.5. Patogeneza aspergiloze

Respiratori sistem je glavni put infekcije živine sa *A. fumigatus*. Živina se inficira inhalacijom konidija ove gljivice iz kontaminiranog vazduha ili hrane (Oglesbee, 1997; Fedde, 1998; Kunkle, 2003; Prukner-Radovčić i Mazija, 2006). Živina može da se inficira u svim uzrastima, mada je patogenost uzročnika za čurke izraženija kod mlađih jedinki. Konidije – spore *Aspergillus fumigatus* značajno su manjeg prečnika u poređenju sa sporama drugih vrsta aspergilusa pa većina njih lako savladava odbrambene mehanizme prednjeg dela respiratornog sistema (Fedde, 1998; Nganpiep i Maina, 2002; Reese i sar., 2006; Beernaert i sar., 2010; Arne i sar., 2011; Olias i sar., 2011) pri čemu ih hidrofobni proteinski omotač štiti od odbrambenih snaga domaćina (Penalver i sar., 1996). Pored toga, spore *A. fumigatus* značajno više od drugih vrsta aspergilusa, imaju sposobnost adherencije za epitel vazdušnih puteva (Tronchin i sar., 1997; Bouchara i sar., 1997). Pored napred navedenog mali dijametar aspergilusnih spora i anatomija respiratornog sistema omogućavaju disperziju patogena u skoro sve njegove segmente (Marić i Simonović, 2009), tako da su kliničke manifestacije aspergiloze rezultat stepena invadiranosti organizma, oštećenja tkiva i imunskog odgovora domaćina (Marr i sar., 2004). Veoma važan podatak iznose pojedini autori (Monod i sar., 1991; Monod i sar., 1993; Birich i sar., 1996; Reichard i sar., 1997) da u patogenezi bolesti značajnu ulogu imaju proteaze uzročnika koje suprimiraju imunski odgovor ili lediraju afektirano tkivo (Mullbacher i sar., 1985; Sutton i sar., 1994). Sutton i sar. (1996) pokazuju da sekundarni metaboliti plesni, pre svega, gliotoksin doprinose razvoju bolesti inhibirajući fagocitozu od strane neutrofila i makrofaga ili remeteći saradnju T i B limfocita. Konidije dospele u respiratorne puteve se zadržavaju na epitelu. Na ovim mestima stvaraju se čvorići ili granulomi promera nekoliko milimetara. U sredini su nekrotizovani i sadrže razgranate hife. Plesni

proliferišu unutar granuloma koji se povećava, a toksini i enzimi, koje proizvodi plesan, oštećuju tkivo. Nakon udisanja, spore se hematogeno brzo šire na ostala tkiva. Živina obolela od hroničnog oblika aspergiloze obično ima otežanu plućnu cirkulaciju koja za posledicu ima proširenje desne srčane komore i ascites (Cvetnić, 2002). Isti autor navodi da alergijski faktori, koji su dobro proučeni kod ljudi nisu dovoljno poznati kod životinja, te je njihova uloga u patogenezi bolesti nepoznata.

2.6. Klinička slika aspergiloze

Aspergiloza, ili kako je neki autori još nazivaju: mikotična pneumonija, pneumomikoza, pseudotuberkuloza i "asper" mikoza je nekontagiozno sporadično gljivično oboljenje više vrsta živine, kaveznih i divljih ptica (Arne i sar., 2011). Napred navedeni termini za ovu bolest, prema navodima Chute i sar., (1975) i Kunkle (2003) odnose se samo na one slučajeve kada je inflamatori proces situiran u plućnom tkivu, vazdušnim kesama, pa čak i na mukozi traheje. Oboljenje je ustanovljeno kod skoro svih vrsta, proizvodnih i starosnih kategorija živine: kod pilića u odgoju (Corkich, 1982; Steinlage i sar., 2003; Zafra i sar., 2008), roditelja brojlerskih pilića (Martin i sar., 2006), čurića (Singh i sar., 2012; Olias i sar., 2010a; Arne i sar., 2011; Kureljušić i sar., 2011; Kureljušić i sar., 2012), pačića u odgoju (Beytut i sar., 2007) i guščića (Beytut i sar., 2004).

Zdrava živina obično ne oboljeva, iako je izložena uticaju visoke koncentracije konidija *A. fumigatus* (Kapetanov i sar., 2011). Neki praktičari iz živinarske proizvodnje smatraju da je aspergiloza kod živine indukovana stresom, odnosno imunosupresijom (Tell, 2005). Eksperimentalno je dokazano da su pilići i čurići do tri dana starosti veoma osjetljivi na infekciju, dok su stariji znatno otporniji (Islam i sar., 2005). Nadalje, ustanovljena je i značajna razlika između stepena morbiditeta i mortaliteta kod jedinki različitih proizvodnih kategorija. Tako, najviši mortalitet zabeležen je kod petlića (9,03%), manji kod brojlerskih pilića (5,48%), a najmanji kod nosilja (1,92%) (Islam i sar., 2005).

Klinička eksprimacija akutne aspergiloze kod živine varira od jata do jata, od sezone do sezone i od godine do godine. U našim uslovima incidencija akutne aspergiloze kod brojlerskih pilića je veća u odnosu na period od pre deset godina

(Kapetanov i sar., 2011). Kao predisponirajući faktori za nastanak aspergiloze, pre svega, kod mlađih kategorija spominju se: povećana kontaminacija vazduha i krmne smeše konidijama *A. fumigatus*, visoka ambijentalna temperatura, nizak procenat vlage ambijentalnog vazduha, loša ventilacija, ne sproveđenje sanitarno-higijenskih mera i neadekvatno skladištenje kompletne krmne smeše za ishranu živine (Oglesbee, 1997; Tell, 2005; Khosravi i sar., 2012). Takođe, pad imuniteta nastao tokom dugotrajne upotrebe antibiotika i glikokortikoida, česte vakcinacije, neadekvatna ishrana, prenaseljenost, kontinuirani stres, metabolička, bakterijska i virusna oboljenja, toksikoze, upotreba drvene strugotine za prostirku, povećana reproduktivna aktivnost i dr. mogu da doprinesu nastanku infekcije (McMillan i Petrak, 1989; Barton i sar., 1992; Isobe i Lilleho, 1992; Oglesbee, 1997; Verstappen i Dorrestein, 2005; Beernaert i sar., 2010).

Živila se inficira inhalacijom konidija *A. fumigatus* dospelih u vazduh iz prostirke ili hrane, a izleženi čurići ili pilići inhalacijom konidija iz kontaminiranih inkubatora ili penetracijom konidija kroz ljusku jajeta (Jezdimirović i sar., 2013).

Klinički simptomi aspergiloze, pre svega, zavise od toga da li je infekcija lokalna ili generalizovana, odnosno od infekcijom zahvaćenog organa ili organskog sistema. Međutim, intenzitet kliničkih manifestacija aspergiloze kod čurića i pilića zavisi od veličine infektivne doze, imunskog statusa i starosti jedinki (Dahlhausen i sar., 2006). Ustanovljena su dva klinička toka aspergiloze - akutni i hronični. Prepostavlja se da je akutna aspergiloza posledica udisanja velikog broja konidija, a hronični oblik ovog oboljenja je posledica imunosupresije. Širom sveta je zabeleženo nekoliko oblika aspergiloze: kožni, nervni, očni, nazalni i visceralno-pneumonični - pluća i vazdušne kese (Tsai i sar., 1992; Islam i sar., 2005).

Akutni tok aspergiloze, koji traje svega nekoliko dana, pored opštih simptoma (inančenja, somnolenca, nakostrešenost perja, skupljanje životinja na mestima gde je dotok svežeg vazduha, žed, dijareja, svrab kože sa intenzivnim kljucanjem, promenjen glas do njegovog potpunog gubitka) karakterišu i ozbiljni respiratori simptomi - tahipneja i dispneja (Islam i sar., 2005; Stoute i sar., 2009; Beernaert i sar., 2010; Arne i sar., 2011). Ponekad se uočavaju i promene na očima, vodenasti iscedak iz očiju sa posledičnim blefarospazmom, fotofobijom, periorbitalnim edemom i zamućenjem korneje (Hope i sar., 2009; Beernaert, 2010). Takođe, kod čurića i brojlerskih pilića

opisani su neurološki simptomi (poremećaj ravnoteže, tortikolis, veslanje nogama, konvulzije, paraliza, a kod pilića epidermalne ciste na grudnom delu kože i krestama) (Akan i sar., 2002).

Kod pilića i čurića inficiranih *in vivo* ili za vreme izleganja, aspergiloza je visoko smrtna u prvih 10 dana života, a praćena je omfalitisom i ozbiljnim respiratornim poremećajima. Omfalitis obično nastaje od 3. do 9. dana starosti pilića i čurića. Ovo oboljenje je poznato pod imenom „Brooder“ pneumonija (Kunkle, 2003). Istraživač Cortes i sar. (2005) opisuje dve epidemije omfalitisa kod mladih čurića inficiranih sa *A. fumigatus*. Kod akutnog toka aspergiloze uginuće nastaje unutar 24 do 48 sati od infekcije sa mortalitetom od 50 - 90% (Dhama i sar., 2013).

U hroničnom toku, koji se sreće kod odraslih jedinki bolest protiče sporadično, a takođe mogu da se konstatuju respiratorne smetnje (Dhama i sar., 2013).

2.7. Patomorfološke promene

Kod većine vrsta živine primarna mesta razvoja patomorfološkog supstrata su niži delovi respiratornog sistema. Tako, tipično za invazivnu aspergilozu je nalaz beličastog mukoidnog eksudata u respiratornom sistemu, upadljiva kongestija pluća, zadebljanje membrana vazdušnih kesa i nalaz milijarnih nodula sa rastom gljivica, najčešće u kaudalnoj, torakalnoj i abdominalnoj vazdušnoj kesi, kao i spoljašnjoj površini pluća (Keymer, 1982).

Kod hronične aspergiloze makroskopski se uočava više gljivičnih čvorića koji se stapaju u veća granulomatozna oštećenja u čijem centru leže gljivični elementi (Pal i sar., 1988; Richard, 1997). Patološki supstrat može da bude situiran, osim na plućima i u vazdušnim kesama (najčešće pogođeni), na slezini, mozgu, očima i potkožnom tkivu. Makroskopski u plućnom tkivu i vazdušnim kesama nalaze se multipli žućkasti ili sivo - beli čvorići veličine zrna prosa do lešnika, a i veći. Na njihovoj površini uočavaju se sivkaste radikalne pruge što se histološki verifikuje kao radikalni rast plesni. Međutim, kod starijih čvorića centralno se nalazi kazeifikujući proces. Već 12 sati nakon intratrahealne inokulacije spora može se uočiti eozinofilna infiltracija plućnog tkiva, a tokom tri dana od inficiranja reaktivno bujanje epiteloidnih ćelija, fibroblasta i angioblasta (Schiefer, 1967).

Slične patomorfološke promene opisuju Knežević i Matejić (1996) kod pilića starih 8 do 10 dana. Ovi autori nalaze hepatizovane delove plućnog parenhima, najčešće na zadnjim delovima u kojima su prisutni aspergilosni noduli. Prema nalazima ovih autora, granulomatozne promene počinju pojavom homogenog eozinofiltog centra oko kojeg se nalaze multijedarne ćelije. Kod starijih čvorića ustanovljen je potpuno nekrotizovan centar oko kojeg se na periferiji nalaze gljivice, a zatim fibroblasti, histiociti, limfociti i kolagena vlakna. Hife gljivica se nalaze i u krvnim sudovima (Ozmen i Dorrestein, 2004).

Julian i Goryo (1990) su na 190 jednodnevnih komercijalnih pilića, smeštenih na dubokoj prostirci koja je tri nedelje pre naseljavanja kontaminirana sporama *A. fumigatus*, izučavali značaj plućne hipertenzije kod plućne aspergiloze i slabost desnog srca u otkrivanju etiologije ascitesa. Pilići sa vrlo izraženim disajnim sindromom uginuli su pre 15. dana starosti, a makroskopskim pregledom ustanovljena su tamna pluća i tvrda konzistencija. Međutim, kod pilića uginulih od slabosti desnog srca i ascitesa posle 15 dana nalaze se jako kongestirana pluća. Histološki primarno oštećena pluća očitana su kao akutna do subakutna fibrinozna bronhopneumonija. Rezultati ovog ispitivanja pokazuju da je 85% parabronha opturirano fibrinom i nekrotičnim detritusom ili granulomima. U tim žarištima nalaze se i aspergilusi. U kongestiranom plućnom tkivu uočavaju se bogati inflamatori infiltrati. Pored uobičajenih ćelijskih elemenata, autori ističu i postojanje fibroblasta koji su komprimirali vazdušne, a odvojili krvne kapilare.

Na osnovu nalaza može da se zaključi da infekcija, koja uzrokuje akutnu fibrinoznu pneumoniju blokira tercijarne bronhe ili sprečava razvitak vazdušnih kapilara i može da prouzrokuje plućnu hipertenziju, kao i infekcije koje dovode do fibroplazije u intersticijalnom tkivu ili oštećenja plućnih kapilara. Autori zaključuju da gljivična pneumonija može da uzrokuje ascites usled slabosti desnog srca.

U jednom ispitivanju praćene su patološke promene kod čurića starih 9 i 19 nedelja posle 24, 48, 72 i 96 sati od inokulacije konidija *A. fumigatus* (konc. 5×10^7) u vazdušne kese (Kunkle i Rimler, 1996). U obe grupe čurića uočene lezije su ograničene na membranama vazdušnih kesa i plućno tkivo, u obliku fulminantnog zapaljenja. Slične promene zapažene su posle 24 i 96 sati od inokulacije *A. fumigatus*. Tipična slika posle 24 sata od inokulacije karakteriše se nakupljanjem epiteloidnih ćelija i

perivaskularnim infiltratima limfocita. Zbog jake inflamatorne reakcije, delovi gljivica nisu dokazivani u mnogim tkivnim presecima, a ako su bili obično su ih sadržavali fagociti i nekrotična područja. Uglavnom su nalaženi u citoplazmi epiteloidnih ćelija i multijedarnih džinovskih ćelija. Prema istraživanjima navedenih autora uočena oštećenja brzo su napredovala, tako da su granulomatozne pneumonije sa nekrozom nađene već 72 časa od inokulacije. Na kraju, autori zaključuju da se konidije sa mesta inokulacije prenose hematogeno ili limfogeno u subepitelni prostor tokom 24 sata od unošenja, i da je u početku zahvaćen intersticijum membrane vazdušne kese, a ne njena površina.

2.8. Serološka dijagnostika

Serološka dijagnostika za detekciju antitela na antigene *A. fumigatus* može biti od velike pomoći u otkrivanju dva oblika aspergiloze (aspergilom i alergijska bronhopulmonalna aspergiloza - ABPA) kod imunokompetentnih osoba. Iako je rast gljivica u tkivima pacijenata ograničen kod oba oblika oboljenja, često je snažan humoralni imunski odgovor na prisutni antigen (Kurup i Kumar, 1991; Latge, 2005). Razvijeno je više od dvadeset dijagnostičkih procedura za detekciju antitela protiv aspergilusa, a u kliničkim laboratorijama najčešće se koriste imunodifuzija i imunoelektroforeza (Hearn, 1992). Obe metode su jednostavne, lako izvodljive, jeftine i dovoljno osetljive da stvarno onemoguće lažno pozitivne rezultate koji su posledica niskih nivoa antitela (Latge, 2007). Obe procedure se zasnivaju na otkriću dve glavne precipitirajuće supstance, katalazi i dipeptidil-peptidazi. Primarni nedostaci ovih metoda su nemogućnost kvantifikovanja imunskog odgovora i nedostatak standardizacije zbog upotrebe neobrađenog ekstrakta aspergilusa (Hearn, 1992). Kasnije su objavljeni rezultati korišćenja imunoeseja koji je prečišćen biohemijskim procedurama (Moser i sar., 1994). Danas je moguće koristiti molekularno - biološke tehnike za proizvodnju čistog antigena. Tako, proteini *A. fumigatus* su proizvedeni u *E. coli* i *Pichia pastoris* (Moser i sar., 1992; Moser i sar., 1994). Ovakvi antigeni služe kao osnova za razvoj ELISA metode koja omogućava kvantifikaciju antitela (Kobayashi i sar., 1993; Latge i sar., 2005). U poslednje vreme u dijagnostici se koriste i imunofluorescentna tehnika

kao i dokazivanje antitela na rekombinantne antigene 18-kDa Aspf1, Aspf2, Aspf4 (Bernard i Latge, 2001).

2.9. Eksperimentalna infekcija ptica sa *A. fumigatus*

Primarni prouzrokovac aspergiloze kod ptica je *A. fumigatus*. Često je udružen sa drugim vrstama aspergilusa, bakterijama i virusima u izazivanju akutnog i subakutnog oblika ovog oboljenja.

Ptice imaju jedinstvenu anatomsku građu i fiziološke funkcije respiratornog sistema (Fedde, 1998) u odnosu na sisare, zbog čega su nezamenljiv model za ispitivanje patogeneze, histopatologije i terapije aspergiloze kod njih, jer je oboljenje globalni problem u živinarstvu.

Izazivanje veštačke infekcije sa *A. fumigatus* kod ptica je koristan *in vivo* model za proučavanje interakcije između domaćina i patogena i procenu validnosti različitih kontrolnih metoda za dokazivanje prisustva prouzrokovaca. Zavisno od cilja ispitivanja mogu da se koriste više akutnih ili hroničnih modela. Model hronične infekcije je pogodniji za izučavanje efikasnosti antimikotičkih lekova, dok je model akutne eksperimentalne infekcije svršishodniji za otkrivanje postojanja razlika od oboljenja zavisno od stepena virulencije između različitih sojeva *A. fumigatus* i težine kliničke slike.

Eksperimentalna infekcija sa *A. fumigatus* izvedena je na pilićima, čurićima, prepelicama, golubovima, čvorcima i sokolovima različite starosti, počev od jednog dana života pa do osamnaest nedelja. Ptice su inficirane unošenjem suspenzije sa različitom koncentracijom konidija *A. fumigatus* (dobijene od izolata inficiranih i klinički obolelih ptica ili referentnih sojeva) različitim načinima aplikacije u cilju dobijanja modela sa akutnim ili hroničnim oblikom aspergiloze (Julian i Goryo, 1990; Kunkle i Rimler, 1996; Clemons i Stevens, 2005; Femenia i sar., 2007; Beernaert i sar., 2008; Beernaert i sar., 2010; Arne i sar., 2011).

Veštačka infekcija je izazivana inokulacijom spora *A. fumigatus* putem aerosol i parenteralno u respiratorne organe. Inokulacija spora je obavljana nebulizacijom u vidu suvog i vlažnog aerosola u ukupnoj koncentraciji od 5 do 500 mg, i koncentraciji od $5,18 \times 10^9$ u suvom aerosolu; intratrahealno ($1,35 \times 10^6$ do $1,2 \times 10^8$ po ptici);

intrapulmonalno (10^8), direktnom injekcionom aplikacijom u torakalnu i abdominalnu vazdušnu kesu ($1,35 \times 10^6$ do 10^8) i intravenski, najčešće kod jedne iste vrste ptica kako bi se odabroa najpodesniji način aplikacije inokuluma spora za izazivanje aspergiloze, i to kako kod imunokompetentnih, tako i kod imunosuprimiranih jedinki (Taylor i Burroughs, 1973; Van Cutsem, 1983; Julian i Goryo, 1990; Femenia i sar., 2007; Beernaert i sar., 2008; Arne i sar., 2011). Eksperimentalna aspergiloza je prouzrokovana kod jednodnevnih čurića aplikacijom soja CBS 144.89 (prethodno izolovan iz ljudi obolelih od invazivne aspergiloze), u desnu kaudalnu torakalnu vazdušnu kesu u koncentraciji od 10^7 konidija po jedinki, a u cilju procene kliničkih, mikoloških i patoloških nalaza (Femenia i sar., 2007). Ova koncentracija nije prouzrokovala uginuće. Cilj injekcione aplikacije konidija *A. fumigatus* u traheju, pluća, vazdušne kese i venske krvne sudove je izazivanje primarnog oboljenja respiratornog sistema (Beernaert i sar., 2008; Arne i sar., 2011). Ovim načinima aplikacije inokuliše se definisan broj konidija koji je isti za svaku jedinku čime se postiže isti intenzitet patoloških promena. Međutim, svim navedenim putevima aplikacije, manje ili više, zaobilazi se važan deo gornjih disajnih puteva i njihovih udruženih mehanizama odbrane, posebno ako se inokulum aplikuje u torakalnu ili abdominalnu vazdušnu kesu (Fedde, 1998).

Aplikacijom inokuluma u vazdušnu kesu generalno se postižu ograničene lezije na lateralnim delovima pluća i vazdušnoj kesi. Međutim, promene su uglavnom u skladu sa onim koje se viđaju kod zapaljenja vazdušnih kesa i pneumonije (Kunkle, 1996; Richard i Sacco, 1998).

Veštačka infekcija prouzrokovana nebulizacijom konidija aspergilusa ima za cilj da imitira prirodne uslove kontaminacije, ali zahteva strogu standardizaciju ove procedure. Faktori koji značajno mogu da utiču na ovaj način infekcije su: vreme izlaganja živine uticaju konidija (od 5 do 60 min.), zapremina komore nebulizatora, koncentracija konidija i izvođenje inokulacije (Klimes i Severa, 1964; Taylor i Burroughs, 1973; Richard, 1981; Van Cutsem, 1983; Arne i sar., 2011).

Nebulizacija pulverizovanih (suvih) konidija, u poređenju sa vlažnim aerosolom dala je bolje rezultate u pogledu procene stepena morbiditeta i mortaliteta. Nedostatak primene vlažnog aerosola je u veličini kapljica u kojima su suspendovane konidije *A. fumigatus* (Klimes i Severa, 1964), a pulverizovanog aerosola u nepreciznom doziranju i delikatnom rukovanju. Infekcija izazvana aerosolom obezbeđuje prisustvo velikog

broja konidija u plućima čiji se broj izražava na masu pluća (gram) mereno neposredno posle izlaganja. Unošenje konidija u pluća u koncentraciji od 5×10^5 na gram prouzrokuje uginuće kod 50% inficiranih čurića starosti tri nedelje (Richard i sar., 1981), a koncentracija od $3 \times 10^4/g$ ne dovodi do uginuća jednodnevnih pilića neposredno posle njihovog izlaganja (Taylor i Burroughs, 1973).

Eksperimentalna imunosupresija se koristi u cilju izazivanja aspergiloze kod manje osetljivih vrsta ili da smanji razlike u odgovoru ptica na infekciju sa *Aspergillus* spp. Protokol izazivanja imunosupresije obuhvata parenteralnu višednevnu aplikaciju imunosupresivnih supstanci (deksametazon, ciklofosfamid) pre infekcije. Najčešće je primenjivan deksametazon u dozi od 2 do 5 mg/kg, intramuskularno tokom tri dana kod golubova (Beernaert i sar., 2008), brojlerskih pilića (Corkier i De Loach., 1990) i čurića (Le Loch i sar., 2006). Genotipizacija izolata iz unutrašnjih organa inficiranih jedinki obezbeđuje proveru i dokaz da je eksperimentalna infekcija posledica datog inokuluma tog soja *A. fumigatus* (Beernaert i sar., 2008).

U većini slučajeva eksperimentalna aspergiloza je hiperakutna infekcija dobijena jednokratnim unošenjem veoma visokih koncentracija konidija aspergilusa, te mortalitet i morbiditet nastaju obično između jednog i četrnaestog dana od infekcije (Ghori i Edgar, 1979; Richard i sar., 1981; Chaudhary i Sadana, 1988; Peden i Rhoades, 1992; Kunkle i Rimler, 1996; Arne i sar., 2011). Ako jedinke prežive akutno izlaganje uticaju konidija aspergilusa sedam dana posle njihove inokulacije mogu da se razviju hronične lezije (Faublee i Boller, 1975).

Ovi eksperimentalni modeli prikazuju pulmonalnu aspergilozu sa kliničkim simptomima i unutrašnjim lezijama. U ovim modelima, kao i onim sa inhalacijom konidija opisane su obimne intraokularne promene i neurološki simptomi koji su u vezi sa granulomima mozga (Faublee i Boller, 1975).

2.10. Eksperimentalna primena deksametazona kod ptica

Glikokortikoid kortizol intenzivno se produkuje i oslobađa uglavnom iz slojeva unutrašnje zone kore nadbubrežnih žlezda (zona fascikulata i retikularis) pod uticajem adrenokortikotropnog hormona (ACTH) koji se pod normalnim uslovima oslobađa u fiziološkim koncentracijama iz adenohipofize, a tokom stresa u znatno većim

koncentracijama (Ferguson i Hoenig, 2001). Koncentracija kortizola u cirkulaciji se naglo povećava tokom stresa i ona je marker za procenu intenziteta stresne reakcije (Hardy i sar., 2005).

Model ponavljane primene deksametazona, sintetskog derivata kortizola, ima za cilj da izazove stres i/ili imunosupresiju kod čurića i pilića čime se povećava osetljivost organizma na oportunističke bakterijske i gljivične infekcije (Huff i sar., 2001).

Imunosupresija izazvana deksametazonom se koristi u eksperimentalnim ispitivanjima kod ptica da bi se prouzrokovala aspergiloza kod manje osetljivih vrsta, ili da se smanje razlike u odgovoru na infekciju između obolelih jedinki. Protokol se zasniva na ponavljanoj parenteralnoj aplikaciji deksametazona ili betametazona svakodnevno tokom tri do sedam uzastopnih dana, ili trokratno sa razmakom od dva dana u dozama od 2 do 5 mg/kg telesne mase (Arne i sar., 2011). Deksametazon ima više farmakoloških dejstava od kojih su najvažnija antiinflamatorno i imunosupresivno. Takođe, ovaj glikokortikoid prouzrokuje smanjenje ukupnog broja T limfocita, stvaranje limfokina i interferona (Isobe i Lillehoj, 1992). Glikokortikoidi deprimiraju razvoj i rast skeletnih mišića pilića, smanjuju apetit, unos hrane i telesnu masu (Dong i sar., 2007) tako što inhibiraju sintezu proteina i povećavaju njihov katabolizam. Sedmodnevna s.c primena deksametazona u dozi od 2 mg/kg kod pilića ne utiče na koncentraciju glukoze i ukupnu koncentraciju aminokiselina u krvi, ali značajno povećava koncentraciju insulina i urata (Song i sar., 2011).

Deksametazon primenjivan kod brojlerskih pilića u hrani tokom tri nedelje u dozama od 1, 2, 3, 4 i 6 mg/kg prouzrokuje primarnu heterofiliju izazivajući povećano oslobađanje heterofila iz kostne srži u cirkulaciju. Ovo povećanje je dozno i vremenski zavisno (duža - sedmodnevna primena deksametazona prouzrokuje značajnu heterofiliju u odnosu na kraće vreme - dvodnevna primena). Ovo povećanje broja heterofila se smanjuje i dostiže fiziološke vrednosti posle dve do tri nedelje od poslednje aplikacije deksametazona. Odnos heterofila/limfocita kod brojlerskih pilića je značajno povećan posle primene deksametazona. Povećan odnos heterofila/limfocita bio je izraženiji neposredno po završetku primene deksametazona u odnosu na sam početak tretmana, kao i sedam i četrnaest dana od obustavljanja primene hrane sa lekom (Aengwanich, 2007).

2.10.1. Mehanizam inflamatorne i imunske reakcije organizma

Inflamatorna reakcija je primarni odbrambeni odgovor domaćina na oštećenje tkiva ili infekciju koja je neophodna za obnavljanje homeostaze posle uspešne eliminacije štetnih agenasa i reparacije tkiva (Coutinho i Chapman, 2011).

Inflamacija može da bude akutna i hronična. Zapaljenje započinje na mestu oštećenja, pre svega ćelija mastocita i makrofaga koje oslobađaju proinflamatorne medijatore kao što su: bioaktivni amini, medijatori metabolizma lipida i citokini, uglavnom faktor nekroze tumora (TNF- α) i interleukin-1 (IL-1). Oni prouzrokuju vazodilataciju, povećanu permeabilnost kapilara (humoralni odgovor) i migraciju leukocita u povređena tkiva (ćelijski odgovor) što za posledicu ima stvaranje osećaja bola, povećanje topote, nastajanje crvenila i otoka, kao i hemotaksičnih mehanizama koji pokreću aktivnost ćelija na mesto oštećenja (Hotamisligil, 2006; Knežević i Jovanović, 2008).

Ovo akutno zapaljenje je pozitivan odgovor, jer brzo eliminiše patogene i obično ne dovodi do oštećenja okolnih tkiva i ćelija. Nasuprot tome, hronično zapaljenje može da bude štetno za normalno funkcionisanje organizma domaćina, i može da prouzrokuje oštećenja tkiva i ćelija (Hotamisligil, 2006).

Odgovor akutne faze zapaljenja je sastavni deo ranog urođenog imunskog odgovora koji se takođe sastoji od fizičkih barijera, fagocita, komplementa i toll-like (TL) receptora (Kaneko, 1997; Cray i sar., 2009; Cray, 2015). Odgovor akutne faze zapaljenja je kompleksan sistemski inflamatorni proces koji počinje sa lokalnom stimulacijom i odgovorom na oštećenje ili infekciju, a nastavlja se produkcijom brojnih citokina koji se stvaraju u makrofagima, monocitima, leukocitima, endotelnim, epitelnim i adipoznim ćelijama, fibroblastima i tumorskim ćelijama. Neki od nastalih citokina šalju signal jetri da započne ili poveća sintezu proteina akutne faze. Procenjuje se da tokom akutnog inflamatornog odgovora može da se produkuje više od 200 proteina akutne faze (Kaneko, 1997). Svaki protein akutne faze ima jedinstvenu biološku funkciju, počev od toga da kao opsonin aktivira komplement i povećava fagocitozu (C reaktivni protein-CRP), pojačava hemotaksu i pomaže reparaciju tkiva (amiloid A iz seruma) do toga da se vezuje za hemoglobin da bi mu smanjio oksidativnu aktivnost (haptoglobin - HP) (Cray, 2011; O'Reilly i Eckersall, 2014).

Tokom razvoja odgovora akutne faze funkcija proteina akutne faze može da se povećava ili smanjuje (Cray i sar., 2009a; Cray, 2011). Glavni proteini akutne faze mogu da se povećaju 10 do 1000 puta, dok su kod zdravih životinja prisutni u zanemarljivim koncentracijama. Povećanje nastupa brzo, često u toku 24 h. Kada nastane odgovarajući odgovor na inflamatorni stimulus, smanjenje koncentracije proteina akutne faze može da bude jednak brzo zbog dobro izraženog sistema negativne povratne sprege i kratkog biološkog poluživota. Kod pasa, mačaka i velikih životinja amiloid A i CRP su glavni proteini akutne faze. Niske ili umerene koncentracije proteina akutne faze su često prisutne kod zdravih životinja. Ustanovljeno umereno povećanje koncentracije proteina akutne faze može da se poveća 2 do 10 puta, a niske koncentracije povećaju se za manje od dva puta. Ispoljavanje povećanja koncentracije proteina akutne faze (amiloid A i CRP) može da bude odloženo - posle 4 do 6 dana od inzulta, a povećane koncentracije mogu da se održavaju i po prestanku zapaljenja. Haptoglobin se često nalazi u niskim koncentracijama kod većine vrsta životinja.

Ispitivanje koncentracija proteina akutne faze zapaljenja izazvane inflamatornom supstancicom (gvožđe) obavljeno je kod pilića (Chamanza i sar., 1999; Chamanza i sar., 1999a). Ustanovljene su značajne promene koncentracija serumskog amiloida A (SAA), transferina, antiinflamatornog proteina analoga haptoglobina (PIT-54) i alfa-1 kiselog proteina samo kod ptica (Wicher i Fries, 2010; Cray, 2015).

Imunski sistem čine urođeni i stečeni imunitet. Urođeni imunitet obezbeđuje početni, nespecifični odgovor na dejstvo patogena. Komponente koje čine urođeni imunski odgovor su leukociti, citokini, eikosanoidi, kao i neimunske ćelije: epitelne i endotelne (Coutinho i Chapman, 2010).

Stečeni imunitet je više specifičan odgovor koji se aktivira kada infektivni agens nije eliminisan putem urođenog imunskog odgovora. Ako životinja stupi u kontakt sa bilo kojim patogenom ponovo, imunska memorija će proizvesti brži i jači imunski odgovor nego onaj koji se dogodio tokom prvog susreta (Janeway i sar., 2005).

2.10.2. Mehanizam delovanja glikokortikoida

Glikokortikoidi se koriste da smanje broj ćelija i aktivnost imunskog sistema. Ovaj supresivni efekat glikokortikoidi uglavnom ispoljavaju na ćelije imunske odbrane u odnosu na humorali imunitet. Umereno visoke doze glikokortikoida ne utiču na stvaranje antitela, a visoke doze i duga primena inhibišu njihovu produkciju. Glikokortikoidi prouzrokuju limfopeniju i eozinopeniju, njihovu redistribuciju i/ili lizu, i umanjuju funkcionalnu sposobnost monocita, makrofaga i eozinofila inhibišući stvaranje interleukina (IL), kao što su: IL-1 (makrofagi), IL-2 (limfociti), IL-3 i IL-6 i druge hemotaktičke faktore (Ferguson i Hoenig, 2001). Glikokortikoidi mogu da prouzrokuju apoptozu normalnih limfoidnih ćelija, ali i malignih.

Mehanizam dejstva glikokortikoida je povezan sa glikokortikoidnim receptorom (GR), koji je vezan za „stresne proteine“ Hsp90 i Hsp70 u citoplazmi ćelije. Kortikoidi difunduju kroz ćelijske membrane u citoplazmu gde se vezuju za GR što za posledicu ima oslobađanje receptora iz veze sa stresnim proteinima. Glikokortikoidni receptor se translocira u jedru gde se, posredstvom DNK veznih domena vezuje na tzv. elemente koji reaguju na kortikoide (engl. glicocorticoid response element-GRE) koji su povezani sa cilnjim genima. U zavisnosti od podtipa glikokortikoidnog receptora i smeštaju GRE, kompleks ligand - glikokortikoidni receptor može da stimuliše ili inhibira ekspresiju gena (primer antiinflamatorno delovanje glikokortikoida). Kompleks ligand - GR koči aktivnost antiinflamatornih činitelja transkripcije koji se nalaze u kompleksu sa hromatinskim kompleksom koji sadrži histonske acetiltransferaze. Kompleks ligand - GR prouzrokuje razdvajanje tog koaktivacijskog kompleksa i stvaranje kompleksa koji sadrži histonske deacetilaze, što za posledicu ima kondenzaciju hromatina i kočenje transkripcije. Kompleks glikokortikoid - GR inhibira funkciju aktivacijskog proteina transkripcije (AP-1). Aktivacijski protein transkripcije indukuje nekoliko gena odgovornih za aktivnost kolagenaze, interleukina (IL-2, IL-2R) i ciklooksigenaze (COX 2) (Ferguson i Hoening, 2001).

Antiinflamatori efekat glikokortikoida nastaje kao posledica ili njihovog direktnog vezivanja za glikokortikoid/glikokortikoid receptorski kompleks (GRE) povezan sa cilnjim genima, ili stupanjem kompleksa u interakciju sa drugim transkripcionim faktorima, posebno aktivacijskog proteina-1 ili jedarnog faktora kapa

B. Glikokortikoidi inhibiraju zapaljenje koje nastaje kao posledica produkcije citokina, hemokina, metabolita arahidonske kiseline i adhezionih molekula. Oni inhibišu oslobađanje arahidonske kiseline i trombocitnog aktivirajućeg faktora (PAF) iz pluća i makrofaga povećavajući stvaranje proteina lipokortina koji inhibira enzim fosfolipazu A2 u membrani ćelije. Na ovaj način se sprečava produkcija prostaglandina, leukotriena i PAF-a. Glikokortikoidi mogu da spreče i aktivnost fosfolipaze C. Ovi lekovi održavaju mikrocirkulaciju i integritet ćelijske membrane, a stabilizacijom lizozomalnih membrana sprečavaju oštećenje ćelija i tkiva. Glikokortikoidi smanjuju stvaranje i oslobađanje histamina iz oštećenih ćelija (Aron i Tyrrell, 1994).

Ovi lekovi inhibišu rane manifestacije zapaljenja (crvenilo, topota, bol, otok: smanjen influks i aktivnost leukocita) i kasne (zarastanje rana i proliferativna reakcija: smanjena aktivnost mononuklearnih ćelija, smanjena angiogeneza i manje fibroze). Na limfoidno tkivo, glikokortikoidi deluju tako što smanjuju klonalnu ekspanziju T i B ćelija i smanjuju stvaranje citokina od strane T ćelija.

Glikokortikoidi imaju uticaj na sve formirane elemente krvi. Povećavaju broj eritrocita i sadržaj hemoglobina, kao i broj trombocita. Povećavaju broj neutrofila, ali smanjuju njihovo prisustvo na mestu zapaljenja. Glikokortikoidi smanjuju broj monocita, eozinofila i bazofila. Smanjuju broj cirkulišućih limfocita (T>B) tokom 6 h. Inhibišu funkciju makrofaga: blokiraju stvaranje prostanoida, leukotriena, proinflamatornih citokina i PAF-a.

Deksametazon primenjivan u hrani brojlera u dozi od 1, 2 i 6 mg/kg prouzrokuje limfopeniju, heterofiliju, limfocitozu i povećava odnos heterofila i limfocita (Gross i Siegel, 1983; Puvadolpirod i Thaxton, 2000), i ukupan broj leukocita, koncentraciju hemoglobina, telesnu temperaturu i frekvencu disanja (Aengwanich, 2007). Deksametazon povećava koncentraciju hemoglobina i volumen eritrocita.

2.11. Ispitivanje kožne bazofilne preosetljivosti (*Cutaneous Basophil Hypersensitivity – CBH*) izazvane fitohemaglutininom (PHA) kod živine

Kožna reakcija preosetljivosti široko se primenjuje kao test indikator promena u čelijskom imunskom odgovoru tokom izlaganja živine raznim stresorima (Lazarević i sar., 2000). Stepen reakcije zavisi od primjenjenog stresora i trajanja izloženosti (Ecker i sar., 1995). Većina imunologa je mišljenja da edem kože prouzrokovani fitohemaglutininom (PHA) nije isključivo posredovan preosetljivošću izazvanom T limfocitima, već je posledica kožne bazofilne preosetljivosti (CBH) (McCorkle i sar., 1980). Ova tvrdnja je potkrepljena analizom edema kože čije nastajanje prolazi kroz dve različite faze posle inokulacije PHA kod živine. Prva faza u nastajanju edema na mestu aplikacije je eksudacija plazme iz okolnih krvnih sudova i ona nastaje posle 6 do 12 h od aplikacije. Posledica je oslobođanja urođenih lokalnih populacija ćelija (uglavnom bazofila i makrofaga) koje aktiviraju PHA stimulisane CD4 i T limfocitne ćelije (Elgert, 1996). Druga faza nastanka edema kože obuhvata infiltraciju naknadno oslobođenih T limfocita osetljivih na PHA. Ona nastaje posle 24 h od aplikacije PHA (Stadercker i sar., 1977; McCorkle i sar., 1980). Na osnovu ovih podataka može da se zaključi da su aktivirane T ćelije uključene u nastajanju edema kože.

Kožna bazofilna hipersenzitivnost izazvana intradermalnom aplikacijom PHA je korisna metoda za procenu čelijskog imunskog odgovora u uslovima *in vivo* kod pilića i čurića (Stadercker i sar., 1977; Goto i sar., 1978; Regnier i Kelly, 1981; Edelman i sar., 1986; Murray i sar., 1987; Brake i sar. 1988; Miljković i sar., 2007). Kožna bazofilna preosetljivost može da se izazove kod pilića aplikacijom PHA u kožu grudnog koša (Sinha i sar., 1988), u kožu u okolini uha i podbradnjaka (Stadercker i sar., 1977), krilni kožni nabor (Lamont i Smyth, 1984; Cheng i Lamont, 1988; Parmentier i sar, 1993) i u drugim uobičajenim mestima na koži (Goto i sar., 1978; Edelman i sar., 1986; Brake i sar. 1988). Ipak, intradermalna aplikacija PHA i merenje odgovora reakcije teško su izvodljivi ako se PHA aplikuje u nedovoljno razvijenu kožu krila kod pilića i čurića mlađih od dve nedelje (Rose, 1977), i u neobraslim delovima kože pilića koji su isuviše tanki za adekvatnu primenu (Stadercker i sar., 1977). Kožna bazofilna čelijski posredovana odložena preosetljivost izazvana aplikacijom PHA u kožu između 3. i 4. nožnog prsta kod brojlera starosti od 3 do 31 dana posebno je korisna i jednostavana *in*

vivo skrining metoda za procenu čelijski posredovanog imunskog odgovora i otkrivanje smanjene aktivnosti T limfocita (Stadercker i sar., 1977; Corkier i De Loach, 1990). Odgovor na intradermalnu aplikaciju PHA manifestovan edemom može da se čita posle 6 do 48 h od aplikacije. Vreme ispoljavanja maksimalane infiltracije kože varira zavisno od reakcije različitog tipa ćelija (Martin i sar., 2006).

Edemi kože su pokazatelji čelijski posredovane imunokompetentnosti i procenjivani su na osnovu četiri vrste zapažanja kod domaćih životinja: a) infiltracije leukocitima i/ili proliferacije na injekcionom mestu posle intradermalne aplikacije PHA (Stadecker i Leskowitz, 1974; Stadercker i sar., 1977; Sinha i sar., 1988; Corkier i De Loach, 1990), b) nastali edemi su nestajali kod timektomisanih ptica (Goto i sar., 1978), c) fitohemaglutinin pretežno stimuliše T limfocite, ali ne i B limfocite u uslovima *in vitro* (Elgert, 1996) i d) pojave odložene reakcije preosetljivosti, uključujući i pojavu edema na fitohemaglutinin koji su ponekad u uzajamnoj vezi sa sposobnošću životinja da kontrolišu određene vrste infekcija (najčešće virusne) (Turk, 1967). Na osnovu ovih nalaza jasno je da je edem kože posredovan sa PHA, i da predstavlja imunološku reakciju, ali nije jasan njegov funkcionalan značaj, odnosno tumačenje razlika u intenzitetu reakcije, tj. veličini edema.

Neka ispitivanja na divljim pticama pokazuju da pojava velikog edema kože posle aplikacije PHA ukazuje na veću verovatnoću stepena preživljavanja ptica (Gonzalez i sar.; 1999; Soler i sar., 1999). Iz tog razloga, edem kože posredovan sa PHA predstavlja pouzdanu zamenu za procenu opšte otpornosti organizma na bolesti (imunokompetentnost). Međutim, rezultati ispitivanja postojanosti edema kože posredovanog dejstvom PHA ukazuju na njegovu promenljivost zbog čega je sugerisano da je edem pokazatelj opšteg zdravstvenog stanja jedinki (Duffy i Ball, 2002; Ardia, 2005) ili zamena za procenu imunološke aktivnosti u određenim trenucima života životinja (Martin i sar., 2000; Tell i sar., 2005). Neki imunolozi ukazuju da je pojava velikih edema kože posledica alergije ili nekontrolisane lokalne inflamatorne aktivnosti (Elgert, 1996), i navode da veliki edemi nisu uvek bolji (Martin i sar., 2006).

Rusov i saradnici (1994) su ispitivali reakciju osetljivosti na PHA kod lakih i teških provenijencija brojlera u uslovima *in vivo* i pokazali da se pod uticajem PHA ne menja ukupni broj leukocita i odnos između diferenciranih leukocita u perifernoj krvi, i da citomorfološki sadržaj infiltrata kože nastao 12 h od inokulacije PHA ukazuje na

povećanje broja heterofila, smanjenje broja leukocita, makrofaga i mastocita. Kod praćenja imunološke reaktivnosti živine u intenzivnom uzgoju brzi odgovori mogu da se dobiju procenom statusa aktivnosti T limfocita.

Korišćenje mitogenih supstanci kod T i B ćelijski zavisnih antigena, bez prethodne senzibilizacije makroorganizma takođe se naziva odložena bazofilna preosetljivost, pa se često oba termina koriste u istraživačkoj terminologiji. Kao mitogena supstanca, u imunologiji se u poslednjoj deceniji koristi makromolekul fitohemaglutinin izolovan iz ekstrakta crvenog pasulja (*Phaseolus vulgaris*) (Martin i sar., 2006). Fitohemaglutinin (PHA-P) predstavlja prečišćenu smešu dva izolektina (eritroaglutinin PHA-E i leukoaglutinin PHA-L).

Kod ljudi i drugih kičmenjaka konzumiranje sirovih zrna pasulja prouzrokuje inflamaciju digestivnog sistema, a PHA i aglutinaciju eritrocita (Naspitz i Richter, 1968). Slično drugim lektinima, PHA je mitogena supstanca prema mnogim tipovima ćelija kičmenjaka, uključujući i T limfocite (Elgert, 1996).

Odgovor na mestu gde je inokulisan fitohemaglutinin manifestuje se lokalnim povećanjem i zadebljanjem kože nastalim zbog nakupljanja T limfocita i ćelija zapaljenskog procesa. Edem je posledica povećane permeabilnosti krvnih sudova izazvane oslobođanjem vazoaktivnih amina, serotonina i histamina, oslobođenim iz mastocita, kao i zbog senzibilizacije sa antitelima ili T ćelijama zavisnih antigena (Ptak i sar., 1991; Miljković i sar., 2007).

Pilići su senzibilisani na korišćene mitogene i B i T ćelijski zavisne antigene aplikovane intradermalno (Miljković i sar., 2007). Najveći broj autora opisuje jednostranu interdigitalnu aplikaciju fitohemaglutinina kod pilića i čurića. Meri se edem kože u milimetrima pre i posle aplikacije PHA, odnosno intenzitet odložene kožne preosetljivosti. Test kože i odložena preosetljivost izvedeni u uslovima *in vivo* imaju za rezultat inicijalni edem nastao kao odgovor na dejstvo senzibilizirajućeg agensa koji povećava debljinu kože koja se može videti posle 4 do 6 sati od aplikacije. Mnogi rezultati ispitivanja ukazuju da zdravi pilići imaju snažan imunološki odgovor i potkrepljuju hipotezu da neke promene u ćelijski posredovanom imunskom odgovoru i drugi patogeni mogu potencijalno da utiču na imunski odgovor.

2.12. Vakcinacija

U protekle dve decenije brojne studije su dokumentovale značaj stečenog imuniteta za odbranu ljudskog organizma od invazivne gljivične infekcije. Postoji široki konsenzus na polju medicinske mikologije da je ćelijski imunitet važan za uspešnu odbranu domaćina od infekcije gljivicama. Trenutno, postoji više projekata istraživanja razvoja vakcine protiv širokog spektra patogenih gljivica kod ljudi (Dixon i sar., 1989; Clemons i Stevens, 2005).

Međutim, u poslednjih nekoliko godina rezultati nekih ispitivanja ukazuju na potencijalnu efikasnost humoralnog imuniteta u zaštiti domaćina protiv dve glavne patogene gljivice (*Candida albicans* i *Cryptococcus neoformans*) (Cenci i sar., 2002). Ustanovljeno je da je produkcija antitela na unete antigene *C. albicans* (manan, proteaze, proteine toplotnog stresa) povezana sa zaštitom od infekcije. Dokazano je da vakcine mogu da stvaraju antitela protiv eksperimentalne infekcije prouzrokovane sa *Candida albicans* i *Cryptococcus neoformans*, dok u slučajevima vakcinacije sa *Coccidioides immitis* nije zapažena aktivnost humoralnog imuniteta i stvaranje protektivnih antitela kod ljudi (Cenci i sar., 2002). Ovi rezultati podstiču gledište da odgovor stečenog imuniteta može da bude mobilisan za preveniranje i lečenje gljivičnih infekcija.

Slična istraživanja stepena imunogenosti *A. fumigatus* sprovedena su kod čurića i brojlerskih pilića u cilju preveniranja ovog oboljenja. Mišljenje je da bi aktivni imunitet, dobijen posle vakcinacije ptica, ali i pasivni (imunoglobulini) bili korisni u preveniranju i lečenju aspergiloze. Međutim, pokušaji da se osmisle planovi vakcinacije sa različitim preparatima vakcine su pod velikim znakom pitanja, jer se radi o imunosuprimiranim životinjama koje bi trebalo tretirati imunoglobulinima (Schmidt, 2002). Korišćenje vakcina sa *A. fumigatus*, dobijene različitim tehnološkim i farmaceutskim postupcima dalo je veoma neusaglašene rezultate (Richard i sar., 1981).

Činjenica je da je uloga stečenog imuniteta u razjašnjavanju aspergiloze i dalje nejasna. Tako, dvokratna vakcinacija nije obezbedila zaštitu čurića od prethodnog nefatalnog izlaganja dejству spora *A. fumigatus*, već naprotiv, prouzrokovala je teži oblik zapaljenja vazdušnih kesa (Kunkle, 2003).

Ispitivana je efikasnost nekoliko eksperimentalno pripremljenih vakcina od izolata *A. fumigatus* (kultura filtrata *A. fumigatus*, suspenzija spora, micelijuma, germinal) kod čurića. Vakcina je aplikovana subkutano, dvokratno (prva i druga nedelja života), a u starosti od jednog meseca čurići su izlagani uticaju sporama *A. fumigatus* u obliku aerosola i koncentraciji koja prouzrokuje 100% uginuće kod nevakcinisanih čurića. Rezultati ispitivanja efikasnosti različitih vakcina ukazuju na zaštitni efekat od 38 do 48% kod čurića vakcinisanih vakcinom sa germinalnim *A. fumigatus*, i 50% kod čurića vakcinisanih sa micelijarnom vakcinom *A. fumigatus* (Richard i sar., 1981). Na osnovu procene efikasnosti ispitivanih vakcina u zaštiti čurića od infekcije sa *A. fumigatus* može da se zaključi da je stepen zaštite nedovoljan, zbog čega je primena vakcina ograničena (Richard i sar., 1981; Richard i sar., 1984). Nijedna komercijalna vakcina protiv infekcije sa *Aspergillus* spp. nije registrovana u svetu (Arne i sar., 2011).

Iako su predlagani brojni protokoli primene antimikotičkih lekova za lečenje aspergiloze ptica, lečenje ove mikoze u živinarskim farmama je praktično nemoguće (Beernaert i sar., 2010).

Preveniranje infekcije živine sa *A. fumigatus* se sprovodi primenom biosigurnosnih mera i smanjivanjem broja predisponirajućih faktora. S obzirom da je *Aspergillus* spp. oportunistički patogen redukcija predisponirajućih imunosupresivnih faktora kao što su kontinuirani stres, primena antibakterijskih lekova i drugih imunosupresivnih supstanci i malnutricija, doprinose sprečavanju pojave oboljenja. Izbegavanje prisustva ključnih faktora za nastanak aspergiloze, kao što su: prašnjava i buđava prostirka i hrana, ali i sprovođenje dobrog menadžmenta prostirke zajedno sa svakodnevnom procenom njenog kvaliteta tokom celog životnog veka jata živine obezbeđuju zaštitu od infekcije (Beernaert i sar., 2010; Arne i sar., 2011). Takođe, prostirka i hranilice treba da budu čiste, suve i bez prašine da bi se ograničio razvoj gljivica. Neophodno je kontrolisati relativnu vlažnost preko odgovarajuće ventilacije da bi se sprečilo vlaženje prostirke i stvarali pogodni uslovi za razvoj gljivica (DeBey i sar., 1995; Kunkle, 2003). U cilju sprečavanja infekcije i kontrolisanja stepena kontaminacije životnog okruženja (površine i unutrašnjost objekta) ubikvitarnim gljivicama korisno je povremeno primenjivati fungistatike, kao što su: tiabendazol, nistatin, bakar sulfat (Dyar i sar., 1984) i enilkonazol u obliku spreja, magle ili nebulizacije. I na kraju, ali ne manje važno, potrebno je maksimalno smanjiti efekte

stresora, kao što su: debikiranje kljunova i prenaseljavanje u objektima (Akan i sar., 2002).

2.13. Uticaj infekcije sa *Aspergillus spp.* na hematološke parametre i imunski status živine

Poznate su visoke fiziološke intra- i interspecijske hematološke varijacije kod ptica. Posledica su postojanja velikog broja vrsta, razlika u brzini metabolizma, pola, starosti, reproduktivnog statusa i sezonskih varijacija.

Hematološko ispitivanje je jedno od značajnih ispitivanja koje može da doprinese otkrivanju i praćenju poremećenog zdravlja i fiziološkog statusa živine. Ovim ispitivanjem se procenjuje ćelijski (broj i morfologija ćelijskih elemenata krvi) i serumski sastav krvi, koagulacija, formiranje krvnih ćelija, sinteza hemoglobina, imunski status i poremećaj svih ovih procesa (Albert, 2005; Kassirskii, 2010). Promenjene vrednosti hematoloških parametara su dobar indikator za procenu odgovora živine na različite prouzrokovane bolesti i stresna stanja (Etim i sar., 2014; Anjorin i Cyriacus, 2014).

Gljivična infekcija - aspergiloza je praćena teškom do umerenom heterofilijom (često sa toksičnim promenama u beloj krvnoj lozi), limfocitozom i monocitozom kod brojlerskih pilića (Mitchell i Johns, 2008; Etim i sar., 2014). Rezultati hematoloških ispitivanja dobijeni kod brojlerskih pilića, koji su tokom tri nedelje konzumirali hranu kontaminiranu metabolitima *A. flavus* i *A. ochraceus* ukazuju da mikotoksini značajno smanjuju broj leukocita, limfocita, eritrocita, koncentraciju hemoglobina i vrednost hematokrita, a značajno povećavaju broj heterofila (analog neutrofilima kod sisara) (Tuzcu i sar., 2010; Anjorin i Cyriacus, 2014).

Takođe, ispitivan je uticaj *Aspergillus terreus* (mikotoksin - teritrem B) na rast, biohemski i hematološke parametre brojlerskih pilića koji su tokom šest nedelja konzumirali hranu kontaminiranu ovom vrstom plesni. Ustanovljeno je značajno sniženje koncentracije gvožđa, hemoglobina i glikemije u krvi, a pad koncentracija navedenih parametara progresivno se povećavao sa većim unosom kontaminirane hrane (Kiran i sar., 2015). Pad koncentracije hemoglobina, albumina, proteina i glukoze u krvi brojlera uočen je i posle konzumiranja hrane kontaminirane gliotoksinom (Reddy i sar.,

1997). Kiran i saradnici (2015) su našli da mikotoksin teritrem B, primenjivan u hrani tokom šest nedelja dovodi do značajnog smanjenja broja eritrocita, leukocita, heterofila i limfocita, i da je ovo smanjenje u korelaciji sa unetom količinom hrane. Takođe, ovaj mikotoksin prouzrokuje značajno povećanje broja bazofilnih granulocita, ali ne utiče na broj monocita.

Mikotoksići značajno narušavaju homeostazu krvi i prouzrokuju imunosupresiju. Takođe, metaboliti *A. flavus* imaju imunosupresivni efekat, tj. značajno smanjuju aktivnost ćelijski posredovanog imuniteta, odnosno smanjuju ukupan odnos leukocita i limfocita. Mikotoksići deluju kao imunosupresori dovodeći do inhibicije i humorалног i celуларног имунског одговора. Oni inhibiraju fagocitozu i mikrobiocidnu aktivnost makrofaga i smanjuju sadržaj T limfocita u perifernoj krvi brojlerskih pilića (Oguz i sar., 2000).

Aflatoksin je veoma snažan imunosupresor i prouzrokuje depleciju limfoidnog tkiva, remeti funkcije makrofaga i limfocita i redukuje sintezu i produkciju komplementa. Ohratoksin dovodi do atrofije limfnih organa, oštećenja ćelija uključenih u humorali i celularni imunski odgovor, i remeti fagocitnu aktivnost. Takođe, trihoteceni dovode do deplecije limfoidnih organa živine, smanjenja limfocitnog mitogenog odgovora i citotoksični su za makrofage. Svi ovi mikotoksići slabe imunski odgovor na vakinalne antigene i značajno povećavaju osjetljivost prema raznim infekcijama (Resanović, 2015).

Stres prouzrokuje povećanje broja heterofila i smanjenje broja limfocita, kao i loš heterofilno - limfocitni odnos, što predstavlja bolji indikator stresa od povećanja koncentracije kortikosterona u krvi (Resanović i Palić, 2009). Povećanje heterofila (heterofilija) nastaje kao posledica opšte zapaljenske reakcije izazvane intoksikacijom i akutnim hemoragijsima. Takođe, hemolitička anemija može da prouzrokuje heterofiliju, a povećan procenat bazofila ukazuje na hroničnu hemolitičku anemiju i gljivičnu infekciju (Anjorin i Cyriacus, 2014).

Parenteralna višekratna primena deksametazona prouzrokuje ćelijski posredovanu imunosupresiju i smanjuje otpornost na infekcije kod različitih vrsta životinja, uključujući piliće i ćuriće (Huff i sar., 1998). Injekciona primena deksametazona se široko koristi u eksperimentalnim modelima za procenu imunomodulacije, odnosno imunosupresije izazvane stresom. Deksametazon

primenjivan trokratno (svaki drugi dan) ili tokom tri do sedam uzastopnih dana u dozi od 2 do 5 mg/kg (i.m.) kod čurića, brojlerskih pilića, golubova i sokolova prouzrokuje imunosupresiju ćelijskog imuniteta i menja odnos heterofila i limfocita (Huff i sar., 1998; Beernaet i sar., 2008). Ovaj glikokortikoid povećava učestalost pojave aerosakulitisa i osteomijelitis - kompleksa nakon eksperimentalne infekcije čurića izazvane sa *E.coli*. Oba tretmana značajno su smanjivala relativnu masu burze Fabricii. Deksametazon povećava broj izolata *E. coli* iz tkiva čurića, kao i odnos heterofila i limfocita, tj. povećava broj heterofila a smanjuje broj limfocita. Ovi rezultati ukazuju da stresom izazvana imunosupresija (primenom deksametazona) može biti uključena u etiologiju aerosakulitisa i osteomijelitis kompleksa čurića izazvanog eksperimentalnom inokulacijom *E. coli* (Huff i sar., 1998).

2.14. Primena molekularnih metoda dijagnostike *Aspergillus fumigatus* kod ptica

Invazivne gljivične infekcije mogu da predstavljaju ozbiljnu pretnju po zdravlje stanovništva. Populacija stanovništva je u stalnom porastu, a takođe i broj imunokompromitovanih ljudi, pa je i stepen pojave gljivičnih infekcija u poslednjim decenijama sve prisutniji. Tradicionalne dijagnostičke metode, kao što su histologija i mikologija imaju nisku osetljivost, ali se još uvek smatraju zlatnim standardom u dijagnostici gljivičnih oboljenja. Zbog ove činjenice sve više se razvijaju i druge metode za dijagnostiku infektivnih gljivičnih agenasa. U kliničkoj praksi razvijene su nove serološke i molekularne metode koje imaju veći stepen osetljivosti u odnosu na klasične. Testovi koji detektuju prisustvo antiga na galaktomananu za dijagnozu aspergiloze, β -glukana za dijagnostiku invazivne kandidijke i plesni, kao i drugi antigen i antitelo testovi za *Cryptococcus* spp., *Pneumocystis* spp. i dimorfne gljivice već uveliko su našli primenu u svakodnevnoj rutinskoj kliničkoj dijagnostici. S druge strane nove PCR i druge molekularne metode kao što su matriksna laserska ionizujuća desorpcija (MALDI) i fluorescentna hibridizacija in situ (FISH) pokazuju veći stepen osetljivosti i preciznosti, pa polako pronalaze put u standardnoj rutinskoj kliničkoj praksi (Richard C. Barton, 2013).

Veoma brz razvoj molekularne biologije doprineo je razvoju novih molekularnih metoda koje se danas sve češće koriste u dijagnostici infektivnih bolesti. Danas se molekularne metode, od kojih je najznačajnija PCR koriste u rutinskoj laboratorijskoj i kliničkoj praksi zamenjujući standardne konvencionalne metode. Osnovne prednosti ovih metoda jesu jednostavnost i brzina izvođenja. Korišćenje PCR metode povećava mogućnost identifikacije uzročnika u ranom stadijumu infekcije kada su i veće mogućnosti za uspešniju terapiju. PCR je jedna od starijih i najšire korišćenih metoda za dijagnostiku gljivičnih infekcija (Tsui i sar., 2011). Osnovni nedostatak klasične PCR tehnike je činjenica da ne postoji mogućnost kvantifikacije amplifikovane DNK iz uzorka. Ovo je vrlo značajno radi utvrđivanja da li se radi samo o kolonizaciji ili o aktivnoj infekciji. Problem je rešen razvojem real-time PCR tehnike koja ima sposobnost da kvantificuje količinu amplifikovane DNK u realnom vremenu. Danas je real-time PCR sve više u upotrebi u laboratorijskoj primeni u odnosu na standardnu PCR. Uprkos velikom potencijalu PCR metoda, proces izolacije DNK je ometao pokušaje za standardizaciju ovih metoda, jer su se vrlo često javljale značajne razlike u korišćenju raznih metoda ekstrakcije. Gljivice, i to naročito plesni imaju kompleksno građen ćelijski zid koji se teško razlaže, što zahteva dugotrajne i složene postupke ekstrakcije DNK (Tsui i sar., 2011). Tehnike ekstrakcije su obično zasnovane na enzimskoj digestiji uz korišćenje toksičnih hemijskih supstanci kao što su: fenol - hloroform, mehanička destrukcija perlicama i sonifikacija. Da bi se prevazišle ove teškoće razvijene su i metode automatizovane ekstrakcije u kojima je smanjeno vreme ekstrakcije i mogućnost greške. Drugi problem koji se javlja kod primene PCR za dijagnostiku gljivica je potencijalna kros kontaminacija. Imajući u vidu da su gljivice ubikvitarnе u životnoj sredini, i da vrlo lako kontaminiraju površine i materijale koji se koriste u laboratoriji, uključujući i reagense, potrebno je primenjivati mere predostrožnosti, a osoblje koje radi u laboratoriji mora biti iskusno i dobro obučeno. Na kraju, vrlo je važan izbor prajmera za dijagnostiku, kao i korišćenje optimalanih PCR protokola. Zbog navedenih mogućih problema, ni jedan od ponuđenih protokola ne daje dovoljno dokaza za tačnost, i ne može da se smatra standardom u dijagnostici gljivičnih infekcija.

Zbog visoke incidencije sistemskih gljivičnih infekcija kod imunokompromitovanih ljudi i životinja veliki broj naučnika pokušava da otkloni

nedostatke poznatih molekularnih metoda (PCR), matriksna laserska ionizujuća desorpcija (MALDI) i fluorescentna hibridizacija in situ (FISH) tako što razvijaju i modifikuju određene postupke u cilju povećanja njihove osetljivosti i specifičnosti u otkrivanju odgovarajućeg soja prouzrokovaca. U tom smislu, razvijen je dvostepeni PCR protokol koji smo i mi korili za identifikaciju *Aspergillus fumigatus* u unutrašnjim organima čurića, kao što su: pluća i vazdušne kese, traheja, jetra, srce, bubreg, mozak i kostna srž.

Protokol modifikovane dvostepene PCR metode omogućava specifično povećanje osetljivosti mesta na 18S rRNK subjedinici koja je duboko smeštena u *A. fumigatus*. Na ovaj način obezbeđuje se direktna i brza detekcija DNK gljivice (Bansod i sar., 2008). Prvi korak u detekciji *A. fumigatus* je primena prvog para prajmera AFU7S i AFU7AS koji daju PCR prozvod od 405 baznih parova (bp). Dobijeni proizvod od 405bp je uziman kao matrica za drugi krug reakcija u kojem je korišćen drugi par prajmera: AFU5S i AFU5S. Proizvod drugog kruga korišćenih prajmera iznosio je 236bp (Bansod i sar., 2008).

3. CILJ I ZADACI

Cilj istraživanja je da se kod čurića eksperimentalno inficiranih sa *Aspergillus fumigatus* ispita uticaj uzročnika na njihovo zdravstveno stanje, evoluciju patomorfološkog supstrata, imunološki odgovor, kao i propagacija uzročnika u druga tkiva. Postavljeni cilj biće realizovan kroz sledeće zadatke:

1. Klinička opservacija imunokompetentnih i imunosuprimiranih (deksametazonom tretiranih) čurića veštački inficiranih sa *Aspergillus fumigatus*.
2. Ispitivanje makroskopskih i mikroskopskih promena u parenhimatoznim organima (pluća, vazdušne kese, jetra, srce i mozak) veštački inficiranih imunokompetentnih i imunosuprimiranih čurića, korišćenjem standardnih i specifičnih histoloških metoda.
3. Mikološka i molekularna ispitivanja organa imunokompetentnih i imunosuprimiranih inficiranih čurića.
4. Ispitivanje stepena ćelijskog imunskog odgovora kod veštački inficiranih imunokompetentnih i imunosuprimiranih čurića posle intradermalne aplikacije fitohemaglutinina.
5. Ispitivanje aktivnosti humoralnog imunskog odgovora kod imunokompetentnih i imunosuprimiranih čurića posle primene vakcine protiv atipične kuge živine.
6. Hematološka ispitivanja kod veštački inficiranih imunokompetentnih i imunosuprimiranih čurića.
7. Statistička obrada i poređenje rezultata dobijenih kod oglednih i kontrolnih grupa.

4. MATERIJAL I METODE

4.1. Formiranje ogleda

Za predviđena istraživanja korišćeni su jednodnevni čurići poreklom od roditeljskih parova provenijencije „Converter“. Imunoprofilaksa kod roditeljskog jata sprovedena je prema programu za roditeljske parove.

Ogled je izveden na ukupno 90 čurića, oba pola, podeljenih u četiri grupe: ogledna grupa 1 (O-1), ogledna grupa 2 (O-2) sa po 30 jedinki, i kontrolna grupa 1 (K-1) i kontrolna grupa 2 (K-2) sa po 15 jedinki u grupi. Čurići su smešteni u odvojene bokseve na dubokoj prostirci od drvene šuške debljine 12 cm, koja je tokom ogleda redovno negovana. Gustina naseljenosti iznosila je 12 jedinki po kvadratnom metru. Pre naseljavanja čurića objekat je mehanički očišćen, sanitarno opran i dezinfikovan sa komercijalnim hlornim preparatom „Hlorocet“. Posle izvršene dezinfekcije uzeti su brisevi sa više mesta u boksu za bakteriološki i mikološki pregled radi procene efikasnosti dezinfekcije. Završna dezinfekcija, sprovedena sa parama formaldehida, izvedena je nakon unošenja prostirke. Po završenoj fumigaciji uzorkovana je prostirka za mikološki pregled.

Ishrana čurića, *ad libitum*, sa kompletном krmnom smešom (ČU-1) proizvođača „Veterinarski zavod Subotica“ za ishranu ove starosne kategorije obavljana je, u početku pomoću plastičnih tacni, a kasnije visećih cilindričnih ručnih hranilica prečnika 40 cm postavljanih u nivou grudne muskulature. Pre početka hrانjenja kompletna krmna smeša pregledana je mikološki i hemijski kako bi se isključio mogući izvor infekcije. Tokom ogleda, čurići su kontinuirano napajani svežom vodom iz zvonastih plastičnih pojilica zapremine 5 litara. Punjene su ručno, a svaka od njih je obezbeđivala oko 3 cm pojedbenog prostora po jedinki.

Mikroklimatski uslovi su prilagođeni potrebama čurića. Temperaturni režim održavan je prema preporuci proizvođača komercijalnog hibrida uz korišćenje grejnog

tela (električna veštačka kvočka) konvencionalnog tipa koje je pored toplote obezbeđivalo i izvor svetlosti neophodne jačine za čuriće.

Na dan uvođenja čurića u ogled, punkcijom srca jednodnevnih čurića uzorkovana je krv radi određivanja titra pasivno prenetih antitela protiv virusa Newcastle bolesti. Istog dana je žrtvovano 5 čurića, a uzorci organa ispitivani su mikološki zasejavanjem na Sabouraud dekstrozni agar da bi se isključila moguća prirodna infekcija sa *Aspergillus fumigatus* koja može da nastane još tokom inkubiranja jaja.

Nakon aklimatizacije, sedmog dana starosti čurića sve četiri grupe (O-1; O-2; K-1 i K-2) su vakcinisane protiv atipične kuge živine. Antigen La Sota soj (vakcina Lasovak, Vet. zavod Subotica) je aplikovan okulo-nazalno, prema uputstvu proizvođača. Kontrola imunskog odgovora čurića na dati antigen obavljena je 21. dana nakon vakcinacije uzorkovanjem krvi iz krilne vene.

Četrnaestog dana starosti čurići ogledne grupe 1 (O-1) inficirani su intratrahealno suspenzijom spora *Aspergillus fumigatus* u koncentraciji od $5,056 \times 10^7$ cfu u zapremini fiziološkog rastvora NaCl od 0,3ml po čuretu. Čurići ogledne grupe 2 (O-2) inficirani su istog dana, istom koncentracijom spora u istoj zapremini vehikuluma, s tom razlikom što su oni svakodnevno, tokom šest uzastopnih dana pre infekcije tretirani i.m. deksametazonom (u obliku natrijum-fosfata - Dexaveto® 0,2) u dozi od 4mg/kg telesne mase. Čurićima kontrolne grupe 1 i 2 četrnaestog dana starosti je intratrahealno aplikovano po 0,3 ml sterilnog fiziološkog rastvora NaCl, a čurićima kontrolne grupe 2 i deksametazon i.m. u dozi od 4mg/kg telesne mase tokom šest uzastopnih dana pre intratrahealne inokulacije sterilnog fiziološkog rastvora.

4.1.1. Gljivični soj – Referentni soj *Aspergillus fumigatus*

Za eksperimentalnu infekciju korišćen je referentni soj *Aspergillus fumigatus* ATCC 204305 (kataloški broj: 01021, Lot broj: 1021-08), KWIK STIK DUO PACK (Microbiologics, USA).

4.1.2. Priprema suspenzije spora *Aspergillus fumigatus* za veštačku infekciju

Priprema suspenzije spora za veštačku infekciju je obavljena na Odeljenju za bakteriologiju i parazitologiju Naučnog instituta za veterinarstvo Srbije, a određivanje

broja spora u Laboratoriji za mikologiju Odeljenja za biljnu fiziologiju Instituta za Biološka Istraživanja "Siniša Stanković". Nakon otvaranja kwick stick duo packa i pripreme uzorka po uputstvu proizvođača, dobijena suspenzija je zasejavana na 2 ploče Sabouraud dekstroznog agara. Jedna ploča je inkubirana na 25°C, a druga na 37°C tokom 48 sati. Nakon inkubacije pregledana je čistoća kulture, izgled izraslih kolonija i napravljeni su preparati koji su obojeni Lactophenol-cotton blue. Kolonije *Aspergillus fumigatus* su presejane na 5 ploča Sabouraud dekstroznog agara i inkubirane na 37°C tokom 72 sata. Nakon ponovne kontrole čistoće kulture, spore sa dobijenih kultura *Aspergillus fumigatus* su isprane sterilnim fiziološkim rastvorom NaCl-a uz blago prelaženje podloge sterilnim staklenim štapićima. Dobijena suspenzija spora, sa sterilnim pasterovim pipetama preneta je u erlenmajer boce, i profiltrirana kroz sloj sterilne gaze radi odvajanja eventualno prisutnih delova micelijuma plesni. Za brojanje spora *Aspergillus fumigatus* korišćena je komorica za brojanje krvnih ćelija „Neubauer“. Zapremina suspenzije spora od 50 µl preneta je na pločicu za brojanje prekrivenu pokrovnim stakлом. Svetlosnim mikroskopom je nađena mrežica i prebrojane spore u 5 polja, zbog preciznijeg proračuna. Izračunat je prosečan broj spora po jednom vidnom polju prema sledećoj formuli:

$$X_{sr} = (320+310+325+308+318)/5 = 316,4$$

Prosečan broj spora po jednom vidnom polju iznosio je 316, a zatim je taj broj pomnožen sa ukupnim brojem polja, 16 i dobijena je sledeća vrednost:

$$316,4 \times 16 = 5056$$

$$5056 \times 10^4 = \mathbf{5,056 \times 10^7 \text{ spora}}$$

4.1.3. Veštačka infekcija

Pripremljena suspenzija spora *Aspergillus fumigatus* je pre aplikacije temperirana na sobnoj temperaturi. Pomoću automatske mikropipete (Eppendorf) suspenzija je razlivena u sterilne mikrotube sa poklopcom u zapremini od 0,3 ml koja sadrži individualnu koncentraciju/dozu ($5,056 \times 10^7$ spora) spora za veštačku infekciju. Pripremljeni broj mikrotuba odgovarao je broju čurića oglednih grupa (O-1; O-2).

Čurići su inficirani intratrahealno uvođenjem polietilenske braunile (sistem za intravensku aplikaciju leka) u traheju. Na plastičnu brizgalicu zapremine od 1ml stavljena je prethodno, od sistema odsečena gumeni cevčica. Ovim sistemom je

aspirirana suspenzija spora *A. fumigatus*, a pomoćnik je fiksirao jedinku, otvarao kljun i lagano povlačio jezik rostralno kako bi bio vidljiv otvor laringsa. Gumena cevčica je pažljivo uvođena u traheju i pritiskom na klip brizgalice sporo aplikovana suspenzija.

4.1.4. Praćenje telesne mase i klinička opservacija

Telesna masa čurića merena je na dan veštačke infekcije, a potom nakon druge i treće nedelje posle infekcije. Nakon inokulacije suspenzije spora čurići su svakodnevno, tri puta tokom dana, opservirani u cilju ocene kliničkog stanja u periodu posle inokulacije. U toku ogleda meren je i prosečni sedmodnevni prirast. Ogled je trajao 35 dana, a za vreme trajanja nije zabeleženo uginuće, kako čurića ogledne grupe 1 i 2, tako i kontrolne grupe 1 i 2.

4.1.5. Uzorkovanje

Za serološko - imunološko ispitivanje, radi kontrole imunskog odgovora (serokonverzija) na aplikovani antigen uzimano je po 10 uzoraka krvi punkcijom krilne vene čurića oglednih i kontrolnih grupa, 21. dana posle vakcinacije. Dvadeset prvog dana od infekcije uzorkovana je krv od po 10 čurića iz svake grupe (obe ogledne i obe kontrolne) za hematološko ispitivanje.

U cilju ocene evolucije patomorfološkog substrata, kao i propagacije uzročnika u druga tkiva u određenom vremenskom intervalu od infekcije (1, 3, 7, 14 i 21. dana) žrtvovano je po šest čurića iz oglednih grupa i po tri iz kontrolnih od kojih su uzorkovani organi (pluća i vazdušne kese, srce, jetra i mozak) za mikološka, patomorfološka, histopatološka i molekularna ispitivanja. Dodatno, za molekularna ispitivanja uzorkovani su uzorci kosne srži i bubrega.

4.2. Metode ispitivanja

4.2.1. Serološko ispitivanje

Uzorci krvi iz krilne vene čurića uzimani su na dan uvođenja u ogled i 21. dana posle vakcinacije protiv atipične kuge živine. Ispitani su serološki metodom inhibicije

hemaglutinacije (HI test) na prisustvo specifičnih antitela protiv virusa atipične kuge živine.

Krvni serumi čurića ispitivani su u predviđenim terminima (HI test) na sledeći način:

- 0,025ml PBS-a se unese u svaki pojedinačni bunarčić mikroploče sa V-dnom.
- 0,025ml seruma se doda u prvi red svih bunarčića na ploči.
- Dvostruko serijsko razređenje od 0,025ml zapremine seruma se izvede na celoj ploči.
- Dodaje se 0,025ml virusne suspenzije koja sadrži 4 HAJ u svaki bunarčić i ostavi 30 minuta na sobnoj temperaturi.
- U sve bunarčице se doda 0,025ml 1% eritrocita petla i ostavi na sobnoj temperaturi 40 minuta.
- Ploče se čitaju nakon 40 minuta kada se u kontrolnim bunarčicima natalože eritrociti.
- Očitava se tako da se u nagnutoj mikrotitar ploči posmatra prisutnost ili odsutnost toka u obliku suze sa istom brzinom koji ima tok u kontrolnim bunarčicima, koji sadrže samo eritrocite (0,025ml) ili PBS (0,05ml).
- Hi titar je najveća dilucija seruma koja kompletno inhibira 4 HAJ antiga.

4.2.2. Imunološko ispitivanje sa fitohemaglutininom (PHA)

Za ocenu T ćelijskog imunskog statusa čurića korišćen je fitohemaglutinin (PHA) proizvođača „INEP“ iz Beograda. Fitohemaglutinin je aplikovan kod 40 čurića (po 10 iz svake grupe ukupno 4 grupe) starosti od 28 dana, odnosno 21. dana nakon primene vakcine protiv atipične kuge živine. Fitohemaglutinin je davan u dozi od 100 µg/jedinki. Pre aplikacije je razblaživan sa sterilnim fiziološkim rastvorom NaCl u zapremini od 0,1ml i u njoj aplikovan intradermalno između 3. i 4. prsta desne noge čureta. Sterilan fiziološki rastvor, koji je istovremeno predstavljao kontrolnu supstancu, aplikovan je u istoj zapremini, na istom mestu kao i PHA, ali samo u levu nogu svakog pojedinačnog čureta. Debljina kože (DK) izražavana u milimetrima, merena je kutinometrom („John Bull“, British indicators LTD, England) 0., 6., 12. i 24. časa posle aplikacije PHA i fiziološkog rastvora.

Reakcija kožne bazofilne hipersenzitivne preosetljivosti (*Cutaneous Basophil Hypersensitivity* – CBH) je takođe vizuelno procenjivana na osnovu intenziteta eritema i otoka kože.

4.2.3. Hematološko ispitivanje

Hematološko ispitivanje je sprovedeno prema preporuci Rusova-a (2002). Krv je za za ovo ispitivanje uzorkovana punkcijom krilne vene (*v. brachialis*).

Uzorkovana je puna krv sa antikoagulansom (EDTA) i ispitana pomoću hematološkog analizatora „ADVIA 120“, Siemens, Nemačka. Ispitivani su sledeći parametri: broj eritrocita, hematokrit, koncentracija Hb i leukogram. Za određivanje broja eritrocita - direktna metoda, korišćene su modifikovane Neubauer komorice za brojanje ćelija, za određivanje hemoglobina hematološki analizator „ADVIA 120“, Siemens, Nemačka, a za određivanje hematokrita - mikrohematokrit metoda uz korišćenje heparisanih mikrokapilara i centrifuge. Za određivanje broja leukocita, korišćena je indirektna metoda brojanja leukocita, a za određivanje leukocitarne formule - mikroskopska analiza bojenog razmaza krvi - Wrightov rastvor (proizvođač NRK Inžinjering, Beograd).

4.2.4. Mikološko ispitivanje

Uzorkovani organi za mikološko ispitivanje su inokulisani na Sabouraud dekstrozni agar i inkubisani na temperaturi od 25°C u aerobnim uslovima u svrhu izolacije infektivnog agensa. Da bi se izbegla bakterijska kontaminacija podlozi su dodavani antibiotici: penicilin G (20 ij/ml) i streptomycin sulfat (40 µg/ml). Makroskopska i mikroskopska ispitivanja izraslih kolonija izvršena su prema Swatek-u (1985).

4.2.5. Molekularno ispitivanje

4.2.5.1. Priprema tkiva za molekularno ispitivanje

Za molekularno ispitivanje uzorkovani su organi respiratornog sistema (pluća i vazdušne kese), zatim kostna srž, mozek, srce, jetra i bubreg. Za svaki uzorak organa

korišćen je poseban pribor (skalpel, pinceta) kojim je organ prebacivan u obeležene čašice vodeći pritom računa o mogućoj unakrsnoj kontaminaciji.

Da bi se izbegla spoljna kontaminacija uzoraka tkiva sporama *A. fumigatus* čitav postupak pripreme i samo izvođenje su obavljeni pod sterilnim uslovima u laminarnoj komori biološke sigurnosti nivoa 2 (Bio safety level 2).

Uzorak tkiva mase 1g je maceriran u sterilnom avanu sa tučkom, a zatim je usitnjeni deo tkiva prebačen u sterilne epruvete zapremine 15ml sa dodatkom sterilnog fiziološkog rastvora NaCl u odnosu 1:10 (1g tkiva i 9ml rastvora). Zatim je izvršena temeljna homogenizacija na vortex aparatu. U Eppendorf sterilne mikrotube zapremine od 1,5ml prebačeno je po 200µl homogenizovanog tkiva i dodata proteinaza K u zapremini od 20µl i 180µl ATL pufera. Mikrotube su obeležene, a zatim inkubirane tokom noći u termostatu na temperaturi od 56°C. Nakon inkubacije uzorci su tretirani u 3 uzastopna ciklusa, od kojih je svaki imao fazu zamrzavanja u tečnom azotu na temperaturi od -70°C (1 minut) i fazu kuvanja na temperaturi od 100°C (2 minuta). Dalja ekstrakcija je nastavljena sa *QIAamp DNA Mini kit* (*Qiagen, Hilden, Nemačka*) prema protokolu za ekstrakciju iz tkiva. Uzorci ekstrahovane DNK čuvani su na temperaturi od -20°C.

I Ekstrakcija – Ekstrakcija DNK *Aspergillus fumigatus* i Nested - PCR iz uzoraka organa – prema uputstvu proizvođača *QIAamp DNA Mini kit* (*Qiagen, Hilden, Nemačka*)

Protokol za ekstrakciju DNK:

Procedura:

1. Sipati 20µl proteinaze K na dno mikrotube zapremine od 1,5 ml.
2. Dodati 200µl uzorka u mikrotubu. Ukoliko je volumen uzorka manji od 200µl, dodati PBS do potrebnog volumena.
3. Dodati 200µl pufera AL i mešati 15 sekundi.
4. Inkubirati na temperaturi od 56°C tokom 10 minuta.

5. Kratko centrifugirati kako bi se uklonile kapljice sa poklopca mikrotube.
6. Dodati 200µl apsolutnog etanola (96 - 100%) u uzorak i mešati tokom 15 sekundi.
Kratko centrifugovati da bi se uklonile kapljice sa unutrašnje strane poklopca.
7. Mešavinu iz prethodnog koraka pažljivo sipati u kolonicu i paziti da se ne pokvasti rub. Centrifugirati na 6000×g (8000 rpm), 1 minut. Postaviti kolonicu u novu sabirnu

tubicu, a staru i filtrat odbaciti. Ukoliko nije sve prošlo kroz membranu, ponavljano je centrifugiranje pri većoj brzini sve dok sav sadržaj ne prođe.

8. Pažljivo se otvora kolonica i dodaje pufer AW1 u zapremini od 500 μ l. Paziti da se ne pokvasi rub kolonice. Zatvoriti kolonice i centrifugirati na 6000 \times g (8000 rpm), 1 minut. Postaviti kolonicu u novu sabirnu tubicu, a staru i filtrat odbaciti.

9. Pažljivo otvoriti koloniku i dodati pufera AW2 u zapremini od 500 μ l. Paziti da se ne pokvasi rub kolonice. Zatvoriti koloniku i centrifugirati pri punoj brzini (20000 \times g, 14000 rpm), 3 minuta.

10. Postaviti kolonicu u mikrotube zapremine od 1,5 ml. Sabirne tubice i filtrat odbaciti. Pažljivo otvoriti koloniku i dodati pufer AE u zapremini od 200 μ l ili destilovanu vodu. Inkubirati na sobnoj temperaturi 1 minut. Centrifugirati na 6000 \times g (8000 rpm), 1 minut. Kolonice odbaciti. Izolovana DNK je u mikrotubama zapremine od 1,5 ml.

11. Ekstrahovana DNK je čuvana na temperaturi od - 87°C ili je odmah korišćena u reakciji lančane polimeraze.

Izvođenje dvo stepenog (Nested) PCR protokola za detekciju *A. fumigatus* - a obavljeno je prema proceduri Bansod i saradnika (2008). Korišćena su dva para oligonukleotidnih prajmera. Prvi stepen PCR protokola izvođen je primenom oligonukleotidnih prajmera AFU7S (5'CGG CCC TTA AAT AGC CCG'3) i AFU7AS (5'CGG CCC TTA AAT AGC CCG'3), a produkt ove reakcije iznosio je 405bp. Ovaj proizvod je predstavljao matricu za drugi stepen reakcije koja je izvođena sa drugim parom oligonukelotidnih prajmera AFU5S (5'AGG GCC AGC GAG TAC ATC ACC TTG'3) i AFU5AS (5' GG G (AG)GT CGT TGC CAA C(CT)C (CT)CC TGA'3) koji su imali sposobnost da se vežu za 18s rRNK *A. fumigatus*. Metodom provere oligonukleotidnih prajmera (BLAST) potvrđena je 100% specifičnost za *A. fumigatus*.

Vizuelizacija lančane reakcije polimeraze je postignuta gel elektroforezom u agaroznom gelu koncentracije 2%, u 1 \times TBE puferu, sa dodatkom etidium - bromida kao fluorescentnog indikatora. Proces elektroforeze je obavljen u *Hoeffer submarine* aparatu za elektroforezu, pri naponu od 60 V i jačini struje od 10mA tokom 30 minuta.

Radi određivanja karakteristične dužine amplifikovanog segmenta korišćen je molekularni marker *Fast ruler DNA ladder, low range (Fermentas, Lithuania)*.

Da bi se izbegla unakrsna kontaminacija, svaka faza dijagnostičkog postupka (od pripreme uzorka do nested - PCR) je rađena u odvojenim prostorijama koje su namenjene PCR dijagnostici, uz primenu odgovarajuće opreme i materijala.

4.2.6. Histopatološko ispitivanje

Za histopatološko ispitivanje uzorkovani su tkivni isečci pluća, vazdušnih kesa, srca, jetre, bubrega i mozga dimenzija $1 \times 1 \times 0,5$ cm gde je bilo moguće izmeriti dimenzijske, a zatim fiksirani u 10% neutralnom formalinu. Fiksacija je obavljena u plastičnim bočicama sa širokim grlom i poklopcom u trajanju od 48 do 72 sata. Nakon fiksacije tkivo je obrađeno u automatskom tkivnom procesoru (dehidratacija kroz rastuće koncentracije etanola, prosvetljavanje u ksilolu, impregnacija parafinom) i uklopljeno u parafinske blokove. Parafinski blokovi su isečeni pomoću rotacionog mikrotoma na rezove debljine $5\mu\text{m}$, a zatim obojeni hematoksilin-eozin, Grocott i PAS metodom. Histološki preparati su pregledani optičkim mikroskopom Olympus BX51 uz upotrebu uobičajenih uvećanja (20, 40, 100, 200, 400 i 600 puta). Za morfometrijsku analizu korišćen je morfometrijski softver Olympus Cell B. Digitalne fotografije su napravljene pomoću optičkog mikroskopa Olympus BX51 sa digitalnom kamerom Olympus Color View III.

4.2.7. Statistička analiza rezultata

Za statističku analizu dobijenih rezultata korišćene su osnovne statističke metode, odnosno deskriptivni statistički parametri (aritmetička sredina – X, standardna devijacija – SD, standardna greška – SE, minimalna prosečna vrednost – X_{\min} , maksimalna prosečna vrednost – X_{\max} i koeficijent varijacije – CV). Prilikom testiranja i utvrđivanja statistički značajnih razlika upotrebljena su dva testa. Prvi test, potpuno slučajan plan (ANOVA), je grupni test i na osnovu njega je ustanovljeno eventualno postojanje signifikantnih razlika između posmatranih grupa. Drugi test je pojedinačni test, Tukey test, pomoću kojeg su ustanovljene statistički signifikantne razlike između grupa, pojedinačno. Signifikantnost razlika je određena na nivou značajnosti od 5% i 1%. Svi dobijeni rezultati su prikazani tabelarno i grafički. Statistička analiza dobijenih rezultata je izvršena u statističkom paketu *GraphPad Prism 6.01*, u programskom dodatku za *Microsoft Excel 2007*.

5. REZULTATI

5.1. Praćenje telesne mase i zdravstvenog stanja čurića tokom trajanja ogleda

5.1.1. Telesna masa čurića oglednih i kontrolnih grupa

Telesna masa čurića ogledne grupe 1 i ogledne grupe 2 merena je na dan veštačke infekcije, kao i posle dve i tri nedelje od infekcije. Telesna masa čurića kontrolne grupe 1 i kontrolne grupe 2 merena je u istim vremenskim razmacima (14, 28 i 35. dana starosti) (Tabela 3, Grafikon 1, 2).

Tabela 3. Poređenje vrednosti prosečnih telesnih masa čurića kontrolnih i oglednih grupa.

Prosečna telesna masa (g) čurića kontrolnih i oglednih grupa tokom trajanja ogleda				
Grupe Starost (dani) i termini merenja	Kontrolna grupa $X \pm SD$		Ogledna grupa $X \pm SD$	
	K-1 (n=6)	K-2 (n=6)	O-1 (n=10)	O-2 (n=10)
14.	343±21	338±14	330±22	358±27
28.	1227±80	1130±160*	1142±90*	966±143*
35.	1451±95*	1401± 67	1438±125*	1276±164*

K-1 – čurići kontrolne grupe - netretirani

K-2 – čurići kontrolne grupe - tretirani deksametazonom tokom 6 uzastopnih dana

O-1 – čurići ogledne grupe - inficirani sa *A. fumigatus* sa 14 dana starosti

O-2 – čurići ogledne grupe - tretirani deksametazonom tokom 6 uzastopnih dana pre inficiranja sa *A. fumigatus*

*–statistički značajna razlika ($P<0,05$) između vrednosti prosečne telesne mase čurića grupe K-2 i grupe O-2, kao i između prosečne telesne mase čurića grupe O-1 i O-2 posle 2 nedelje od inficiranja (starost 28 dana).

*–statistički značajna razlika ($P<0,05$) između vrednosti prosečne telesne mase čurića grupe K-1 i O-2, kao i između posmatranog parametra kod čurića grupe O-1 i O-2 posle 3 nedelje od inficiranja (starost 35 dana).

Četrnaestog dana starosti, prosečna telesna masa čurića kontrolne grupe 1 (K-1) iznosila je 343 ± 21 g, a kontrolne grupe 2 (K-2) prosečna telesna masa bila je 338 ± 14 g.

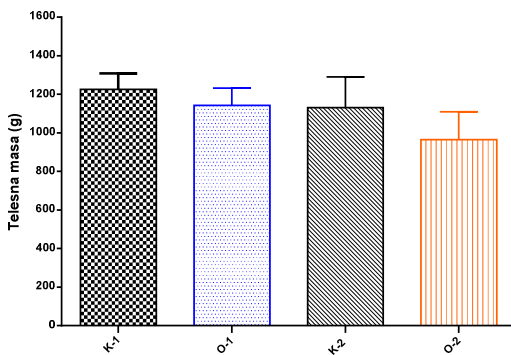
Kod čurića ogledne grupe 1 (O-1) prosečna telesna masa četrnaestog dana starosti bila je 330 ± 22 g, a kod čurića ogledne grupe 2 (O-2) iznosila je 358 ± 27 g (Tabela 3).

Dvadesetosmog dana starosti, prosečna telesna masa čurića grupe K-1 iznosila je 1227 ± 80 g, a kod čurića grupe K-2 bila je neznatno manja, 1130 ± 160 g.

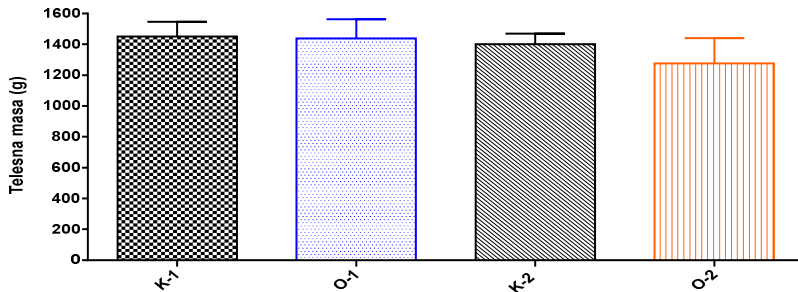
Prosečna telesna masa čurića grupe O-1 na 28. dan starosti, odnosno posle dve nedelje od veštačkog inficiranja bila je 1142 ± 90 g, a kod čurića grupe O-2 vrednost ovog parametra bila je statistički značajno manja ($p < 0,05$), i iznosila je 966 ± 143 g (Tabela 3).

Tridesetpetog dana starosti, odnosno tri nedelje posle veštačke infekcije prosečna telesna masa čurića grupe K-1 bila je 1451 ± 95 g, a čurića grupe K-2 telesna masa je bila neznatno manja i iznosila je 1401 ± 67 g. Prosečna telesna masa čurića grupe O-1, u ovom periodu merenja (na kraju ogleda), bila je statistički značajno veća ($p < 0,05$) i iznosila je, 1438 ± 125 g, u poređenju sa telesnom masom od 1276 ± 164 g koja je ustanovljena kod čurića grupe O-2 (Tabela 3).

Značajno smanjenje ($P < 0,05$) vrednosti prosečne telesne mase čurića ogledne grupe 2 u odnosu na vrednost prosečne telesne mase čurića ogledne grupe 1 ustanovljeno je posle druge i treće nedelje od inficiranja (Tabela 3, Grafikon 1, 2).



Grafikon 1. Prosečna telesna masa čurića kontrolne grupe (K-1), čurića kontrolne grupe tretirane deksametazonom (K-2) sa 28 dana starosti, prosečna telesna masa čurića ogledne grupe 1 (O-1) posle 2. nedelje od inficiranja sa *A. fumigatus* (ista starost), i čurića ogledne grupe 2 (O-2) tretiranih deksametazonom i inficiranih, ustanovljene posle 2 nedelje od inficiranja.



Grafikon 2. Prosečna telesna masa čurića kontrolne grupe (K-1), čurića kontrolne grupe tretirane deksametazonom (K-2) sa 35 dana starosti, prosečna telesna masa čurića ogledne grupe 1 (O-1) posle 3 nedelje od inficiranja sa *A. fumigatus* (ista starost), i čurića ogledne grupe 2 (O-2) tretiranih deksametazonom i inficiranih, ustanovljena posle 3 nedelje od inficiranja.

Značajno smanjenje ($P<0,05$) vrednosti prosečne telesne mase dobijeno je kod čurića ogledne grupe 2 u drugoj i trećoj nedelji od inficiranja u odnosu na telesnu masu čurića kontrolne grupe 1 i kontrolne grupe 2 (Tabela 3, Grafikon 1,2).

Dobijena vrednost prosečne telesne mase kod čurića kontrolne grupe 1 (K-1) ustanovljena u starosti od 28 i 35 dana u poređenju sa vrednošću telesne mase čurića inficirane grupe (O-1) posle druge (starost 28) i treće nedelje (starost 35 dana) od inficiranja ne pokazuju statističku značajnost. Takođe, nije ustanovljena statistički značajna razlika u vrednostima prosečne telesne mase između čurića kontrolnih grupa K-1 i K-2 posle 28 i 35 dana starosti (Tabela 3; Grafikon 1,2).

Sedmodnevni prirast kod čurića kontrolne grupe 1 (K-1) u starosti od 28 dana iznosio je 442 g, a u poslednjoj nedelji merenja (35. dan starosti) prirast je bio 224g. Sedmodnevni prirast kod čurića kontrolne grupe 2 (K-2) u starosti od 28 dana iznosio je 396g, a u poslednjoj nedelji merenja bio je 271g.

Sedmodnevni prirast kod čurića ogledne grupe 1 (O-1) u prvoj nedelji od infekcije (21. dan starosti) iznosio je 406g, a u trećoj nedelji od infekcije (35. dan starosti) 296g.

Kod čurića ogledne grupe 2 (O-2) sedmodnevni prirast u prvoj nedelji od infekcije (21. dan starosti) bio je značajno manji (304g) u poređenju sa istim parametrom kod čurića grupe O-1. U trećoj nedelji nakon infekcije (35. dan starosti) sedmodnevni prirast kod čurića grupe O-2 iznosio je 310g i bio je neznatno veći u poređenju sa prirastom čurića grupe O-1.

Analiza rezultata ispitivanja uticaja veštačke infekcije sa *A.fumigatus* na prirast i telesnu masu čurića pokazuje da izvedena infekcija ne utiče na prirast i prosečnu telesnu masu čurića, i to kako posle 2. tako i posle 3. nedelje od inficiranja.

Tretman deksametazonom 6 dana pre inficiranja i infekcija su statistički značajno ($P<0,05$) smanjili prirast i prosečnu telesnu masu čurića, i to, kako posle druge, tako i posle treće nedelje od inficiranja u poređenju sa posmatranim parametrima kod čurića koji su ili samo inficirani (grupa O-1), samo tretirani deksametazonom (grupa K-2), ili koji nisu tretirani bilo čime, intaktna kontrola (grupa K-1).

5.1.2. Klinička slika kod čurića veštački inficiranih sa *A. fumigatus* i tretiranih deksametazonom tokom trajanja ogleda

Opšte zdravstveno stanje čurića praćeno je tokom pet nedelja trajanja ogleda. Čurići su posmatrani tri puta dnevno tokom ovog perioda i registrovani su svi vidljivi znaci i simptomi poremećenog zdravlja. Odmah po intratrahealnoj jednokratnoj inokulaciji suspenzije spora čurićima ogledne grupe 1 i 2, kao i fiziološkog rastvora kontrolnim grupama čurića (grupa 1, 2) javila se prolazna blaga dispneja verovatno zbog kratkotrajne opturacione stenoze bronhusa od strane inokuluma.

Prvi klinički znaci aspergiloze uočeni su već drugog dana nakon inficiranja čurića sa *A. fumigatus*. U oglednoj grupi 1, jedna trećina čurića, a u oglednog grupi 2, dve trećine čurića skupljena je u grupe. Čurići su somolentni, potišteni, neki sa uvučenom glavom i zatvorenim očima i nakostrešenog perja.

Trećeg dana nakon inficiranja čurići se iz obe ogledne grupe i dalje skupljaju u manje grupe, obično u uglovima boksa, potišteni su, zatvorenih očiju i nakostrešenog perja. Duže vreme provode u ležećem položaju. Čurići obe ogledne grupe smanjeno konzumiraju hranu (Slika 1, 2, 3).

Četrvtog dana od infekcije, kod čurića obe ogledne grupe primećuje se neveselost, pospanost, opuštenost krila i nakostrešenost perja. U ovom periodu se



Slika 1. Izgled čurića O-1 grupe, dva dana od veštačkog inficiranja sa *A. fumigatus*. Čurići su bezvoljni, pospani i nakostrešenog perja.



Slika 2. Izgled čurića O-1 grupe, tri dana od veštačkog inficiranja sa *A. fumigatus*. Čurići su bezvoljni, duže vreme provode u ležećem položaju i sakupljaju se u manje grupe po uglovima boksa.



Slika 3. Izgled čurića O-2 grupe, četiri dana od veštačkog inficiranja sa *A. fumigatus*. Čurići su pospani ili kunjaju sa izrazito nakostrešenim perjem. Slabo konzumiraju vodu i hranu.



Slika 4. Izgled čureta O-2 grupe, četiri dana od veštačkog inficiranja sa *A. fumigatus*. Posle četiri dana od infekcije prvi put se zapažaju respiratorne smetnje. Vide se dispneja i disanje na otvoren kljun (glad za vazduhom).

uočavaju prvi znaci poremećene funkcije respiratornog sistema (dispnoja, tahipnoja, disanje na otvoreni kljun i pojava sekreta iz nosnica praćeni povremenim otresanjem glave (Slika 4, 5). Najupečatljivija klinička simptomatologija primećena je kod 4 čureta iz ogledne grupe 2. Ovi čurići pri inspirijumu ekstenziraju vrat i dišu na otvoren kljun (glad za vazduhom).



Slika 5. Posle četiri dana od veštačke infekcije uočava se disanje na otvoren kljun kod inficiranih i deksametazonom tretiranih čurića O-2 grupe.



Slika 6. Izgled čurića O-2 grupe, 14 dana od veštačkog inficiranja *A. fumigatus* i tretiranih deksametazonom. Slabljene i izostajane simptoma poremećene funkcije respiratornog sistema i poremećenog ponašanja.

Navedeni klinički simptomi zapaženi tokom prva četiri dana od infekcije postepeno su slabili ili nestajali tokom narednog perioda trajanja ogleda kod čurića obe ogledne grupe (Slika 6).

Kod čurića kontrolnih grupa, tokom ogleda, nisu zapaženi bilo kakvi znaci koji bi ukazivali na promjenjeno opšte zdravstveno stanje.

Za vreme petonedeljne opservacije čurića inficiranih sa *A. fumigatus*, i onih prethodno tretiranih deksametazonom nije ustanovljeno uginuće, kao ni kod čurića kontrolnih grupa.

5.2. Rezultati patomorfološkog ispitivanja

5.2.1. Patoanatomske promene kod čurića inficiranih *A. fumigatus*, kao i tretiranih deksametazonom posle 1., 3., 7., 14. i 21. dana od infekcije

5.2.1.1. Makroskopski nalaz kod čurića inficiranih *A. fumigatus*

Prvog, trećeg, sedmog, četrnaestog i dvadesetprvog dana od veštačkog inficiranja nisu nađene bilo kakve vidljive patoanatomske promene na unutrašnjim organima (jetra, srce), kao ni na mozgu čurića inficiranih sa *A. fumigatus*.

Makroskopskim pregledom 6 žrtvovanih čurića prvog dana od infekcije kod 3 čureta je ustanovljena umerena hiperemija kaudalnog dela traheje, neposredno ispred

njene bifurkacije. Oba plućna krila su svetlocrvene boje i nešto jedrije konzistencije (Slika 7). Na kostalnoj površini pluća dobro se ističu otisci rebara. Na preseku pluća ističe malo krvavo - penušave tečnosti. Abdominalne vazdušne kese su bilateralno diskretno zamućene, naročito njihovi kaudalni delovi, ali su bez intraluminalnog sadržaja. Ostale vazdušne kese su sa tankim, sjajnim i prozirnim zidovima.

Trećeg dana od infekcije od 6 žrtvovanih čurića kod 4 je ustanovljeno difuzno bilateralno zamućenje zidova abdominalne vazdušne kese (Slika 8).

Oba plućna krila su tamno – crvene boje i lako se ekstirpiraju iz interkostalnih prostora. Na kostalnoj površini uočavaju se ograničena područja crvene boje (Slika 9).

Sedmog dana nakon infekcije kod 3 od ukupno 6 žrtvovanih čurića uočeno je zamućenje i umereno zadebljanje zidova abdominalnih i kaudalnih torakalnih kesa (Slika 10).



Slika 7. Pluća čurića posle 1. dana od veštačke infekcije (O-1). Pluća su svetlo crvene boje i jedre konzistencije.



Slika 8. Vazdušne kese čurića posle 3. dana od veštačke infekcije (O-1). Bilateralno zamućenje.



Slika 9. Pluća čurića posle 3. dana od veštačke infekcije (O-1). Na kostalnoj površini uočavaju se ograničena područja crvene boje.



Slika 10. Vazdušne kese čurića 7. dana od veštačke infekcije (O-1). Zamućenje i umereno zadebljanje zidova abdominalnih i kaudalnih torakalnih vazdušnih kesa.

Oba plućna krila su tamno - crvene boje i jedre konzistencije (Slika 11). Na preseku ovako promenjenih pluća isticao je krvavo – penušavi sadržaj.

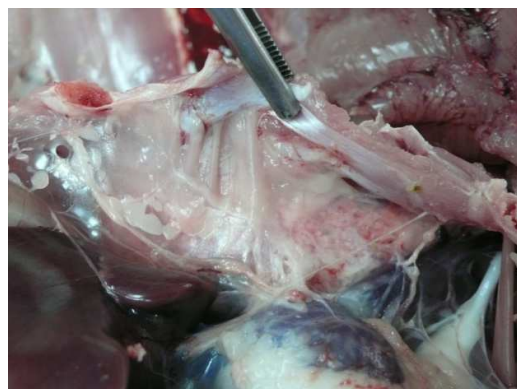
Četrnaestog dana od inficiranja nađene su makroskopski vidljive promene na vazdušnim kesama i plućima kod 3 od ukupno 6 žrtvovanih čurića. Na zidovima abdominalnih, kaudalnih i kranijalnih torakalnih kesa zapažene su promene u vidu jasno lokalizovanih malih beličastih zadebljanja, bez prisustva intraluminalnog sadržaja (Slika 12).

Kod svih 6 čurića, pluća su uvećana, tamno - crvene boje, zaobljenih rubova i čvrste konzistencije (Slika 13).

Pluća se lako ekstirpiraju iz interkostalnih prostora. Na visceralnoj površini pluća bilateralno kod 2 čureta ističu se mnogobrojni solitarni ili konfluentni sivo - žuti milijarni noduli, a kod 1 čureta unilateralno. Na kaudalnom delu kostalne površine pluća vidljiva su dva granuloma – aspergiloma (Slika 14).



Slika 11. Pluća čurića posle 7. dana od veštačke infekcije (O-1). Plućna krila su tamno-crvene boje i jedre konzistencije.



Slika 12. Vazdušne kese čurića 14. dana od veštačke infekcije (O-1). Lokalizovana fokalna zadebljanja, bele boje.



Slika 13. Pluća čurića posle 14. dana od veštačke infekcije (O-1). Uvećanje pluća i hiperemija.



Slika 14. Pluća čurića 14. dana od veštačke infekcije (O-1). Unilateralno na kaudalnom delu kostalne površine pluća vidljivi su granulomi.

Dvadesetprvog dana od infekcije kod 5 čurića od ukupno 6 žrtvovanih uočene su makroskopske promene na vazdušnim kesama i plućima. Zidovi abdominalnih i torakalnih kesa su zadebljani, neprozirni sa intraluminalnim bledo – žutim kazeoznim sadržajem koji slepljuje njihove zidove (Slika 15, 16).

Pluća kod svih 6 žrtvovanih čurića su uvećana, tamno – crvene boje i čvrste konzistencije. Teže se ekstirpiraju zbog adhezije sa torakalnim vazdušnim kesama. Na desnom plućnom krilu, svojom mnogobrojnošću ističu se sivo – žućkasti noduli uniformne veličine (Slika 17, 18, 19).



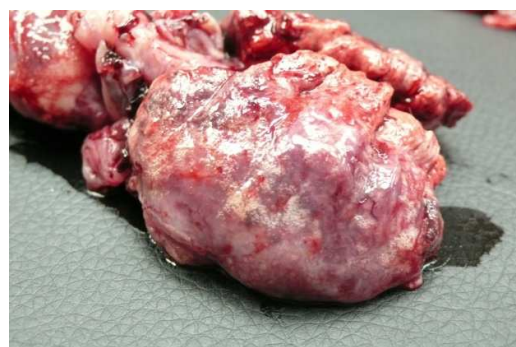
Slika 15. Vazdušne kese čurića 21. dana od veštačke infekcije (O-1). Zidovi abdominalnih i torakalnih kesa su zadebljani, neprozirni sa intraluminalnim bledo-žutim kazeoznim sadržajem.



Slika 16. Vazdušne kese čurića 21. dana od veštačke infekcije (O-1). Zidovi abdominalnih i torakalnih kesa su zadebljani, neprozirni sa intraluminalnim bledo - žutim kazeoznim sadržajem.



Slika 17. Pluća čurića 21. dana od veštačke infekcije (O-1). Pluća su uvećana sa prisutnim difuzno raspoređenim granulomima.



Slika 18. Pluća čurića 21. dana od veštačke infekcije (O-1). Pluća su uvećana sa prisutnim difuzno raspoređenim granulomima.



Slika 19. Pluća čurića 21. dana od veštačke infekcije (O-1). Pluća su uvećana sa prisutnim difuzno raspoređenim granulomima.

5.2.1.2. Makroskopski nalaz kod čurića inficiranih sa *A. fumigatus* koji su prethodno višekratno tretirani deksametazonom

Prvog, trećeg, sedmog, četrnaestog i dvadesetprvog dana od veštačkog inficiranja nisu nađene bilo kakve vidljive patoanatomske promene na unutrašnjim organima (srce, jetra), kao ni na mozgu čurića tretiranih deksametazonom tokom 6 uzastopnih dana, a zatim inficiranih sa *A. fumigatus*.

Prvog dana nakon infekcije kod 2 od 6 žrtvovanih čurića ustanovljena je punokrvnost oba plućna krila. Pluća su bila tamno - crvene boje, zaobljenih rubova i umereno jedre konzistencije (Slika 20).

Abdominalne vazdušne kese su fokalno zamućene. Ostale vazdušne kese su nepromenjene tj. sjajne i prozirne (Slika 21).

Trećeg dana od inficiranja kod 3 od 6 žrtvovanih čurića ustanovljeno je difuzno zamućenje abdominalnih i kaudalnih torakalnih vazdušnih kesa. Uočena je i slaba punokrvnost njihovih krvnih sudova (Slika 22).

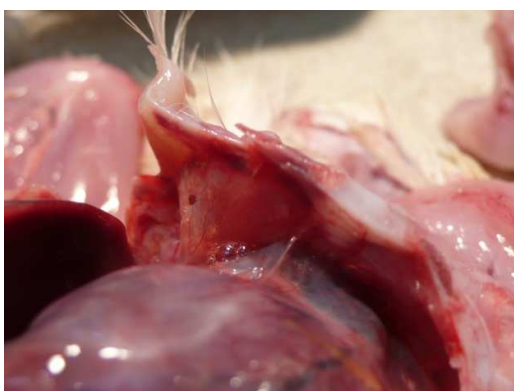
Oba plućna krila su tamno crvene boje i čvrste konzistencije. Na preseku desnog plućnog krila vidljivi su mnogobrojni granulomi - aspergilomi, ujednačene veličine, a na jednom mestu međusobno konfluiraju čineći konglomerat granuloma (Slika 23).



Slika 20. Pluća čurića 1. dana od veštačke infekcije (O-2). Pluća su tamno - crvene boje, zaobljenih rubova i umereno jedre konzistencije.



Slika 21. Abdominalne važdušne kese čurića 1. dana od veštačke infekcije (O-2). Vazdušne kese su fokalno zamućene.



Slika 22. Vazdušne kese čurića 3. dana od veštačke infekcije (O-2). Difuzno zamućenje abdominalnih i kaudalnih torakalnih vazdušnih kesa. Punokrvnost krvnih sudova na vazdušnim kesama.



Slika 23. Pluća čurića 3. dana od veštačke infekcije (O-2). Presek desnog plućnog krila, vidljivi su mnogobrojni granulomi – aspergilomi.

Sedmog dana nakon infekcije kod 3 od 6 žrtvovanih čurića uočeno je zadebljanje i difuzno zamućenje zidova kranijalnih i kaudalnih torakalnih, kao i abdominalnih vazdušnih kesa. Kod 4 od 6 žrtvovanih čurića pluća su uvećana, tamno - crvene boje. U oba plućna krila na njihovoj kostalnoj površini zapažaju se beličasti milijarni granulomi (Slika 24).

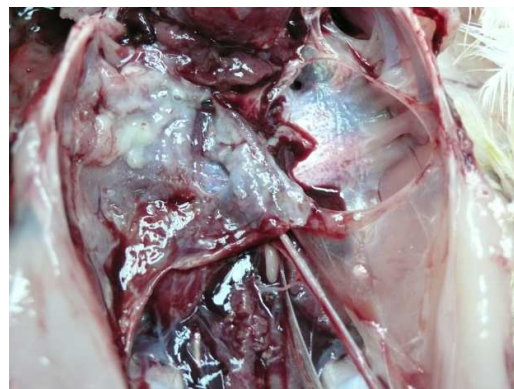
Četrnaestog dana nakon infekcije makroskopski vidljive promene nađene su na zidovima torakalnih i abdominalnih vazdušnih kesa i plućima kod 5 od 6 žrtvovanih čurića. Zidovi vazdušnih kesa su zadebljani, a kod jednog čureta intraluminalno u kaudalnoj desnoj torakalnoj kesi vidljiv je mlečno - beli kazeozni sadržaj, dok u

zamućenom zidu leve abdominalne kese prominira solitarni granulom - aspergilom (Slika 25).

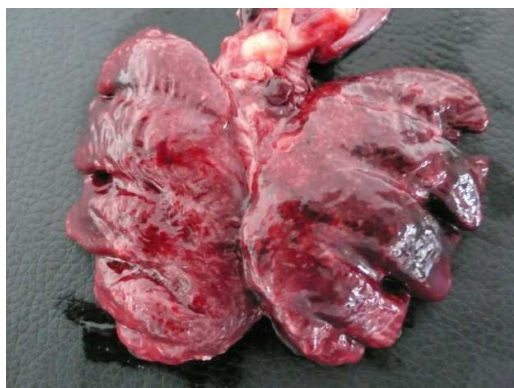
Pluća su uvećana, impresije rebara se jasno ističu, a na površini prosijavaju milijarni i supermilijarni granulomi (Slika 26).



Slika 24. Pluća čurića 7. dana od veštačke infekcije (O-2). Zapažaju se beličasti milijarni granulomi.



Slika 25. Važdušne kese čurića 14. dana od veštačke infekcije (O-2). U kaudalnoj desnoj torakalnoj kesi vidljiv je mlečno - beli kazeozni sadržaj, a u zamućenom zidu leve abdominalne kese prominira solitarni granulom - aspergilom.



Slika 26. Pluća čurića 14. dana od veštačke infekcije (O-2). Pluća su uvećana, prosijavaju milijarni i supermilijarni granulomi.

Dvadesetprvog dana posle infekcije kod 5 od ukupno 6 žrtvovanih čurića nađene su promene na torakalnim i abdominalnim vazdušnim kesama, i manifestovale su se u vidu difuznog zamućenja i zadebljanja. Kod 2 od 5 čurića na kranijalnom delu kaudalne kese isticao se jedan okrugli granulom, bele boje (Slika 27, 28).

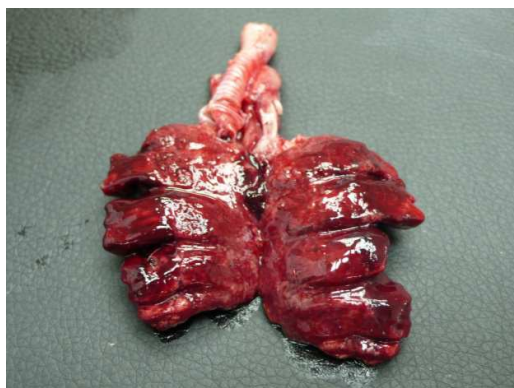
Pluća kod 5 jedinki su umereno povećana, zaobljenih rubova i konsolidovana. Na kostalnoj površini oba plućna krila prosijavaju mnogobrojni granulomi veličine 2×2 mm, a ravnomerno su raspoređeni po svim delovima pluća (Slika 29, 30).



Slika 27. Vazdušne kese čurića 21. dana od veštačke infekcije (O-2). Na kranijalnom delu kaudalne vazdušne kese isticao se jedan okrugli granulom, bele boje.



Slika 28. Vazdušne kese čurića 21. dana od veštačke infekcije (O-2). Na kranijalnom delu kaudalne vazdušne kese isticao se jedan okrugli granulom, bele boje.



Slika 29. Izgled pluća čurića 21. dana od veštačke infekcije (O-2). Na oba krila prosijavaju mnogobrojni granulomi.



Slika 30. Pluća čurića 21. dana od veštačke infekcije (O-2). Na oba krila prosijavaju mnogobrojni granulomi.

5.2.2. Mikroskopski nalaz

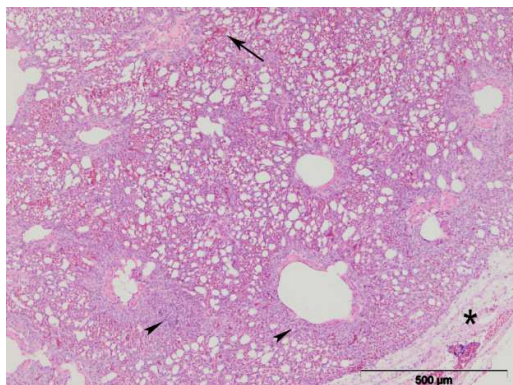
5.2.2.1. Histopatološke promene respiratornog sistema kod čurića inficiranih sa *A. fumigatus*

Prvog dana (24 sata) posle infekcije na plućima se uočava zadebljanje pleure usled subpleuralnog nakupljanja serozne tečnosti u kojoj se nalazi manji broj ćelija uglavnom heterofila. Na plućnom parenhimu uočena je difuzna hiperemija i fokalna infiltracija ćelijama u vidu prstena oko parabronhiola oko kojih se infiltrat, u manjoj meri, zrakasto širi u okolni plućni parenhim (Slika 31). Ćelijski infiltrat su sačinjavali: heterofili, makrofage i limfociti (Slika 32). Lumen bronhiola i terminalnih alveola je bio bez stranog sadržaja.

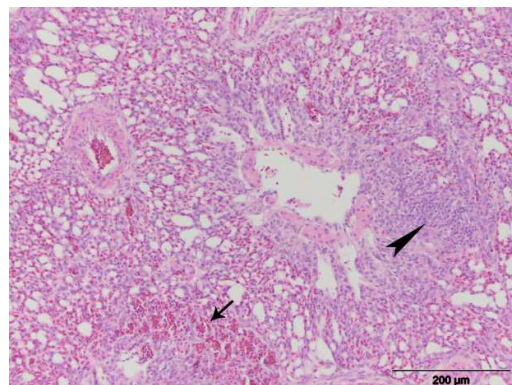
Bronhijalni epitel bio je edematozan sa početnim degenerativnim promenama u vidu vakuolizacije, a subepitelno limfatično tkivo hiperplastično.

Trećeg dana posle infekcije, ćelijski infiltrati u plućima nisu samo ograničeni na parabronhiole već su i u drugim delovima parenhima, formirali jasne noduse, granulome od mononuklearnih ćelija, makrofaga i limfocita. U samim nodusima ili njihovoj neposrednoj okolini mogu se uočiti 1 do 2 sitnije multinuklearne džinovske ćelije (Slika 33). U ovoj fazi na granulomima nisu zapažene regresivne promene.

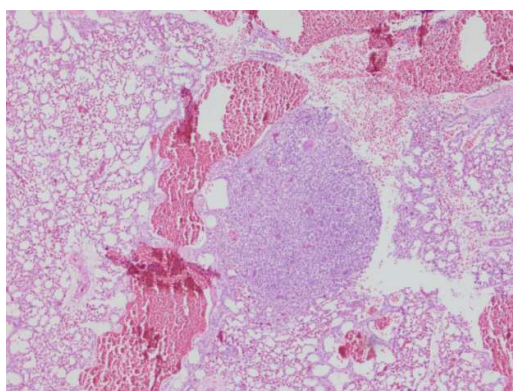
U istom periodu u bronhiolama u propriji mukoze zapaža se nakupljanje heterofila, makrofaga i limfocita koji formiraju čvoriće koji u potpunosti potiskuju žlezdane elemente i prominiraju u lumen bronhiola. U ovom periodu u ćelijskom infiltratu ne zapaža se još uvek jasno prisustvo multijedarnih džinovskih ćelija. Epitel koji prekriva nastale čvoriće je atrofičan i mestimično nedostaje (Slika 34).



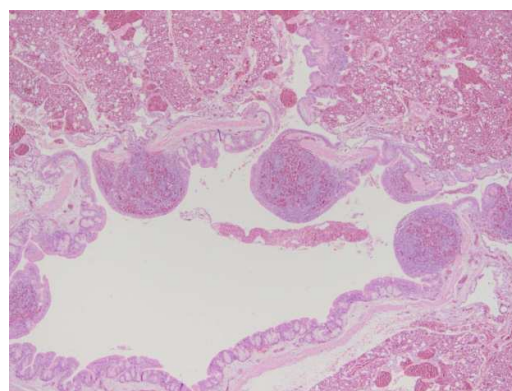
Slika 31. Pluća, O-1, 1. dan p.i.
Subpleuralni edem (zvezdica), hiperemija
(strelica) i peribronhiolarno nakupljanje
ćelija (vrh strelice). (HE).



Slika 32. Pluća, O-1, 1. dan p.i. Detalj sa slike 31. Hiperemija (strelica) i fokalni
ćelijski infiltrat (vrh strelice). (HE)



Slika 33. Pluća, O-1, 3. dan p.i. Hiperemija
i granulom u parenhimu pluća. Regresivne
promene nedostaju. (HE).

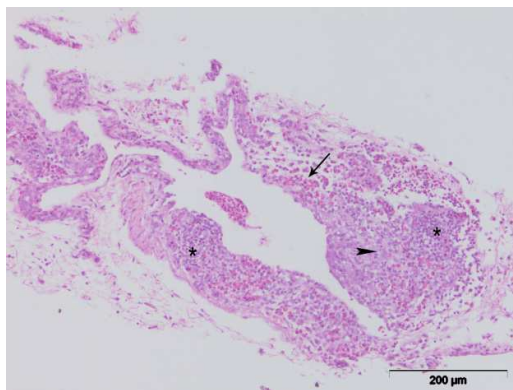


Slika 34. Bronhiola, O-1, 3. dan p.i.
Fokalno nakupljanje ćelija u mukozi
bronhiola. (HE).

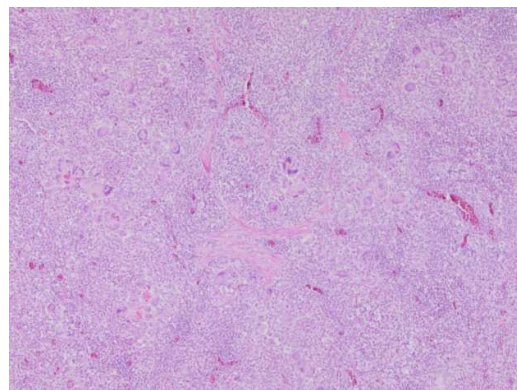
Vazdušne kese su bile zadebljane usled edema i infiltracije heterofilima, makrofagima i limfocitima. Uočava se tendencija infiltrovanih ćelija da formiraju noduse, odnosno granulome, ali se u ovoj fazi prisustvo multinuklearnih džinovskih ćelija jasno ne uočava (slika 35). Na mestima intenzivnije infiltracije ćelijama epitel vazdušnih kesa nedostaje.

Sedmog dana posle infekcije u plućima su se zapažali mnogobrojni granulomi koji se u pojedinim područjima i stapaju - konfluišu zahvatajući široka područja plućnog parenhima (Slika 36). Centralni deo granuloma čine epiteloidne i džinovske ćelije dok se na periferiji nalaze više limfociti i heterofili. Izuzev pojedinačnih slučajeva, nekrotične promene se u ovoj fazi razvoja oboljenja kod ove grupe životinja

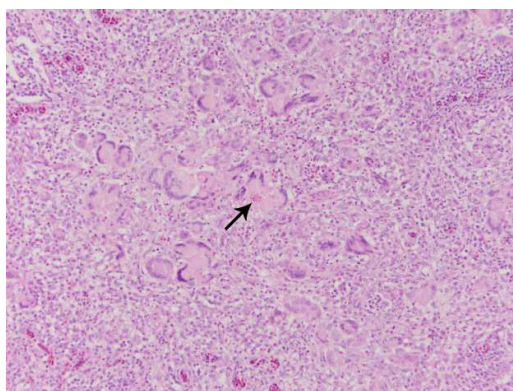
ne uočavaju (Slika 37). Granulomi istovetne građe uočeni su u mukozi bronhiola i na vazdušnim kesama (Slika 38).



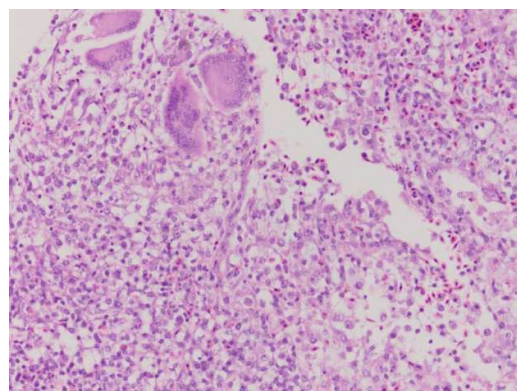
Slika 35. Vazdušne kese, O-1, 3. dan p.i.
Zadebljanje vazdušnih kesa usled
nakupljanja heterofila (strelica), makrofaga
(vrh strelice) i limfocita (zvezdica) - početak
formiranja granuloma (HE).



Slika 36. Pluća, O-1, 7. dan p.i. Konfluisani
granulomi u plućima. Multijedarne
džinovske ćelije prisutne u velikom broju.
(HE).



Slika 37. Pluća, O-1, 7. dan p.i. Detalj sa
prethodne slike, veliki broj multijedarnih
ćelija i početne nekrotične promene
(strelica). (HE).

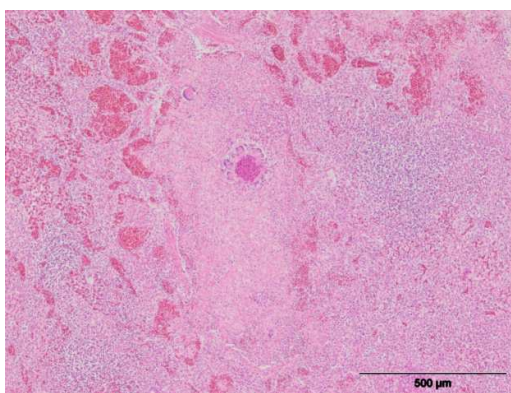


Slika 38. Vazdušna kesa, O-1, 7. dan p.i.
Granulom na vazdušnoj kesi. (HE).

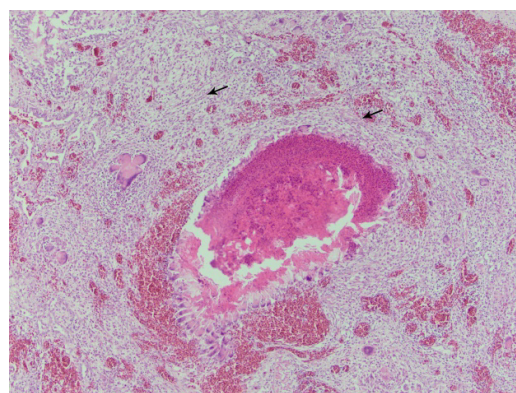
Četrnaestog dana u plućima je zapažen veći broj granuloma kao i difuzna infiltracija makrofagama, limfocitima i heterofilima. Na većini granuloma došlo je do nekrotičnih promena koje zauzimaju centralni deo granuloma homogenog eozinofiltog izgleda u čijem središtu su se mogli zapaziti i ostaci ćelijskih jedara. Nekrotična područja bila su opasana vencem od multinuklearnih višejedarnih ćelija, a prema periferiji širio se intenzivan infiltrat sačinjen od makrofaga, heterofila i limfocita (Slika 39). U neposrednoj blizini ovakvih promena zapaženo je područje intenzivne hiperemije.

Regresivne promene uočene su i na granulomima koji su se nalazili na vazdušnim kesama.

Dvadesetprvog dana promene u plućima i vazdušnim kesama bile su po intenzitetu i karakteru slične već prethodno opisanim, izuzev nekrotičnih promena koje su u većini slučajeva bile intenzivnije. Nekrotična područja zauzimala su veći deo granuloma, takođe su bila centralno postavljena i po pravilu oivičena mnogobrojnim multijedarnim džinovskim ćelijama poredanim u vidu venca. Na periferiji granuloma bilo je moguće uočiti formiranje, odnosno prisustvo mreže vezivnotkivnih vlakana (Slika 40).



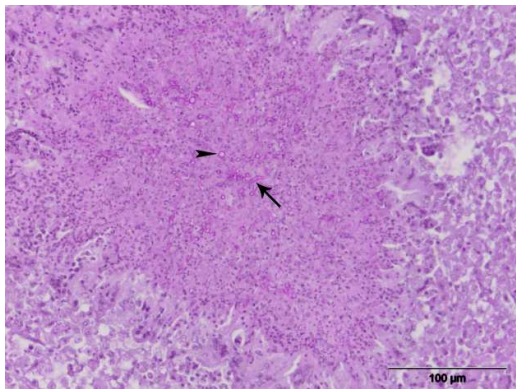
Slika 39. Pluća, O-1, 14. dan p.i.
Nekrotične promene na granulomu (HE).



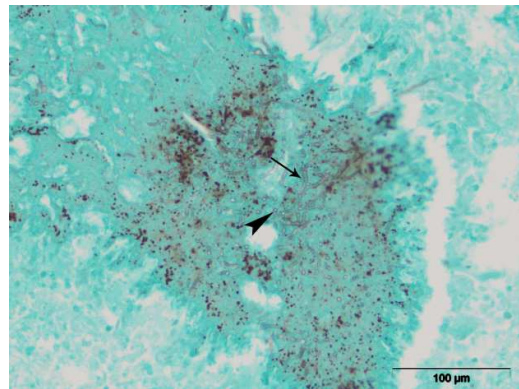
Slika 40. Pluća, O-1, 21. dan p.i. Opsežna nekroza u mikotičnom granulomu. Na periferiji granuloma formiranje fibroznih vlakana (strelica) (HE).

Gljivični elementi u vidu hifa i konidija bili su prisutni i uočljivi u promenjenim područjima pluća i vazdušnih kesa. Prisustvo gljivica, naročito hifa, moglo se uočiti i rutinskim bojenjem sa HE, ali je još očiglednije bilo u isećcima bojenim PAS i Grocott metodom. Najveći broj gljivica, kako hifa, tako i konidija bilo je locirano u plućima čurića žrtvovanih 7. i 14. dana od inficiranja. One su zauzimale centralni deo granuloma, a naročito su bile prisutne u području nekroze (Slike 41, 42). Takođe, bile su prisutne i u multinuklearnim džinovskim ćelijama. U citoplazmi ovih ćelija gljivice se vide kao filamentozne izdužene strukture ili kao zrnasti do prašinasti ostaci posle razlaganja. Zastupljenost gljivica u makrofagama naročito je bila izražena u starijim opsežnim granulomima kod jedinki žrtvovanih 21. dana (Slike 43, 44).

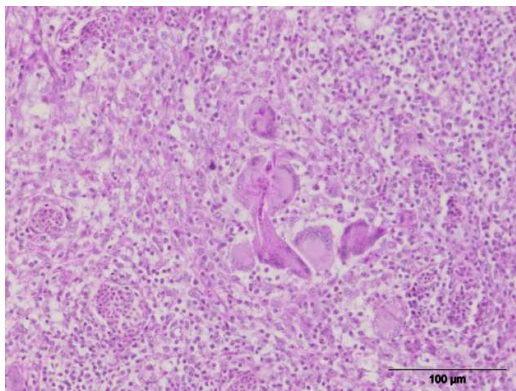
U ostalim ispitivanim organima, kod ove grupe čurića nisu nađene patohistološke promene.



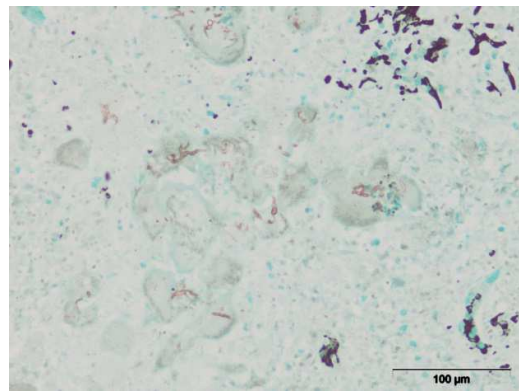
Slika 41. Pluća, O-1, 14. dan p.i. Hife (strelica) i konidije (vrh strelice) u nekrotičnoj masi granuloma. (PAS).



Slika 42. Pluća, O-1, 14. dan p.i. Hife (strelica) i konidije (vrh strelice) u nekrotičnoj masi granuloma. (Grocott).



Slika 43. Pluća, O-1, 21. dan p.i. Hife i konidije u multijedarnim džinovskim ćelijama (PAS).



Slika 44. Pluća, O-1, 21. dan p.i. Hife i konidije u multijedarnim džinovskim ćelijama (Grocott).

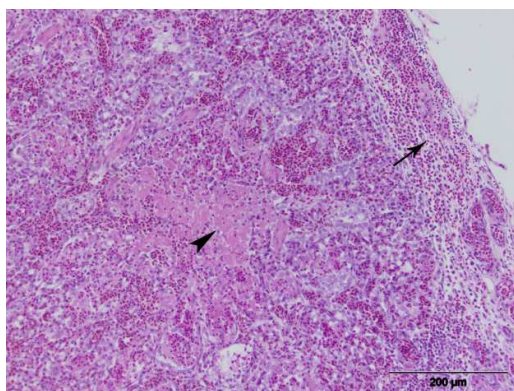
5.3.1.1. Mikroskopski nalaz kod čurića inficiranih sa *A. fumigatus* koji su prethodno tretirani deksametazonom (O-2 grupa)

Prvog dana posle infekcije kod ove grupe čurića uočeno je zadebljanje pleure usled edema i infiltracije velikim brojem heterofila i manjim brojem makrofaga i limfocita. Plućni parenhim je bio hiperemičan, takođe infiltrovan heterofilima, makrofagama i limfocitima. U alveolama pojedinih područja moglo se zapaziti nakupljanje homogenog, eozinofilnog supstrata (Slika 45).

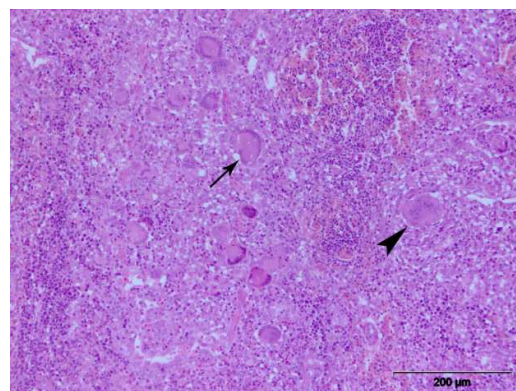
Trećeg dana nakon infekcije, u plućima čurića mogli su se uočiti jasno formirani granulomi izgrađeni od većeg broja jasno definisanih multijedarnih džinovskih ćelija, epiteloidnih ćelija, makrofaga, limfocita i heterofila. Multijedarne džinovske ćelije bile

su različite veličine i oblika, tako da su se u istom granulomu mogle zapaziti ćelije tipa Langhans i ćelije tipa stranog tela (Slika 46). Na manjem broju granuloma uočene su početne (diskretne) regresivne promene sa središnjom nekrozom koju su najčešće radijalno okruživale multijedarne džinovske ćelije stvarajući ćelijski venac (Slika 47).

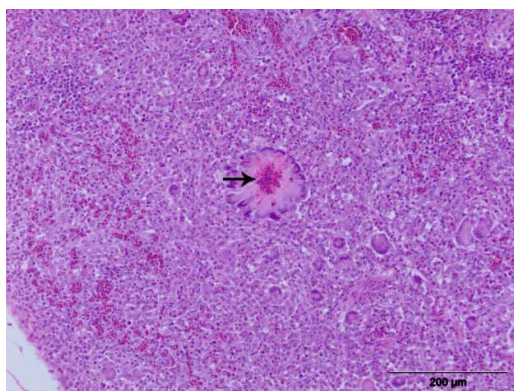
U istom periodu u mukozi bronha i bronhiola uočeni su granulomi istovetne građe kao oni u parenhimu pluća, sa jasno formiranim multijedarnim džinovskim ćelijama (Slika 48). Lumen bronhiola bio je ispunjen homogenim sluzavim sadržajem u kome su se nalazile brojne ćelije, pretežno heterofili i manji broj limfocita.



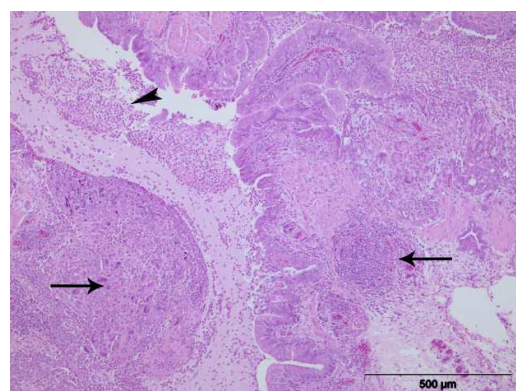
Slika 45. Pluća, O-2, 1. dan p. i. Edem i ćelijska infiltracija pleure (strelica). Infiltracija parenhima pluća i homogeni sadržaj u alveolama (vrh strelice) (HE).



Slika 46. Pluća, O-2, 3.dan p.i., formirani granulomi od mutijedarnih džinovskih ćelija, epiteloidnih ćelija i limfocita. Džinovska ćelija tipa Langhans (strelica) i džinovska ćelija tipa stranog tela (vrh strelice). (HE).



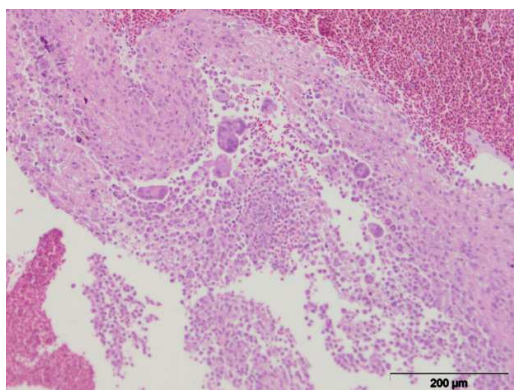
Slika 47. Pluća, O-2. 3. dan p.i. Malo nekrotično područje (strelica) sa vencem od multijedarnih džinovskih ćelija. (HE).



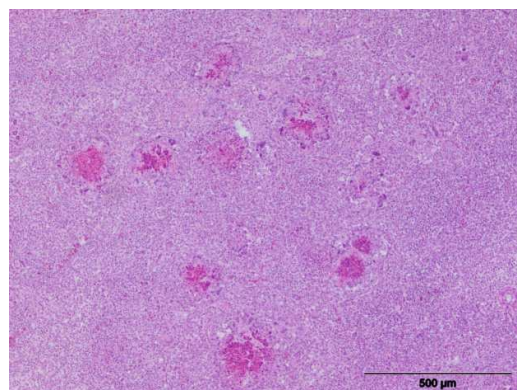
Slika 48. Bronhus, O-2. 3. Dan p.i. Granulomi (strelica) u mukozi (levo) i submukozi (desno), u lumenu homogeni sadržaj i veliki broj ćelija (vrh strelice). (HE).

Promene na vazdušnim kesama kod ove grupe žrtvovanih čurića ispoljavale su se u vidu difuznog zadebljanja usled edema i intenzivne infiltracije heterofilima, makrofagama, epiteloidnim i multijedarnim džinovskim ćelijama (Slika 49). Granulomi nisu bili jasno ograničeni, a ni nekrotična područja nisu bila jasno ispoljena.

Sedmog dana posle infekcije ispitivani delovi pluća su bili konsolidovani gusto infiltrirani ćelijama koje su formirale konfluentne granulome. Centralne delove granuloma ispunjavala je eozinofilna nekrotična masa u kojoj su se mogli zapaziti ostaci ćelijskog detritusa (Slika 50). Nekrotična masa je takođe bila oivičena vencem multijedarnih džinovskih ćelija. Nekrotične promene u ovom periodu takođe su bile izražene na granulomima smeštenim u mukozi i submukozi bronhusa i bronhiola.



Slika 49. Vazdušne kese, O-2, 3. dan p.i.
Infiltracija heterofilima, makrofagama
epiteloidnim i multijedarnim džinovskim
ćelijama. (HE).

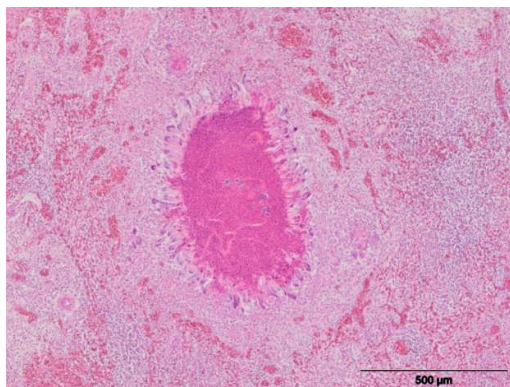


Slika 50. O-2, 7. dan p.i. Konfluentni
granulomi sa nekrotičnim centrom. (HE).

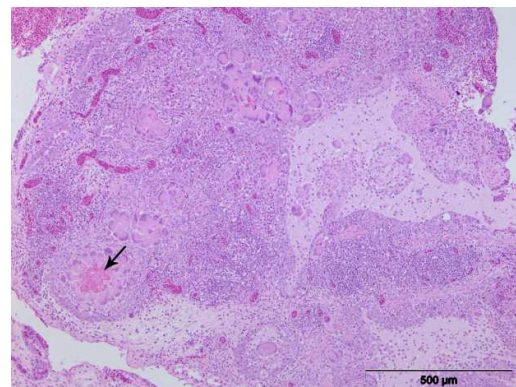
Četrnaestog dana posle infekcije granulomi su bili slične građe i izgleda kao i kod čurića žrtvovanih u prethodnom vremenskom periodu. Primetna razlika je bila u veličini nekrotičnog područja koje je u ovom periodu zahvatalo veći deo granuloma. Eozinofilna nekrotična masa je postajala skoro homogena, ostaci ćelijskih jedara bili su slabije uočljivi (Slika 51).

Vazdušne kese bile su jako zadebljane, prožete granulomima koji su se stapali. U centralnim delovima granuloma nekrotične promene bile su jasno uočljive (Slika 52).

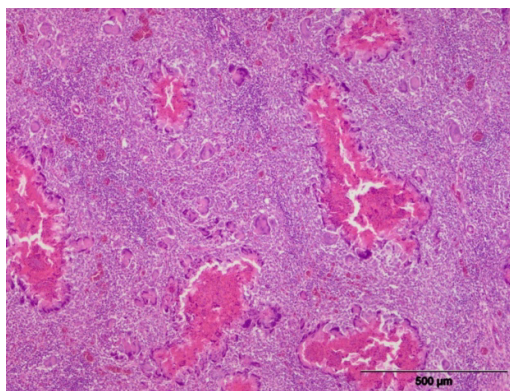
Dvadesetprvog dana posle infekcije promene u plućima i vazdušnim kesama su uznapredovale i po broju i po obimu. U žrtvovanih čurića uočen je veći broj konfluentnih granuloma sa opsežnim nekrozama (Slika 53).



Slika 51. Pluća, O-2, 14. dan p.i. Opsežna nekroza u centralnom delu granuloma. (HE).



Slika 52. Vazdušne kese, O-2, 14. dan p.i. Zadebljanje vazdušnih kesa usled infiltracije ćelijama i formiranja granuloma, na kojima se uočava nekroza (strelica). (HE).



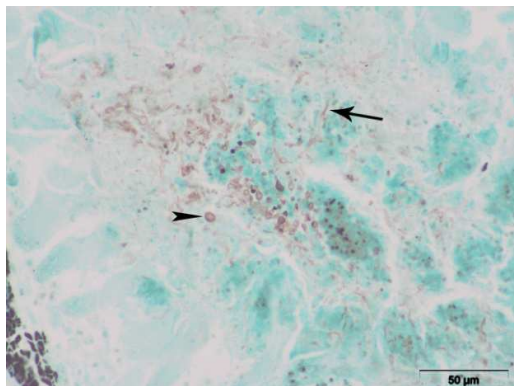
Slika 53. Pluća, O-2, 21. dan p.i. Konfluisani granulomi sa opsežnim centralnim nekrozama. (HE).

Gljivični elementi, hife i konidije, bile su uočljive od prvog dana posle infekcije. Gljivice su mogle biti uočene slobodno između infiltriranih ćelija, u nekrotičnim područjima granuloma, kao i u citoplazmi multijedarnih džinovskih ćelija (Slike 54, 55).

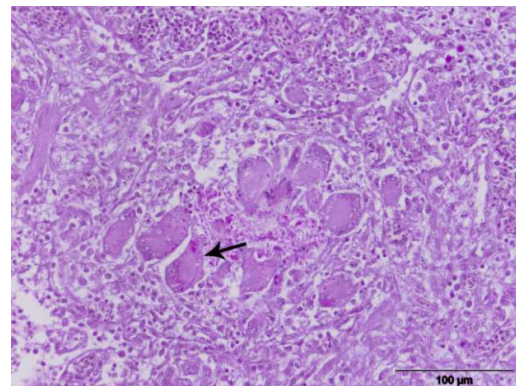
Na drugim ispitivanim organima i u ovoj grupi, kao i u prethodnoj, nisu uočene histopatološke promene.

Upoređujući histopatološki nalaz na respiratornim organima kod čurića obe eksperimentalne grupe (O-1 i O-2) može se konstatovati da postoje razlike u evoluciji, karakteru i intenzitetu uočenih promena. Promene nastale u respiratornim organima kod inficiranih i deksametazonom tretiranih čurića nastaju ranije, jačeg su intenziteta, tj.

obimnijeg su karaktera. Takođe, i regresivne promene su obimnije i ranije nastaju u poređenju sa promenama uočenim kod čurića koji su samo inficirani sa *A. fumigatus*.



Slika 54. Pluća, O-2, 7. dan p.i. Veliki broj hifa (strelica), konidija (vrh strelice) u granulomu (Grocott).



Slika 55. Pluća, O-2, 14. dan, p.i. Ostaci gljivica u citoplazmi multijedarnih džinovskih ćelija (strelica) (PAS).

5.3. Rezultati mikoloških ispitanja

5.3.1. Rezultati mikoloških ispitanja delova unutrašnjih organa čurića veštački inficiranih *A. fumigatus* posle 1, 3, 7, 14. i 21. dana od infekcije

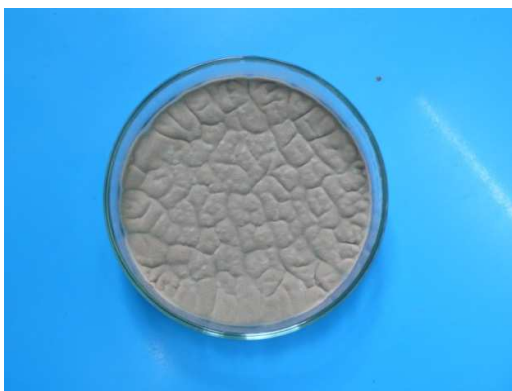
Uzorci delova unutrašnjih organa ispitivani su od svakog pojedinačnog ćureta. Istovremeno sa uzorkovanim organima ispitivan je i referentni soj *Aspergillus fumigatus* kojim je izazvana eksperimentalna infekcija, kako bi dobijeni rezultati mogli da se uporede. Referentni soj *A. fumigatus* ATCC 204305 i njegov rast na Sabouraud dekstroznom agaru prikazan je na slikama (Slika 56, 57, 58, 59).



Slika 56. Referentni soj, *A. fumigatus* 204305.



Slika 57. Referentni soj, izgled kolonija referentnog soja *A. fumigatus* 204305 na Sabouraud dekstroznom agaru posle inkubacije od 48h.



Slika 58. Referentni soj, izgled kolonija referentnog soja *A. fumigatus* 204305 na Sabouraud dekstroznom agaru posle inkubacije od 48h.



Slika 59. Izgled kolonija referentnog soja *A. fumigatus* 204305 na Sabouraud dekstroznom agaru posle inkubacije od 96h.

Uzorkovani delovi organa za mikološko ispitivanje su inokulisani na Sabouraud dekstroznji agar i inkubisani na temperaturi od 25 °C u aerobnim uslovima, a u svrhu izolacije infektivnog agensa. Nakon inkubacije od 72h očitavani su rezultati (Slika 60).

Kolonije *A. fumigatus* bile su najpre bele boje, a zatim plavičasto - zelene kada su konidije počinjale da sazrevaju, posebno u sredini kolonije. Daljim sazrevanjem kolonije su dobijale sivo - zelenu boju, dok su im rubovi ostajali beličasti. Njihov prečnik kretao se od 3-5cm (Slika 61).

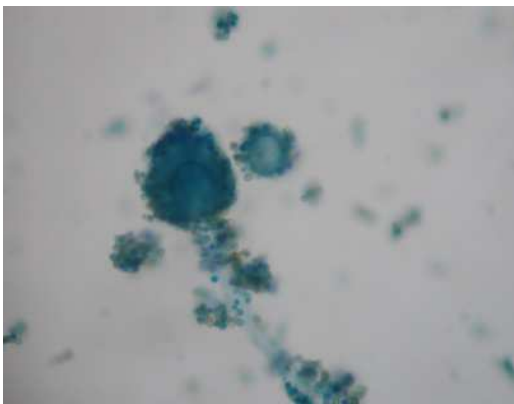
Mikološki nalaz dobijen posle zasejavanja uzoraka delova unutrašnjih organa (pluća i vazdušne kese, srce, jetra, mozarak) čurića žrtvovanih prvog, trećeg, sedmog, četrnaestog i dvadesetprvog dana od veštačke infekcije, proveravan je metodom bojenja Lactophenol cotton blue u cilju potvrde morfoloških karakteristika *Aspergillus fumigatus* (Slika 62).



Slika 60. Izgled kolonija *A. fumigatus* na Sabouraud dekstroznom agaru izraslih iz pluća, jetre i srca veštački inficiranih čurića.



Slika 61. Tipičan izgled rasta kolonija *A. fumigatus* izolovanog iz pluća i vazdušnih kesa veštački inficiranih čurića.



Slika 62. *Aspergillus fumigatus* bojen sa Lactophenol cotton blue

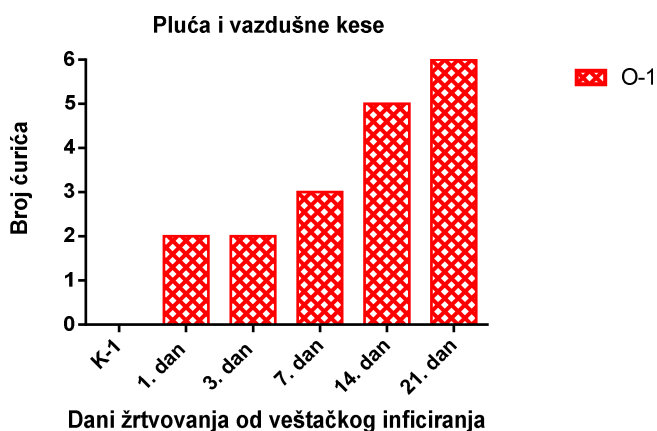
Mikološkim ispitivanjem obuhvaćeni su uzorci organa (pluća i vazdušne kese, srce, jetra, mozarak) čurića inficiranih (O-1; O-2) i kontrolnih (K-1; K-2) grupa. *Aspergillus fumigatus* nije izolovan ni iz jednog uzorka organa čurića kontrolnih grupa, niti bilo koji drugi patogeni prouzrokovac.

Prvog dana od infekcije, kod 2 čureta od ukupno 6 žrtvovanih (33,33%) izolovan je *A. fumigatus* iz uzoraka pluća i vazdušnih kesa.

Trećeg dana od infekcije prouzrokoč je izolovan takođe kod 2 od ukupno 6 čurića (33,33%), sedmog dana *A. fumigatus* je izolovan kod 3 od ukupno 6 jedinki (50%) iz uzoraka pluća i vazdušnih kesa, a četrnaestog dana kod 5 od 6 čurića (83,33%).

Dvadesteprvog dana od infekcije, *A. fumigatus* je izolovan kod svih 6 žrtvovanih čurića (100%). Iz pluća i vazdušnih kesa čurića kontrolne grupe 1 nije izolovan *A. fumigatus* posle 1, 3, 7, 14. i 21. dana žrtvovanja.

Na osnovu rezultata mikoloških ispitivanja dobijenih uzorkovanjem pluća i vazdušnih kesa od po 6 čurića iz kontrolne i ogledne grupe na svaki dan žrtvovanja, može se zaključiti da je izolacija uzročnika *A. fumigatus* bila već posle prvog do trećeg dana od inficiranja kod oko trećine inficiranih jedinki, a posle tri nedelje izolacija uzročnika bila je kod svih. Prouzrokoč nije bio izolovan iz uzoraka pluća i vazdušnih kesa ni kod jedne jedinke kontrolne grupe žrtvovanih 1, 3, 7, 14 i 21 dana (Grafikon 3).

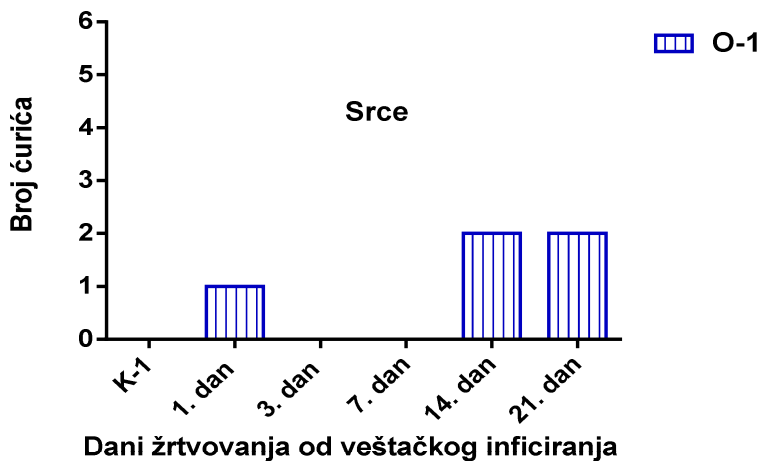


Grafikon 3. Stubićima je prikazan broj žrtvovanih inficiranih čurića iz čijih je uzoraka pluća i vazdušnih kesa izolovan *A. fumigatus* posle 1., 3., 7., 14. i 21. dana od veštačkog inficiranja, grupa O-1, kao i rezultat izolacije prouzrokoča iz navedenih uzoraka organa čurića kontrolne grupe (K-1).

Rezultati mikoloških ispitivanja pokazuju da je *A. fumigatus* izolovan iz srca već prvog dana od infekcije, ali samo kod 1 od 6 inficiranih žrtvovanih čurića (16,66%) (Grafikon 4).

Trećeg i sedmog dana od infekcije uzročnik nije izolovan iz srca ni kod jednog čureta od ukupno 6 žrtvovanih. Četrnaestog dana od infekcije iz uzoraka srca kod 2 čureta od ukupno 6 žrtvovanih (33,33%), izolovan je *A. fumigatus*. Dvadesetprvog dana prouzrokovac je izolovan iz srca takođe kod 2 od ukupno 6 čurića (33,33%).

Iz srca čurića kontrolne grupe 1 (K-1) nije izolovan *A. fumigatus*, niti bilo koji patogeni prouzrokovac u bilo kom vremenu žrtvovanja (1, 3, 7, 14 i 21 dan).



Grafikon 4. Stubićima je prikazan broj žrtvovanih inficiranih čurića iz čijih je uzoraka srca izolovan *A. fumigatus* posle 1., 3., 7., 14. i 21. dana od veštačkog inficiranja, grupa O-1, kao i rezultat izolacije prouzrokovaca iz srca čurića kontrolne grupe1 (K-1).

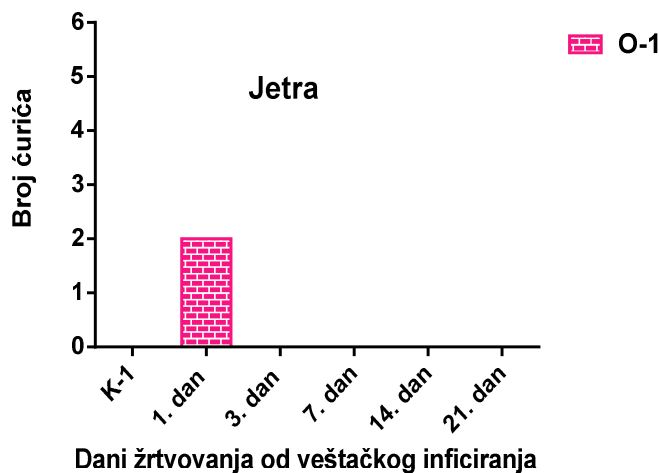
Prvog dana od infekcije, kod 2 od ukupno 6 (33,33%) žrtvovanih čurića iz uzoraka jetre izolovan je *A. fumigatus*. Trećeg, sedmog, četrnaestog i dvadesetprvog dana od infekcije ni kod jednog čureta iz uzoraka jetre nije izolovan *A. fumigatus*.

Kod čurića kontrolne grupe iz uzoraka jetre nije izolovan *A. fumigatus*, niti bilo koji patogeni prouzrokovac u bilo kom vremenu žrtvovanja (1, 3, 7, 14 i 21 dan).

Na osnovu rezultata mikoloških ispitivanja dobijenih ispitivanjem jetre inficiranih čurića može se zapaziti da je izolacija uzročnika *A. fumigatus* iz ovog organa moguća kod oko 30% jedinki već posle prvog dana od infekcije. U kasnijim periodima od infekcije iz uzoraka jetre nije bilo moguće izolovati *A. fumigatus* (Grafikon 5).

Na grafikonu 5 prikazani su rezultati izolacije *A. fumigatus* iz uzoraka jetre čurića inficirane ogledne grupe 1 (O-1) posle 1, 3, 7, 14. i 21. dana od infekcije, kao i

rezultati izolacije *A. fumigatus* iz navedenih uzoraka jetre kontrolne grupe 1 (K-1) posle 1, 3, 7, 14 i 21 dana žrtvovanja.



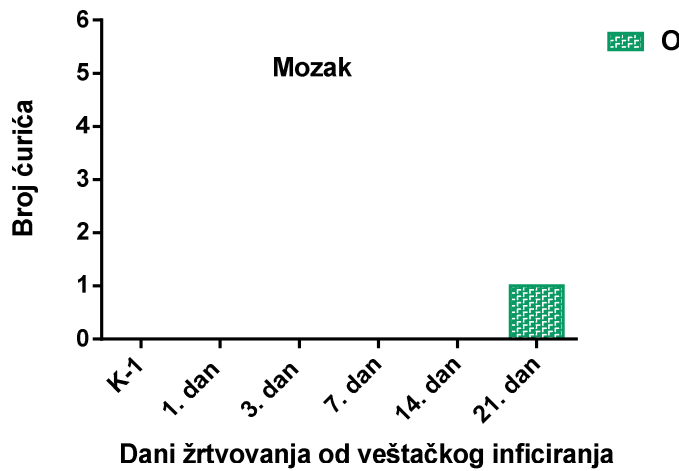
Grafikon 5. Stubićem je prikazan broj žrtvovanih čurića iz čijih je uzoraka jetre izolovan *A. fumigatus* posle 1. dana od inficiranja. Prikazani su rezultati izolacije uzročnika posle 3., 7., 14. i 21.dana od inficiranja (ogledna grupa 1; O-1), kao i rezultati izolacije prouzrokovavača iz uzoraka jetre čurića kontrolne grupe 1 (K-1).

Rezultati mikoloških ispitivanja pokazuju da iz uzoraka mozga inficiranih čurića uzetih prvog, trećeg, sedmog i četrnaestog dana od infekcije nije bilo moguće izolovati *A. fumigatus* ni kod jednog čureta. Dvadesetprvog dana od infekcije iz uzoraka mozga kod jednog čureta, od ukupno 6 (16,66%) izolovan je *A. fumigatus*.

Kod čurića kontrolne grupe 1 iz uzoraka mozga nije izolovan *A. fumigatus* 1, 3, 7, 14 i 21 dana žrtvovanja.

Na osnovu rezultata mikoloških ispitivanja dobijenih uzorkovanjem mozga inficiranih čurića može se zapaziti da je izolacija *A. fumigatus* iz ovog organa izostala u prve dve nedelje od infekcije, a kod oko 16% jedinki *A. fumigatus* je izolovan posle tri nedelje od infekcije (Grafikon 6).

Na grafikonu 6 prikazani su rezultati izolacije *A. fumigatus* iz uzoraka mozga čurića ogledne grupe 1 (O-1) posle 1, 3, 7, 14. i 21. dana od infekcije, kao i rezultati izolacije *A. fumigatus* iz navedenih uzoraka mozga čurića kontrolne grupe 1 (K-1) posle 1, 3, 7, 14 i 21 dana žrtvovanja.



Grafikon 6. Stubićem je prikazan broj žrtvovanih čurića iz čijih je uzoraka mozga izolovan *A. fumigatus* posle 21. dana od inficiranja. Prikazani su rezultati izolacije uzročnika iz uzoraka delova mozga 1., 3., 7. i 14. dana od inficiranja (ogledna grupa 1; O-1), kao i rezultati izolacije uzročnika iz uzoraka mozga čurića kontrolne grupe 1 (K-1).

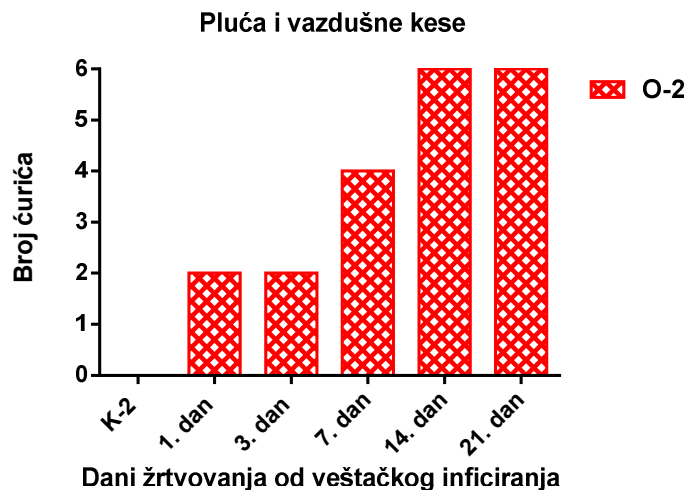
5.3.2. Rezultati mikoloških ispitivanja uzoraka delova unutrašnjih organa čurića višekratno tretiranim deksametazonom dobijeni posle 1, 3, 7, 14. i 21. dana od infekcije sa *A. fumigatus*

Uzorci unutrašnjih organa (pluća i vazdušne kese, srce, jetra, mozak) čurića kontrolne grupe 2 (K-2), koji su u starosti od osam dana tretirani deksametazonom, jednom dnevno, tokom narednih šest uzastopnih dana. Uzorci navedenih organa ispitivani su kod svakog pojedinačnog čureta žrtvovanog 1., 3., 7., 14. i 21. dana.

Prvog dana od inficiranja, kod 2 čureta (33,33%) od ukupno 6 žrtvovanih izolovan je *A. fumigatus* iz uzoraka pluća i vazdušnih kesa. Trećeg dana od inficiranja prouzrokovac je izolovan takođe kod 2 čureta (33,33%) od ukupno 6 (Grafikon 7). Sedmog dana od inficiranja prouzrokovac *A. fumigatus* je izolovan iz pluća i vazdušnih kesa kod 4 (66,66%) od ukupno 6 jedinki, a četrnaestog dana kod svih 6 čurića (100 %) od ukupno 6 žrtvovanih (Grafikon 7). Dvadesetprvog dana od infekcije, iz pluća i vazdušnih kesa *A. fumigatus* je izolovan takođe kod svih 6 žrtvovanih čurića (100 %).

Na grafikonu 7 prikazani su rezultati izolacije *A. fumigatus* iz uzoraka delova organa pluća i vazdušnih kesa kod inficiranih i deksametazonom tretiranih čurića (O-2)

dobijeni nakon 1., 3., 7., 14. i 21. dana od inficiranja, kao i rezultati izolacije prouzrokovaca iz navedenih organa curića tretiranih samo deksametazonom (K-2).



Grafikon 7. Stubićima je prikazan broj žrtvovanih inficiranih i deksametazonom tretiranih curića iz čijih je uzoraka pluća i vazdušnih kesa izolovan *A. fumigatus* posle 1., 3., 7., 14. i 21. dana od veštačkog inficiranja (grupa O-2), kao i rezultat izolacije prouzrokovaca iz navedenih uzoraka organa curića kontrolne grupe (K-2), tretirane samo deksametazonom.

Iz pluća i vazdušnih kesa curića kontrolne grupe 2 (K-2) nije izolovan *A. fumigatus* niti bilo koji drugi patogeni prouzrokovac u bilo kom vremenu žrtvovanja. Na osnovu dobijenih rezultata mikoloških ispitivanja uzorka delova pluća i vazdušnih kesa curića inficiranih i tretiranih deksametazonom, može se zaključiti da je izolacija uzročnika *A. fumigatus* iz ovih organa bila moguća posle prvog do trećeg dana od inficiranja, kod istog broja curića obe ogledne grupe (O-1, O-2). Zapaža se da se broj izolata *A. fumigatus* iz pluća i vazdušnih kesa neznatno povećavao kod inficiranih curića tretiranih deksametazonom (O-2), i to 7. dana od inficiranja (kod 4/6) i 14. dana (kod 6/6) u odnosu na broj izolata kod curića koji su samo inficiranih (O-1) u istom periodu od inficiranja (7. dana kod 3/6; a 14. dana kod 5/6) (Grafikon 3, 7). Broj izolata *A. fumigatus* iz pluća i vazdušnih kesa dobijen kod inficiranih i inficiranih i deksametazonom tretiranih curića raste sa protokom vremena od trenutka inficiranja. Kod neznatno većeg broja inficiranih i deksametazonom tretiranih curića uzročnik je posle prve i druge nedelje od inficiranja izolovan iz pluća i vazdušnih kesa, u poređenju

sa inficiranim čurićima. Na osnovu rezultata mikoloških ispitivanja uzoraka pluća i vazdušnih kesa čurića tretiranih deksametazonom i inficiranih *A. fumigatus* (O-2), kao i samo inficiranih (O-1) može se zapaziti da je izolacija *A. fumigatus* moguća već posle prvog do trećeg dana od inficiranja, a broj izolata iz pluća i vazdušnih kesa, u ovom periodu posmatranja, bio je isti (Grafikoni 3, 7).

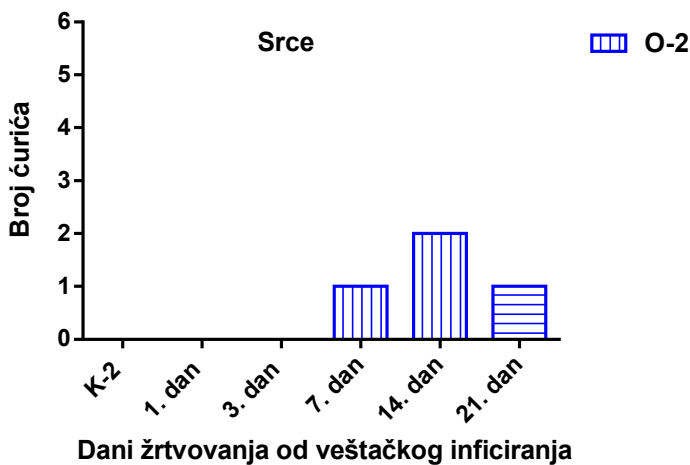
Prouzrokovač nije bio izolovan iz uzoraka pluća i vazdušnih kesa ni kod jednog čureta višekratno tretiranog deksametazonom (kontrolna grupa 2), u bilo kom vremenu žrtvovanja (1, 3, 7, 14 i 21 dan).

Prvog i trećeg dana od infekcije, ni kod jednog čureta nije izolovan *A. fumigatus* iz uzoraka srca. Sedmog dana, prouzrokovač je izolovan kod 1 čureta (16,66%) od ukupno 6 žrtvovanih čurića, a četrnaestog dana od infekcije kod 2 (33,33%) od 6 čurića. Dvadesetprvog dana prouzrokovač je izolovan iz uzoraka srca samo kod 1 čureta (16,66%) od ukupno 6.

Iz uzoraka srca čurića kontrolne grupe 2 (K-2) nije izolovan *A. fumigatus* niti bilo koji drugi patogeni mikroorganizam u bilo kom vremenu žrtvovanja.

Na grafikonu 8 su prikazani rezultati izolacije *A. fumigatus* iz uzoraka delova srca kod čurica višekratno tretiranih deksametazonom, a zatim inficiranih (O-2), dobijeni posle 1, 3, 7, 14. i 21. dana od infekcije, kao i rezultati izolacije prouzrokovača iz srca čurića tretiranih samo deksametazonom (K-2).

Na osnovu rezultata mikoloških ispitivanja uzoraka delova srca dobijenih kod čurića tretiranih deksametazonom i inficiranih sa *A. fumigatus* (O-2) može se zapaziti da je izolacija uzročnika iz srca bila uspešna tek sedmog dana od infekcije, i to kod 1 od 6 čurića, dok je izolacija *A. fumigatus* iz uzoraka srca inficiranih čurića (O-1) bila uspešna već prvog dana od inficiranja, takođe kod 1 od 6 žrtvovanih čurića (Grafikoni 4, 8). Četrnaestog dana od infekcije broj čurića ogledne grupe 2 kod kojih je iz uzoraka srca izolovan *A. fumigatus* bio je jednak (2 od 6) broju čurića ogledne grupe 1 (O-1) iz čijih je uzoraka srca izolovan prouzrokovač. Dvadesetprvog dana od infekcije broj čurića ogledne grupe 2 (O-2), kod kojih je iz srca izolovan *A. fumigatus* bio je neznatno manji (1 od 6 tj. 16,66%) od broja čurića ogledne grupe 1 (O-1) - 2 od 6 (33,33%) (Grafikoni 4, 8).



Grafikon 8. Stubićima je prikazan broj žrtvovanih inficiranih i deksametazonom tretiranih čurića iz čijih je uzoraka srca izolovan *A. fumigatus* posle 1., 3., 7., 14. i 21. dana od veštačkog inficiranja (grupa O-2), kao i rezultat izolacije prouzrokovaca iz uzoraka srca čurića kontrolne grupe (K-2), tretirane samo deksametazonom.

Prouzrokovac nije bio izolovan iz uzoraka srca ni kod jednog čureta višekratno tretiranog deksametazonom (K-2), u bilo kom periodu žrtvovanja, 1, 3, 7, 14 i 21 dan (Grafikon 8).

Može se zapaziti da tretman deksametazonom nije značajno uticao na broj izolata uzročnika, odnosno na broj čurića kod kojih je izolovan *A. fumigatus*, u odnosu na broj izolata kod inficiranih čurića koji nisu tretirani deksametazonom.

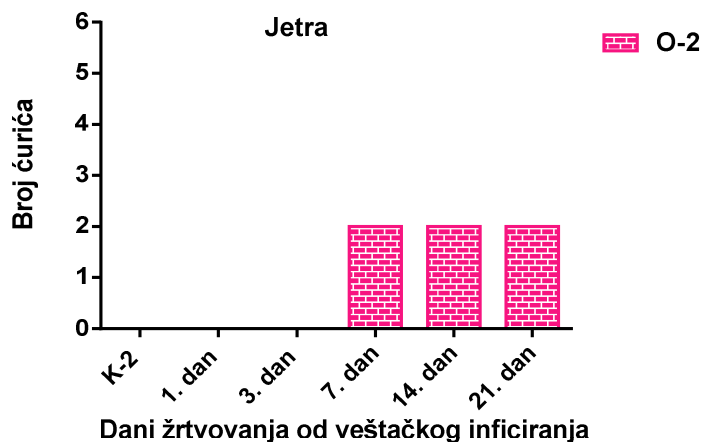
Deksametazon odlaže, odnosno produžava vreme inicijalne izolacije *A. fumigatus* iz uzoraka srca (7. dan od inficiranja) u odnosu na inicijalno vreme izolacije uzročnika iz srca inficiranih čurića koji nisu tretirani deksametazonom (1. dan od inficiranja) (Grafikoni 4, 8).

Prvog i trećeg dana od infekcije, ni kod jednog čureta nije izolovan *A. fumigatus* iz uzoraka jetre. Sedmog dana od infekcije prouzrokovac je izolovan iz uzoraka delova jetre kod 2 čureta od ukupno 6 čurića (33,33%), a takođe četrnaestog (33,33%) i dvadesetprvog dana (33,33 %) od inficiranja (Grafikon 9).

Iz uzoraka jetre čurića kontrolne grupe 2 (K-2) nije izolovan *A. fumigatus* ni kod jednog čureta u bilo kom vremenu žrtvovanja, niti bilo koji drugi patogen u bilo kom vremenu žrtvovanja (Grafikon 9).

Rezultati pokazuju da prethodno davanje deksametazona donekle povećava broj izolata i broj čurića iz čijih se uzoraka jetre izoluje *A. fumigatus*, i to, kod 2 od 6 čurića posle 7, 14. i 21. dana od infekcije, u poređenju sa brojem čurića grupe (O-1) iz čijih uzoraka jetre ni kod jednog čureta nije izolovan prouzrokovac (0 od 6 čurića) posle 7, 14, i 21. dana od infekcije (Grafikoni 5, 9).

Na grafikonu 9 prikazani su rezultati izolacije *A. fumigatus* iz uzoraka delova jetre kod čurića tretiranih deksametazonom, a zatim inficiranih (O-2), dobijeni posle 1, 3, 7, 14. i 21. dana od infekcije, kao i rezultati izolacije prouzrokovaca iz jetre čurića kontrolne grupe (K-2).



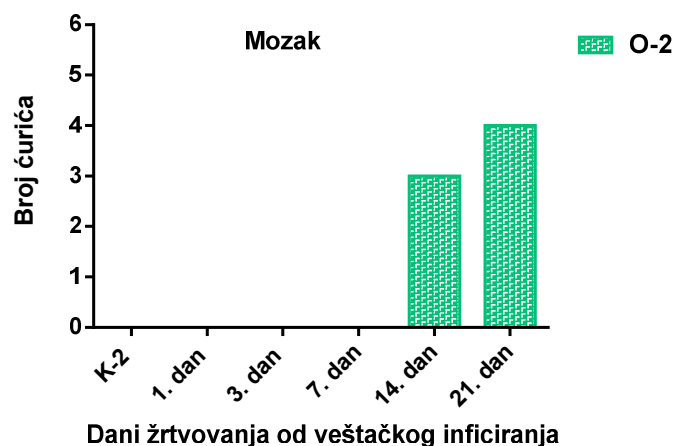
Grafikon 9. Stubićima je prikazan broj žrtvovanih inficiranih i deksametazonom tretiranih čurića iz čijih je uzoraka jetre izolovan *A. fumigatus* posle 1., 3., 7., 14. i 21. dana od veštačkog inficiranja (grupa O-2), kao i rezultat izolacije prouzrokovaca iz uzoraka jetre čurića kontrolne grupe (K-2), tretirane samo deksametazonom.

Prvog, trećeg i sedmog dana od infekcije iz uzoraka delova mozga *A. fumigatus* nije izolovan ni kod jednog čureta od ukupno 18 žrtvovanih inficiranih i deksametazonom tretiranih. Četrnaestog dana od infekcije prouzrokovac je izolovan iz uzoraka mozga kod 3 (50%) od ukupno 6 čurića, a dvadesetprvog dana kod 4 (66,66%) od 6 čurića (Grafikon 10).

Iz uzoraka mozga čurića grupe K-2 nije izolovan *A. fumigatus* ni kod jednog čureta u bilo kom vremenu žrtvovanja (Grafikon 10).

Na grafikonu 10 prikazani su rezultati izolacije *A. fumigatus* iz uzoraka mozga kod čurića višekratno tretiranih deksametazonom, a zatim inficiranih (O-2), dobijeni

posle 1., 3., 7., 14. i 21. dana od inficiranja, kao i rezultati izolacije prouzrokovaca iz uzoraka mozga curica tretiranih samo deksametazonom, kontrolna grupa 2 (K-2).



Grafikon 10. Stubićima je prikazan broj žrtvovanih inficiranih i deksametazonom tretiranih curica iz čijih je uzoraka mozga izolovan *A. fumigatus* posle 1., 3., 7., 14. i 21. dana od veštačkog inficiranja (grupa O-2), kao i rezultat izolacije prouzrokovaca iz uzoraka mozga curica kontrolne grupe (K-2), tretirane samo deksametazonom.

Rezultati ispitivanja pokazuju da prethodno davanje deksametazona povećava broj curica iz čijih se uzoraka mozga izoluje *A. fumigatus*, i to: kod 3 od 6 curica posle 14. dana i kod 4 od 6 posle 21. dana od inficiranja, u poređenju sa brojem curica ogledne grupe 1 (O-1) kod koje je *A. fumigatus* izolovan samo kod 1 cureta od 6 posle 21. dana od infekcije (Grafikoni 6, 10).

5.4. Rezultati molekularnih ispitivanja

Rezultati kvalitativne molekularne detekcije *A.fumigatus* iz uzoraka pluća i vazdušnih kesa, srca, jetre, bubrega, mozga i kostne srži čurića posle 1., 3., 7., 14. i 21. dana od veštačkog inficiranja, kao i kod čurića tretiranih deksametazonom dobijeni su korišćenjem dvostepene (Nested) lančane reakcije polimeraze (PCR).

Za izvođenje PCR reakcije korišćena su dva para prajmera prikazanih u tabeli (Tabela 4).

Tabela 4. Oligonukleotidni prajmeri, DNK sekvenca, mesto i specifičnost za *A. fumigatus*.

Oligonukleotidni prajmeri	DNK sekvenca (5'-3')	Mesto	Vrsta specifičnost
AFU5S	AGG GCC AGC GAG TAC ATC ACC TTG	1436-1459	<i>A. fumigatus</i>
AFU5AS	GG G (AG)GT CGT TGC CAA C(CT)C (CT)CC TGA	1648-1771	<i>A. fumigatus</i>
AFU7S	CGG CCC TTA AAT AGC CCG	1296-1313	<i>A. fumigatus</i>
AFU7AS	CGG CCC TTA AAT AGC CCG	1681-1700	<i>A. fumigatus</i>

Prvog dana od veštačkog inficiranja u zbirnom uzorku pluća i vazdušnih kesa, kao i jetre (po 6 čurića) detektovana je DNK *A. fumigatus*. U zbirnom uzorku srca, mozga, kostne srži i bubrega prvog dana od veštačkog inficiranja nije detektovan genom *A. fumigatus* (Tabela 5).

Trećeg dana od veštačkog inficiranja u zbirnom uzorku pluća i vazdušnih kesa i bubrega detektovana je pozitivna reakcija na prisustvo *A. fumigatus*, a negativan nalaz je ustanovljen u zbirnom uzorku srca, jetre, mozga i kostne srži.

Sedmog dana od veštačkog inficiranja pozitivan PCR produkt je vizuelizovan u zbirnom uzorku delova pluća i vazdušnih kesa, srca i mozga, a u zbirnom uzorku jetre, bubrega i kostne srži nije detektovan PCR produkt na gel elektroforezi.

Četrnaestog dana od veštačkog inficiranja u zbirnom uzorku pluća i vazdušnih kesa, srca, jetre i mozga detektovana je pozitivna reakcija na prisustvo *A. fumigatus*, a negativna u zbirnom uzorku bubrega i kostne srži (Tabela 5).

Tabela 5. Rezultati detekcije *A. fumigatus* iz zbirnih uzoraka delova ispitivanih organa čurića posle 1., 3., 7., 14. i 21. dana od veštačkog inficiranja.

Dani od inficiranja/žrtvovanja n (6)	Detekcija <i>A. fumigatus</i> iz organa čurića ogledne grupe (O-1) PCR metodom					
	Pluća i vazdušne kese	Srce	Jetra	Mozak	K. srž	Bubreg
1.	+	-	+	-	-	-
3.	+	-	-	-	-	+
7.	+	+	-	+	-	-
14.	+	+	+	+	-	-
21.	+	+	+	+	+	+
Dani žrtvovanja	Kontrolna grupa čurića (K-1) (n =3)					
1.	-	-	-	-	-	-
3.	-	-	-	-	-	-
7.	-	-	-	-	-	-
14.	-	-	-	-	-	-
21.	-	-	-	-	-	-

+, pozitivna reakcija

- , negativna reakcija

n, broj čurića po danu žrtvovanja

Dvadesetprvog dana od veštačkog inficiranja čurića kod svih ispitivanih zbirnih uzoraka organa (pluća i vazdušne kese, srce, jetra, mozak, bubreg i kostna srž) vizuelizovana je pozitivna PCR reakcija na prisustvo genoma *A. fumigatus*.

U zbirnim uzorcima (od po 3 ēureta) ispitivanih delova organa čurića kontrolne grupe 1 (K-1) nije bio vidljiv proizvod PCR reakcije, odnosno reakcija je bila negativna posle bilo kog vremena žrtvovanja (Tabela 5).

Kod čurića koji su višekratno parenteralno dobijali deksametazon, a zatim veštački inficirani *A. fumigatus* (grupa O-2), prvog dana od infekcije detektovana je pozitivna reakcija na prisustvo *A. fumigatus* u zbirnom uzorku pluća i vazdušnih kesa (zbirni uzorak od 6 žrtvovanih čurića), kao i mozga. U zbirnom uzorku srca, jetre, kostne srži i bubrega, prvog dana od veštačkog inficiranja metodom PCR nije detektovan *A. fumigatus* (Tabela 6).

Tabela 6. Rezultati detekcije *A. fumigatus* iz zbirnih uzoraka delova ispitivanih organa čurića tretiranih deksametazonom i veštački inficiranih, dobijeni posle 1., 3., 7., 14. i 21. dana od inficiranja.

Dani od inficiranja/žrtvovanja n (6)	Detekcija <i>A. fumigatus</i> iz organa čurića ogledne grupe (O-2) PCR metodom					
	Pluća i vazdušne kese	Srce	Jetra	Mozak	K. srž	Bubreg
1.	+	-	-	+	-	-
3.	+	-	-	+	-	-
7.	+	+	+	+	-	+
14.	+	+	+	+	+	+
21.	+	+	+	+	+	+
Dani žrtvovanja	Kontrolna grupa čurića 2 (K-2) (n=3)					
1.	-	-	-	-	-	-
3.	-	-	-	-	-	-
7.	-	-	-	-	-	-
14.	-	-	-	-	-	-
21.	-	-	-	-	-	-

+, pozitivna reakcija

-, negativna reakcija

n, broj čurića po danu žrtvovanja

Trećeg dana od veštačkog inficiranja u zbirnom uzorku pluća i mozga detektovana je pozitivna reakcija na prisustvo *A. fumigatus*, a negativna reakcija je očitana u zbirnom uzorku srca, jetre, kostne srži i bubrega.

Sedmog dana od veštačkog inficiranja pozitivan PCR produkt je vizuelizovan u zbirnom uzorku pluća i vazdušnih kesa, srca, jetre i mozga, a u zbirnom uzorku kostne srži i bubrega nije detektovan PCR produkt na gel elektroforezi.

Četrnaestog i dvadesetprvog dana od veštačkog inficiranja čurića u zbirnim uzorcima svih ispitivanih organa (pluća i vazdušne kese, srce, jetra, mozak, kostna srž i bubreg) detektovana je pozitivna reakcija na prisustvo genoma *A. fumigatus* (Tabela 6).

U zbirnim uzorcima ispitivanih organa čurića kontrolne grupe 2 (K-2) u svim vremenima žrtvovanja nije bio vidljiv proizvod PCR reakcije, odnosno reakcija je bila negativna (Tabela 6).

5.5. Rezultati ispitivanja kožne bazofilne preosetljivosti (CBH) izazvane fitohemaglutininom kod čurića kontrolnih i oglednih grupa

Ispitivanje kožne bazofilne preosetljivosti sa fitohemaglutininom je izvedeno na 40 čurića oba pola, starosti 28 dana, koji su sa sedam dana bili vakcinisani La sota sojem protiv virusa atipične kuge živine. Čurići su podeljeni u četiri jednake grupe (kontrolna 1 i 2 i ogledna 1 i 2). Svakom čuretu u kožni nabor između 3. i 4. prsta desne noge intradermalno, jednokratno je aplikovan fitohemaglutinin u pojediničnoj dozi od 100 µg (Slika 63).

Istovremeno sa fitohemaglutininom, u levu nogu je aplikovan sterilan fiziološki rastvor NaCl (SFR) u istoj zapremini i na istom mestu primene. Debljina kože između trećeg i četvrтog prsta obe noge merena je kod svih čurića pre aplikacije ovih ispitujućih supstanci (nulti sat posmatranja – 0 h) (Slika 63).

Reakcija na obe supstance, u vidu zadebljanja kože (DK) merena je u milimetrima digitalnim kutinometrom posle 6, 12 i 24 sata od aplikacije (Slika 64).



Slika 63. Aplikacija fitohemaglutinina u kožni nabor između 3. i 4. prsta.



Slika 64. Merenje debljine kožnog nabora digitalnim kutinometrom.

Dobijene vrednosti merenja DK kod čurića oglednih grupa 1 i 2 upoređivane su sa vrednostima DK kod čurića kontrolnih grupa 1 i 2, i vrednostima između oglednih grupa u cilju procene odgovora reakcije organizma na fitohemaglutinin (Tabela 7).

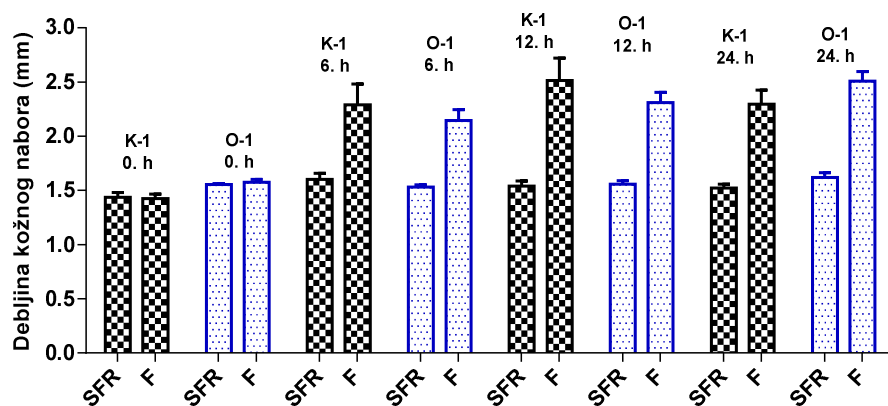
Tabela 7. Prosečne vrednosti debljine kože (DK) dobijene kod čurića ogledne i kontrolne grupe 1 pre (0h) i posle 6, 12 i 24h od i. d. aplikacije fitohemaglutinina (F) i sterilnog fiziološkog rastvora NaCl (SFR).

Prosečne vrednosti DK kod čurića tretiranih F i SFR				
Grupa	Kontrolna grupa 1 (K-1)		Ogledna grupa 1 (O-1)	
	X±SD	X±SD	X±SD	X±SD
Vreme (h)	SFR (mm)	F (mm)	SFR (mm)	F (mm)
0	1,44±0,14	1,42±0,13	1,55±0,02	1,58±0,08
6	1,60±0,18	2,29±0,61	1,53±0,07	2,45±0,32
12	1,54±0,15	2,51±0,65	1,56±0,11	2,31±0,30
24	1,52±0,12	2,29±0,41	1,62±0,15	2,50±0,28

Kontrolna grupa 1 (K-1) - čurići tretirani fitohemaglutininom (F) i sterilnim fiziološkim rastvorom NaCl (SFR), intradermalno (i.d.)

Ogledna grupa 1 (O-1) - čurići veštački inficirani sa *A. fumigatus* i tretirani fitohemaglutininom (F) i sterilnim fiziološkim rastvorom NaCl (SFR), intradermalno (i.d.)

Prosečna vrednost debljine kože između 3. i 4. prsta kod čurića ogledne grupe 1 (O-1) posle 6 časova od aplikacije F iznosila je $2,45\pm0,32$ mm, a kod čurića kontrolne grupe 1 (K-1) bila je $2,29\pm0,61$ mm. Prosečna vrednost DK kod čurića ogledne grupe 1 bila je neznatno veća u odnosu na prosečnu vrednost DK kod čurića kontrolne grupe 1 (K-1). (Tabela 7; Grafikon 11).



Grafikon 11. Stubićima su prikazane prosečne vrednosti DK nabora kod čurića grupe K-1 i čurića grupe O-1 posle 6, 12 i 24h od i.d. aplikacije F i SFR.

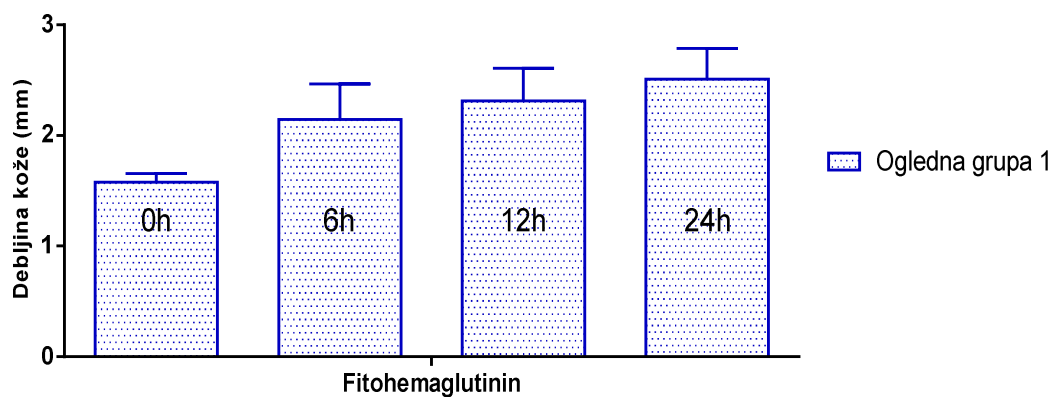
Prosečna vrednost DK kod čurića ogledne grupe 1 (O-1) ustanovljena posle 12 sati od aplikacije F iznosila je $2,31 \pm 0,30$ mm, a kod čurića grupe (K-1) bila je $2,51 \pm 0,65$ mm. Prosečna vrednost DK kod čurića grupe (O-1) bila je neznatno manja u odnosu na prosečnu vrednost DK kod čurića grupe (K-1) (Tabela 7; Grafikon 11).

Dobijena prosečna vrednost DK kod čurića ogledne grupe 1 (O-1) posle 24 časa od aplikacije F iznosila je $2,50 \pm 0,28$ mm, a kod čurića kontrolne grupe 1 (K-1) $2,29 \pm 0,41$ mm. Prosečna vrednost DK kod čurića grupe (O-1) bila je neznatno veća u odnosu na prosečnu vrednost DK kod čurića kontrolne grupe 1.

Dobijeni rezultati prosečne vrednosti DK čurića ogledne grupe 1 i čurića kontrolne grupe 1 posle 6, 12 i 24 časa od aplikacije SFR nisu bili statistički značajni u funkciji vremena (Tabela 7; Grafikon 11).

Prosečne vrednosti zadebljanja kože čurića ogledne grupe 1 praćene u funkciji vremena (6 do 24h) od aplikacije F (vrednosti upoređivane između 6 i 12; 12 i 24 časa) se značajno ne menjaju i ne pokazuju statistički značajno povećanje vrednosti zadebljanja kože u praćenom periodu od 6 do 24h (Grafikon 12) .

Najveća prosečna vrednost zadebljanja kože ustanovljena je posle 24 časa od aplikacije fitohemaglutinina ($2,50 \pm 0,28$ mm) (Grafikon 12).



Grafikon 12. Stubićima su prikazane prosečne vrednosti DK nabora dobijene pre aplikacije (0h) i posle 6, 12 i 24h od i.d. aplikacije fitohemaglutinina kod čurića veštački inficiranih sa *A. fumigatus* (ogledna grupa 1).

U tabeli 8. su prikazane prosečne vrednosti DK kod čurića kontrolne grupe 2 i ogledne grupe 2 dobijene posle 6, 12 i 24 časa od aplikacije SFR i F.

Tabela 8. Prosečne vrednosti debljine kože (DK) kod čurića ogledne i kontrolne grupe 2 pre (0h) i posle 6, 12 i 24h od i.d. aplikacije fitohemaglutinina (F) i sterilnog fiziološkog rastvora NaCl (SFR)

Prosečne vrednosti DK kod čurića tretiranih F i SFR				
Grupe Vreme (h)	Kontrolna grupa 2 (K-2) $X \pm SD$		Ogledna grupa 2 (O-2) $X \pm SD$	
	SFR (mm)	F (mm)	SFR (mm)	F (mm)
0	1,11±0,12	1,18±0,05	1,15±0,16	1,19±0,20
6	1,26±0,10	2,03±0,19**	1,24±0,09	1,82±0,16**
12	1,28±0,13	2,56±0,16*	1,32±0,16	2,39±0,17*
24	1,26±0,13	2,40±0,21**	1,32±0,13	2,12±0,18**

Kontrolna grupa 2 (K-2) - čurići višekratno parenteralno tretirani deksametazonom, i i.d. sterilnim fiziološkim rastvorom (SFR) i fitohemaglutininom (F).

Ogledna grupa 2 (O-2) - čurići višekratno parenteralno tretirani deksametazonom a zatim inficirani sa *A. fumigatus*. SFR i F aplikovani i.d.

**-statistički značajna razlika ($P<0,01$) između prosečnih vrednosti debljine kože čurića grupe K-2 i O-2 posle 6 i 24h od aplikacije fitohemaglutinina

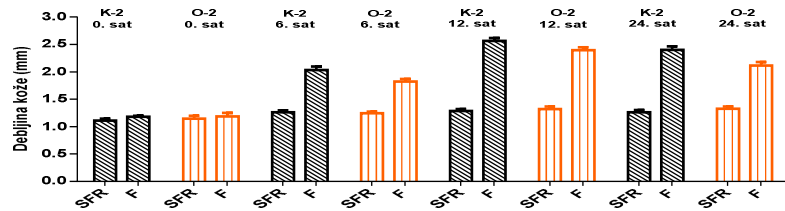
*-statistički značajna razlika ($P<0,05$) između prosečnih vrednosti debljine kože čurića grupe K-2 i O-2 posle 12h od aplikacije fitohemaglutinina.

Prosečna vrednost debljine kože između 3. i 4. prsta kod čurića ogledne grupe O-2, posle 6 sati od aplikacije F iznosila je $1,82 \pm 0,16$ mm, a kod čurića grupe K-2 ova vrednost bila je $2,03 \pm 0,19$ mm.

Prosečna vrednost DK kod čurića grupe O-2, posle 6 sati od aplikacije F bila je statistički značajno manja ($P<0,01$) u odnosu na prosečnu vrednost debljine kože čurića grupe K-2. (Tabela 8, Grafikon 13).

Prosečna vrednost DK kod čurića grupe O-2 izračunata posle 12 časova od aplikacije F iznosila je $2,39 \pm 0,17$ mm, a kod čurića grupe K-2 bila je nešto veća, $2,56 \pm 0,16$ mm.

Prosečna vrednost DK kod čurića grupe O-2 posle 12 časova bila je statistički značajno manja ($P<0,05$) u odnosu na prosečnu vrednost DK kod čurića grupe 2, K-2 (Tabela 8, Grafikon 13).



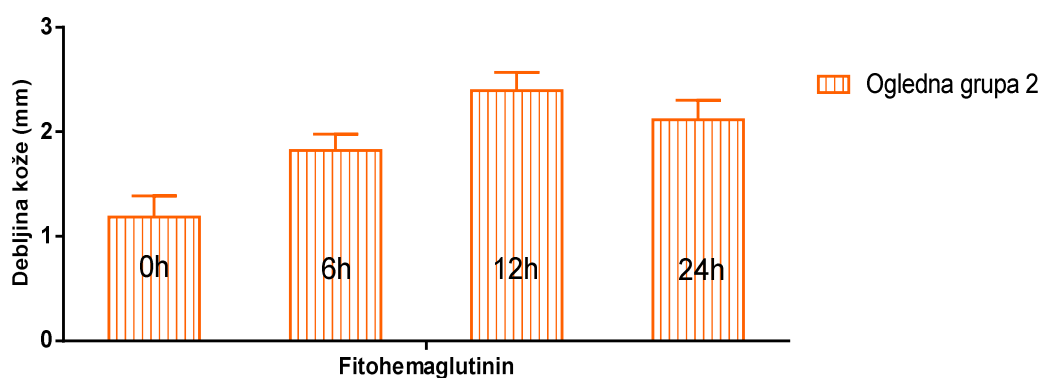
Grafikon 13. Stubićima su prikazane prosečne vrednosti DK nabora kod čurića grupe K-2 i čurića grupe O-2 posle 6, 12 i 24h od i.d. aplikacije F i SFR.

Dobijena prosečna vrednost DK čurića grupe (O-2) posle 24 časa od aplikacije F iznosila je $2,12 \pm 0,18$ mm, a kod čurića grupe (K-2) $2,40 \pm 0,21$ mm.

Prosečna vrednost DK čurića ogledne grupe 2 (O-2) posle 24 časa je bila je takođe statistički veoma značajno manja ($P < 0,001$) u odnosu na prosečnu vrednost DK kod čurića kontrolne grupe 2 (K-2) posle 24h.

Dobijeni rezultati prosečne vrednosti DK čurića ogledne grupe 2 (O-2) i kontrolne grupe 2 (K-2) posle 6, 12 i 24 časa od aplikacije (SFR) nisu se značajno razlikovali (Tabela 8, Grafikon 13).

Vrednosti DK dobijene posle 6 i 12 i 12 i 24 časa od aplikacije F pokazuju statistički veoma značajno povećanje debljine kožnog nabora posle 6 h ($P < 0,001$) i 24 časa ($P < 0,001$) i značajno posle 12 časova ($P < 0,05$). Najveća prosečna vrednost debljine kože ustanovljena je posle 12 sati od aplikacije fitohemaglutinina i iznosila je $2,39 \pm 0,17$ mm (Tabela 8, Grafikon 14).



Grafikon 14. Stubići predstavljaju prosečne vrednosti debljine kože dobijene pre (0h) i posle 6, 12 i 24 časa od aplikacije fitohemaglutina kod čurića tretiranih deksametazonom i veštački inficiranih sa *A. fumigatus* (ogledna grupa 2)

U tabeli 9 su prikazane prosečne vrednosti DK kod čurića ogledne grupe 1 (O-1) i ogledne grupe 2 (O-2) ustanovljene posle 6, 12 i 24 časa od aplikacije F i SFR.

Tabela 9. Prosečne vrednosti debljine kože (DK) kod čurića ogledne grupe 1 i ogledne grupe 2 pre (0h) i posle 6, 12 i 24 h od i.d. aplikacije fitohemaglutinina (F) i sterilnog fiziološkog rastvora NaCl (SFR)

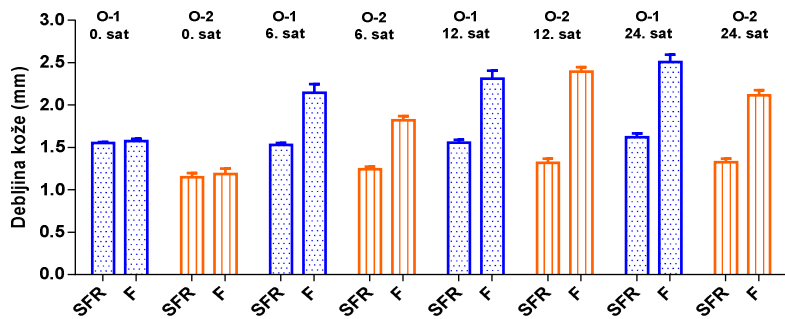
Prosečne vrednosti DK kod čurića tretiranih F i SFR				
Grupe Vreme (h)	Ogledna grupa 1 (O-1) $X \pm SD$		Ogledna grupa 2 (O-2) $X \pm SD$	
	SFR (mm)	F (mm)	SFR (mm)	F (mm)
0	1,55±0,02	1,58±0,08	1,15±0,16	1,19±0,20
6	1,53±0,07	2,45±0,32***	1,24±0,09	1,82±0,16***
12	1,56±0,11	2,31±0,30	1,32±0,16	2,39±0,17
24	1,62±0,15	2,50±0,28***	1,32±0,13	2,12±0,18***

Ogledna grupa 1 (O-1) - čurići veštački inficirani sa *A. fumigatus*. SFR i F aplikovani jednokratno i.d.

Ogledna grupa 2 (O-2) - čurići višekratno parenteralno tretirani deksametazonom i inficirani sa *A. fumigatus*. SFR i F aplikovani jednokratno i.d.

***-statistički značajna razlika ($P<0,001$) između prosečnih vrednosti debljine kože čurića grupe O-1 i O-2 posle 6 i 24h od aplikacije fitohemaglutinina.

Posle 6 sati od aplikacije F prosečna vrednost debljine kože kod čurića grupe (O-1) iznosila je $2,452\pm0,32$ mm, a kod čurića grupe (O-2) bila je $1,82\pm0,16$ mm. Prosečna vrednost DK kod čurića grupe (O-2), u ovom periodu merenja, bila je statistički značajno manja ($P<0,001$) u odnosu na prosečnu vrednost DK kod čurića grupe (O-1) (Tabela 9, Grafikon 15).



Grafikon 15. Stubićima su prikazane prosečne vrednosti DK kod čurića grupe O-1 i grupe O-2 dobijene pre (0h) i posle 6, 12 i 24h od i.d. aplikacije fitohemaglutinina (F) i sterilnog fiziološkog rastvora NaCl (SFR).

Dvanaest sati nakon aplikacije fitohemaglutinina kod čurića grupe (O-2) prosečna vrednost DK iznosila je $2,39 \pm 0,17$ mm, a kod čurića grupe (O-1) bila je $2,31 \pm 0,30$ mm. Ustanovljena vrednost DK kod čurića grupe (O-2) u ovom periodu posmatranja nije se značajno razlikovala od DK kod čurića grupe (O-1) (Tabela 9).

Dvadestčetiri sata od aplikacije F prosečna vrednost DK kod čurića ogledne grupe 2 (O-2) bila je $2,12 \pm 0,18$ mm, a kod čurića grupe (O-1) iznosila je $2,50 \pm 0,28$ mm.

Prosečna vrednost DK kod čurića ogledne grupe 2 (O-2) bila je statistički veoma značajno manja ($P < 0,001$) u odnosu na prosečnu vrednost debljine kože kod čurića ogledne grupe 1 (O-1) (Tabela 9, Grafikon 15).

Prosečne vrednosti DK kod čurića ogledne grupe 2 (O-2) u poređenju sa vrednostima DK ogledne grupe 1 (O-1), koje su dobijale sterilni fiziološki rastvor bile su statistički značajno manje posle 6, 12 i 24 časa od aplikacije ovog rastvora (Tabela 9, Grafikon 15).

Rezultati prosečne vrednosti DK kod čurića ogledne grupe 2 dobijeni u predviđenim vremenima od aplikacije fitohemaglutinina pokazuju statistički veoma značajno ($P < 0,001$) smanjenje vrednosti zadebljanja kože, odnosno lokalne bazofilne preosetljivosti (CBH) - imunosupresiju posle 6 i 24 časa ($P < 0,001$) u odnosu na prosečne vrednosti DK čurića ogledne grupe O-1. Najizraženije smanjenje vrednosti DK kod čurića ogledne grupe 2 zabeleženo je posle 6 sati od aplikacije F i iznosilo je $1,82 \pm 0,16$ mm (Tabela 9, Grafikon 15).

5.6. Rezultati imunskog odgovora na vakcinu protiv atipične kuge živine

Za vakcinaciju protiv atipične kuge živine (AKŽ) korišćena je vakcina La Sota, živa liofilizovana, koja sadrži lentogeni soj La Sota virusa atipične kuge živine. Kod čurića starosti 10 dana vakcina je aplikovana okulo – nazalno, prema uputstvu proizvođača.

Odmah nakon izleganja, čurićima je uzorkovana krv u cilju procene titra maternalnih antitela protiv ovog oboljenja. Dobijene vrednosti titra bile su: 1:16 (4); 1:32 (6); 1:64 (5) i ove vrednosti su pokazale da su čurići nasledili dovoljan nivo maternalnih anititela koja će ih štititi od infekcije do predviđenog vremena vakcinacije (10 dana starosti).

Dvadesetprvog dana nakon vakcinacije čurića kontrolne grupe 1 (K-1) titar antitela bio je: 1:16 (1); 1:32 (2); 1:128 (5); 1:256 (2), a kod čurića kontrolne grupe 2 (K-2), koji su u starosti od 8 dana, šest uzastopnih dana dobijali deksametazon u cilju izazivanja imunosupresije titar antitela bio je značajno niži i iznoso je: 1:8 (2); 1:16 (5); 1:32 (3). Rezultati ispitivanja visine titra antitela dobijeni 21. dana od vakcinacije protiv atipične kuge živine kod čurića inficiranih sa *A. fumigatus*, ogledna grupa 1 (O-1) bili su: 1:4 (3); 1:8 (7), a kod deksametazonom tretiranih i inficiranih čurića, ogledna grupa 2 (O-2) titar antitela iznosio je: 1:2 (6); 1:4 (4).

5.7. Rezultati hematoloških ispitivanja

Ispitivanje uticaja eksperimentalne intratrahealne infekcije izazvane sa *A. fumigatus* na neke hematološke parametare (broj eritrocita, leukocita, heterofila, limfocita i bazofila, koncentracija hemoglobina i hematokritna vrednost) obavljeno je kod čurića posle 14. i 21. dana od inficiranja (28 i 35 dana starosti) (Tabela 10), kao i kod inficiranih čurića prethodno višekratno parenteralno tretiranih deksametazonom (Tabela 12). Takođe, navedena hematološka ispitivanja su obavljena i kod čurića kontrolnih gupa (K-1) (Tabela 11) i čurića kontrolne grupe (K-2) (Tabela 13) starosti 28 i 35 dana.

Tabela 10. Prosečne vrednosti hematoloških parametara dobijene kod čurića posle 14. i 21. dana od veštačkog inficiranja (O-1), starosti 28 i 35 dana.

Dani od inficiranja	Starost (dani)	Grupa	X±SD Er $\times 10^{12}/l$	X±SD Le $\times 10^9/l$	X±SD Heterofili $\times 10^9/l$	X±SD Lym $\times 10^9/l$	X±SD Bazofili $\times 10^9/l$	X±SD Hbg g/dl	X±SD Het %
14.	28	O-1	1,93±0,16	15,66±4,14**	6,58±2,2	8,83±2,98	0,91±0,44	9,08±0,41*	31,70±2,70*
21.	35	O-1	1,87±0,07	25,91±8,59**	15,25±56***	9,90±4,0**	0,76±0,60	9,36±0,45	30,60±1,17

Er – eritrociti; Le – leukociti; Hbg – hemoglobin; Hct – hematokrit; Lym - limfociti

O-1, ogledna grupa čurića veštački inficirana sa *A. fumigatus*

K-1, kontrolna (neinficirana) grupa čurića starosti 28 i 35 dana.

* Statistički značajna razlika ($p<0,05$) između prosečne vrednosti koncentracije hemoglobina i prosečne vrednosti hematokrita ustanovljenih kod čurića grupe O-1 posle 14. dana od inficiranja (starost 28 dana) u odnosu na iste hematološke parametre dobijene kod čurića grupe K-1, starosti 28 dana.

** Statistički značajna razlika ($p<0,01$) između prosečne vrednosti ukupnog broja leukocita dobijene kod čurića grupe O-1, posle 14. i 21. dana od infekcije (starost 28 i 35 dana) i prosečne vrednosti ukupnog broja leukocita kod čurića grupe K-1 starosti 28 i 35 dana.

*** Statistički značajna razlika ($p<0,01$) između i prosečne vrednosti broja limfocita dobijene kod čurića grupe O-1, posle 21. dana od infekcije (starost 35 dana) i prosečne vrednosti broja limfocita dobijene kod čurića grupe K-1 starosti 35 dana.

****Statistički značajna razlika ($p<0,001$) između prosečne vrednosti broja heterofila kod čurića grupe O-1 posle 21. dana od infekcije (starost 35 dana) i prosečne vrednosti broja heterofila kod čurića grupe K-1 (starost 35 dana).

Rezultati ispitivanja uticaja infekcije izazvane *A. fumigatus* na broj eritrocita kod čurića posle dve nedelje od inficiranja (starost 28 dana) pokazuju da infekcija ne utiče značajno na ovaj parametar ($1,93\pm0,04\times 10^{12}/l$), u poređenju sa prosečnim brojem eritrocita ustanovljenim kod čurića kontrolne grupe 1 ($2,05\pm0,13\times 10^{12}/l$) u starosti od 28 dana (Tabele 10, 11). Prosečan broj eritrocita se i dalje neznatno smanjivao kod inficiranih čurića, pa je treće nedelje od infekcije iznosio ($1,87\pm0,07\times 10^{12}/l$), i bio je neznatno manji, kako u odnosu na prosečan broj eritrocita ustanovljen kod čurića posle druge nedelje od infekcije, tako i u odnosu na broj eritrocita dobijen kod čurića kontrolne grupe 1 ($1,98\pm0,11\times 10^{12}/l$) u starosti od 35 dana (Tabele 10, 11).

Tabela 11. Prosečne vrednosti hematoloških parametara dobijene kod čurića kontrolne grupe 1 (K-1) starosti 28 i 35 dana.

Starost (dani)	Grupa	X±SD Er ×10 ¹² /l	X±SD Le ×10 ⁹ /l	X±SD Heterofili ×10 ⁹ /l	X±SD Lym ×10 ⁹ /l	X±SD Bazofili ×10 ⁹ /l	X±SD Hbg g/dl	X±SD Hct %±SD
28	K-1	2,05±0,13	6,71±0,96**	6,49±2,25	8,45±3,60	0,81±0,51	10,03±0,8*	33,70±2,1*
35	K-1	1,98±0,11	11,22±3,22***	4,76±1,71***	5,77±2,01**	0,63±0,24	9,98±0,54	32,50±1,84

Er – eritrociti; Le – leukociti; Hbg – hemoglobin; Hct – hematokrit; Lym - limfociti

O-1, ogledna grupa čurića veštački inficirana sa *A. fumigatus*

K-1, kontrolna (neinficirana) grupa čurića starosti 28 i 35 dana.

*Statistički značajna razlika ($p<0,05$) između prosečne vrednosti koncentracije hemoglobina i prosečne vrednosti hematokrita ustanovljenih kod čurića grupe O-1 posle 14. dana od inficiranja (starost 28 dana) u odnosu na iste hematološke parametre dobijene kod čurića grupe K-1, starosti 28 dana.

**Statistički značajna razlika ($p<0,01$) između prosečne vrednosti ukupnog broja leukocita dobijene kod čurića grupe O-1, posle 14. i 21. dana od infekcije (starost 28 i 35 dana) i prosečne vrednosti ukupnog broja leukocita kod čurića grupe K-1 starosti 28 i 35 dana.

*** Statistički značajna razlika ($p<0,01$) između i prosečne vrednosti broja limfocita dobijene kod čurića grupe O-1, posle 21. dana od infekcije (starost 35 dana) i prosečne vrednosti broja limfocita dobijene kod čurića grupe K-1 starosti 35 dana.

**** Statistički značajna razlika ($p<0,001$) između prosečne vrednosti broja heterofila kod čurića grupe O-1 posle 21. dana od infekcije (starost 35 dana) i prosečne vrednosti broja heterofila kod čurića grupe K-1 (starost 35 dana).

Posle dve nedelje od infekcije ustanovljeno je značajno smanjenje ($p<0,05$) prosečne vrednosti koncentracije hemoglobina ($9,08\pm0,41$ g/dl) kod inficiranih čurića (O-1) u odnosu na prosečnu vrednost ovog parametra kod čurića kontrolne grupe 1 ($10,03\pm0,82$ g/dl), kao i smanjenje prosečne vrednosti hematokrita ($31,70\pm2,70\%$) u odnosu na vrednost hematokrita ustanovljenu kod čurića kontrolne grupe 1 ($33,70\pm2,10\%$) u starosti od 28 dana (Tabele 10, 11).

Prosečne vrednosti hematokrita ustanovljene kod čurića posle dve nedelje od inficiranja linearno su opadale u funkciji vremena (Tabela 10).

U istom periodu uzorkovanja krvi (posle dve nedelje od inficiranja) prosečan broj leukocita bio je statistički značajno veći ($p<0,01$) kod inficiranih čurića ($15,66\pm4,14\times10^9/l$) u odnosu na vrednost ovog parametra dobijenog kod čurića kontrolne grupe 1 ($6,71\pm0,96\times10^9/l$) starosti 28 dana (Tabele 10, 11).

Posle dve nedelje od infekcije prosečne vrednosti broja ćelija bele krvne loze (heterofili, bazofili, limfociti) kod inficiranih čurića (grupa O-1) nisu se statistički

razlikovale u poređenju sa vrednostima ovih hematoloških parametara dobijenih kod čurića kontrolne grupe 1 (K-1), posmatrane u ovom vremenskom periodu (Tabele 10, 11). Tako, prosečna vrednost broja bazofila kod inficiranih čurića posle dve nedelje od infekcije bila je $0,91 \pm 0,44 \times 10^9/l$ i nije se značajno razlikovala od prosečne vrednosti ovog parametra kod čurića kontrolne grupe 1 ($0,81 \pm 0,51 \times 10^9/l$). U posmatranom vremenu od inficiranja ni vrednost prosečnog broja limfocita ($8,83 \pm 2,98 \times 10^9/l$) ustanovljena kod inficiranih čurića nije se značajno razlikovala od vrednosti ovog parametra kod čurića kontrolne grupe 1 ($8,45 \pm 3,60 \times 10^9/l$) (Tabele 10, 11).

Dvadesetprvog dana od inficiranja prosečan broj eritrocita kod čurića grupe O-1, starosti 35 dana, neznatno se smanjivao ($1,87 \pm 0,07 \times 10^{12}/l$) u odnosu na prosečan broj eritrocita ustanovljen kod čurića iste grupe, posle četrnaest dana od inficiranja ($1,93 \pm 0,16 \times 10^{12}/l$), kao i u odnosu na prosečan broj eritrocita dobijen kod čurića kontrolne grupe 1 ($1,98 \pm 0,11 \times 10^{12}/l$) starosti 35 dana (Tabele 10, 11).

Posle tri nedelje od inficiranja, i starosti 35 dana, prosečna vrednost koncentracije hemoglobina kod čurića iznosila je ($9,36 \pm 0,45 g/dl$) i bila je neznatno manja od prosečne vrednosti ovog parametra kod čurića kontrolne grupe 1 ($9,98 \pm 0,54 g/dl$), starosti 35 dana (Tabela 10, 11). U istom periodu uzorkovanja krvi od infekcije, vrednost hematokrita iznosila je $30,60 \pm 1,17\%$ i bila je neznatno manja od prosečne vrednosti hematokrita dobijene posle druge nedelje od infekcije ($31,70 \pm 2,70\%$), i takođe neznatno manja od vrednosti ustanovljene kod čurića kontrolne grupe 1 ($32,50 \pm 1,84\%$), starosti 35 dana (Tabele 10, 11).

Posle tri nedelje od inficiranja i starosti od 35 dana, vrednost prosečnog ukupnog broja leukocita ($25,91 \pm 8,59 \times 10^9/l$) bila je statistički značajno veća ($p < 0,01$) u odnosu na prosečan ukupan broj leukocita dobijen kod čurića kontrolne grupe 1 ($11,22 \pm 3,22 \times 10^9/l$), kao i statistički značajno veća ($p < 0,01$) od vrednosti ukupnog broja leukocita ustanovljene kod čurića posle dve nedelje od inficiranja ($15,66 \pm 4,14 \times 10^9/l$) i starosti od 28 dana (Tabele 10, 11).

Prosečna vrednost broja heterofila kod čurića posle tri nedelje od inficiranja iznosila je ($15,25 \pm 5,26 \times 10^9/l$) i bila je statistički veoma značajno veća ($p < 0,001$) u odnosu na vrednost dobijenu posle dve nedelje od inficiranja ($6,58 \pm 2,32 \times 10^9/l$), kao i statistički veoma značajno veća ($p < 0,001$) u odnosu na prosečnu vrednost heterofila

dobijenu kod čurića kontrolne grupe 1 ($4,76 \pm 1,71 \times 10^9 / l$) starosti 35 dana (Tabele 10, 11).

Prosečan broj limfocita posle tri nedelje od inficiranja čurića, uzrasta 35 dana iznosi je ($9,90 \pm 4,0 \times 10^9 / l$) i bio je statistički značajno veći ($p < 0,01$) u poređenju sa vrednošću prosečnog broja limfocita kod čurića kontrolne grupe 1 ($5,77 \pm 2,01 \times 10^9 / l$) iste starosne dobi, kao i neznatno veći u odnosu na vrednost prosečnog broja limfocita dobijenu kod čurića posle dve nedelje od inficiranja ($8,83 \pm 2,98 \times 10^9 / l$) (Tabele 10, 11).

Vrednost prosečnog broja bazofila kod čurića posle tri nedelje od inficiranja *A. fumigatus* bila je neznatno veća ($0,76 \pm 0,60 \times 10^9 / l$) od vrednosti prosečnog broja bazofilnih granulocita dobijene kod čurića kontrolne grupe 1 ($0,63 \pm 0,24 \times 10^9 / l$), starosti 35 dana, a nešto manja u poređenju sa prosečnim brojem bazofila dobijenim kod čurića posle dve nedelje od inficiranja ($0,91 \pm 0,44 \times 10^9 / l$) (Tabele 10, 11).

Rezultati ispitivanja uticaja infekcije izazvane sa *A. fumigatus* na broj eritrocita kod čurića tretiranih deksametazonom, posle dve nedelje od veštačkog inficiranja pokazuju da infekcija i primena leka ne utiču značajno na broj eritrocita ($2,21 \pm 0,60 \times 10^{12} / l$), u poređenju sa vrednošću prosečnog broja eritrocita ustanovljenom kod čurića kontrolne grupe 2, tretirane samo deksametazonom ($2,51 \pm 0,46 \times 10^{12} / l$). Vrednost prosečnog broja eritrocita ustanovljena posle tri nedelje od infekcije čurića starih 35 dana, bila je neznatno manja ($1,97 \pm 0,14 \times 10^{12} / l$) u poređenju sa vrednošću prosečnog broja eritrocita dobijenoj kod čurića kontrolne grupe 2, tretirane samo deksametazonom ($2,02 \pm 0,17 \times 10^{12} / l$), starosti 35 dana (Tabele 12, 13).

Tabela 12. Prosečne vrednosti hematoloških parametara dobijene kod čurića tretiranih deksametazonom posle 14. i 21. dana od veštačkog inficiranja (O-2), starosti 28 i 35 dana.

Dani od inficiranja	Starost (dani)	Grupa	X±SD Er ×10 ¹² /l	X±SD Le ×10 ⁹ /l	X±SD Heterofili ×10 ⁹ /l	X±SD Lym ×10 ⁹ /l	X±SD Bazofili ×10 ⁹ /l	X±SD Hbg g/dl	X±SD Hct %
14.	28	O-2	2,21±0,60	20,2±3,4 **	9,22±4,26 *	4,14±0,98	0,71±0,31	8,18±0,44	32,78±2,54
21.	35	O-2	1,97±0,14	25,77±6,80 **	22,16±6,01 ***	4,64±1,21	0,52±0,24	8,26±1,12	31,30±2,84

Tabela 13. Prosečne vrednosti hematoloških parametara dobijene kod čurića kontrolne grupe (K-2) tretiranih deksametazonom, starosti 28 i 35 dana.

Starost (dani)	Grupa	X±SD Er ×10 ¹² /l	X±SD Le ×10 ⁹ /l	X±SD Heterofili ×10 ⁹ /l	X±SD Lym ×10 ⁹ /l	X±SD Bazofili ×10 ⁹ /l	X±SD Hbg g/dl	X±SD Hct %±SD
28	K-2	2,51±0,46	9,34±1,1 **	6,68±1,81 *	5,54±2,36	0,69±0,27	8,94±0,36	32,43±1,66
35	K-2	2,02±0,17	10,38±1,17 **	3,80±0,40 ***	2,07±0,06 *	0,47±0,08	8,77±0,32	30,8±2,20

Er – eritrociti; Le - leukociti; Hbg – hemoglobin; Hkt- hematokrit; Lym - limfociti

O-2, ogledna grupa čurića višekratno tretirana deksametazonom i veštački inficirana sa *A. fumigatus*

K-2, kontrolna grupa čurića (neinficirana) višekratno tretirana deksametazonom

*Statistički značajna razlika ($p<0,05$) između vrednosti prosečnog broja heterofila ustanovljene kod čurića grupe O-2 posle 14. dana od inficiranja (starost 28 dana) i vrednosti prosečnog broja heterofila dobijene kod čurića grupe K-2, starosti 28 dana.

**Statistički značajna razlika ($p<0,01$) između vrednosti prosečnog ukupnog broja leukocita dobijene kod čurića grupe O-2, posle 14. i 21. dana od inficiranja (starost 28 i 35 dana) i vrednosti prosečnog ukupnog broja leukocita kod čurića grupe K-2 starosti 28 i 35 dana.

*** Statistički značajna razlika ($p<0,001$) između vrednosti prosečnog broja heterofila kod čurića grupe O-2 posle 21. dana od infekcije (starost 35 dana) i vrednosti prosečnog broja heterofila kod čurića grupe K-2 (starost 35 dana).

Vrednost prosečne koncentracije hemoglobina kod čurića tretiranih deksametazonom i inficiranih *A. fumigatus* (O-2) posle dve nedelje od inficiranja iznosila je $8,18\pm0,44$ g/dl, i bila je neznatno manja od prosečne koncentracije hemoglobina dobijene kod čurića kontrolne grupe (K-2), $8,94\pm0,36$ g/dl (Tabele 12, 13).

Posle tri nedelje od inficiranja, vrednost prosečne koncentracije hemoglobina kod inficiranih i deksametazonom tretiranih čurića (O-2) bila je skoro nepromenjena ($8,26\pm1,12$ g/dl) u odnosu na prosečnu koncentraciju ustanovljenu posle dve nedelje $8,18\pm0,44$ g/dl, i neznatno niža od vrednosti prosečne koncentracije hemoglobina dobijene kod čurića kontrolne grupe (K-2), tretiranih samo deksametazonom ($8,77\pm0,32$ g/dl), (Tabele 12, 13).

Prosečna vrednost hematokrita ustanovljena kod čurića ogledne grupe O-2 ($32,78\pm2,54\%$), posle dve nedelje od inficiranja i uzrasta od 28 dana, neznatno se razlikovala od vrednosti dobijene kod čurića kontrolne grupe K-2 ($32,43\pm1,66\%$) u posmatranom periodu. Takođe, dobijena prosečna vrednost hematokrita kod čurića grupe O-2 posle dve nedelje od inficiranja, neznatno se razlikovala od vrednosti hematokrita ustanovljene posle tri nedelje od infekcije ($31,30\pm2,84\%$), kao i od

prosečne vrednosti dobijene kod čurića kontrolne grupe (K-2) ($30,8\pm2,20\%$), starosti 35 dana (Tabele 12, 13).

Vrednost prosečnog ukupnog broja leukocita ustanovljena kod čurića grupe O-2, posle dve nedelje od inficiranja iznosila je $20,2\pm3,4\times10^9/l$, i bila je statistički značajno veća ($p<0,01$) u poređenju sa vrednošću prosečnog ukupnog broja leukocita dobijenom kod čurića kontrolne grupe 2 ($9,34\pm1,12\times10^9/l$), a značajno manja ($p<0,05$) u poređenju sa vrednošću dobijenom kod čurića posle tri nedelje od infekcije ($25,77\pm6,80\times10^9/l$). (Tabele 12, 13).

Ukupan broj leukocita dobijen kod čurića tretiranih deksametazonom nakon tri nedelje od inficiranja bio je statistički značajno veći ($p<0,01$) ($25,77\pm6,80\times10^9/l$) u poređenju sa ukupnim brojem leukocita dobijenim kod čurića kontrolne grupe (K-2) ($10,38\pm1,17\times10^9/l$) tretirane deksametazonom, starosti 35 dana (Tabele 12, 13).

Kod čurića tretiranih deksametazonom, dve nedelje od infekcije sa *A. fumigatus* vrednost prosečnog broja heterofila kod čurića starosti 28 dana iznosila je $9,22\pm4,26\times10^9/l$, i bila je statistički značajno veća ($p<0,01$) u poređenju sa vrednošću prosečnog broja heterofila kod čurića kontrolne grupe 2 ($6,68\pm1,81\times10^9/l$), iste starosti (Tabele 12, 13). Takođe, prosečan broj heterofila se značajno povećao kod čurića grupe O-2 posle tri nedelje od inficiranja i iznosio je $22,16\pm6,01\times10^9/l$. Ustanovljena vrednost prosečnog broja heterofila kod čurića grupe O-2, posle tri nedelje od inficiranja, i starosti 35 dana, bila je statistički veoma značajno veća ($p<0,001$) u poređenju sa vrednošću prosečnog broja heterofila ($3,80\pm0,40\times10^9/l$) ustanovljenom kod čurića grupe K-2, starosti 35 dana.

Vrednosti prosečnog broja bazofila kod čurića tretiranih deksametazonom i inficiranih *A. fumigatus* ustanovljene posle druge ($0,71\pm0,31\times10^9/l$) i treće nedelje od inficiranja ($0,52\pm0,24\times10^9/l$) nisu se međusobno značajno razlikovale. Ustanovljene prosečne vrednosti ovog hematološkog parametra kod čurića grupe O-2 nisu bile značajno različite u poređenju sa vrednostima dobijenim kod čurića kontrolne grupe (K-2) starosti 28 dana ($0,69\pm0,27\times10^9/l$), i čurića starosti 35 dana ($0,47\pm0,08\times10^9/l$) (Tabele 12, 13).

Vrednost prosečnog broja limfocita ustanovljena kod čurića grupe O-2, posle dve nedelje od inficiranja i starosti od 28 dana iznosila je $4,14\pm0,98\times10^9/l$, i nije se značajno razlikovala od vrednosti ovog parametra dobijenog kod čurića grupe K-2

($5,54 \pm 2,36 \times 10^9/l$) u starosti od 28 dana (Tabela 12, 13). Međutim, vrednost prosečnog broja limfocita kod čurića grupe O-2 ustanovljena posle dve nedelje od inficiranja i 28 dana starosti bila je značajno manja ($p < 0,05$) u poređenju sa vrednošću ovog parametra dobijenog kod čurića grupe K-1 ($8,45 \pm 3,60 \times 10^9/l$), starosti 28 dana.

Tri nedelje nakon infekcije kod čurića tretiranih deksametazonom (O-2) prosečan broj limfocita iznosio je $4,64 \pm 1,21 \times 10^9/l$ i bio je statistički značajno veći ($p < 0,05$) u odnosu na prosečan broj limfocita ustanovljen kod čurića grupe K-2, tretiranih samo deksametazonom ($2,07 \pm 0,06 \times 10^9/l$) (Tabele 12, 13). Vrednost prosečnog broja limfocita dobijena kod čurića grupe O-2 posle tri nedelje od infekcije ($4,64 \pm 1,21 \times 10^9/l$) nije se značajno razlikovala od vrednosti prosečnog broja limfocita ustanovljene kod iste grupe čurića (O-2) posle dve nedelje od infekcije ($4,14 \pm 0,98 \times 10^9/l$) (Tabela 12).

Vrednost prosečnog broja bazofilnih leukocita nađena kod inficiranih i deksametazonom tretiranih čurića (O-2), posle dve nedelje od inficiranja, starosti od 28 dana iznosila je $0,71 \pm 0,31 \times 10^9/l$. Ustanovljena vrednost prosečnog broja bazofila u drugoj nedelji od inficiranja čurića tretiranih deksametazonom bila je neznatno veća od vrednosti ustanovljene u trećoj nedelji od inficiranja $0,52 \pm 0,24 \times 10^9/l$, kao i od vrednosti prosečnog broja bazofila dobijene kod čurića tretiranih samo deksametazonom (K-2), starosti 28 ($0,69 \pm 0,27 \times 10^9/l$) i 35 dana ($0,47 \pm 0,08 \times 10^9/l$). Na osnovu dobijenih vrednosti prosečnog broja bazofila kod inficiranih i deksametazonom tretiranih čurića posle dve i tri nedelje od inficiranja, i čurića tretiranih samo deksametazonom, može da se zaključi da ni infekcija prouzrokovana sa *A. fumigatus* niti deksametazon ne utiču značajno na prosečan broj bazofilnih leukocita tokom posmatranog perioda trajanja ogleda (Tabele 10, 12, 13).

Vrednost prosečne koncentracije hemoglobina ustanovljena kod inficiranih i deksametazonom tretiranih čurića (O-2), posle dve nedelje od inficiranja, starosti od 28 dana iznosila je $8,18 \pm 0,44$ g/dl i posle tri nedelje se nije promenila ($8,26 \pm 1,12$ g/dl). Takođe, nije ustanovljena značajna razlika u dobijenim vrednostima prosečnih koncentracija hemoglobina kod inficiranih i deksametazonom tretiranih čurića, kako posle dve, tako i posle tri nedelje od infekcije, odnosno starosti od 28 i 35 dana u poređenju sa dobijenim vrednostima prosečnih koncentracija hemoglobina kod čurića tretiranih samo deksametazonom starosti 28 dana ($8,94 \pm 0,36$ g/dl) i starosti 35 dana

($8,77 \pm 0,32$ g/dl). Na osnovu dobijenih vrednosti prosečnih koncentracija hemoglobina kod inficiranih i deksametazonom tretiranih čurića posle dve i tri nedelje od inficiranja, i čurića tretiranih samo deksametazonom može da se zaključi da infekcija i deksametazon zajedno, u odnosu na primenu samo deksametazona ne utiču značajno na prosečnu koncentraciju hemoglobina kod čurića tokom trajanja ogleda. Takođe, ni sama infekcija izazvana *A. fumigatus* nije značajno uticala na prosečnu koncentraciju hemoglobina ustanovljenu kod čurića posle dve i tri nedelje od inficiranja u poređenju sa dobijenom vrednošću prosečnih koncentracija hemoglobina kod intaktnih-neinficiranih čurića (Tabele 10, 11).

6. DISKUSIJA

U ovoj doktorskoj disertaciji izvršena je veštačka intratrahealna infekcija čurića sa suspenzijom spora *A. fumigatus* u koncentraciji od $5,056 \times 10^7$ po jedinku, u starosti od 14 dana. Eksperiment je izveden na čurićima, jer je poznata njihova veća osetljivost na ovaj respiratorni patogen u poređenju sa ostalim vrstama živine, kao i u ovoj starosnoj dobi da bi se inokulum lakše i bezbednije aplikovao u traheju (Islam i sar., 2009; Kureljušić i sar., 2011; Kapetanov i sar., 2011). Glavni razlog povećane osetljivosti čurića prema prirodnoj infekciji, pored prirodne sklonosti, je i viša ambijentalna temperatura koja je neophodna u prvim danima uzgoja čurića. Ona značajno pogoduje razmnožavanju *A. fumigatus*, pre svega, u prostirci, ali i u drugim delovima objekta za uzgoj.

Za eksperiment su odabrani neinficirani čurići, odnosno jedinke koje nisu bile u kontaktu sa *A. fumigatus* tokom inkubacije jaja, niti tokom njihovog boravka u inkubatorskoj stanici, što je pre formiranja ogleda potvrđeno mikološkim ispitivanjem organa žrtvovanih čurića.

Načini, odnosno putevi unošenja *A. fumigatus* u organizam eksperimentalne živine mogu da budu različiti: preko kontaminirane prostirke, intrapulmonalnom i intrasakularnom aplikacijom suspenzije spora prouzrokovaca, inhalacijom aerosola, odnosno nebulizacijom (Julian i Goryo 1990; Steinbach i sar., 2004; Beernaert i sar., 2008). Navedeni načini aplikacije suspenzije spora *A. fumigatus*, u cilju izazivanja veštačke infekcije imaju određene nedostatake koje navodi i Fedde, 1998. Pre svega, kod nekih od navedenih puteva inficiranja nije unapred definisana individualna infektivna doza *A. fumigatus*, odnosno koncentracija spora u tačno određenoj zapremini inokuluma. Takođe, nekim načinima izazivanja veštačke infekcije se zaobilazi prednji deo respiratornog sistema, pa se patogeneza infekcije, nastala u prirodnim uslovima ne može u potpunosti razjasniti. Zbog navedenih nedostataka napred opisanih načina izazivanja eksperimentalne infekcije opredelili smo se da infekciju izazovemo intratrahealnom aplikacijom definisanog broja spora *A. fumigatus*. Ovaj način aplikacije

spora prouzrokača obezbeđuje identične uslove za sve jedinke za razvoj infekcije, i praćenje intenziteta i distribucije lezija u tkivima.

Imajući u vidu literaturne podatke o korišćenim koncentracijama spora *A. fumigatus* kojima su izazivane veštačke infekcije kod čurića i pilića odlučili smo se da infekciju čurića ove starosne kategorije izazovemo sa relativno visokom koncentracijom spora *A. fumigatus* (Steinbach i sar., 2008; Jezdimirović i sar., 2013).

Pored primene visoke koncentracije spora, i sama intratrahealna aplikacija favorizuje patogen u odnosu na domaćina, jer se njom izbegava uticaj nespecifičnih odbrambenih mehanizama prisutnih u nosu, laringsu i prednjem delu traheje. Favorizovanjem uzročnika i stvaranjem uslova za nastanak infekcije dokazali smo da sama gljivica *A. fumigatus* može da prouzrokuje aspergilozu sa kliničkom slikom i odgovarajućim patomorfološkim supstratom kod zdravih čurića držanih pod optimalnim ambijentalnim uslovima, što je u skladu sa istraživanjima Dagenais i Keller (2009).

Takođe, Kapetanov i saradnici (2011) ustanovili su da zdrava živila izložena uticaju visoke koncentracije konidija *A. fumigatus* može da ispolji kliničku sliku aspergiloze. Međutim, istraživanja Tell-a (2005) pokazuju da je za nastanak aspergiloze kod zdrave živila neophodan uticaj jednog ili više stresora ili postojanje imunosupresije.

Prema nekim istraživanjima nastanak aspergiloze zavisi od patogenosti soja *A. fumigatus*, kao i njegovog porekla (Dyar i sar., 1984; Peden i Rhoades, 1992). Rezultati ovih autora pokazuju da živila može da oboli od teškog oblika aspergiloze ako *A. fumigatus* potiče iz prostirke od drvene strugotine. Prema mišljenju Rementeria i saradnika (2005) za ravoj bolesti i težinu kliničke slike veoma je bitna virulencija uzročnika koja je multifaktorijalna i kodirana sa više gena. Poznato je da konidije produkuju enzime značajne za sintezu melanina, pigmenta sa protektivnim dejstvom (Latge, 2001; Pihet i sar., 2009). Svakako, u patogenezi aspergiloze značajnu ulogu ima i gliotoksin - sekundarni metabolit plesni sa više bioloških dejstava. Međutim, dokazano je da svi sojevi *A. fumigatus* ne produkuju gliotoksin (Tsunawki i sar., 2004; Boudra i Morgavi, 2005; Lewis i sar., 2005; Orciuolo, 2007).

Imajući u vidu navedene podatke, želeli smo takođe da ispitamo da li, i u kojoj meri imunosupresija čurića izazvana višekratnom parenteralnom primenom deksametazona povećava njihovu osetljivost na *A. fumigatus*, i utiče na intenzitet

razvoja patomorfološkog supstrata i distribuciju lezija u tkivima čurića držanih u uobičajenim ambijentalnim uslovima. Eksperiment je koncipiran tako da bi u prirodnim uslovima infekcije izazvane samo *A. fumigatus*-om kod čurića izloženih stresu (vakcinacija, prenaseljavanje, loš menadžment prostirke) ili smanjenom aktivnošću imunskog sistema (dugotrajna primena antibakterijskih lekova i drugih imunosupresora) mogle da se očekuju kliničke i patomorfološke promene kao kod čurića eksperimentalno inficiranih. U tu svrhu deksametazon je primenjivan i.m. u dozi od 4 mg/kg telesne mase tokom šest uzastopnih dana pre izazivanja eksperimentalne infekcije sa *A. fumigatus*.

Model ponavljanje trodnevne i.m. primene deksametazona u dozi od 2 do 5 mg/kg ili trokratne primene sa razmacima od po dva dana kod čurića i pilića, u cilju izazivanja imunosupresije i/ili stresa koristili su Huff i saradnici (2001) i Le Loch i saradnici (2006). Imunosupresivno dejstvo deksametazona, u primenjenim dozama na modelu živine, potvrđivano je hematološkim ispitivanjem odnosa heterofila i limfocita. Imunosupresija i/ili stres izazvani deksametazonom praćeni su promenama u krvnoj slici, heterofilijom i limfopenijom, a ovaj odnos se značajno povećava upotreboru viših doza glikokortikoida (Aengwanich, 2007).

Osnovu za diskusiju čine dobijeni klinički znaci infekcije sa *A. fumigatus* kod imunokompetentnih i imunosuprimiranih čurića, makroskopski i mikroskopski nalaz na respiratornim organima, odnosno rezultati morfološkog ispitivanja organa obojenih pomoću tri histohemiske metode. Takođe, bilo je značajno razmotriti rezultate mikološkog i molekularnog ispitivanja uzorka organa čurića, imunskog odgovora na lokalno aplikovani antigen fitohemaglutinin, kao i rezultate hematološkog ispitivanja kod imunokompetentnih i imunosuprimiranih čurića.

Inficirani čurići su posmatrani svakodnevno tokom tri nedelje od inficiranja u cilju praćenja pojave kliničkih simptoma bolesti. Klinički simptomi infekcije uočeni su već nakon prvog dana od inficiranja kod dve trećine deksametazonom tretiranih (ogledna grupa 2) i netretiranih čurića (ogledna grupa 1). Intenzitet kliničkih simptoma oboljenja bio je veći kod čurića tretiranih deksametazonom u odnosu na netretirane. U prva tri dana od inficiranja kod čurića obe ogledne grupe dominiraju opšti simptomi (depresija, somnolentnost, opuštenost krila, nakostrešenost perja, skupljanje u grupe i dr.). Od četvrtog dana kod obe ogledne grupe čurića uočavaju se respiratori simptomi

koji su značajno intenzivniji kod čurića tretiranih deksametazonom (ogledna grupa 2). Ovaj nalaz je verovatno posledica ekstenzivnih inflamatornih procesa u plućnom tkivu i vazdušnim kesama koji doprinose smanjenju respiratorne površine i protoka vazduha u vazdušnim kesama, što za posledicu ima disanje na „otvoreni kljun“. Promene na očima, blefarospazam, fotofobija, periorbitalni edem i zamućenje korneje ustanovljeni kod čurića prirodno inficiranih sa *Aspergillus* spp. (Hope i sar., 2009; Beernaert, 2010) nisu uočene kod čurića ni u jednoj oglednoj grupi inficirane sa *A. fumigatus*.

Ipak, uočeni znaci oboljenja kao što su: uvlačenje vrata i obaranje glave u ventralnom položaju sa zatvorenim očnim kapcima ukazuju na postojanje fotofobije. Iz literature je poznato da intenzitet kliničkih manifestacija aspergiloze zavisi od veličine infektivne doze, imunskog statusa i starosti jedinki (Dahlhansen, 2006). Slično zapažanje imaju i Marr i saradnici (2004), i navode da su kliničke manifestacije aspergiloze rezultat stepena infekcije organizma, oštećenja tkiva i imunskog odgovora domaćina. Pored toga, simptomi bolesti zavise i od toga da li je infekcija lokalna ili sistemska, odnosno koji su organi ili organski sistemi zahvaćeni patološkim procesom.

Klinički simptomi aspergiloze ustanovljeni posle eksperimentalne infekcije kod čurića u našem istraživanju vrlo su slični simptomima opisanim od strane drugih istraživača (Latge, 1999; Saif i sar., 2008; Zapra i sar., 2008), s tom razlikom da distenzija abdomena opisana od strane drugih istraživača nije bila viđena kod inficiranih čurića u našem istraživanju. Prema navodima ovih autora distenzija je posledica ascitesa koji nastaje zbog insuficijencije plućne cirkulacije izazvane granulomatoznom inflamacijom. Tokom pet nedelja od inficiranja nisu uočeni neurološki simptomi ni kod čurića tretiranih deksametazonom niti kod netretiranih, a koje opisuje grupa istraživača (Akan i sar., 2002; Kureljušić i sar., 2011, 2012). Ovaj nalaz je najverovatnije posledica izostajanja inflamatornih procesa u tkivu mozga čurića. Realno je pretpostaviti da bi u daljoj evoluciji bolesti došlo do hematogene diseminacije gljivičnih elemenata i u ovo tkivo, a naročito u mali mozak. Verujemo da je za ostvarivanje ovog procesa neophodno da prođe duži vremenski period od infekcije ili je možda potrebna značajno veća pojedinačna infektivna koncentracija spora *A. fumigatus*.

U našem istraživanju, intratrahealna aplikacija spora *A. fumigatus* u koncentraciji od $(5,056 \times 10^7)$ i volumenu od 0,3 ml po jedinki sigurno prouzrokuje kliničke simptome akutne aspergiloze kod najmanje dve trećine tretiranih intaktnih

ćurića starosti četrnaest dana, bez pojave uginuća tokom pet nedelja trajanja eksperimenta.

Rezultati istraživanja uticaja infekcije izazvane *A. fumigatus* na prirast ćurića tokom tri nedelje od inficiranja pokazuju da infekcija neznatno smanjuje prosečnu telesnu masu ćurića u poređenju sa telesnom masom neinficiranih ćurića. Takođe, ustanovili smo da šestodnevna i.m. primena deksametazona ne utiče na telesnu masu neinficiranih ćurića.

Međutim, značajno smanjenje telesne mase ($p<0,05$) ustanovljeno je kod inficiranih i deksametazonom tretiranih ćurića posle dve i tri nedelje od inficiranja u poređenju sa dobijenom vrednošću telesne mase kod samo inficiranih, neinficiranih i samo deksametazonom tretiranih ćurića.

Ovo smanjenje telesne mase izazvano deksametazonom i infekcijom je najverovatnije posledica produženog kataboličkog dejstava leka na metabolizam proteina i lipida udruženog sa toksičnim i stresogenim delovanjem produkata *A. fumigatus*. Poznato je da je kortikosteron glavni endogeni glikokortikoid kod živine, a da je kortizol neznatan produkt medulocita nadbubrežne žlezde (Carsia, 2015). Njihova duža egzogena primena, ili endogeno oslobođanje kortikosterona tokom dejstva stresora smanjuje telesnu masu pilića, a posebno masu grudne muskulature (Lin i sar., 2006).

Kortikosteron povećava razgradnju mišićnih proteina, smanjuje sintezu proteina skeletne muskulature i koncentraciju ukupnih aminokiselina kod pilića (Gao i sar., 2008), a povećava koncentraciju urata u krvi (Lin i sar., 2007). U našem ispitivanju korišćen je deksametazon u dozi od 4mg/kg. Ova, i niže doze deksametazona primenjivane su kod živine tokom tri i pet dana, trokratno – sa razmakom od dva dana u cilju izazivanja stresa ili imunosupresije. Ustanovljeno je da glukokortikoid - kortikosteron i sintetski glukokortikoid - deksametazon smanjuju relativnu masu primarnog imunološkog organa Fabricijeve burse i sekundarnog organa slezine (Shini i sar., 2008). Prouzrokuju inicijalnu prolaznu stimulaciju imunskog odgovora na infekciju virusom infektivnog bronhitisa, a zatim izrazitu inhibiciju (Shini i sar., 2008). Glukokortikoidi povećavaju odnos heterofila prema limfocitima u cirkulaciji (Shini i sar., 2009), i sve više se veruje da je ovaj odnos pravi indikator stresa (Vicuna i sar., 2015), a ne visoka koncentracija kortikosterona u krvi, kako se ranije tvrdilo (Resanović i Palić, 2009).

Kortikosteron povećava ekspresiju interleukina (IL): IL-1beta, IL-6, IL-10, IL-12 alfa i IL-18, a smanjuje koncentraciju hemokina i faktora rasta beta 4 u cirkulišućim heterofilima (Shini i sar., 2010). Deksametazon i kortikosteron suprimiraju rast pilića (Hu i sar., 2010; Song i sar., 2011), smanjuju masu skeletnih mišića i povećavaju degradaciju proteina, što se manifestuje povećanjem koncentracije 3-metil histidina u pektoralnoj i femoralnoj muskulaturi (Dong i sar., 2007).

Činjenica je da se primjenjeni deksametazon - natrijum fosfat brzo eliminiše iz organizma tretiranih brojlera, i da mu je poluvreme eliminacije manje od 1 časa (Watteyn i sar., 2013). Međutim, njegova biološka i farmakološka dejstva traju mnogo duže, i posledica su mehanizma delovanja (Jezdimirović, 2010), dok infekcija sa *A. fumigatus* predstavlja kontinuirani stresorni faktor koji stimuliše oslobođanje kortikosterona i njegov negativan uticaj na telesnu masu čurića (Ferguson i Hoenig, 2001).

U našem istraživanju, deksametazon primenjivan i.m. u toku šest uzastopnih dana u dozi od 4mg/kg smanjivao je nedeljni prirast i ukupnu telesnu masu postignutu tokom tri nedelje kod neinficiranih čurića u poređenju sa telesnom masom netretiranih i inficiranih čurića. Takođe, značajno smanjenje telesne mase pilića zabeleženo je posle sedmodnevne primene deksametazona u hrani u dozi od 2mg/kg (Song i sar., 2011).

Patomorfološki supstrat ustanovljen je prvog i trećeg dana od infekcije kod 58% inficiranih čurića (grupa O-1) i kod 41% inficiranih i deksametazonom tretiranih (grupa O-2). Sedmog, četrnaestog i dvadesetprvog dana od veštačke infekcije patomorfološki supstrat nađen je kod 61% inficiranih i kod 78% inficiranih i deksametazonom tretiranih čurića, i primarno je situiran u nižim delovima respiratornog sistema (pluća i vazdušne kese).

Patološke promene na plućima manifestovale su se jasno uočljivom bilateralnom kongestijom i edemom. Patološke promene na vazdušnim kesama karakterisale su se zamućenjem, difuznim ili nodoznim zadebljanjem zidova, a kod pojedinih uočavan je beli - mukoidni eksudat lokalizovan intraluminalno u samim vazdušnim kesama. Ovakav nalaz opisao je i Keymer (1982).

U ovoj eksperimentalnoj infekciji sa *A. fumigatus*, patološke promene lokalizovane su u abdominalnim vazdušnim kesama kako kod inficiranih, tako i kod inficiranih i deksametazonom tretiranih čurića, a manifestovale su se u vidu zamućenja i

diskretnog zadebljanja njihovih zidova. Ono je kod inficiranih čurića bilo prisutno i trećeg dana nakon inficiranja, a kod inficiranih i deksametazonom tretiranih čurića pored abdominalnih zahvaćene su i kaudalne torakalne vazdušne kese.

Histopatološki nalaz dobijen kod inficiranih čurića ukazuje da zadebljanje zidova vazdušnih kesa nastaje usled edema i celularne infiltracije heterofilima, makrofagima i limfocitima. Ovakav celularni infiltrat u zidu vazdušnih kesa kod inficiranih i deksametazonom tretiranih čurića (grupa O-2) ima tendenciju formiranja nodusa, odnosno granuloma. Ovi granulomi nisu jasno ograničeni, i regresivne promene se ne uočavaju na njima. Inicijalne promene na zidovima abdominalnih vazdušnih kesa najverovatnije su posledica njihove direktne anatomske povezanosti sa primarnim bronhusom.

Ustanovili smo da već sedmog dana od inficiranja dolazi do intenziviranja promena na zidovima vazdušnih kesa. Zidovi su zadebljani, a kod čurića tretiranih deksametazonom u inflamatorni proces uvučeni su i kranijalni torakalni sakusi, što govori o ekstenziji procesa. Slične promene u vidu fulminantnog zapaljenja, opisane su četvrtog dana od inficiranja kod čurića starih 9 i 19 dana (Kunkle i Rimler, 1996). Prema njihovom mišljenju, u početnoj fazi bolesti zahvaćen je intersticijum vazdušne kese, a ne njena površina.

U našem ispitivanju nije bilo moguće da se to potvrdi. U daljoj evoluciji bolesti, već 14 dana posle infekcije na zidovima abdominalnih, kranijalnih i kaudalnih torakalnih vazdušnih kesa zapažene su promene u vidu fokalnih beličastih zadebljanja. U istom periodu kod inficiranih čurića tretiranih deksametazonom na levoj abdominalnoj kesi uočen je prominentni solitarni granulom - aspergilom, a u kaudalnoj torakalnoj vazdušnoj kesi mlečno - beli kazeozni sadržaj. Histopatološki nalaz ovih promena, kod inficiranih čurića ukazuje da promene potiču od tek formiranih granuloma koga čine epiteloidne i multijedarne - džinovske ćelije, dok se na periferiji nalaze limfociti i heterofili. Kod inficiranih čurića tretiranih deksametazonom zadebljanje vazdušnih kesa je posledica konfluiranja granuloma čiji su centralni delovi sa uznapredovalim regresivnim promenama. Dvadesetprvog dana od infekcije kod inficiranih čurića (grupa O-1), uz difuzno zadebljanje zidova abdominalnih i torakalnih vazdušnih kesa, uočen je i intraluminalni bledo - žuti kazeozni sadržaj, a kod inficiranih i tretiranih deksametazonom (grupa O-2) na zidovima kesa uočavaju se i granulomi.

Ovakav nalaz u velikoj meri odgovara zapažanju i drugih autora (Keymer, 1982). Isti autor smatra da nalaz mlečno - beličastog mukoidnog eksudata u vazdušnim kesama ide u prilog nastajanja invazivne aspergiloze.

Analizirajući makroskopsku i mikroskopsku sliku plućnog tkiva kod inficiranih čurića i inficiranih i deksametazonom tretiranih, a sve povezujući u jednu etiopatogenetsku celinu sa jedinstvenom patomorfološkom slikom nameće se zaključak da lezije na plućima pokazuju bivalentni morfološki karakter. Radi preciznijeg praćenja patoloških promena, u ovom ispitivanju su pored rutinskog HE bojenja korišćene i PAS i Grocott metode za dokazivanje elemenata *A. fumigatus* u tkivnim isećcima ispitujućih organa.

U prvom danu posle infekcije dominira hiperemija i edem pluća uz početnu fokalnu ili difuznu ćelijsku infiltraciju. Donekle, sličnu sliku u prvim danima aspergilozne infekcije opisuje Julian i Gory (1990), i opisuju dominaciju prisustva fibrina i fibrinozne pneumonije kao prvom nalazu u daljoj evoluciji patološkog procesa. Knežević i Matejić (1996) nalaze hepatizovane delove plućnog parenhima, najčešće na njihovim kaudalnim delovima.

Od 3. do 21. dana posle infekcije dominira granulomatozna pneumonija različitog obima i intenziteta, što je uslovljeno, pored ostalog, i proteklim vremenom od momenta inficiranja. U početku granulomi su solitarni, a kasnije postaju multipli da bi 14. i 21. dana posle infekcije konfluirali u veće granulome. U našem ispitivanju, prisutni granulomi u plućnom tkivu imaju tri različita oblika: solitarni, multipli i međusobno konfluisani bez regresivnih promena, sa diskretnim i opsežnim regresivnim promenama. Regresivne promene (nekroza) u centralnom delu granuloma detektuju se tek od sedmog dana inficiranja, a manifestne su 14. i 21. dana. Međutim, Kunkle i Rimler (1996) nalaze granulomatozne promene sa nekrozom već 72 časa od infekcije.

U centru granuloma dokazuju se gljivični elementi kao razgranate septirane hife ponekad vrlo gusto međusobno isprepletane, a ponekad i kao slobodne spore, što se naročito ističe u uzorcima bojenim metodama PAS i Grocott. Elementi gljivica otkriveni su u citoplazmi multijedarnih džinovskih i epiteloidnih ćelija, što je u saglasnosti sa nalazom i drugih autora (Kunkle i Rimler, 1996). Nalaz germinativnih oblika plesni u krvnim sudovima je dokaz njihove hematogene diseminacije (Kunkle i Rimler 1998), što u našem ispitivanju nije ustanovljeno.

Slične granulomatozne formacije opisuju i drugi autori (Mullbacher i sar., 1985; Pal i sar., 1988; Sutton i sar., 1994; Sutton i sar., 1996; Richard i sar., 1997; Akan i sar., 2002). Sutton i saradnici (1996), navode mogućnost da plesni proliferišu unutar granuloma koji se postepeno povećava, a da toksini i enzimi plesni oštećuju tkivo. Prema mišljenju nekih istraživača (Mullbacher i sar., 1985; Monod i sar., 1993; Richard, 1997) za nastanak ekstenzivnih tkivnih nekroza odgovorne su elastaze *A. fumigatus* i gliotoksin koji inhibiraju fagocitozu ili remete saradnju B i T limfocita. Prema mišljenju Kwon-Chung, 1992 i Ben-Ami, 2010 antiangiogeni efekat gliotoksina je odgovoran za nastanak invazivne aspergiloze. Sličan antiangiogeni efekat ima i metabolit fumagilin koji inhibira proliferaciju endotelnih ćelija (Rementeria i sar., 2005). Poznato je da *A. fumigatus* produkuje veći broj alergogenih molekula koji potiču iz ćelijskog zida, a sastoje se od proteina i polisaharida. Međutim, njihova uloga je nepoznata u patogenezi bolesti kod životinja (Latge i sar., 2007; Gastebois i sar., 2009).

Veći broj autora (Knežević i Matejić, 1996; Kunkle i Richard 1996; Akan i sar., 2002) objavljuje nalaz multijedarnih džinovskih ćelija tipa Langhans u sastavu granuloma. Međutim, njihov nalaz se ne odnosi na brojnost i raspored ovih ćelija, kako je opisano u ovom radu. U našem histopatološkom nalazu multijedarne džinovske ćelije su raspoređene u obliku venca oko nekrotizovanog centra granuloma, a ponekad imaju radikalni ili diseminirani raspored, što nije opisano u dostupnoj literaturi. Ovakva mnogobrojnost multijedarnih džinovskih ćelija tipa Langhans najverovatnije ukazuje na vrlo zastupljen primarni ćelijski infiltrat u samom granulomu, čijom transformacijom nastaju multijedarne džinovske ćelije. Po našem mišljenju, ovo je posledica nastojanja organizma za uspostavljanjem ravnoteže između uzročnika i njegovih efektorskih mehanizama. Sa druge strane, Kunkle i Rimler (1996) ovakav inflamatorni proces smatraju odgovornim za inhibiciju propagacije uzročnika u druga tkiva. Prepoznavanje *A. fumigatus* od strane mnogobrojnih makrofaga odvija se preko ćelijskih receptora PRR, *toll-like* receptora (TLR) i lektina tipa C (Latge i sar., 2007).

Histopatološki, trećeg dana nakon infekcije kod inficiranih i deksametazonom tretiranih ćurića ustanovljen je granulomatozni bronhitis. Granulomi su smešteni u mukozi i submukozi, i ne pokazuju regresivne promene. Granulomi dovode do stenoze, što se sigurno odrazilo na kliničku sliku bolesti. U ovom periodu, u propriji mukoze bronha inficiranih ćurića vide se samo nakupine heterofila i limfocita. Sličan nalaz,

opisan je i kod pilića uginulih 15 dana posle infekcije kod kojih je ustanovljeno 85% obturiranih parabronha sa fibrinom, nekrotičnim detritusom i granulomima (Julian i Goryo 1990). Ustanovljene promene u njihovom istraživanju se razlikuju od naših, jer je inflamacijom obuhvaćen tercijerni bronhus. Kada se kompletno analizira makroskopski i histopatološki nalaz u našem ispitivanju, može se konstatovati da se kod eksperimentalnih čurića razvila invazivno nekrotična granulomatozna pneumonija.

Poređenjem nalaza dobijenog kod čurića eksperimentalnih grupa (O-1; O-2) uočava se razlika u evoluciji, karakteru i intenzitetu patoloških promena. Patološke promene kod čurića tretiranih deksametazonom pre infekcije *A. fumigatus* nastaju ranije, jačeg su intenziteta i obimnijeg karaktera, a i regresivne promene su obimnije i ranije nastaju. Verujemo da su razlike u intenzitetu i obimu lezija ustanovljene kod inficiranih čurića i inficiranih i tretiranih deksametazonom posledica delovanja deksametazona.

Na osnovu rezultata mikoloških ispitivanja dobijenih uzorkovanjem delova pluća i vazdušnih kesa od po 6 inficiranih čurića za svaki dan žrtvovanja, ustanovljeno je da je *A. fumigatus* izolovan iz respiratornih organa već prvog i trećeg dana od infekcije kod 4 od 12 inficiranih jedinki (33%). Sedmog dana, *A. fumigatus* je izolovan iz respiratornih organa kod 50% inficiranih jedinki, četrnaestog kod 83,33% čurića i dvedesetprvog dana od infekcije prouzrokovac je izolovan kod 6 od 6 žrtvovanih čurića (100%).

Ustanovili smo da se sedmog i četrnaestog dana od infekcije povećava broj izolovanih *A. fumigatus* iz respiratornih organa čurića inficiranih i tretiranih deksametazonom u odnosu na broj netretiranih čurića. Ovaj nalaz se objašnjava činjenicom da je deksametazon u prvim danima od infekcije poboljšavao alveolarnu fagocitnu aktivnost, zbog čega je broj izolovanog uzročnika iz pluća i vazdušnih kesa bio manji. Kasnije, kako se produžavalo vreme od završetka tretmana lekom, njegova koncentracija se smanjivala u krvi i tkivima i odbrambena aktivnost. To je dovelo do povećanja procenta čurića kod kojih je izolovan *A. fumigatus* u odnosu na netretirane jedinke. Istraživači Matsuse i saradnici (2013) ukazuju da deksametazon poboljšava fagocitnu aktivnost i može da ima protektivno, ali i terapijsko delovanje kod nekih gljivičnih infekcija, pa se savetuje njegova istovremena primena sa antimikoticima u lečenju ovih infekcija. Femenia i saradnici (2007) navode da je izolacija *A. fumigatus* iz

vazdušnih kesa i pluća postignuta posle 1 do 5. dana od veštačke infekcije jednodnevnih čurića.

Tretman deksametazonom značajno ne povećava broj čurića iz čijih je uzoraka srca izolovan *A. fumigatus*, u odnosu na broj izolovanog prouzrokovaca iz uzoraka srca netretiranih čurića. Deksametazon odlaže, odnosno produžava vreme inicijalne izolacije *A. fumigatus* iz uzoraka srca (7. dana od inficiranja) u odnosu na inicijalno vreme izolacije uzročnika iz srca čurića koji nisu tretirani deksametazonom (1. dan od infekcije). Slične rezultate, odnosno izolaciju prouzrokovaca iz srca objavili su Martin i saradnici (2007) kod pilića, uzrasta pet nedelja i prirodno inficiranih sa *Aspergillus* spp. Mikološki nalaz u srcu potvrđuje hematogeno širenje *A. fumigatus*, posebno posle druge i treće nedelje od infekcije.

Na osnovu rezultata mikoloških ispitivanja uzoraka jetre, već posle prvog dana od infekcije ustanovljena je izolacija *A. fumigatus* kod 30% jedinki. U kasnijim vremenskim periodima od infekcije, odnosno žrtvovanja (3, 7, 14. i 21. dan) *A. fumigatus* nije bio izolovan.

Nasuprot ovim rezultatima, kod inficiranih i deksametazonom tretiranih čurića prouzrokovac je izolovan kod 33% čurića posle 7, 14 i 21. dana od infekcije.

Dobijeni rezultati pokazuju da tretman deksametazonom neznatno utiče na broj izolata *A. fumigatus* iz jetre, ali da je prisustvo uzročnika moguće dokazati i posle 7, 14. i 21. dana od infekcije. Sličan stepen izolacije *A. fumigatus* iz jetre eksperimentalno inficiranih čurića posle 1. do 5. dana od inficiranja dobili su Femenia i saradnici (2007). Uzročnik je izolovan iz tkiva jetre 3. i 5. dana od inficiranja kod 2 od 15 inficiranih čurića (oko 13 %).

Na osnovu rezultata mikoloških ispitivanja dobijenih uzorkovanjem tkiva mozga inficiranih čurića može da se zaključi da je izolacija *A. fumigatus* izostala tokom prve dve nedelje od infekcije, a posle tri nedelje uzročnik je izolovan kod 16% jedinki. Sa druge strane, broj izolata uzročnika iz tkiva mozga čurića tretiranih deksametazonom bio je veći, kako posle dve (kod 3 čureta od 6; 50%), tako i posle tri nedelje (kod 4 čureta od 6; 67%) od infekcije u poređenju sa brojem izolata kod inficiranih i netretiranih čurića, posle dve nedelje (0 od 6 čurića) i tri nedelje od infekcije (kod 1 čureta od 6; 16%). Rezultati su pokazali da deksametazon povećava broj izolata *A. fumigatus* iz mozga, ali je izolacija uzročnika moguća tek posle dve nedelje od

inficiranja. Ovim se dokazuje da je prisustvo *A. fumigatus* u mozgu čurića moguće otkriti tek posle tri nedelje od infekcije, i to kod malog procenta inficiranih jedinki. Rezultati kvalitativne molekularne detekcije *A. fumigatus* iz uzoraka delova pluća i vazušnih kesa, srca, jetre, bubrega, mozga i kostne srži čurića posle 1., 3., 7., 14. i 21. dana od veštačkog inficiranja, kao i kod čurića tretiranih deksametazonom dobijeni su korišćenjem dvostepene (nested) lančane reakcije polimeraze (PCR). Analizom rezultata i njihovim poređenjem između ogledne grupe 1 i ogledne grupe 2 ustanovljen je veći broj pozitivnih uzoraka na prisustvo DNK *A. fumigatus* u oglednoj grupi 2. Ovakav nalaz se može objasniti imunosupresivnim dejstvom deksametazona kojim su bili tretirani čurići ogledne grupe 2. Shodno tome u ovoj grupi čurića infekcija izazvana sa *A. fumigatus* bila je više stimulisana pa je inficiranje pojedinih tkiva i organa nastajalo brže.

Zbirni uzorci pluća i vazdušnih kesa bili su kod obe ogledne grupe pozitivni u svim periodima žrtvovanja. Zbirni uzorci srca bili su pozitivni sedmog dana od momenta inficiranja kod obe ogledne grupe. Zbirni uzorci jetre bili su pozitivni prvog dana nakon infekcije kod ogledne grupe 1, dok su kod ogledne grupe 2 bili potvrđeni tek sedmog dana nakon žrtvovanja. Zbirni uzorci delova mozga kod ogledne grupe 1 bili su pozitivni tek 21. dana nakon infekcije dok je kod ogledne grupe 2 to bilo potvrđeno već prvog dana nakon žrtvovanja. Ovaj nalaz je najverovatnije posledica izostajanja inflamatornih procesa u tkivu mozga čurića, a u evoluciji bolesti je došlo do hematogene diseminacije gljivičnih elemenata i u ovo tkivo. Iz literature je poznato da je to najčešće mali mozak, međutim makroskopske i histološke lezije u ovom ispitivanju nisu ustanovljene. Može se pretpostaviti da je za evoluciju patoloških lezija neophodan duži vremenski period. Bubreg i kostna srž koji su uzorkovani samo za molekularno ispitivanje bili su pozitivni kod ogledne grupe 1 dvadesetprvog dana od infekcije, dok se kod ogledne grupe 2 detektovala DNK *A. fumigatus* 14 dana od veštačke infekcije, što se takođe može objasniti imunosupresivnim delovanjem deksametazona.

Za procenu ćelijskog imunskog odgovora, u ovom istraživanju, korišćen je test kožne bazofilne hipersenzitivnosti posle intradermalne aplikacije fitohemaglutinina (PHA). Iz literature je poznato da je kožna bazofilna ćelijski posredovana odložena preosetljivost izazvana intradermalnom aplikacijom PHA posebno korisna i jednostavna *in vivo* skrining metoda za procenu ćelijski posredovanog imunskog

odgovora i otkrivanje smanjene aktivnosti T limfocita (Stadecker i sar., 1977; Corkier i De Loach, 1990). Odgovor na intradermalnu aplikaciju PHA manifestuje se pojavom edema, a može da se čita posle 6 do 48 h od aplikacije (Martin i sar., 2006). U ovom ispitivanju reakcija na PHA, u vidu zadebljanja kože (DK) merena je posle 6, 12 i 24 sata od aplikacije antiga kod svih čurića ispitivanih oglednih grupa, a ona je poređena sa DK kontrolnih čurića kojima je intradermalno aplikovan sterilan fiziološki rastvor NaCl (SFR).

Prosečne vrednosti DK kod inficiranih (O-1) i čurića kontrolne grupe dobijene posle 6, 12 i 24 časa od aplikacije PHA i SFR nisu bile statistički značajne u funkciji vremena. Prosečne vrednosti DK inficiranih čurića dobijene u funkciji vremena od aplikacije PHA (uporedjivane između 6. i 12. i 12. i 24. časa) ne pokazuju statističku značajnost. Najveća prosečna vrednost DK ustanovljena je posle 24 časa od aplikacije PHA ($2,50 \pm 0,28$ mm). Ovakav nalaz može da se objasni činjenicom da edem kože, na mestu aplikacije PHA uglavnom nastaje zbog eksudacije plazme iz okolnih krvnih sudova, koja se odvija posle 6 do 12h od aplikacije. Druga faza edema obuhvata infiltraciju naknadno oslobođenih T limfocita osetljivih na PHA, i ona nastaje posle 24h od aplikacije antiga (Stadercker i sar., 1977; McCorkle i sar., 1980). Iz tih razloga, i u ovom slučaju zadebljanje kože je bilo najveće posle 24h od aplikacije.

Dobijeni rezultati prosečne vrednosti DK čurića ogledne grupe 2 (O-2) i kontrolne grupe 2 (K-2) posle 6, 12 i 24 časa od aplikacije SFR nisu bili statistički značajno različiti. Iako nije ustanovljena značajna razlika, kada se analiziraju apsolutne vrednosti DK, može da se zaključi da su vrednosti bile manje kod inficiranih i deksametazonom tretiranih čurića (O-2). Ovaj nalaz ukazuje da su čurići grupe O-2 imali slabiji imunski odgovor, kako zbog primene imunosupresivnog leka deksametazona, tako i zbog iscrpljenosti samog organizma i imunskog sistema izazvanog infekcijom sa *A. fumigatus* čiji toksini takođe mogu da prouzrokuju imunosupresiju.

Posle 6 sati od aplikacije PHA, prosečna vrednost DK kod čurića ogledne grupe (O-2) u ovom periodu merenja, bila je statistički značajno manja ($P < 0,001$) u odnosu na prosečnu vrednost DK kod inficiranih čurića (O-1). Dvanaest sati nakon aplikacije PHA ustanovljena prosečna vrednost DK kod čurića grupe (O-2) nije bila statistički značajna u poređenju sa vrednošću DK kod čurića grupe O-1. Dvadesetčetiri sata od aplikacije

PHA prosečna vrednost DK kod čurića ogledne grupe 2 (O-2) bila je statistički veoma značajno manja ($P<0,001$) u odnosu na prosečnu vrednost DK kod čurića ogledne grupe 1 (O-1). I u ovom slučaju, značajno smanjenje DK kod čurića grupe O-2 može se objasniti imunosupresivnim dejstvom deksametazona i toksina *A. fumigatus*.

Imunizacija je primarni metod za prevenciju bolesti. Roditeljska jata se vakcinišu inaktivisanim vakcinama i prenose antitela na potomstvo koja ih štite tokom prvih dana života. Usled serokonverzije antitela, čurići se kasnije vakcinišu živim vakcinama, što im pruža dalju zaštitu tokom života. Na osnovu dobijenih vrednosti visine titra antitela prema atipičnoj kugi živine uočavamo bolji imunski odgovor kod čurića kontrolne grupe (K-1) u odnosu na čuriće kontrolne grupe tretirane deksametazonom (K-2). Dobijeni rezultati su posledica imunosupresivnog delovanja deksametazona. Inficirani čurići (O-1) imali su bolji odgovor na inaktivisani virus atipične kuge živine i veći titar antitela u odnosu na inficirane i deksametazonom tretirane čuriće (O-2). Čurići obe ogledne grupe imali su niži titar antitela u odnosu na titar antitela ustanovljen kod čurića kontrolne grupe (K-1) i čurića tretiranih deksametazonom (K-2).

Rezultati ispitivanja uticaja veštačkog inficiranja čurića *A. fumigatus* na prosečan broj eritrocita posle dve nedelje od inficiranja pokazuju da upotrebljena koncentracija spora *A. fumigatus* neznatno smanjuje njihov broj ($1,93\pm0,04\times10^{12}/l$) u poređenju sa vrednošću prosečnog broja eritrocita dobijenog kod čurića kontrolne grupe ($2,05\pm0,13\times10^{12}/l$). Sličan stepen smanjenja prosečnog broja eritrocita kod inficiranih čurića ($1,87\pm0,07\times10^{12}/l$) ustanovljen je i posle tri nedelje u poređenju sa istim kod čurića kontrolne grupe ($1,98\pm0,11\times10^{12}/l$).

Značajno smanjenje broja eritrocita kod brojlerskih pilića prouzrokuju i *A. flavus* i *A. ochraceus* primenjivani u hrani (Tuzcu i sar., 2010; Anjorin i Cyriacus, 2014). Slično smanjenje broja eritrocita kod brojlerskih pilića ustanovljeno je posle šestonedeljnog konzumiranja hrane kontaminirane sa *A. terreus* (Kiran i sar., 2015). Očigledno je da je za razvoj anemije kod čurića potrebna dugotrajnija kontinuirana infekcija sa *A. fumigatus* ili kraće izlaganje čurića značajno većom koncentracijom konidija ovog prouzrokovača od upotrebljene u našim istraživanjima. Takođe, dokazano je da su sekundarni metaboliti *A. flavus*, *A. ochraceus* i *A. terreus* značajno toksičniji za hematopoezu od mikotoksina koje produkuje *A. fumigatus* (Tuzcu i sar., 2010; Anjorin i

Cyriacus, 2014). Niži broj eritrocita, niži hematokrit i koncentracija hemoglobina ukazuju da se kod inficiranih čurića i čurića tretiranih deksametazonom ispoljavaju znaci anemije. Ovakav nalaz može biti posledica poremećaja hematopoeze ili pojačane razgradnje eritrocita.

Prosečan broj eritrocita kod inficiranih čurića i tretiranih deksametazonom, ustanovljen posle dve nedelje od infekcije bio je neznatno veći ($2,21 \pm 0,60 \times 10^{12}/\text{l}$) u poređenju sa prosečnim brojem eritrocita ustanovljenim kod inficiranih čurića ($1,93 \pm 0,04 \times 10^{12}/\text{l}$), i nešto manji u poređenju sa dobijenom vrednošću ispitivanog parametra kod čurića tretiranih samo deksametazonom ($2,51 \pm 0,46 \times 10^{12}/\text{l}$) (pozitivna kontrola). Posle tri nedelje od infekcije kod čurića tretiranih deksametazonom, prosečan broj eritrocita je bio smanjen ($1,97 \pm 0,14 \times 10^{12}/\text{l}$) u poređenju sa prosečnim brojem eritrocita ustanovljenim posle dve nedelje, i u odnosu na prosečan broj eritrocita čurića tretiranih samo deksametazonom ($2,02 \pm 0,17 \times 10^{12}/\text{l}$), kontrolna grupa 2.

Poznato je da svi glikokortikoidi, pa i deksametazon, stimulišu hematopoezu i povećavaju broj eritrocita što je ustanovljeno i u našim ispitivanjima. Ovo neznatno povećanje vrednosti prosečnog broja eritrocita kod inficiranih čurića tretiranih deksametazonom, u odnosu na vrednost prosečnog broj eritrocita dobijenu kod samo inficiranih čurića bilo je izraženije posle dve u odnosu na tri nedelje od infekcije, i najverovatnije je posledica intenzivnijeg dejstva leka zbog održavanja nešto većih koncentracija deksametazona na mesto delovanja od onih koje bi se mogле ustanoviti posle tri nedelje.

Rezultati naših ispitivanja su pokazali da je vrednost prosečnog broja eritrocita bila manja kod inficiranih i deksametazonom tretiranih čurića (O-2) od vrednosti prosečnog broja eritrocita dobijenog kod čurića tretiranih samo deksametazonom (K-2). Ovo smanjenje broja eritrocita verovatno nastaje zbog inhibitornog hematopoeznog dejstva najznačajnijih mikotoksina (gliotoksin, fumagilin) koje je produkovao inokulisani referentni soj *Aspergillus fumigatus* ATCC 204305. Poznato je da ovi mikotoksini mogu da inhibiraju sintezu DNK i RNK i izmene ćelijsku membranu, što za posledicu ima njen značajno oštećenje i smrt ćelije (Dagenais i Keller, 2009).

Rezultati ispitivanja uticaja veštačkog inficiranja čurića *A. fumigatus* na koncentraciju hemoglobina, posle dve nedelje od inficiranja pokazuju da infekcija značajno ($p < 0,05$) smanjuje prosečnu koncentraciju hemoglobina ($9,08 \pm 0,41 \text{ g/dl}$) u

poređenju sa vrednošću ovog parametra kod čurića kontrolne grupe ($10,03\pm0,82$ g/dl). Posle tri nedelje od inficiranja ustanovljeno je neznatno povećanje prosečne koncentracije hemoglobina ($9,36\pm0,45$ g/dl) u poređenju sa vrednošću istog parametra kod inficiranih čurića posle dve nedelje od infekcije.

Prosečna koncentracija hemoglobina, posle tri nedelje od infekcije bila je skoro nepromenjena u odnosu na prosečnu koncentraciju kod čurića kontrolne grupe ($9,98\pm0,54$ g/dl) i neznatno veća od prosečne koncentracije hemoglobina ustanovljene kod čurića posle dve nedelje od infekcije ($9,08\pm0,41$ g/dl).

Smanjenje koncentracije hemoglobina i vrednosti hematokrita ustanovljeni posle dve nedelje od infekcije ukazuju na razvoj anemije. Posle tri nedelje od infekcije čurića delimično se uspostavlja homeostaza pa su koncentracija hemoglobina i vrednost hematokrita neznatno promenjeni u odnosu na vrednosti ovih parametara kod čurića kontrolne grupe, starosti 35 dana.

Sličan nalaz pada koncentracije hemoglobina u krvi uočen je kod brojlerskih pilića posle konzumiranja hrane kontaminirane gliotoksinom (Reddy i sar., 1997). Anemija je uočena i kod brojlerskih pilića koji su tokom šest nedelja konzumirali hranu kontaminiranu *A. terreus* (Kiran i sar., 2015).

Vrednost prosečne koncentracije hemoglobina ustanovljena kod inficiranih i deksametazonom tretiranih čurića (O-2), dobijena posle dve nedelje od inficiranja bila je neznatno niža ($8,18\pm0,44$ g/dl) od vrednosti prosečne koncentracije hemoglobina dobijene kod čurića tretiranih samo deksametazonom ($8,94\pm0,36$ g/dl), odnosno čurića kontrolne grupe (K-2), i znatno niža od prosečne vrednosti koncentracije hemoglobina ustanovljene kod čurića posle dve nedelje od infekcije ($9,08\pm0,41$ g/dl) (grupa O-1).

Šestodnevna uzastopna aplikacija deksametazona znatno smanjuje koncentraciju hemoglobina kod tretiranih i inficiranih čurića u odnosu na prosečnu vrednost koncentracije hemoglobina dobijenu kod čurića tretiranih samo deksametazonom (grupa K-2), i vrednost koncentracije hemoglobina ustanovljene kod kontrolnih čurića (grupa K-1), i to kako posle dve tako i posle tri nedelje eksperimenta (28 i 35 dana starosti).

Posle tri nedelje od inficiranja čurića i tretiranih deksametazonom, prosečna koncentracija hemoglobina bila je skoro nepromenjena ($8,26\pm1,12$ g/dl) u odnosu na vrednost prosečne koncentracije Hbg ustanovljene posle dve nedelje, i neznatno niža od

vrednosti dobijene kod čurića tretiranih samo deksametazonom ($8,77\pm0,32$ g/dl), odnosno čurića grupe K-2.

U našim ispitivanjima uticaj deksametazona i infekcije sa *A. fumigatus* na koncentraciju hemoglobina ustanovljeno je da deksametazon neznatno smanjuje vrednost prosečne koncentracije hemoglobina u odnosu na vrednost prosečne koncentracije dobijene kod čurića posle dve i tri nedelje od inficiranja i čurića kontrolne grupe tretiranih samo deksametazonom (K-2), kao i čurića kontrolne grupe 1 (K-1).

U ovom ispitivanju je dokazano je da šestodnevni predtretman deksametazonom ne utiče značajno na koncentraciju hemoglobina kod inficiranih čurića posle dve i tri nedelje od infekcije, niti utiče na fiziološku koncentraciju hemoglobina. Slične rezultate ispitivanja uticaja deksametazona na hematološke parametre brojlerskih pilića starosti dvadeset dana dobio je i Aengvanich (2007). U ovom eksperimentu, deksametazon je primenjivan u hrani u dozama od 1, 2, 3, 4, 5 i 6 mg/kg tel. mase tokom tri nedelje, a hematološki parametri su praćeni posle prvog, sedmog, četrnaestog i dvadesetprvog dana od početka primene leka. Nije ustanovljen dozno - zavisan uticaj deksametazona. Deksametazon primenjivan u dozi od 1, 2 i 5 mg/kg značajno je povećavao prosečnu koncentraciju Hbg u odnosu na vrednost hemoglobina dobijenu kod brojlera kontrolne grupe, dok doza od 4 i 6 mg/kg deksametazona ne menja koncentraciju. Koncentracija hemoglobina od 1. do 14. dana eksperimenta se značajno smanjivala, a zatim značajno povećavala sve do 21. dana ogleda (Aengvanich, 2007).

Prosečna vrednost hematokrita ustanovljena posle dve nedelje od inficiranja iznosila je $31,70\pm2,70$ % i bila je manja od prosečne vrednosti hematokrita nađene kod čurića kontrolne grupe ($33,70\pm2,1$ %) starosti od 28 dana. Vrednost hematokrita dobijena posle tri nedelje od infekcije čurića ($31,30\pm2,84$ %) bila je nepromenjena u odnosu na vrednost hematokrita ustanovljene kod čurića kontrolne grupe (K-2) ($30,8\pm2,20$ %) starosti 35 dana. Ustanovili smo da deksametazon ne utiče značajno na vrednost hematokrita kod inficiranih čurića niti menja njegovu fiziološku prosečnu vrednost kod čurića kontrolne grupe 2. Međutim, rezultati ispitivanja uticaja deksametazona primenjivanog u hrani u dozama od 1, 2, 3, 4, 5 i 6 mg/kg telesne mase na fiziološku vrednost hematokrita kod brojlerskih pilića pokazuju da ovaj glikokortikoid samo u dozi od 2 mg/kg prouzrokuje statistički značajno ($p<0,05$) povećanje vrednosti hematokrita i to posle 7 i 21 dan od početka konzumiranja

medicirane hrane (Aengvanich, 2007). Nasuprot ovom nalazu Pyrrho i saradnici (2004) su ustanovili da deksametazon, nepoznatim mehanizmom, povećava volumen eritrocita.

U drugim ispitivanjima uticaja metabolita *A. flavus* i *A. ochraceus* kod brojlerskih pilića koji su tokom tri nedelje konzumirali hranu kontaminiranu mikotoksinima ovih gljivica nađeno je da mikotoksi značajno smanjuju prosečnu vrednost hematokrita (Tuzcu i sar., 2010; Anjorin i Cyriacus, 2014) što je u saglasnosti sa našim dobijenim rezultatima.

Rezultati ispitivanja uticaja infekcije sa *A. fumigatus* na ukupan broj leukocita posle dve nedelje od inficiranja čurića pokazuju da infekcija, u ovom periodu posmatranja prouzrokuje statistički značajno povećanje broja leukocita ($15,66 \pm 4,14 \times 10^9 / l$) ($p < 0,01$) u odnosu na vrednost prosečnog broja leukocita dobijenu kod čurića kontrolne grupe ($6,71 \pm 0,96 \times 10^9 / l$) u starosti od 28 dana.

Posle tri nedelje od inficiranja ukupan broj leukocita se povećavao i ustanovljena leukocitoza je bila statistički značajno veća ($25,91 \pm 8,59 \times 10^9$ ćelija/l; ($p < 0,001$) u poređenju sa prosečnom vrednošću ukupnog broja leukocita ustanovljenom posle tri nedelje starosti čurića kontrolne grupe (K-1) ($11,22 \pm 3,22 \times 10^9$ ćelija/l). Posle tri nedelje od inficiranja čurića ustanovljena vrednost prosečnog ukupnog broja leukocita bila je značajno veća ($p < 0,01$) od dobijene vrednosti prosečnog ukupnog broja leukocita kod čurića posle dve nedelje od inficiranja ($15,66 \pm 4,14 \times 10^9$ ćelija /l).

Takođe, rezultati ispitivanja uticaja eksperimentalne intratrahealne infekcije sa *A. fumigatus* na ukupan broj leukocita kod japanske prepelice pokazuju da inokulacija *A. fumigatus* prouzrokuje leukocitozu koja je uočena posle dva do sedam dana od inokulacije (Chaudhary i Sadana, 1988) dok je u našim istraživanjima leukocitoza kod inficiranih čurića bila najizraženija posle tri nedelje od inficiranja. Ovaj nalaz ukazuje na potpuni razvoj infekcije i borbe organizma protiv infekcije.

Rezultati ispitivanja uticaja *A. niger* na ukupan broj leukocita kod brojlerskih pilića koji su konzumirali hranu kontaminiranu ovom plesni tokom sedam nedelja pokazuju da *A. niger* značajno ($p < 0,05$) smanjuje ukupan broj leukocita, što je u suprotnosti sa našim nalazima. Ova leukopenija je posledica slabljenja odbrambenih sposobnosti организма, odnosno supresije kostne srži nastale zbog duge izloženosti организма uticaju mikotoksina ove gljivice (Muhammad i Oloyede, 2009). Takođe, pojedinačna i kombinovana primena *A. flavus* i *A. ochraceus* u hrani tokom tri nedelje

kod brojlera starosti jedan dan prouzrokuje značajnu leukopeniju, anemiju, i smanjenu vrednost hematokrita ustanovljeno na kraju eksperimenta. Mikotoksini ovih gljivica prouzrokuju neutrofiliju, bazofiliju i monocitozu (Anjorin i sar., 2014).

Deksametazon primenjivan kod čurića pre infekcije prouzrokuje statistički značajno povećanje ($p<0,01$) vrednosti ukupnog prosečnog broja leukocita, posle dve nedelje od inficiranja ($20,2\pm3,4\times10^9$ ćelija/l) u odnosu na vrednost broja leukocita dobijenu kod čurića tretiranih samo deksametazonom ($9,34\pm1,12\times10^9$ ćelija/l). Prosečan broj leukocita kod inficiranih i deksametazonom tretiranih čurića posle tri nedelje od inficiranja se značajno povećavao ($25,77\pm6,80\times10^9$ ćelija/l) ($p<0,01$) u odnosu na vrednost prosečnog broja leukocita ustanovljenu posle dve nedelje od inficiranja i vrednost leukocita kod čurića kontrolne grupe tretiranih samo deksametazonom ($10,38\pm1,17\times10^9$ ćelija/l) ($p<0,01$) u starosti 35 dana (K-2).

Nasuprot našim nalazima, rezultati ispitivanja uticaja deksametazona dodavanog u hrani brojlera u dozama od 1 do 6 mg/kg tokom 21. dana eksperimenta pokazuju da ispitivane doze deksametazona ne utiču značajno na vrednost ukupnog broja leukocita. Međutim, značajno povećanje ukupnog broja leukocita zabeleženo je posle 7., 14. i 21. dana tretmana lekom u odnosu na prvi dan (Aengwanich, 2007).

U našim istraživanjima primena deksametazona pre inficiranja statistički je značajno povećala prosečnu vrednost leukocita posle dve nedelje od veštačke infekcije i još više posle tri nedelje. U dostupnoj literaturi nismo našli podatke o uticaju kombinovane parenteralne primene deksametazona i *A. fumigatus* na ukupan broj leukocita u krvi čurića i pilića. Ustanovili smo da je šestodnevna i.m. aplikacija deksametazona značajno povećala vrednost broja leukocita posle dve nedelje od poslednje njegove aplikacije u odnosu na netretirane čuriće kontrolne grupe 1.

Rezultati ispitivanja uticaja infekcije *A. fumigatus* na ukupan broj heterofila u krvi dobijeni posle dve nedelje od inficiranja čurića pokazuju da infekcija, u ovom periodu posmatranja ne utiče na broj heterofila ($6,58\pm2,32\times10^9$ ćelija/l) u poređenju sa vrednošću prosečnog broja heterofila dobijenu kod čurića kontrolne grupe ($6,49\pm2,25\times10^9$ ćelija/l) starosti 28 dana.

Posle tri nedelje od inficiranja ukupan broj heterofilnih granulocita se značajno povećavao i ustanovljena heterofilija bila je statistički značajno veća ($15,25\pm5,26\times10^9$ ćelija/l) ($p<0,001$) u poređenju sa vrednošću prosečnog broja heterofila dobijenom kod

ćurića kontrolne grupe (K-1) ($4,76 \pm 1,71 \times 10^9$ ćelija/l) 35 dana starosti. Poznato je da infekcija sa *A. fumigatus* prouzrokuje tešku do umerenu heterofiliju, limfocitozu i povećan broj bazofila kod brojlerskih pilića (Mitchell i Johns, 2008; Etim i sar., 2014), što je donekle u saglasnosti sa našim rezultatima. Povećanje broja heterofila (heterofilija) nastaje kao posledica opšte zapaljenske reakcije izazvane intoksikacijom (Anjorin i Cyriacus, 2014).

Ustanovili smo da prethodna primena deksametazona statistički značajno ($p < 0,01$) povećava vrednost prosečnog broja heterofila posle dve nedelje od inficiranja ($9,22 \pm 4,26 \times 10^9$ ćelija/l) u poređenju sa prosečnom vrednošću heterofila dobijenom kod ćurića kontrolne grupe, tretiranih samo deksametazonom ($6,68 \pm 1,81 \times 10^9$ ćelija/l) (K-2). Posle tri nedelje od infekcije i tretmana deksametazonom prosečan broj heterofila je bio statistički veoma značajno veći ($22,16 \pm 6,01 \times 10^9$ ćelija/l) ($p < 0,001$), a ovo povećanje u apsolutnim vrednostima bilo je čak sedam puta veće u poređenju sa vrednošću prosečnog broja heterofila dobijenom kod ćurića tretiranih samo deksametazonom ($3,8 \pm 0,40 \times 10^9$ ćelija/l) u starosti od 35 dana.

Ustanovili smo da infekcija ćurića sa *A. fumigatus* ne utiče na broj heterofila procenjivano posle dve nedelje od inficiranja, dok je prosečan broj heterofila značajno bio veći posle tri nedelje od inficiranja poređeno sa istim posmatranim parametrima kod ćurića kontrolne grupe. Međutim, primena deksametazona pre inficiranja značajno povećava broj heterofila u poređenju sa brojem heterofila ustanovljenim kod ćurića kontrolne grupe (K-2), tretiranih samo deksametazonom. Takođe, pokazano je da je ova heterofilija bila značajno veća kod inficiranih i deksametazonom tretiranih ćurića posle tri nedelje od inficiranja u poređenju sa vrednošću prosečnog broja heterofila dobijenom kod ćurića tretiranih samo deksametazonom, u starosti od 35 dana. Naši rezultati ispitivanja uticaja deksametazona na broj heterofila kod ćurića kontrolne grupe ukazuju da ovaj lek nije uticao na vrednost heterofila u poređenju sa fiziološkom vrednošću heterofila ustanovljenom kod ćurića kontrolne grupe 2.

Poznato je da glikokortikoidi smanjuju broj i procenat limfocita. Ovaj odnos nastaje kao odgovor organizma na prirodne stresore ili na egzogeno unošenje glikokortikoida. Ustanovljeno je da visoki odnos heterofila prema limfocitima (H : L) pouzdano ukazuje na visok nivo glikokortikoida u krvi. Ovaj odnos pruža pouzdanu procenu intenziteta stresa (Davis i sar., 2008). Deksametazon povećava broj granulocita,

a smanjuje broj limfocita i monocita (Aengwanich, 2007). Međutim, očigledno je da deksametazon može značajnije da povećava broj heterofila tek kada se primenjuje u dužem vremenskom periodu.

U našim ispitivanjima infekcija čurića sa *A. fumigatus* prouzrokuje visok odnos heterofila i limfocita ($15,25 \pm 5,26 \times 10^9$ ćelija/l : $9,90 \pm 4,0 \times 10^9$ ćelija/l) posle tri nedelje od inficiranja u poređenju sa ovim odnosom kod intaktnih kontrolnih čurića ($4,76 \pm 1,71 \times 10^9$ ćelija/l : $5,77 \pm 2,01 \times 10^9$ ćelija/l) starosti 35 dana, što ukazuje da i sam uzročnik izaziva intenzivan stres, koji se analizom odnosa heterofila/limfocita u krvi može dokazati posle tri nedelje od inficiranja.

Deksametazon primenjivan i.m. tokom šest dana u dozi od 4 mg/kg kod inficiranih čurića potencira uticaj *A. fumigatus* na broj heterofila i limfocita tako što značajno ($p < 0,05$) povećava odnos heterofila i limfocita posle dve ($9,22 \pm 4,26$: $4,14 \pm 0,98 \times 10^9$ ćelija/l) i veoma statistički značajno povećava ($p < 0,001$) posle tri nedelje od inficiranja ($22,16 \pm 6,01$: $4,64 \pm 1,21 \times 10^9$ ćelija/l) u poređenju sa ovim odnosom heterofili/limfociti ustanovljenim kod čurića tretiranih samo deksametazonom, starosti 28 dana ($6,68 \pm 1,81$: $5,54 \pm 2,36 \times 10^9$ ćelija/l) i 35 dana ($3,8 \pm 0,40$: $2,07 \pm 0,06 \times 10^9$ ćelija/l).

Dobijeni rezultati ispitivanja uticaja infekcije *A. fumigatus* na prosečan ukupan broj limfocita u krvi, ustanovljen posle dve nedelje od inficiranja čurića pokazuju da infekcija, u ovom periodu posmatranja, ne utiče na broj limfocita ($8,83 \pm 2,98 \times 10^9$ ćelija/l) u poređenju sa vrednošću prosečnog broja limfocita dobijenoj kod čurića kontrolne grupe ($8,45 \pm 3,60 \times 10^9$ ćelija/l) u starosti od 28 dana.

Posle tri nedelje od inficiranja vrednost prosečnog broja limfocita bila je statistički značajno veća ($p < 0,01$) ($9,90 \pm 4,0 \times 10^9$ ćelija/l) u poređenju sa vrednošću prosečnog broja limfocita dobijenom kod čurića kontrolne grupe (K-1) ($5,77 \pm 2,01 \times 10^9$ ćelija/l) 35 dana starosti. Prema oskudnim podacima iz literature prateći simptom aspergiloze kod brojlerskih pilića je limfocitoza (Mitchell i Johns, 2008; Etim i sar., 2014), što je u saglasnosti sa našim nalazom ustanovljenim posle tri nedelje od inokulacije *A. fumigatus* kod čurića.

Ispitivanje uticaja deksametazona i infekcije na broj limfocita posle dve i tri nedelje od infekcije pokazuje da deksametazon zajedno sa *A. fumigatus* značajno ($p < 0,01$) smanjuje broj limfocita ($4,64 \pm 1,21 \times 10^9$ ćelija/l) u poređenju sa vrednošću

prosečnog broja limfocita ustanovljenog kod inficiranih čurića ($9,90 \pm 4,0 \times 10^9$ ćelija/l) posle tri nedelje od inficiranja. Deksametazon statistički značajno ($p < 0,01$) smanjuje prosečan broj limfocita kod čurića, naročito u 35 danu starosti ($2,07 \pm 0,06 \times 10^9$ ćelija/l) u poređenju sa brojem limfocita ustanovljenim kod kontrolnih čurića iste starosti ($5,77 \pm 2,01 \times 10^9$ ćelija/l).

Rezultati ispitivanja uticaja infekcije *A. fumigatus* na ukupan broj bazofila u krvi pokazuju da infekcija neznatno povećava broj bazofila za sve vreme trajanja ogleda u poređenju sa vrednošću broja bazofilnih granulocita kod intaktnih, kontrolnih čurića. Deksametazon neznatno smanjuje vrednost prosečnog broja bazofila kod inficiranih čurića posle dve i tri nedelje u odnosu na vrednost prosečnog broja bazofila kod inficiranih čurića.

Sumirajući rezultate ispitivanja uticaja *A. fumigatus* na hematološke parametre čurića starosti 28 i 35 dana pokazano je da infekcija prouzrokuje anemiju i intenzivan inflamatorni odgovor. Slični hematološki nalazi dobijeni su i kod čurića koji su prethodno višekratno tretirani deksametazonom, uz napomenu da su anemija i inflamatorni odgovor bili izraženiji.

7. ZAKLJUČCI

1. Intratrahealna aplikacija spora *A. fumigatus* u koncentraciji od $5,056 \times 10^7$ izazvala je plućnu aspergilozu kod 75% čurića ogledne inficirane grupe i ogledne grupe deksametazonom tretiranih i inficiranih čurića.
2. Tretman deksametazonom 6 dana pre inficiranja i infekcija sa *A. fumigatus* su statistički značajno ($P < 0,05$) smanjili prirast i prosečnu telesnu masu čurića kako 14., tako i 21. dana od inficiranja u poređenju sa posmatranim parametrima kod čurića inficiranih sa *A. fumigatus* i kontrolnih grupa.
3. Prethodno izazvana imunosupresija deksametazonom uticala je na intenziviranje kliničke slike i patomorfoloških promena u poređenju sa oglednom grupom čurića inficiranih sa *A. fumigatus*.
4. Klinički simptomi infekcije uočeni su već drugog dana od inficiranja kod dve trećine deksametazonom tretiranih i inficiranih čurića i jedne trećine čurića inficiranih sa *A. fumigatus*. U prva tri dana kod čurića obe ogledne grupe dominirali su opšti simptomi (somnolentnost, opuštenost krila, nakostrešenost perja, skupljanje u grupe), a od četvrtog dana kod obe ogledne grupe čurića nastupili su respiratori simptomi.
5. Makroskopski, prvog dana posle infekcije u grupi deksametazonom tretiranih i inficiranih čurića ustanovljeni su hiperemija i edem pluća. Difuzna inflamacija vazdušnih kesa i granulomatozna pneumonija su najpre ustanovljeni u toj grupi trećeg dana od inficiranja, dok su iste promene ustanovljene u grupi inficiranih čurića sa *A. fumigatus* nakon 14 dana od infekcije.
6. Histopatološki, zapažene su promene već prvog dana posle infekcije u obe ogledne grupe u vidu hiperemije i edema pluća uz početnu fokalnu ili difuznu

ćelijsku infiltraciju. Od 3. pa do 21. dana posle infekcije dominirala je granulomatozna pneumonija različitog obima i intenziteta. Patološke promene u grupi deksametazonom tretiranih i inficiranih čurića jačeg su intenziteta i obima, a regresivne promene u patomorfološkom supstratu su takođe obimnije i ranije nastaju.

7. *Aspergillus fumigatus* je izolovan iz respiratornih organa već prvog i trećeg dana od infekcije kod 4 od 12 inficiranih jedinki (33%) u obe ogledne grupe. Sedmog i četrnaestog dana od infekcije povećava se broj respiratornih organa iz kojih je izolovan *A. fumigatus* u grupi deksametazonom tretiranih i inficiranih čurića u odnosu na oglednu grupu inficiranih čurića.
8. Analizom rezultata dobijenih metodom nested PCR i njihovim poređenjem između oglednih grupa ustanovljen je veći broj pozitivnih uzoraka na prisustvo DNK *A. fumigatus* u oglednoj grupi deksametazonom tretiranih i inficiranih čurića.
9. Dvadesetčetiri sata od aplikacije fitohemaglutinina prosečna vrednost debljine kože kod ogledne grupe deksametazonom tretiranih i inficiranih čurića bila je statistički veoma značajno manja ($p<0,001$) u odnosu na prosečnu vrednost debljine kože kod ogledne grupe inficiranih čurića sa *A. fumigatus*.
10. Titar antitela 21. dana od vakcinacije protiv atipične kuge živine u oglednoj grupi deksametazonom tretiranih i inficiranih čurića bio je dvostruko niži u poređenju sa grupom inficiranih čurića sa *A. fumigatus* i višestruko niži u poređenju sa kontrolnom grupom.
11. Rezultati hematoloških ispitivanja pokazali su da je infekcija sa *A. fumigatus* prouzrokovala slabu anemiju, leukocitozu, limfocitozu i heterofiliju, posle 14. i 21. dana od inficiranja čurića kod oglednih grupa inficiranih i deksametazonom tretiranih i inficiranih čurića.

8. LITERATURA

1. Abad, A., Fernandez-Molina, J.V., Bikandi, J., Ramirez, A., Margareto, J. et al. (2010): What makes *Aspergillus fumigatus* a successful pathogen? Genes and molecules involved in invasive aspergillosis. Rev Iberoam Micol, 27: 155-82.
2. Aboul-Nasr, M.B., Zohri, A.N., Amer, E.M. (2013): Enzymatic and toxicogenic ability of opportunistic fungi contaminating intensive care units and operation rooms at Assiut University Hospitals, Egypt. Springerplus; 2: 347.
3. Aengwanich, W. (2007): Effects of dexamethasone on physiological changes and productive performance in broilers. AJAVA, 2 (3): 157-61.
4. Akan, M., Haziroglu, R., Ilhan, Z., Sareyyupoglu, B., Tunca, R. (2002): A case of Aspergillosis in broiler breeder flock. Avian Diseases, 46, 497-501.
5. Albert, B. (2005): Leukocyte functions and percentage breakdown. Molecular Biology of the cell, 6, 550-5.
6. Alp, S. and Arikan, S. (2008): Investigation of extracellular elastase, acid proteinase and phospholipase activities as putative virulence factors in clinical isolates of *Aspergillus* species. J Basic Microbiol, 48: 331-7.
7. Amitani, R., Taylor, G., Elezis, E.N., Llewellyn-Jones, C., Mitchell, J., Kuze, F., Cole, P.J., Wilson, R. (1995): Purification and characterization of factors produced by *Aspergillus fumigatus* which affect human ciliated respiratory epithelium. Infect Immun, 63 (9): 3266-71.
8. Annaix, V., Bouchara, J.P., Larcher, G., Chabasse, D., Tronchin, G. (1992): Specific binding of human fibrinogen fragment D *Aspergillus fumigatus* conidia. Infect Immun, 60:1747-55.
9. Anjorin, S.T., Cyriacus, C.O. (2014): Haematological effect of *Aspergillus* species metabolites on broiler chicks. Am J Res Com, 2(1): 172-84.
10. Araujo, R., Pina-Vaz, C., Rodrigues, G.A., Amorim, A.A., Gusmao, L. (2009): Simple and highly discriminatory microsatellite-based multiplex PCR for *Aspergillus fumigatus* strain typing. Clin Microbiol Infect, (15), 260-66.
11. Ardia, D.R. (2005): Individual quality mediates trade-offs between reproductive effort and immune function in tree swallows. J Animal Ecol, 74, 517-24.
12. Arne, P., Thierry, S., Wang, D., Deville, M., Le Loch, G., Desoutter, A., Femenia, F., Nieguitsila, A., Haung, W., Chermette, R., Guillot, J. (2011): *Aspergillus fumigatus* in Poultry. Int J Microb, 2011, 14 pp.
13. Aron, D.C. and Tyrrell, J.B. (1994): Glucocorticoids and adrenal androgens. In: Greenspan, F.S. and Baxter, J.D. eds. Basic and clinical endocrinology, 307-46. Norwalk, Appleton and Lange.
14. Balajee, S.A., Houbraken, J., Verweij, P.E., Hong, S.B., Yaghuchi, T., Varga, J., Samson, R.A. (2007): Aspergillus species identification in the clinical setting. Stud Mycol, 59: 39-46.
15. Bansod, S., Gupta, I., Rai, M. (2008): Specific detection of *Aspergillus fumigatus* in sputum sample of pulmonary tuberculosis patients by two-step PCR. Afric J Biotech, 7 (1): 016-21.
16. Barton, J.T., Daft, B.M., Read, D.H., Kinde, H., Bickford, A.A. (1992): Tracheal aspergillosis in 6½-week old chickens caused by *Aspergillus flavus*. Avian Dis, 36, 1081-5.
17. Barton, R.C. (2013): Laboratory diagnosis of invasive aspergillosis: from diagnosis to prediction of outcome. Scientifica, (Cairo). 459405.

18. Beernaert, L.A., Pasmans, F., Haesebrouck, F., Martel, A. (2008): Modelling *Aspergillus fumigatus* infections in racing pigeons (*Columba livia domestica*). Avian Pathol, 37(5): 545-9.
19. Beernaert, L.A., Pasmans, F., Van Waeyenbergh, L., Haesebrouck, F., Martel, A. (2010): *Aspergillus* infections in birds: a review. Avian Pathol, 39: 325-31.
20. Ben-Ami, R., Lewis, R.E., Leventakos, K., Latgé, J.P., and Kontoyiannis, D.P. (2010): Cutaneous model of invasive aspergillosis. Antimicrob Agents Chemother, 54: 1848-54.
21. Bennett, J.W., Klich, M. (2003): Mycotoxins Review. Clin Microbiol Rev, 16(3): 497-516.
22. Bernard, M., Latgé, J.P. (2001): *Aspergillus fumigatus* cell wall: composition and biosynthesis. Med Mycol.; 39 Suppl 1: 9-17.
23. Beytut, E. (2007): Immunohistochemical diagnosis of aspergillosis in adult turkeys. Turkish J Vet Animal Sci, 31: 99-104.
24. Beytut, E., Ozcan, K., Erginsoy, S. (2004): Immunohistochemical detection of fungal elements in the tissues of goslings with pulmonary and systemic aspergillosis. Acta Vet Hung, 52(1): 71-84.
25. Bhabhra, R., Miley, M. D., Mylonakis, E., Boettner, D., Fortwendel, J., Panepinto, J.C., Postow, M., Rhodes, J.C., and Askew, D.S. (2004): Disruption of the *Aspergillus fumigatus* gene encoding nucleolar protein CgrA impairs thermotolerant growth and reduces virulence. Infect Immun, 72: 4731-40.
26. Bhatnagar, I., Kim, S.K. (2015): Gliotoxin from *Aspergillus fumigatus* reverses epithelial to mesenchymal transition: implications in renal fibrosis. Int J Med Microbiol, 305(1): 11-9.
27. Birch, M., Denning, D.W., Robson, G.D. (2004): Comparison of extracellular phospholipase activities in clinical and environmental *Aspergillus fumigatus* isolates. Med Mycol, 42(1): 81-6.
28. Birch, M., Robson, G., Law, D., Denning, D. W. (1996): Evidence of multiple extracellular phospholipase activites of *Aspergillus fumigatus*. Infect Immun, 64, 751-5.
29. Blanco, J.L., Hontecillas, R., Bouza, E., Blanco, I., Pelaez, T., Munoz, P. et al (2002): Correlation between the elastase activity index and invasiveness of clinical isolates of *Aspergillus fumigatus*. J Clin Microbiol, 40: 1811-3.
30. Bouchara, J. P., Sanchez, M. Chevailler, A., Marot-Leblond, A., Lissitzky, J.C., Tronchin, G., Chabasse, D. 1997. Sialic acid-dependent recognition of laminin and fibrinogen by *Aspergillus fumigatus* conidia. Infect Immun, 65, 2717-24.
31. Brake, N.P., Brake, J.P., Thaxton, P., Murray, D.L. (1988): Effect of cortisol on cutaneous basophil hypersensitivity to phytohemagglutinin in chickens. Poult Sci, 67: 669-73.
32. Brakhage, A.A and Liebmann, B. (2005): *Aspergillus fumigatus* conidial pigment and cAMP signal transduction: significance for virulence. Medical Mycology, Supplement I, 43, 575-82.
33. Bromley, I.M.J., Donaldson, K. (1996): Binding of *Aspergillus fumigatus* spores to lung epithelial cells and basement membrane proteins: relevance to the asthmatic lung. Thorax, 51: 1203-9.
34. Calnek, B.W.: Diseases of poultry, 10 th Ed. Iowa State University Press, Ames, 1997.
35. Carsia, R. V. (2015). Adrenals. In: Sturkie's Avian Physiology, 6th edition, C.G. Scanes, ed. Academic Press, New York, pp 577-611.
36. Cenci, E., Mencacci, A., Spreca, A., Montagnoli, C., Bacci, A., Perruccio, K., Velardi, A., Magliani, W., Conti, S., Polonelli, L., Romani, L. (2002): Protection of killer antiidiotypic antibodies against early invasive aspergillosis in a murine model of allogeneic T-cell-depleted bone marrow transplantation. Infect Immun, 70 (5): 2375-82.
37. Chamanza, R., Toussaint, M.J.M., Van Ederen, A.M., Van Veen, L., Hulskamp-Koch, C., Fabri, T.H.F. (1999): Serum amyloid a and transferrin in chicken. A preliminary investigation of using acute-phase variables to assess diseases in chickens. Vet Quarterly, 21: 37-41.
38. Chamanza, R., Van Veen, L., Tivapasi, M.T. and Toussaint, M.J.M. (1999a): Acute phase proteins in the domestic fowl. World Poult Sci J, 55, 61-71.

39. Chaudhary, S.K., Sadana, J.R. (1988): Experimental aspergillosis in Japanese quails (*Coturnix coturnix japonica*). Clinical signs and haemathological changes. *Mycopath*, 102 (3): 179-90.
40. Cheng, S. and Lamont, S.J. (1988): Genetic analysis of immunocompetence measures in white leghorn chicken line. *Poult Sci*, 64: 989-95.
41. Chiller, T.M., Luque, J.C., Sobel, R.A., Farrokhshad, K., Clemons, K.V., Stevens, D.A. (2002): Development of a murine model of cerebral aspergillosis. *J Infect Dis*, 186 (4): 574-7.
42. Chilvers, E.R., Spreadbury, C.L., Cohen, J. (1989): Bronchoalveolar lavage in an immunosuppressed rabbit model of invasive pulmonary aspergillosis. *Mycopathologia*, 108 (3): 163-71.
43. Chute, H.L. (1975): Characteristics of immunity in fungal infections. *Am J Vet Res*; 36 (4 Pt 2): 601-2
44. Clemons, K.V., Stevens, D.A. (2005): The contribution of animal models of aspergillosis to understanding pathogenesis, therapy and virulence. *Medical Mycology Supplement*, 43, S101-S110.
45. Corkier, D.E., DeLoach, J. (1990): Interdigital skin test for evaluation of delayed hypersensitivity and cutaneus basophilhypersensitivity. *Am J Vet Res*, 51-6: 950-4.
46. Corkish, J.D. (1982): Mycotic tracheitis in chickens. *Avian Pathol*, 11, 627-9.
47. Cortes, P.L., Shivaprasad, H.L., Kiupel, M., Senties-Cue, G. (2005): Omphalitis associated with *Aspergillus fumigatus* in poult. *Avian Diseases*, 49(2), 304-8.
48. Coulot, P., Bouchara, J.P., Renier, G., Annaix, V., Planchenault, C., Tronchin, G., Chabasse, D. (1994): Specific interactions of *Aspergillus fumigatus* with fibrinogen and its role in cell adhesion. *Infect Immun*, 62: 2169-77.
49. Coutinho, A.E. and Chapman, K. E. (2011): The anti-inflammatory and immunosuppressive effects of glicocorticoids, recent developments and mechanistic insights. *Mol Cell Endocrinol*, 15; 335 (1): 2-13.
50. Cramer, R.A., Rivera, A., Hohl, T.M. (2011): Immune responses against *Aspergillus fumigatus*: what have we learned? *Curr Opin Infect Dis*, 24 (4): 315-22.
51. Cray, C. (2011): Acute phase proteins in animals. *Prog Mol Biol Transl Sci*; 105, 113-50.
52. Cray, C. (2015): Diagnostic testing for aspergillosis in avian species. 21st FECAVA Euro Congress, October 15-17, Barcelona, Spain.
53. Cray, C., Reavill, D., Romagnano, A., Van Sant, F., Champagne, D., Stevenson, R., Rolfe, V., Griffin, C., Clubb, S. (2009): Galactomannan assay and electrophoresis findings in psitacine birds with aspergillosis. *J Avian Med Surg*, 23 (2), 125-35.
54. Cray, C., Watsson, T., Artheart, K.L. (2009a): Serosurvey and diagnostic application of antibody titers to Aspergillus in avian species. *Avian Diseases*, 53, 491-4.
55. Cvjetnić, S. (2002): Bakterijske i gljivične bolesti životinja, medicinska naklada, Zagreb.
56. Dagenais, T.R., Keller, N.P. (2009): Pathogenesis of *Aspergillus fumigatus* in Invasive Aspergillosis. *Clin Microbiol Rev*, 22(3): 447-65.
57. Dahl Hansen, R.D. Implications of mycoses clinical disorders In: Clinical avian medicine, Harrison GJ and Lightfoot TL (Eds). Spix Publishing, Inc., Palm Beach, FL., pp 691-704, 2006.
58. Davis, A.K., Maney, D.L., Maerz, J.C. (2008). The leukocyte profiles to measure stress in vertebrates: a review for ecologist. *Functional Ecology*, 22: 760-72.
59. De Lucca, A. J. (2007): Harmful fungi in both agriculture and medicine. *Rev. Iberoam Micol*, 24, 3-13.
60. Debe, M.C., Trampel, D.W., Richard, J.L. et al. (1995): Effect of environmental variables in turkey confinement houses on airborne *Aspergillus* and mycoflora composition. *Poultry Science*, 74(3): 463-71.

61. Del Palacio, A., Alhambram, A., Cuétara, M.S., Pontón, J. (2007): Early diagnosis of invasive fungal infections caused by *Aspergillus* and other emerging mycelial fungi. Reviberoam Micol; 24 (3): 187-97.
62. Denning; D.W., Riniotis, K., Dobrashian, R., Sambatakou, H. (2003): Chronic cavitary and fibrosing pulmonary and pleural aspergillosis, Case series, proposed nomenclature and review. Clin Infect Dis, 37 (Suppl 3): S265-80.
63. Dhama, K., Chakraborty, S., Verma, A.K., Tiwari, R., Barathidasan, R., Kumar, A., Singh, S.D. (2013): Fungal/Mycotic diseases of poultry-diagnosis, treatment and control: A Review Pakistan J Biol Sci, 16 (23): 1626-40.
64. Dixon, D.M., Polak, A., Walsh, T.J. (1989): Fungus dose-dependent primary pulmonary aspergillosis in immunosuppressed mice. Infect Immun, 57(5): 1452-6.
65. Dong, H., Lin, H., Jiao, H.C., Song, Z.G., Zhao, J.P., Jiang, K.J. (2007). Altered development and protein metabolism in skeletal muscles of broiler chickens (*Gallus gallus domesticus*) by corticosterone. Comparative Biochemistry and Physiology A Molecular and Integrative Physiology, 147, (1): 189-95.
66. Duffy, D.L. and Ball, G.F. (2002): Song predicts immunocompetence in male European starlings (*Sturnus vulgaris*). Proceedings of the Royal Society of London B – Biol Sci, 269, 847-52.
67. Dyar, P.M., Fletcher, O.J., Page, R.K. (1984): Aspergillosis in turkeas associated with use of contaminated litter. Avian Diseases, 28 (1): 250-5.
68. Ecker, E.D., Kuypers, A.H., Counotte, G.H., Tielen, M.J. (1995): The phytohemagglutinin (PHA) skin test as an indicator of stress – induced changes in immune reactivity in pigs. Vet Quarterly, 17: 153-6.
69. Edelman, A.S., Sanchez, P.L., Robinson, M.E., Hochwald, G.M., Thorbecke, G.J. (1986): Primary and secondary wattle swelling response to phytohemagglutinin as measure of immunocompetence in chickens. Avian Dis, 30: 105-11.
70. Elgert, K. Immunology: Understanding the Immune System. Wiley & Liss, New York, USA, 1996.
71. Etim, N.A.N, Akpabio, U., Okponete, O., Offiong, E.A. (2014): Do diet affect haematological parameters of poultry? Br J Appl Sci Tech, 4(13): 1952-65.
72. Fallon, J.P., Reeves, E.P., Kavanagh, K. (2010): Inhibition of neutrophil function following exposure to the *Aspergillus fumigatus* toxin fumagillin. J Med Microbiol, 59 (Pt 6): 625-33.
73. Faubllee, V. and Boller, M. (1975): Rôle pathogène experimental d'*Aspergillus fumigatus* chez le poulet. Recueil de medicine Veterinarie, 151: 481-9.
74. Fedde, M.R. (1998): Relationship of structure and function of the avian respiratory system to disease susceptibility. Poultry Sci, 77(8): 1130-8.
75. Fémenia, F. Huet, D., Lair-Fullerenger, S., Wagner, M. C., Sarfati, J et al. (2009): Effects of conidia of various *Aspergillus* species on apoptosis of human pneumocytes and bronchial epithelial cells. Mycopatho, 167(5): 249-62.
76. Femenia, F., Fontaine, J.J, Lair-Fullerenger, Berkova, N., Huet, D., Towanou, N., Rakotovao, F., Grenet, O.I., Le-Loch, G., Arne, P., Guillot, J. (2007): Clinical, mycological and pathological findings in turkeys experimentally infected by *Aspergillus fumigatus*., Avian Patho, 36(3): 213-9.
77. Feng, X., Krishnan, K., Daryl, L., Richie, Vishukumar Aimanianda, Lukas Hartl, Grahl, N., Margaret, V., Powers-Fletcher, Zhang, M., Fuller, K., Nierman,W. C., Lu, L.J., Latgé, J.P., Woollett, L., Newman, S.L., Cramer,R.A., Rhodes, J.C. and Askew, D.S. (2011): HacA-independent functions of the ER stress sensor ireA synergize with the canonical UPR to influence virulence traits in *Aspergillus fumigatus*. PloS. Patholog, 7(10): 1-18.

78. Ferguson, D.C. and Hoening, M. (2001): Glicocorticoids, mineralocorticoids, and steroid synthesis inhibitors. In: Veterinary farmacology and therapeutics, 8 th edition, Adams, R.H. Iowa State University Press/Ames, 649-65.
79. Gao, J., Lin, H., Song, Z.G., Jiao, H.C. (2008). Corticosterone alters meat quality by changing pre-and postslaughter muscle metabolism. *Poultry Sci*, 87 (8): 1609-17.
80. Gardiner, D.M., Howlett, B.J. (2005): Bioinformatic and expression analysis of the putative gliotoxin biosynthetic gene cluster of *Aspergillus fumigatus*. *FEMS Microbiol Lett*, 15; 248 (2): 241-8.
81. Gastebois, A., Clavaud C., Aimanianda V., Latgé, J.P. (2009): *Aspergillus fumigatus*: cell wall polysaccharides, their biosynthesis and organization. *Future Microbiol*, 4 (5): 583-95.
82. Ghori, H.M., Edgar, S.A. (1973): Comparative susceptibility of chickens, turkeys and Coturnix quail to aspergillosis. *Poult Sci*; 52: 2311-5.
83. Ghori, H.M., Edgar, S.A. (1979): Comparative susceptibility and effect of mild *Aspergillus fumigatus* infection on three strains of chickens. *Poult Sci*, 58 (1): 14-7.
84. Gibbons, J.G. and Rokas, A. (2013): The function and evolution pf the Aspergillus genome. *Trends Microbiol*, 21(1): 14-22.
85. Gigli, A.C.S., Baracho, M.S. Naas, I.A., Silva, R.S., Zago, R., Anese, D. (2005): Diagnosis and evaluation of fungi presence in the air of two different ventilation systems for broiler house in France. *Poult Sci*, 7 (4): 205-8.
86. Gil, M.L., Penalver, M.C., Lopez-Ribot, J.L., O'Connor, J.E., Martinez, J.P. (1996): Binding of extracellular matrix proteins to *Aspergillus fumigatus* conidia. *Infect Immun*; 64: 5239-47.
87. Gonzalez, G., Sorci, G., Moller, A.P., Ninni, P., Haussy, C., De Lope, F. (1999): Immunocompetence and condition-dependent sexual advertisement in male house sparrows (*Passer domesticus*). *J Animal Ecology*, 68, 1225-34.
88. Goto, N., Kodama, H., Okada, K., Fujimoto, Y. (1978): Suppression of phytohemagglutinin skin response in thymectomized chickens. *Poult Sci*, 57: 246-50.
89. Gross, W.B. And Siegel, H.S. (1983): Evaluation of heterophil/lymphocyte ration as measure of stress in chickens. *Avian Dis*, 27, 972-9.
90. Grosse, C., Heinekamp, T., Kniemeyer, O., Gehrke, A., Brakhage, A.A. (2008): Protein kinase A regulates growth, sporulation, and pigment formation in *Aspergillus fumigatus*. *Appl Environ Microbiol*; 74(15): 4923-33.
91. Haines, J. (1995): Aspergillus in compost: straw man or fatal flaw. *Biocycle*, 6: 32-5.
92. Hamet, N., Seigle-Murandi, F., Steiman, R. (1991): Contribution to the prophylaxis of chicks aspergillosis: study of the contamination of a hatchery by *Aspergillus fumigatus*. *Zentralbl Veterinarmed B*, 38 (7):529-37.
93. Hamilton, A.J., Gomez, B.L. (2002): Melanins in fungal pathogens. *J Med Microbiol*; 51: 189-91.
94. Hardy, M.P., Gao, H.B., Dong, Q., Ge, R., Wang, Q., Chai, W.R., Feng, X., Sottas, C. (2005): Stress hormone and male reproductive function. *Cell Tissue Res*, 322: 147-53.
95. Hearn, V.M., Wilson, E.V., Mackenzie, D.W. (1992): Analysis of *Aspergillus fumigatus* catalases possessing antigenic activity. *J Med Microbiol*, 36 (1): 61-7.
96. Hensel, M., Arst, H.N., Aufauvre-Brown, A. and Holden, D.W. (1998): The role of the *Aspergillus fumigatus* areA gene in invasive pulmonary aspergillosis. *Mol Gen Genet*, 258: 553-7.
97. Hope, W.W., Petraitis, V., Petraitiene, R., Aghamolla, T., Bacher, J., Walsh, T.J. (2009): The initial 96 hours of invasive pulmonary aspergillosis: histopathology, comparative kinetics of galactomannan and (1->3) β -d-glucan and consequences of delayed antifungal therapy. *Antimicrob Agents Chemother*, 54 (11): 4879-86.

98. Horn, B.W., Moore, G.G. and Carbone, I. (2009): Sexual reproduction in *Aspergillus flavus*. *Mycologia*, 101: 423-9.
99. Hotamisligil, G.S. (2006): Inflammation and metabolic disorders. *Nature*, 444: 860-7.
100. Hu, X.F., Guo, Y.M., Huang, B.Y., Bun, S., Zhang, L.B., Li, J.H., Liu, D., Long, F.Y., Yang, X., Jiao, P. (2010). The effect of glucagon-like peptide 2 injection on performance, small intestinal morphology, and nutrient transporter expression of stressed broiler chickens. *Poult Sci*, 89(9): 1967-74.
101. Huff, G.R., Huff, W.E., Balog, J.M., Roth, N.C. (2001): Effect of early handling of turkey poult on later responses to multiple dexamethasone - *Escherichia coli* Challenge 2. Resistance to air sacculitis and turkey osteomyelitis complex. *Poultry Sci*, 80: 1314-22.
102. Huff, G.R., Huff, W.E., Balog, J.M., Rath, N.C. (1998): The effects of dexamethasone immunosuppression on turkey osteomyelitis complex in an experimental *Escherichia coli* respiratory infection. *Poult Sci*, 77: 654-61.
103. Ishibashi, K., Miura, N.N., Adachi, Y., Tamura, H., Tanaka, S., Ohno, N. (2004): The solubilization and biological activities of *Aspergillus* beta-(1 → 3)-D-glucan. *FEMS Immunol Med Microbiol*; 42 (2): 155-66.
104. Islam, S., Williams, D.M., Teitelbaum, D.H. (2005): Aortobronchial fistula from invasive *Aspergillus* infection of the lung: an endovascular approach to repair. *J Pediatr Surg*;40(12):e19-22.
105. Isobe, T., Lillehoj, H.S. (1992): Effects of corticosteroids on lymphocyte subpopulations and lymphokine secretion in chickens. *Avian Dis*, 36, 590-6.
106. Janeway, C.A., Travers P., Walpot, M., Shlomchik, M.J. Immunobiology: In: The immune system in health and disease. 6th ed. Garland Science Publishing, New York, NY, 2005.
107. Jezdimirović, M. Veterinarska farmakologija, 4 dopunjeno i prerađeno izdanje, Beograd, 2010.
108. Jezdimirović, N., Kureljušić, J., Jakić-Dimić, D., Ilić, Ž., Cvetojević, Đ., Jezdimirović, M. (2013): Micromorphological changes on the embryonic membranes of turkey eggs infected with *Aspergillus fumigatus* and their importance for embryonic survival, *Zbornik Matice srpske za prirodne nauke*, 124, 263-71.
109. Jorgensen, T.R., Nielson, K.F., Arentshorst, M., Park, J., van den Hondel, C.A., Frisvad, J.C., Ram, A.F. (2011): Submerged conidiation and product formation by *Aspergillus niger* at low specific growth rates are affected in aerial developmental mutants. *Appl Environ Microbiol*, 77: 5270-7.
110. Joseph, V. (2000): Aspergillosis in raptors. *Seminars in Avian and exotic pet medicine*, 9 (2), 66-74.
111. Julian, R.J. i Goryo, M. (1990): Pulmonary aspergillosis causing right ventricular failure and ascites in meat-type chickens. *Avi Pathol*, 19 (4): 643-54.
112. Kahn, C.M.: Aspergillosis In: The Merck Veterinary Manual, 10 th edition. Edited by Kahan, C.M., Published by Merck and CO., INC. Whitehoue station, N. J., USA, 2000.
113. Kassirskii, I.A. (2010): Hematology: The Great Soviet Encyclopedia. 3rd Ed. The gale Group Incorporation, 4, 329-35.
114. Kaneko, J.J: Serum proteins and the dysproteinemias. In: Clinical Biochemistry of Domestic Animals, San Diego, Academic Press, 1997; 117-38.
115. Kapetanov, M., Potkonjak, D., Milanov, D., Stojanov, I., Živkov-Balaš, M., Prunić, B. (2011): Investigation of dissemination of aspergillosis in poultry and possible control measures. *Zbornik Matice srpske za prirodne nauke*, 120, 267-76.
116. Karkowska-Kuleta, J., Rapala-Kozik, M., Kozik, A. (2009): Fungi pathogenic to humans molecular bases of virulence of *Candida albicans*, *Cryptococcus neoformans* and *Aspergillus fumigatus*. *Acta Biochim Pol*; 56 (2) :211-24.

117. Kauffman, H.F., Tomee, J.F., van de Riet, M.A., Timmerman, A.J and Borger, P. (2000): Protease-dependent activation of epithelial cells by fungal allergens leads to morphologic changes and cytokine production. *J Allergy Clin Immunol*, 105: 1185-93.
118. Kerzaon, I., Grovel, O., Robiou Du Pont, T., Le Pape, P., Pouchus, Y.F. (2008): Effects of seawater on growth and gliotoxin excretion of marine strains of *Aspergillus fumigatus*. *Fresenius Environ Bull*, 51 (3): 398-405.
119. Keymer, I.F. Mycosis In: Diseases of cage and aviary birds, 2 nd, Ed. Petrak ML, Published Philadelphia, Lea and Febiger, pp. 599-605, 1982.
120. Khosravi, A.R., Mahdavi Omran, S., Shokri, H., Lotfi, A., Moosavi, Z. (2012): Importance of elastase production in development of invasive aspergillosis. *J Mycol Med*; 22 (2): 167-72.
121. Kirkpatrick, W.R., McAtee, R.K., Fothergill A.W., Rinaldi, M.G., Patterson, T.F. (2000): Efficacy of voriconazole in a guinea pig model of disseminated invasive aspergillosis. *Antimicrob Agents Chemother*, 44 (10): 2865-8.
122. Kiran, S., Surekha, M., Benarjee G., Ram Reddy, S., Reddy, S.M. (2015): Haematological and biochemical changes in chicks fed with *Aspergillus terreus* infested. *Feed As J of Poultry Sci*, 9 (3): 172-8.
123. Klimes, B.N.Z. and Severa, K. (1964): Therapy of aspergillosis of chickens with fungicidin, *Zentralblatt für Veterinärmedizin reihe B*, 11, 151-60.
124. Knežević, M., Jovanović, M.: Opšta patologija, za studente veterinarske medicine, II izdanje, Beograd, 2008.
125. Knežević, N., Matejić, M: Bolesti pernate živine, Beograd, 1996.
126. Kobayashi, M., Miyoshi, I. (1993): Immunoblot analysis of *Aspergillus fumigatus* antigen with human antibodies and lectin probes. *Intern Med*; 32 (2): 98-105.
127. Kolattukudy, P.E., Lee, J.D., Rogers, L.M., Zimmerman, P., Ceselski, S., Fox, B., Stein, B. and Copelan, E.A. (1993): Evidence for possible involvement of an elastolytic serine protease in aspergillosis. *Infect Immun*, 61:2357-68.
128. Kothary, M.H., Chase, T.J., McMillan, J.D. (1984): Correlation of elastase production by some strains of *Aspergillus fumigatus* with ability to cause pulmonary invasive aspergillosis in mice. *Infect Immun*, 43:320-9.
129. Kunkle, R.A. Aspergillosis. In: Diseases of poultry, 11 th ed. Saif, Barnes AJ, Glisson JR, Fadly AM McDougald LR and Swaine DE, eds. Iowa State University Press, Ames, IA, pp. 883-95, 2003.
130. Kunkle, R.A., Rimler, R.B. (1996): Pathology of acute aspergillosis in turkeys. *Avian Diseases*, 40(4): 875-86.
131. Kureljušić, B., Radanović, O., Kureljušić, J., Jezdimirović, N., Maslić-Strižak, D., Prodanović, R., Ivetić, V. (2012): The occurrence of aspergillosis in flock of turkey poult. *Biotech Animal Husbandry*, 28(1): 129-36.
132. Kureljušić, B., Savić, B., Prodanović, R., Đekić, J., Adamov, V., Jakić-Dimić, D., Miljković, B., Radanović, O., Ivetić, V. (2011): Primena različitih histohemiskih metoda u dijagnostici aspergiloze mozga kod čurića. *Vet glasnik*, 65(1-2): 43-9.
133. Kurup, V.P., Kumar, A. (1991): Immunodiagnosis of aspergillosis. *Clin Microbiol Rev*, 4 (4): 439-56.
134. Kwon-Chung, K.J., and Bennett, J.E. (1992): Medical mycology. Lea and Febiger, Philadelphia.
135. Lamont, S.J., Smyth, J.R. (1984): Effect of selection for delayed amelanosis on immune response in chickens: 2. Cell-mediated immunity. *Poult Sci*, 563: 440-2.
136. Langfelder, K., Philippe B., Jahn, B., Latge, J.P., Brachage, A.A. (2001): Differential expression of the *Aspergillus fumigatus* pksP gene detected *in vitro* and *in vivo* with green fluorescent protein. *Infect Immun*, 69 (10): 6411-8.

137. Latgé, J.P. (1999): *Aspergillus fumigatus* and aspergillosis. Clin Microb Rev, 12 (2): 310-50.
138. Latgé, J.P. (2007): The cell wall: a carbohydrate armour for the fungal cell. Mol Microbiol, 66:279-90.
139. Latgé, J.P., and Calderone, R. (2005): The fungal cell wall. In The Mycota I. Growth, Differentiation and Sexuality. Kües U., and Fischer R. (eds). Berlin, Heidelberg: Springer Verlag, pp. 73-104.
140. Lazarević, M., Žikić, D., Ušćebcka, G. (2000): The influence of long term sound stress on the blood leukocyte count, heterophil/lymphocyte ratio and cutaneous basophil hypersensitive reaction to phytohemagglutinin in broiler chickens. Acta Vet, 50 (2-3): 63-75.
141. Le Loch, G., Arne, P., Bougerot, C., Risi, E., Pericard, J.M., Quinton, J.F., Bretagne, S., Guillot, J. (2006): Detection of circulating serum galactomannan for the diagnosis of avian aspergillosis 16th Congress of the International Society for Human and Animal Mycology (ISHAM), June 25-29 th, Paris.
142. Leslie, C.E., Flannigan, B., Milne, L.J.R. (1988): Morphological studies on clinical isolates of *Aspergillus fumigatus*. J Med Vet Mycol, 26 :335-41.
143. Levinson, W. and Jawetz, E. (2001): Medical microbiology and immunology. 6 th ED. McGraw-Hill Medical Publishing Division, New York, 2001. Livingstone, 2000; p. 2674-85.
144. Lewis, R.E., Wiederhold, N.P., Lionakis, M.S., Prince, R.A., Kontoyiannis, D.P. (2005): Frequency and species distribution of gliotoxin-producing *Aspergillus* isolates recovered from patients at a tertiary-care cancer center. J Clin Microbiol, 43: 6120-2.
145. Liebmann, B., T.W. Muhleisen, M., Muller, M., Hecht, G., Weidner, A., Braun, M., Brock, A. and Brakhage, A. (2004): Deletion of the *Aspergillus fumigatus* lysine biosynthesis gene lysF encoding homoaconitase leads to attenuated virulence in a low-dose mouse infection model of invasive aspergillosis. Arch Microbiol, 181: 378-83.
146. Lin, D.M, Lehmann, P.F., Hamory, B.H., Padhye, A.A., Durry, E., Pinner, R.W., Lasker, B.A. (1995): Comparison of three typing methods for clinical and environmental isolates of *Aspergillus fumigatus*. J Clin Microbiol; 33:1596-601.
147. Lin, H., Sui, S.J., Jiao, H.C., Buyse, J. & Decuypere, E. (2006). Impaired development of broiler chickens by stress mimicked by corticosterone exposure. Comparative Biochemistry and Physiology A Molecular and Integrative Physiology, 143(3): 400-5.
148. Lin, H., Sui, S.J., Jiao, H.C., Jiang, K.J., Zhao, J.P., Dong, H . (2007). Effects of diet and stress mimicked by corticosterone administration on early postmortem muscle metabolism of broiler chickens. Poult Sci, 86(3): 545-54.
149. Loeffler, J., Hebart, H., Brauchle, U., Schumacher, U., Einsele, H. (2000): Comparison between plasma and whole blood specimens for detection of *Aspergillus* DNA by PCR. J Clin Microbiol, 38 (10): 3830-3.
150. Losada, L., Ajayi, O., Frisvad, J.C., Yu, J., Nierman, W.C. (2009): Effect of competition on the and activity of secondary metabolites in *Aspergillus* species. Med Mycol, 47 Suppl 1: S88-96.
151. Lugauskas, A., Krikštaponis, A., Šveistytė, L. (2004): Airborne fungi in industrial environments-potential agents of respiratory diseases. Annals of Agriculture and Environmental Medicine, 11(1), 19-25.
152. Madan, T., Arora, N., Sarma, P.U. (1997): Identification and evaluation of a major cytotoxin of *A. fumigatus*. Mol Cell Biochem, 167:89-97.
153. Madan, T., Eggleton, P., Kishore, U., Strong, P., Aggrawal, S., Sarma, P.U., Reid, K.B.M. (1997a): Binding of pulmonary surfactant proteins A and D to *Aspergillus fumigatus* conidia enhances phagocytosis and killing by human neutrophils and alveolar macrophages. Infect Immun, 65: 3171-9.
154. Marić, D., Simonović, I. Uporedna fiziologija životinja, skripta, Novi Sad, p 111, 2009.

155. Marr, K.A., Balajee, S.A., McLaughlin, L., Tabouret, M., Bentsen, C., Walsh, T.J. (2004): Detection of galactomannan antigenemia by enzyme immunoassay for the diagnosis of invasive aspergillosis: variables that affect performance. *J Infect Dis*, 190 (3): 641-9.
156. Marr, K.A., Patterson, T., Denning, D.W. (2002): Aspergillosis. Pathogenesis, clinical manifestations, and therapy. *Infect Dis Clin North Am*, 16, 87594.
157. Martin, L.B., Han, P., Lewittes, J., Kuhlman, J.R., Klasing, K.C., Wikelski, M. (2006): Phytohemagglutinin-induced skin swelling in birds: histological support for a classic immunocological technique. *Funcional Ecology*, 20 (2): 290-9.
158. Martin, M.P., Bouck, K.P., Helm, J., Dykstra, M.J., Wages, D.P., Barnes, H.J. (2007): Disseminated *Aspergillus flavus* Infection in Broiler Breeder Pullets. *Avian Diseases*, 51: 626-31.
159. Martin, T.E., Martin, P., Olson, C., Heidinger, B., Fontaine, J. (2000): Parental care and clutch sizes in North and South American birds. *Science*, 287, 1482-5.
160. Matsuda, H., Kohno, S., Maesaki, S., Yamada, H., Koga, H., Tamura, M., Kuraishi, H., Sugiyama, J. (1992): Application of ubiquinone systems and electrophoretic comparison of enzymes to identification of clinical isolates of *Aspergillus fumigatus* and several other species of *Aspergillus*. *J Clin Microbiol*, 30: 1999-2005.
161. Matsuse, H., Fukushima, C., Fukahori, S., Tsuchida, T., Kawano, T., Nishino, T., Kohno, S. (2013): Differential effects of Dexamethasone and Itraconazole on *Aspergillus fumigatus* – exacerbated allergic airway inflammation in a murine model of mite - sensitized asthma. *Basic Sci Invest*, 85:429-35.
162. McCorkle, F., Olah, I., Glick, B. (1980): The morphology of the phytohemagglutinin-induced cell response in the chicken's wattle. *Poul Sci*, 59, 616-23.
163. McMilan, M.C. and Petrak, M.L. (1989): Retrospective study of aspergillosis in pet birds. *J Assoc of Avian Vet*, 3, 211-5.
164. Miljković, R., Perić, L., Velhner, M. (2007): Interdigital skin test for evaluation of delayed hypersensitivity and monitoring cell-mediated immune responses in chickens. *Biotechnology in Animal Husbandry*, 23(5-6): 22-8.
165. Mitchell, E.B., Johns, J. (2008): Avian haematology and related disorder. *Vet Clin North Am Exot Anim Pract*, 11(3): 501-22.
166. Monod, M., Paris, S., Sanglard, D., Jaton-Ogay, K., Bille, J., latge, J.P. (1993): Isolation and characterisation of a secreted metalloprotease of *Aspergillus fumigatus*. *Infect Immun*, 61, 4099-104.
167. Monod, M., Togni, G., Rahalison, L., Frenk, E. (1991): Isolation and characterisation of an extracellular alkaline protease of *Aspergillus fumigatus*. *J Med Microbiol*, 35, 23-8.
168. Morgavi, D.P., Boudra, H., Jouany, J.P., Michalet-Doreau, B. (2004): Effect and stability of gliotoxin, an *Aspergillus fumigatus* toxin, on *in vitro* rumen fermentation. *Food Addit Contam*, 21(9):871-8.
169. Morris, M.P., Flecher, O.J. (1988): Disease prevalence in Georgia turkey flocks in 1986. *Avian Dis*, 32 (3), 404-6.
170. Moser, M., Crameri, R., Brust, E., Suter, M., Menz, G. (1994): Diagnostic value of recombinant *Aspergillus fumigatus* allergen I/a for skin testing and serology. *J Allergy Clin Immunol*, 93 (1 Pt 1):1-11.
171. Moser, M., Crameri, R., Menz, G., Schneider, T., Dudler, T., Virchow, C., Gmachl, M., Blaser, K., Suter, M. (1992): Cloning and expression of recombinant *Aspergillus fumigatus* allergen I/a (rAsp f I/a) with IgE binding and type I skin test activity. *J Immunol*, 149(2): 454-60.
172. Mullbacher, A., Waring, P.; Eichner, R.D. (1985): Identification of agent in cultures of *Aspergillus fumigatus* displaying anti-phagocytic and immunomodulating activity in vitro. *J. Gen Microbiol*, 131: 1251-8.

173. Muhammad, N.O. and Oloyede, O.B. (2009): Haematological Parameters of Broiler Chicks Fed Aspergillus niger - Fermented Terminalia catappa Seed Meal-Based Diet. Global Journal of Biotechnology & Biochemistry 4 (2): 179-183, 2009
174. Murray, D.L., Brake, J., Thaxton, J.P. (1987): Effect of adrenocorticotropin and dietary ascorbic acid on cutaneous basophil hypersensitivity to phytohemagglutinin in chickens. Poult Sci, 66: 1846 -52.
175. Naspitz, C.K., Richter, M. (1968): The action of phytohemagglutinin *in vivo* and *in vitro*: a review. Progress in Allergy, 12, 1-85.
176. Neiguita, A., Arne, P., Durand, Deville, M., Benoit, H., Rene Chermette, V., Latouch, S.c., Guillot, J. B. e (2011): Relative efficiencies of two air sampling methods and three culture conditions for the assessment of airborne culturable fungi in poultry farmhouse in France. Enviro Res, 111 (2): 248-53.
177. Nganpiep, L.N. and Maina, J.N. (2002): Composite cellular defence stratagem in the avian respiratory system: functional morphology of the free (surface) macrofages and specialized pulmonary epithelia, J Anatomy, 200(5), 499-516.
178. Nichita, I., Marcu, A., Seres, M., Tirziu, E., Mot, D., Gros, R.V. (2010): Evaluation of fungi presence in the air of two broiler houses with different ventilation systems. Animal Sci Biotech, 43(1), 415-8.
179. Nieminen, S.M., Kärki, R., Auriola, S., Toivola, M., Laatsch, H., Laatikainen, R., Hyvärinen, A., VonWright, A. (2002): Isolation and identification of Aspergillus fumigatus mycotoxins on growth medium and some building materials. Appl Environ Microbiol, 68 (10): 4871-5.
180. Oglesbee, B. L. (1997): Mycotic diseases. In: Altman, R., B. (Ed). Avian Medicine and Surgery 1 st edn., Philadelphia, P.A: W.B. Saunders Company, pp, 323-61.
181. O'Gorman CM; Fuller, H., Dyer, P. (2008): Discovery of a sexual cycle in the opportunistic fungal pathogen *Aspergillus fumigatus*. Nature, 457: 471-4.
182. Oguz, H., Kececi, T., Birdane, Y.O., Onder, F., Kurtoglu, V. (2000); Effect of clinoptilolite on serum haematological character of broiler chickens during aflatoxicosis. Res Vet Sci, 67: 89-93.
183. Olias, P., Gruber, A.D., Bohmer, W., Hafez, H.M., Lierz, M. (2010a): Fungal pneumonia as major cause of mortality in white stork (*Ciconia ciconia*) chicks. Avian Disease, 54, 94-8.
184. Olias, P., Gruber, A.D., Hafez, G., Lierz, M., Slesiona, S., Brock, M., Jacobsen, I.D. (2011): Molecular epidemiology and virulence assessment of *Aspergillus fumigatus* isolated from white stork chicks and their environment. Vet Microb, 148, 348-55.
185. Orciuolo, E., Stanzani, M., Canestraro, M., Galimberti, S., Carulli, G., Lewis, R., Petrini, M., Komanduri, K.V. (2007): Effects of *Aspergillus fumigatus* gliotoxin and methylprednisolone on human neutrophils: implications for the pathogenesis of invasive aspergillosis. J Leukoc Biol; 82 (4): 839-48.
186. O'Reilly, E.L., Eckersall, P.D. (2014): Acute phase proteins: a review of their function, behavior and measurement in chickens. Worlds Poult Sci J, 70 (1): 27-44.
187. Ozmen, O., Dorresteijn, M.G. (2004): Observations of aspergillosis in the brains of turkey poulets using different histopathological staining techniques, Biotech and Histochem 79(2): 95-9
188. Pal, M, Prajapati, S., Gangopadhyay R.M. (1988): *Aspergillus fumigatus* as cause of mycotic tracheitis in a chicken. Mycoses, 33, 70-2.
189. Parmentier, H., Scharma, J.W. (1993): Cutaneus hypersensitivity responses in chickens divergently selected for antibody responses to sheep red blood cells. Poult Sci, 72: 167-92.
190. Parta, M., Chang, Y., Rulong, S., Pinto-Da Silva, P., Kwon-Chung, K.J. (1994): *HYP1*, a hydrophobin gene from *Aspergillus fumigatus*, complements the *rodletless* in *Aspergillus nidulans*. Infect Immun, 62: 4389-95.
191. Pazos, C., Pontón, J., Palacio, A.D. (2005): Contribution of (1→3)- β -d-Glucan Chromogenic Assay to Diagnosis and therapeutic monitoring of invasive aspergillosis in neutropenic adult

- patients: a comparison with serial screening for circulating galactomannan. *J Clin Microbiol*, 43 (1): 299-305.
192. Peden, W.M., Rhoades, K.R. (1992): Pathogenicity differences of multiple isolates of *Aspergillus fumigatus* in turkeys. *Avian Diseases*; 36: 537-42.
 193. Penalver, M.C., Casanova, M., Martinez, J.P., Gil, M.L. (1996): Cell wall protein and glycoprotein constituents of *Aspergillus fumigatus* that bind to polystyrene may be responsible for the cell surface hydrophobicity of the mycelium. *Mycobiol*, 142, 1597-604.
 194. Pihet, M., Vandepitte, P., Tronchin, G., Renier, G., Saulnier, P., Georgeault, S., Mallet, R., Chabasse, D., Symoens, F., Bouchara, J.P. (2009): Melanin is an essential component for the integrity of the cell wall of *Aspergillus fumigatus* conidia. *BMC Microbiol*, 9: 177.
 195. Pinello, C.B., Richard, J.B., Tiffany, L.H. (1977): Mycoflora of a turkey confinement brooder house. *Poult Sci*, 56, 1920-6.
 196. Polak, A. (1998): Experimental models in antifungal chemotherapy. *Mycoses*, 41(1-2): 1-30.
 197. Prukner-Radović, E., Mazija, H. Odabrana poglavljja iz bolesti ptica kućnih ljubimaca. Veterinarski fakultet, Zagreb, 2006.
 198. Ptak, W., Geba, G.P., Askenase, P.W. (1991): Initiation of delayed type hypersensitivity by low doses of monoclonal IgE antibody. *J Immunol*, 146, 3929-36.
 199. Puvadolpirod, S. and Thaxton, J.P. (2000): Physiology stress in chickens. Response parameters. *Poult Sci*, 76, 363-9.
 200. Pyrrho, A.S., Lenzi, H.L., Ramos, J.A Moura-Neto R., Cachem, F.C. et al. (2004): Dexamethasone treatment improves morphological and hematological parameters in chronic experimental schistosomiasis. *Parasitol Res.*, 92: 478-483.
 201. Raper, K.B. and Fennell, D.I. (1965): *Aspergillus fumigatus* group. In: K. B. Fennell, D. I. (ed). The genus *Aspergillus*. The William and Wilkins Co, Baltimore, Md. pp, 238-68.
 202. Reece, R.L., Taylor, T.K., Dickson, D.B. (1986): Mycosis of commercial Japanese quail, ducks and turkeys. *Aus Vet J*, 63, 196-7.
 203. Reese, S., Dalamani, G., Kaspers, B. (2006): The avian lung associated immune system: a review. *Vet Res*, 37(3): 311-24.
 204. Regnier, J.A., Kelly, J.W. (1981): Heat and cold stress suppresses in vivo and in vitro cellular immune responses in chickens. *Am J Vet Res*, 42: 294-9.
 205. Reddy, S.M., Kumari, D.R. and Reddy, V.K. (1997): Toxicological studies on gliotoxin produced by *Trichoderma viride*. *Indian J Poult Sci*, 32: 169-72.
 206. Reichard, U., Monod, M., Odds, F., Ruchel, R. (1997): Virulence of aspergillopepsin-deficient mutant of *Aspergillus fumigatus* and evidence for another aspartic proteinase linked to the fungal cell wall. *J Med Vet Mycol*, 35, 189-96.
 207. Rementeria, A., López-Molina, N., Ludwig, A., Vivanco, A.B., Bikandi, J., Pontón, J., Garaizar, J. (2005): Genes and molecules involved in *Aspergillus fumigatus* virulence. *Rev Iberoam Micol*, 22 (1): 1-23.
 208. Resanović, R., Palić, T. (2009): Stres u savremenom industrijskom živinarstvu. Zbornik radova 18. Savetovanja živinara. Kopaonik, 13-17. X, 31-38.
 209. Resanović, R. (2015): Klinički aspekti imunosupresije živine. *Vet glasnik*, 69(1-2): 91-9.
 210. Rhodes, J.C. (2006): *Aspergillus fumigatus*: growth and virulence. *Med Mycol*, 44 Suppl 1: S77-81.
 211. Richard J.L., Thurston JR. (1983): Rapid haematogenous dissemination of *Aspergillus fumigatus* and *A. flavus* spores in turkey pouls following aerosol exposure. *Avian Diseases*, 27, 1025-33.
 212. Richard, J.L. Aspergillosis, In: Diseases of poultry, 10th ed. Calnek, B.W., Barnes, H.J., Beard, C.W., Reid, W.M. and Joder, H.W. Iowa State University Press, Ames, 351-60, 1997.

213. Richard, J.L. i Sacoo, R. E. (1998): Susceptibility of convalescent turkeys to pulmonary aspergillosis. *Avian Diseases*, 42 (4): 787-90.
214. Richard, J.L., Cutlip, R.C., Thurston, J.R., Songer, J. (1981): Response of turkey poult to aerosolized spores of *Aspergillus fumigatus* and aflatoxigenic and nonaflatoxigenic strains of *Aspergillus flavus*. *Avian Diseases*, 25(1): 53-67.
215. Richard, J.L., Thurston, J.R., Peden, W.M., Pinello, C. (1984): Recent studies on aspergillosis in turkey poult. *Mycopathol*, 87, 3-11.
216. Richardson, M.D., Warnock, D.W. (2003): Fungal Infection. Diagnosis and management (3rd ed.) Blackwell Science, pp. 156-84.
217. Rodriguez, E., De Meeus, T., Mallié, M., Renaud, F., Symoens, F., Mondon, P., Piens, M.A., Lebeau, B., Viviani, M.A., Grillot, R., Nolard, N., Chapuis, F., Tortorano, A.M., Bastide, J.M. (1996): Multicentric epidemiological study of *Aspergillus fumigatus* isolates by multilocus enzyme electrophoresis. *J Clin Microbiol*, 34: 2559-68.
218. Roilides, E., Uhlig, K., Venzon, D., Pizzo, P.A., Wolsh, T.J. (1993): Prevention of corticosteroid-induced suppression of human polymorphnuclear leukocytes-induced damage of *Aspergillus fumigatus* hyphae by granulocyte colony-stimulating factor and γ interferon. *Infect. Immunology*, 61:4870-7.
219. Rose, M.E. (1977): *Eimeria tenella*. Skin hypersensitivity to injected antigen in the fowl. *Exp Parasitol*, 42(1): 129-41.
220. Rusov, Č., Kovačević, S., Jojić-Malićević, LJ., Miljković, B. (1994): Analize čelijskog infiltrata interdigitalne kože i leukograma pilića lakše i teške provenijencije tretiranih PHA. *Vet glas*, 1 (48): 739-44.
221. Sabino, M., Faisca, M., Caralino, E., Verissimo, C., Viegas, C., (2012): Occupational exposure to *Aspergillus* ba swine and poultry farm workers in Portugal. *J Toxicol Environ Health Part A*, 75 (22-23), 1381-91
222. Saif, Y.M., Fadly, A.M., Glisson, J.R. Diseases of poultry. Twelfth ed, Blackwell Publishing, Ames Iowa, USA, 2008.
223. Sarfati, J., Diaquin, M., Debeaupuis, J.P., Schmidt, A., Lecaque, D., Beauvais, A., Latge, J.P. (2002): A new experimental murine aspergillosis model to identify strains of *Aspergillus fumigatus* with reduced virulence. *Nihon Ishinkin Gakkai Zasshi*, 43(4): 203-13.
224. Schiefer, B. (1967): Pathomorphologie der Systemmycosen des Tieres. Veb ,Gustav Fischer Verlag, Jena.
225. Schmidt, A. (2002): Animal models of aspergillosis-also useful for vaccination strategies? *Mycoses*, 45(1-2): 38-40.
226. Schmidt, A., Wolff, M.H. (1997): Morphological characteristics of *Aspergillus fumigatus* strains isolated from patients samples. *Mycoses*, 40: 347-51.
227. Sheppard, D.C., Marr, K.A., Fredricks, D.N., Chiang, L.Y., Doedt, T., Filler, S.G. (2006): Comparison of three methodologies for the determination of pulmonary fungal burden in experimental murine aspergillosis. *Clin Microbiol Infect*, 12 (4): 376-80.
228. Shibuya, K., Paris, S., Ando, T., Nakayama, H., Hatori, T., Latgé, J.P. (2006): Catalases of *Aspergillus fumigatus* and inflammation in aspergillosis. *Nihon Ishinkin Gakkai Zasshi*;47 (4):249-55.
229. Shini, S., Kaiser, P., Shini, A., Bryden, W.L. (2008). Biological response of chickens (*Gallus gallus domesticus*) induced by corticosterone and a bacterial endotoxin. *Comparative Biochemistry and Physiology B Biochemistry and Molecular Biology*, 149(2): 324-33.
230. Shini, S., Shini, A., Huff, G.R. (2009). Effects of chronic and repeated corticosterone administration in rearing chickens on physiology, the onset of lay and egg production of hens. *Physiology & Behavior*, 98(1-2):73-7.

231. Shini, S., Shini, A., Kaiser, P. (2010). Cytokine and chemokine gene expression profiles in heterophils from chickens treated with corticosterone. *Stress*, 13 (3): 185-94.
232. Singh, S., Borahm M.K., Sharma,O.K., Joshi, G.D., Gogoi, R. (2009): Aspergillosis in turkey poulets. *Indian J Vet Path*, 33(2), 220-1.
233. Singh, S.D., Tiwari, R., Dhama, K. (2012): Mycotoxins and mycotoxicosis impact on poultry health and production. An overview. *Poult Punch*, 28, 35-52.
234. Sinha, B. K., Vegad, J.L., Awadhiya, R.P. (1988): Pathology of phytohemagglutinin-induced cutaneous reaction in the chicken. *Indian J Anim Sci*, 58: 28-35.
235. Smith, J.M., Tang, C.M., Van Noorden, S., Holden, D.W. (1994): Virulence of *Aspergillus fumigatus* double mutants lacking restrictocin and an alkaline protease in a low-dose model of invasive pulmonary aspergillosis. *Infect Immun*; 62:5247-54.
236. Soler, M., Martin-Vivaldi M., Marin J., Moller, A.P. (1999): Weight lifting and health status in the black wheatear. *Behavioral Ecology*, 10, 281-6.
237. Song, Z.G., Zhang X.H., Zhu, L.X., Jiao, H.C., Lin, H. (2011). Dexamethasone alters the expression of genes related to the growth of skeletal muscle in chickens (*Gallus gallus domesticus*). *J Mol Endocrinol*, 46, 217-25.
238. Stadecker, M.J., Leskowitz, S. (1974): The cutaneus basophil response to mitogens. *J Immunol*, 113: 496-500.
239. Stadercker, M.J., Lukic, M., Dvorak, A., Leskowitz, S. (1977): The cutaneous basophil response to phytohemagglutinin in chickens. *J Immunol*, 118: 1564-8.
240. Steinbach, W.J., Benjamin, D.K., Trasi, S.A., Miller, J.L., Schell, W.A., Zaas, A.K., Foster, W.M., Perfect, J.R. (2004): Value of an inhalational model of invasive aspergillosis. *Med Mycol*; 42 (5): 417-25.
241. Steinlage, S.J.T., Sander, J.E., Brown, T.P., Lobsinger, C.M., Thayer, S.G., Martinez, A. (2003): Disseminated mycosis in layer cockerels and pullets. *Avian Diseases*, 47 (1), 229-33.
242. Stephens-Romero, S.D., Mednick, A.J., Feldmesser, M. (2005): The pathogenesis of fatal outcome in murine pulmonary aspergillosis depends on the neutrophil depletion strategy. *Infect Immun*; 73 (1) :114-25.
243. Stoute, S.T., Bickford, A.A., Walker, R.L., Charlton, B.R. (2009): Mycotic pododermatitis and mycotic pneumonia in commercial turkey poulets in northern California. *J Vet Diagn Invest*; 21 (4):554-7.
244. Suleiman, M.M., Duncan, N., Eloff, J.N., Naidoo, V., (2012): A controlled study to determine the efficacy of *Loxostylisa alata* (Anacardiaceae) in the treatment of aspergillus in chicken (*Gallus domesticua*) model in comparision to ketoconazole. *Vet Res*, 8, 210.
245. Sutton, P., Newcombe, N.R., Waring, P., Mullbacher, A. (1994): In vivo immunosuppressive activity of gliotoxin, a metabolite produced by human pathogenic fungi. *Infect Immun*, 62: 1192-8.
246. Sutton, P., Waring P., Mullbacher, A. (1996): Exacerbation of invasive aspergillosis by the immunosuppressive fungal metabolite. *Immunol Cell Biol*, 74: 318-22.
247. Swatek, F., Halde, C., Rinaldi, M.G., Shadomy, H.J. (1985): *Aspergillus* species and other opportunistic saprophytic hyaline hyphomycetes. In: Lennette, E. H., Balows, A., Hausler, W.J.Jr, Shadomy, H.J., editors. *Manual of clinical microbiology*. 4th ed. Washington, D.C: American Society for Microbiology; pp. 584-94.
248. Taylor, J.J., Burroughs, E.J. (1973): Experimental avian aspergillosis. *Mycopath Mycol Appl*, 51 (2-3): 131-41.
249. Tekaia, F., and Latgé, J.P. (2005): *Aspergillus fumigatus*: saprophyte or pathogen? *Curr Opin Microbiol*, 8: 385-92.

250. Tell, L.A. (2005): Aspergillosis in mammals and birds: impact on veterinary medicine. *Med Mycolo Supp*, 1:S7-S73.
251. Thau, N., Monod, M., Crestani, B., Rolland, C., Tronchin, G., Latgé, J.P., Paris S. *rodletless* mutants of *Aspergillus fumigatus*. *Infect Immun*, 1994;62: 4380-8.
252. Tronchin, G., Esnault, K., Renier, G., Filmon, R., Chabasse, D., Bouchara, J.P. (1997): Expression and identification of laminin-binding protein in *Aspergillus fumigatus* conidia. *Infect Immun*; 65, 9-15.
253. Tsai,S.S., Park, J.H., Hirai, K. and Itakura, C. (1992): Aspergillosis and candidiasis in psittacine and passeriforme birds with particular reference to nasal lesions. *Avian Pathol*, 21:699-709.
254. Tsui, C.K., Woodhall, J., Chen, W., Lévesque, C.A., Lau, A., Schoen, C.D., Baschien, C., Najafzadeh, M.J., de Hoog, G.S. (2011): Molecular techniques for pathogen identification and fungus detection in the environment. *IMA Fungus*, 2(2): 177-89.
255. Tsunawaki, S., Yoshida, L.S., Nishida, S., Kobayashi, T., Shimoyama, T. (2004): Fungal metabolite gliotoxin inhibits assembly of the human respiratory burst NADPH oxidase. *Infect Immun*, 72 (6): 3373-82.
256. Turk, J.L. (1967): Delayed Hypersensitivity. John Wiley and Sons, New York, USA.
257. Tuzcu, M., Sur, E., Celik, I., Oznurlu, Y., Ciftci, M.K. (2010): Effects of aflatoxin on the proportions of peripheral blood leukocyte and alpha naphtyl acetate esterase positive lymphocyte in the mouse. *Kafkas University Veterinary Fak Derg*, 16: 337-41.
258. Van Cutsem, J. (1983): Antifungal activity of enilconazole on experimental aspergillosis in chickens, *Avian Diseases*, 27(1): 36-42.
259. Vicuna, E.A., Kuttappan, V.A., Galarza-Seeber, R., Latorre, J.D., Faulkner, O.B., Hargis, B.M., Tellez, G., Bielke, L.R. (2015): Effect of dexamethasone in feed on intestinal permeability, differential white blood cell counts, and immune organs in broiler chicks. *Poult Sci*, 94: 2075-80.
260. Verstappen, F.A.L. and Dorresteijn, G.M. (2005): Aspergillosis in Amazon parrots after corticosteroid therapy for smoke-inhalation injury. *J Avian Med Surg*, 19, 138-41.
261. Wagener, J., Echtenacher, B., Rohde, M., Kotz, A., Krappmann, S., Heesemann, J. and Ebel, F. (2008): The putative alpha-1,2-mannosyltransferase AfMnt1 of the opportunistic fungal pathogen *Aspergillus fumigatus* is required for cell wall stability and full virulence. *Eukaryot Cell* 7: 1661-73.
262. Watteyn, A., Wyns, H., Plessers, E., Russo, E., DeBaere, S., DeBacker, P., Croubels, S. (2013): Pharmacokinetics of dexamethasone after intravenous and intramuscular administration in broiler chickens. *Vet J*, 195(2): 216-20.
263. Watteyn, A., Wyns, H., Plessers, E., Russo, E., DeBaere, S., DeBacker, P., Croubels, S. (2013). Pharmacokinetics of dexamethasone after intravenous and intramuscular administration in broiler chickens. *Vet J*, 195(2): 216-20.
264. Wicher, K.B. and Fries, E. (2010): Evolutionary aspects of hemoglobin scavengers. *Antioxidants and Redox signaling*, 12, 249-59.
265. Zafra, R., Perez, J., Perez-Ecija, R.A., Borge, C., Bustamante, R., Carbonero, A., Tarradas, C. (2008): Concurrent aspergillosis and ascites with high mortality in farm of growing broiler chickens. *Avian Diseases*, 52(4), 711-3.

Biografija autora

Nemanja V. Jezdimirović, po zanimanju diplomirani veterinar, rođen je 01.01.1981. godine u Beogradu. Osnovnu školu, a potom i gimnaziju završio je u Beogradu. Školske 2000/2001 upisao je prvu godinu studija na Fakultetu veterinarske medicine Univerziteta u Beogradu. Tokom 2007. godine, proveo je jedan semestar na Veterinarskom fakultetu u Solunu na internoj klinici za male životinje. Diplomirao je 2010. godine sa prosečnom ocenom 8,27. Školske 2010/2011 upisao je doktorske akademske studije na istom fakultetu. Od 01. septembra 2010. godine počeo je da obavlja pripravnički staž u Naučnom institutu za veterinarstvo Srbije. Januara 2012. godine položio je stručni ispit za diplomirane veterinare. Od marta meseca 2012. godine raspoređen je na Odeljenju za patološku morfologiju u Zavodu za zdravstvenu zaštitu Naučnog instituta za veterinarstvo Srbije. Od 2011. godine prijavljen je na projekat Ministarstva prosvete, nauke i tehnološkog razvoja pod nazivom: „Unapređenje i razvoj higijenskih i tehnoloških postupaka u proizvodnji namirnica životinjskog porekla u cilju dobijanja kvalitetnih i bezbednih proizvoda konkurentnih na svetskom tržištu“. Učestvovao je na više nacionalnih i međunarodnih naučnih skupova i ima objavljene radove u međunarodnim i nacionalnim časopisima.

Прилог 1.

Изјава о ауторству

Потписани-а Немања Јездимировић

број уписа 2010/5013

Изјављујем

да је докторска дисертација под насловом

Патоморфолошка, миколошка и молекуларна испитивања органа ћурића
различитог имунолошког статуса након вештачке инфекције спорама *Aspergillus
fumigatus*

- резултат сопственог истраживачког рада,
- да предложена дисертација у целини ни у деловима није била предложена за добијање било које дипломе према студијским програмима других високошколских установа,
- да су резултати коректно наведени и
- да нисам кршио/ла ауторска права и користио интелектуалну својину других лица.

Потпис докторанда

У Београду, 08.05.2019.

Прилог 2.

**Изјава о истоветности штампане и електронске
верзије докторског рада**

Име и презиме аутора: Немања Јездимировић

Број уписа 2010/5013 _____

Студијски програм: Докторске академске студије

Наслов рада: Патоморфолошка, миколошка и молекуларна испитивања органа ћурића различитог имунолошког статуса након вештачке инфекције спорама *Aspergillus fumigatus*

Ментор: проф. Др Милијан Јовановић

Потписани _____ Немања Јездимировић

изјављујем да је штампана верзија мог докторског рада истоветна електронској верзији коју сам предао/ла за објављивање на порталу **Дигиталног репозиторијума Универзитета у Београду**.

Дозвољавам да се објаве моји лични подаци vezani за добијање академског звања доктора наука, као што су име и презиме, година и место рођења и датум одbrane рада.

Ови лични подаци могу се објавити на мрежним страницама дигиталне библиотеке, у електронском каталогу и у публикацијама Универзитета у Београду.

Потпис докторанда

У Београду, 08.05.2019

Прилог 3.

Изјава о коришћењу

Овлашћујем Универзитетску библиотеку „Светозар Марковић“ да у Дигитални репозиторијум Универзитета у Београду унесе моју докторску дисертацију под насловом:

Патоморфолошка, миколошка и молекуларна испитивања органа ћурића различитог имуношког статуса након вештачке инфекције спорама *Aspergillus fumigatus*

која је моје ауторско дело.

Дисертацију са свим прилозима предао/ла сам у електронском формату погодном за трајно архивирање.

Моју докторску дисертацију похрањену у Дигитални репозиторијум Универзитета у Београду могу да користе сви који поштују одредбе садржане у одабраном типу лиценце Креативне заједнице (Creative Commons) за коју сам се одлучио/ла.

1. Ауторство

2. Ауторство - некомерцијално

3. Ауторство – некомерцијално – без прераде

4. Ауторство – некомерцијално – делити под истим условима

5. Ауторство – без прераде

6. Ауторство – делити под истим условима

(Молимо да заокружите само једну од шест понуђених лиценци, кратак опис лиценци дат је на полеђини листа).

Потпис докторанда

У Београду, 08.05.2019.

1. Ауторство - Дозвољавате умножавање, дистрибуцију и јавно саопштавање дела, и прераде, ако се наведе име аутора на начин одређен од стране аутора или даваоца лиценце, чак и у комерцијалне сврхе. Ово је најслободнија од свих лиценци.
2. Ауторство – некомерцијално. Дозвољавате умножавање, дистрибуцију и јавно саопштавање дела, и прераде, ако се наведе име аутора на начин одређен од стране аутора или даваоца лиценце. Ова лиценца не дозвољава комерцијалну употребу дела.
3. Ауторство - некомерцијално – без прераде. Дозвољавате умножавање, дистрибуцију и јавно саопштавање дела, без промена, преобликовања или употребе дела у свом делу, ако се наведе име аутора на начин одређен од стране аутора или даваоца лиценце. Ова лиценца не дозвољава комерцијалну употребу дела. У односу на све остале лиценце, овом лиценцом се ограничава највећи обим права коришћења дела.
4. Ауторство - некомерцијално – делити под истим условима. Дозвољавате умножавање, дистрибуцију и јавно саопштавање дела, и прераде, ако се наведе име аутора на начин одређен од стране аутора или даваоца лиценце и ако се прерада дистрибуира под истом или сличном лиценцом. Ова лиценца не дозвољава комерцијалну употребу дела и прерада.
5. Ауторство – без прераде. Дозвољавате умножавање, дистрибуцију и јавно саопштавање дела, без промена, преобликовања или употребе дела у свом делу, ако се наведе име аутора на начин одређен од стране аутора или даваоца лиценце. Ова лиценца дозвољава комерцијалну употребу дела.
6. Ауторство - делити под истим условима. Дозвољавате умножавање, дистрибуцију и јавно саопштавање дела, и прераде, ако се наведе име аутора на начин одређен од стране аутора или даваоца лиценце и ако се прерада дистрибуира под истом или сличном лиценцом. Ова лиценца дозвољава комерцијалну употребу дела и прерада. Слична је софтверским лиценцима, односно лиценцима отвореног кода.